



TUGAS AKHIR - MO 141326

ANALISIS KERUNTUHAN BERBASIS KEANDALAN PADA  
BANGUNAN LEPAS PANTAI TIPE JACKET TERHADAP  
KEMIRINGAN AKIBAT *SETTLEMENT*

Fikri Imanudin

NRP. 04311440000087

Dosen Pengampu

Ir. Murdjito, M.Sc. Eng.

Agro Wisudawan, S.T., M.T.

Departemen Teknik Kelautan

Fakultas Teknologi Kelautan

Institut Teknologi Sepuluh Nopember

Surabaya

2018



FINAL PROJECT - MO 141326

RELIABILITY BASED COLLAPSE ANALYSIS OF JACKET  
OFFSHORE PLATFORM AGAINST TILT DUE TO  
SETTLEMENT

Fikri Imanudin

NRP. 04311440000087

Supervisors

Ir. Murdjito, M.Sc. Eng.

Agro Wisudawan, S.T., M.T.

Departmen of Ocean Engineering

Faculty of Marine Technology

Institut Teknologi Sepuluh Nopember

Surabaya

2018

**ANALISIS KERUNTUHAN BERBASIS KEANDALAN PADA BANGUNAN  
LEPAS PANTAI TIPE JACKET TERHADAP KEMIRINGAN AKIBAT  
SETTLEMENT**

**TUGAS AKHIR**

Ditujukan Untuk Mmenuhi Salah Satu Syarat Memperoleh Gelar Sarjana Teknik  
Pada Program Studi S-1 Departemen Teknik Kelautan, Fakultas Teknologi  
Kelautan, Institut Teknologi Sepuluh Nopember

Oleh :

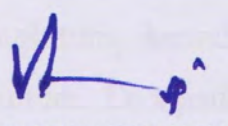
Fikri Imanudin

NRP. 04311440000087

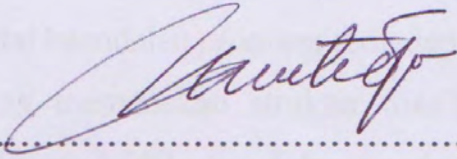
Disetujui oleh:

1. Ir. Murdjito, M.Sc.Eng.  (Pembimbing 1)

2. Agro Wisudawan, S.T., M.T.  (Pembimbing 2)

3. Yoyok Setyo Hadiwidodo, S.T., M.T., Ph.D.  (Penguji 1)

4. Nur Syahroni, S.T., M.T., Ph.D.  (Penguji 2)

5. Ir. Mas Murtedjo, M.Eng.  (Penguji 3)

**(Halaman ini sengaja dikosongkan)**

**ANALISIS KERUNTUHAN BERBASIS KEANDALAN PADA BANGUNAN  
LEPAS PANTAI TIPE JACKET TERHADAP KEMIRINGAN AKIBAT  
*SETTLEMENT***

**Nama : Fikri Imanudin**  
**NRP : 04311440000087**  
**Departemen : Teknik Kelautan**  
**Dosen Pembimbing : Ir. Murdjito, M.Sc.Eng**  
**Agro Wisudawan, S.T., M.T.**

**ABSTRAK**

Kemiringan pada bangunan lepas pantai atau *platform* akibat *settlement* akan sangat berisiko bagi kelangsungan operasi dari bangunan tersebut. Bangunan yang mengalami kemiringan akan dihadapkan pada dua pihakan yaitu tetap lanjut beroperasi dengan resiko tinggi atau diberhentikan dengan nilai kerugian yang tidak sedikit. Untuk itu perlu dilakukan analisis terhadap sebuah *platform* yang mengalami kemiringan akibat *settlement*. Pada tugas akhir ini dilakukan analisis keruntuhan berbasis keandalan pada *platform* dalam kondisi kemiringan kritis. Sudut kemiringan kritis didapatkan dengan melakukan *in place analysis* menggunakan SACS dengan variasi sudut kemiringan tiap 0,5 derajat sampai 3 derajat. Pemodelan kemiringan dilakukan dengan skema penambahan momen yang ditimbulkan akibat *lateral displacement* yang diakibatkan kondisi kemiringan tersebut. Analisis keruntuhan dilakukan dengan menggunakan software SACS. Nilai keandalan struktur didapatkan dengan menghitung keandalan member-member yang mengalami kondisi plastisitas maksimum. Didapatkan nilai sudut kemiringan kritis *platform* adalah 0,872 derajat dengan tambahan momen sebesar 8815 ft-kips. Nilai RSR dari hasil analisis keruntuhan pada kondisi kritis tersebut adalah 16,22 dengan nilai *base shear* yang menyebabkan keruntuhan sebesar 1732,33 kips yang berarti struktur masih layak karena telah melampaui nilai minimum RSRnya sebesar 1,6. Nilai keandalan *platform* terhadap keruntuhan pada kondisi kritis adalah 0,7807 yang menyatakan struktur masih handal namun memiliki nilai indeks keandalan sebesar 1,592 yang didapat pada member 392-492 yang menyatakan keandalan struktur tidak memiliki jaminan yang cukup.

Kata Kunci : Keruntuhan, Keandalan, Platform miring, *Settlement*.

**(Halaman ini sengaja dikosongkan)**

# **RELIABILITY BASED COLLAPSE ANALYSIS OF JACKET OFFSHORE PLATFORM AGAINST TILT DUE TO SETTLEMENT**

**Nama : Fikri Imanudin**  
**NRP : 04311440000087**  
**Departemen : Ocean Engineering**  
**Dosen Pembimbing : Ir. Murdjipto, M.Sc.Eng**  
**Agro Wisudawan, S.T., M.T.**

## **ABSTRACT**

The tilt offshore platform due to settlement will be risky for the operation of the platform. The tilt offshore platform will be faced with two choices, there are still continued to operate with high risk or decommissioned but it will cause high loss of economical value. Therefore, it is necessary to analyze the tilt offshore platform due to settlement. In this final project, reliability-based collapse analysis is performed on the platform under critical tilt conditions. The critical tilt angle is obtained by in-place analysis using SACS with angle tilt variation of each 0.5 degrees to 3 degrees. Tilt modeling conditions is done by the scheme of adding moments caused by lateral displacement which resulted from the tilt conditions. The collapse analysis is done using SACS software. The reliability value of the structure is obtained by calculating the reliability of members which has maximum plasticity conditions. The analysis resulting a platform critical tilt angle value is 0.872 degrees with additional moment of 8815 ft-kips. The RSR value of collapse analysis at the critical condition is 16.22 with the base shear value which caused collapse condition is 1732.33 kips which means the structure is still feasible because it has exceeded the minimum RSR value of 1.6. The reliability value of the platform against the collapse in critical condition is 0.7807 which states the structure is still reliable but has a value of reliability index of 1.592 obtained on 392-492 member which states that the reliability of the structure has not reasonable assurance.

Keyword : Collapse, Reliability, Tilt Platform, Settlement

**(Halaman ini sengaja dikosongkan)**

## KATA PENGANTAR

Puji dan syukur kita panjatkan kepada Allah SWT yang telah melimpahkan rahmat dan karuniaNya sehingga penulis bisa menyelesaikan Tuga Akhir yang berjudul “Analisis Keruntuhan Berbasis Keandalan pada Bangunan Lepas Pantai Tipe *Jacket* terhadap Kemiringan akibat *Settlement*” ini dengan baik. Laporan ini disusun untuk memenuhi salah satu persyaratan dalam menyelesaikan Studi Kesarjanaan (S-1) di Departemen Teknik Kelautan, Fakultas Teknologi Kelautan, Institut Teknologi Sepuluh Nopember Surabaya. Penulis sadar bahwa pada penulisan Tugas Akhir ini masih terdapat banyak kesalahan dan jauh dari kata sempurna. Oleh karena itu kritik dan saran yang membangun penulis harapakan untuk evaluasi dan perbaikan dari Tugas Akhir ini.

Demikian laporan ini penulis susun dengan sebaik-baiknya. Penulis berharap laporan ini dapat menjadi panduan dan acuan dalam pembuatan Tugas Akhir yang mempunyai topik yang sama dan berharap ke depannya bisa lebih disempurnakan lagi. Atas perhatiannya penulis ucapan terima kasih.

Surabaya, Januari 2018

Fikri Imanudin

NRP. 04311440000087

**(Halaman ini sengaja dikosongkan)**

## **UCAPAN TERIMA KASIH**

Penulis telah mendapatkan dukungan dan bantuan yang sangat berpengaruh dalam penyelesaian Tugas Akhir ini. Untuk itu penulis ingin menyampaikan terima kasih kepada:

1. Mamah, Bapak dan Keluarga di Pandeglang yang selalu mendoakan dan mendukung dalam segala aspek, baik moril maupun materil.
2. Dosen Pembimbing yaitu Bapak Ir. Murdjito, M.Sc.Eng. Dan Bapak Agro Wisudawan, S.T., M.T. yang selalu bersedia membimbing dan mengarahkan untuk menjadikan Tugas Akhir ini sebaik mungkin.
3. Dosen-dosen Teknik Kelautan yang telah mau menurunkan ilmunya.
4. Manajemen Jurusan khususnya Bapak Dr.Eng. Rudi Walujo P., S.T., M.T. dan seluruh jajarannya yang selalu membantu dalam hal administrasi dan tentu sangat membantu dalam penyelesaian Tugas Akhir ini.
5. Senior-senior dan para engineer di PT ZEE Indonesia yang telah memberikan banyak pengetahuan praktikal yang tidak saya dapatkan di kampus.
6. Aa Heru yang udah kaya jadi dosen pembimbing ketiga, maaf ya A kalo sering ganggu haha.
7. Teman-teman MAELSTORM 2014 yang telah mewarnai masa perkuliahan selama ini, see you on top rek, HANTAM!!! LAWAN!!! CUK!!!
8. Reynaldi Rovi aka KID teman seperjuangan TA yang banyak membantu saat menemukan jalan buntu, suwun lho.
9. Konco ngetrip dan kulineran tipis-tipis Ojan, Beri, Ian, Yz, Grandis, Mikel, Galer, Fikri, Cibot, Wak Yoga, RWA, Marsa, Gilang, QQ, Eki dan Prima yang sudah mau menjadi teman berbagi suka duka perkuliahan di TEKLA, gue bakal kangen banget CENGENGESAN bareng lo pada.

10. Konco garap TRB Iqbal, Mada, Paung (TRB 1) dan Azzam, Bela (TRB 2,3). Suwun re katas kerjasamanya. We did it.
11. Teman-teman Himatekla, LDJ, OCEANO, SE JOSS, OURC dan OPRES yang sudah memberikan pengalaman bermanfaatnya selama masa perkuliahan.
12. Teman-teman seperantauan dan seperjuaangan BADUY khususnya Dicki, Mail, Ajeng, Rijal, Fikri dan Iik yang membuat perantauan serasa kampung halaman.
13. Teman-teman SMANSA cabang malang Fiher, Wafa, Tomi, Ucil, Ade, Kemal dan Isti dan teman super sepemikiran Ojan M13 yang selalu mau menampung dan menemani pas lagi sumpek-sumpeknya di Surabaya, jangan bosen gue repotin yah hehe.
14. Teman-teman ambis prestatif Ganapatih Galura, RWA, Sekar dan Joey. Selalu ingat prinsip kita “Fake It Till You Make It”.
15. The Gengsss yang selalu menghibur dan menyemangati. Best friend forever guys.
16. Pihak-pihak yang tidak bisa penulis sebutkan satu persatu.

Sekali lagi saya ucapkan Terima Kasih, semoga Allah membala dengan balasan yang baik.

Surabaya, Januari 2018

Fikri Imanudin

NRP. 04311440000087

## DAFTAR ISI

<b>ABSTRAK .....</b>	iii
<b>ABSTRACT .....</b>	v
<b>KATA PENGANTAR.....</b>	vii
<b>UCAPAN TERIMA KASIH .....</b>	ix
<b>DAFTAR ISI.....</b>	xi
<b>DAFTAR GAMBAR.....</b>	xv
<b>DAFTAR TABEL .....</b>	xvii
<b>BAB I.....</b>	1
<b>PENDAHULUAN .....</b>	1
1.1. <b>Latar Belakang.....</b>	1
1.2. <b>Perumusan Masalah .....</b>	2
1.3. <b>Tujuan Penelitian.....</b>	2
1.4. <b>Manfaat Penelitian.....</b>	2
1.5. <b>Batasan Masalah .....</b>	2
1.6. <b>Sistematika Penulisan .....</b>	3
<b>BAB II .....</b>	5
<b>DASAR TEORI .....</b>	5
2.1. <b>Tinjauan Pustaka .....</b>	5
2.2. <b>Bangunan Lepas Pantai Tipe <i>Jacket</i> .....</b>	6
2.2.1. <b>Umum.....</b>	6
2.2.2. <b>Batasan Operasi .....</b>	7
2.3. <b>Settlement .....</b>	8
2.4. <b>Teori Pembebaan .....</b>	9
2.4.1. <b>Beban Mati (<i>Dead Loads</i>) .....</b>	9
2.4.2. <b>Beban Hidup (<i>Live Loads</i>) .....</b>	9
2.4.3. <b>Beban Lingkungan.....</b>	10
2.4.3.1. <b>Tekanan Hidrostatis .....</b>	10
2.4.3.2. <b>Beban Gelombang dan Arus (Gaya Hidrodinamis).....</b>	11
2.4.3.3. <b>Beban Angin .....</b>	16
2.4.4. <b>Beban Konstruksi.....</b>	17
2.4.5. <b>Beban <i>Removal</i> dan <i>Reinstalasi</i>.....</b>	17
2.4.6. <b>Beban Dinamis .....</b>	17
2.5. <b>Tegangan Pada Struktur .....</b>	18

<b>2.5.1.</b>	<b>Tegangan Aksial</b> .....	18
<b>2.5.2.</b>	<b>Tegangan Tekan Aksial</b> .....	18
<b>2.5.3.</b>	<b>Column Buckling</b> .....	19
<b>2.5.4.</b>	<b>Local Buckling</b> .....	20
<b>2.5.5.</b>	<b>Tegangan Tarik Aksial</b> .....	21
<b>2.5.6.</b>	<b>Lenturan (<i>Bending</i>)</b> .....	22
<b>2.5.7.</b>	<b>Tegangan Geser (<i>Shear</i>)</b> .....	22
<b>2.5.8.</b>	<b>Tegangan Hoop</b> .....	23
<b>2.5.9.</b>	<b>Tegangan Kombinasi</b> .....	24
<b>2.6.</b>	<b>Kriteria Penilaian <i>Platform</i> (<i>Platform Assesment</i>)</b> .....	24
<b>2.7.</b>	<b>Efek P Delta (P-<math>\Delta</math>)</b> .....	27
<b>2.8.</b>	<b>Analisis Keruntuhan</b> .....	27
<b>2.9.</b>	<b>Analisis Keandalan</b> .....	29
<b>2.9.1.</b>	<b>Keandalan pada Sistem Rekayasa</b> .....	29
<b>2.9.2.</b>	<b>Keandalan Sistem Seri</b> .....	30
<b>2.9.3.</b>	<b>Keandalan Sistem Paralel</b> .....	30
<b>2.9.4.</b>	<b>Metode Simulasi <i>Monte Carlo</i></b> .....	31
<b>2.9.5.</b>	<b>Mode Kegagalan</b> .....	32
<b>2.9.6.</b>	<b>Indeks Keandalan</b> .....	34
<b>BAB III</b> .....		35
<b>METODOLOGI PENELITIAN</b> .....		35
<b>3.1.</b>	<b>Diagram Alir (<i>Flow Chart</i>)</b> .....	35
<b>3.2.</b>	<b>Penjelasan Diagram Alir</b> .....	36
<b>BAB IV</b> .....		39
<b>HASIL &amp; PEMBAHASAN</b> .....		39
<b>4.1</b>	<b>Pengumpulan Data</b> .....	39
<b>4.1.1</b>	<b>Deskripsi <i>Platform</i></b> .....	39
<b>4.1.2</b>	<b>Weight Calculation Report (WCR)</b> .....	41
<b>4.1.3.</b>	<b>Data Lingkungan</b> .....	42
<b>4.1.3.1.</b>	<b>Kedalaman Perairan</b> .....	42
<b>4.1.3.2.</b>	<b>Data Gelombang, Arus dan Angin</b> .....	43
<b>4.1.3.3.</b>	<b>Parameter-parameter lainnya</b> .....	44
<b>4.2.</b>	<b>Pemodelan Struktur</b> .....	45
<b>4.3.</b>	<b>Validasi Model</b> .....	48

<b>4.4.</b>	<b>Pemodelan Kemiringan Struktur .....</b>	49
<b>4.5.</b>	<b>Condition Assesment Analysis .....</b>	51
<b>4.6.</b>	<b>Menentukan Kondisi Kritis pada Platform.....</b>	52
<b>4.8.</b>	<b>Kategorisasi Platform.....</b>	55
<b>4.9.</b>	<b>Analisis Keruntuhan .....</b>	56
<b>4.10.</b>	<b>Analisis Keandalan .....</b>	57
<b>BAB V</b>		63
<b>KESIMPULAN DAN SARAN</b>		63
<b>5.1.</b>	<b>Kesimpulan .....</b>	63
<b>5.2.</b>	<b>Saran .....</b>	63
<b>DAFTAR PUSTAKA</b>		65
<b>LAMPIRAN 1</b>		67
<b>DRAWING DARI PLATFORM</b>		67
<b>LAMPIRAN 2</b>		139
<b>PERHITUNGAN KEANDALAN</b>		139
<b>LAMPIRAN 3</b>		151
<b>SACS INPUT UNTUK PEMBEBABAN <i>EQUIPMENT</i> DAN <i>LIVE LOAD</i></b>		151

**(Halaman ini sengaja dikosongkan)**

## DAFTAR GAMBAR

<b>Gambar 2.1.</b>	<i>Jacket Platform</i> .....	7
<b>Gambar 2.2.</b>	<i>Conductor</i> menyentuh <i>diverter housing</i> saat mencapai sudut kemiringan kritis.....	8
<b>Gambar 2.3.</b>	Tipe-tipe <i>settlement</i> dan pengaruhnya pada bangunan.....	10
<b>Gambar 2.4.</b>	Prosedur perhitungan beban gelombang dan arus.....	11
<b>Gambar 2.5.</b>	Grafik Validasi Teori Gelombang.....	12
<b>Gambar 2.6.</b>	Komponen-komponen gelombang stoke orde 5.....	13
<b>Gambar 2.7.</b>	Ilustrasi sebuah struktur silinder terpanjang yang dikenai oleh gelombang.....	14
<b>Gambar 2.8.</b>	Ilustrasi sebuah struktur silinder terpanjang miring yang dikenai oleh gelombang.....	15
<b>Gambar 2.9.</b>	Pembebanan aksial.....	18
<b>Gambar 2.10.</b>	Ilustrasi Column Buckling pada batang tekan.....	20
<b>Gambar 2.11.</b>	Ilustrasi perbedaan antara global (column) buckling dan local buckling.....	21
<b>Gambar 2.12.</b>	Ilustrasi pergeseran beban akibat defleksi.....	27
<b>Gambar 2.13.</b>	Hubungan antara tegangan ijin, titik yield dan titik ultimat.....	28
<b>Gambar 2.14.</b>	Fungsi Distribusi Peluang X dan Y.....	30
<b>Gambar 2.15.</b>	Ilustrasi keandalan sistem seri.....	30
<b>Gambar 2.16.</b>	Ilustrasi keandalan sistem paralel.....	31
<b>Gambar 2.17.</b>	Ilustrasi 6 tegangan dasar pada suatu objek.....	32
<b>Gambar 2.18.</b>	Ilustrasi beban yang dikenai tegangan principal.....	33
<b>Gambar 3.1.</b>	Diagram Alir Penggerjaan Tugas Akhir.....	35

<b>Gambar 4.1.</b>	<i>Topside Elevation</i> .....	41
<b>Gambar 4.2.</b>	<i>Jacket Elevation</i> .....	41
<b>Gambar 4.3.</b>	Model <i>platform</i> pada software SACS.....	46
<b>Gambar 4.4.</b>	Titik Pusat Rotasi.....	50
<b>Gambar 4.5.</b>	Hubungan $P-\Delta x$ tiap variasi sudut pada kondisi operasi.....	51
<b>Gambar 4.6.</b>	Hubungan $P-\Delta x$ tiap variasi sudut pada kondisi badai.....	51
<b>Gambar 4.7.</b>	Kurva regresi nilai UC terhadap kemiringan kondisi Operasi...53	
<b>Gambar 4.8.</b>	Kurva regresi nilai UC terhadap nilai $P-\Delta$ kondisi Operasi.....53	
<b>Gambar 4.9.</b>	Kurva regresi nilai UC terhadap kemirngan kondisi Badai.....54	
<b>Gambar 4.10.</b>	Kurva regresi nilai UC terhadap nilai $P-\Delta$ kondisi Badai.....54	
<b>Gambar 4.11.</b>	Letak member-member yang mengalami plastisitas.....58	
<b>Gambar 4.12.</b>	Hubungan keandalan tiap member.....61	

## DAFTAR TABEL

<b>Tabel 2.1.</b>	Nilai Koefisien Bentuk.....	17
<b>Tabel 2.2.</b>	Kriteria <i>Exposure Level</i> .....	26
<b>Tabel 2.3.</b>	<i>Assesment Kriteria</i> .....	26
<b>Tabel 4.1.</b>	Deskripsi <i>Jacket platform</i> .....	39
<b>Tabel 4.2.</b>	<i>Appurtenance</i> pada <i>topside platform PHE-12</i> .....	40
<b>Tabel 4.3.</b>	Elevasi <i>Platform</i> .....	40
<b>Tabel 4.4.</b>	WCR dari <i>platform</i> .....	42
<b>Tabel 4.5.</b>	Kedalaman Perairan.....	42
<b>Tabel 4.6.</b>	Data Gelombang.....	43
<b>Tabel 4.7.</b>	Data Arus.....	43
<b>Tabel 4.8.</b>	Data Angin.....	44
<b>Tabel 4.9.</b>	Koefisien Hidrodinamika.....	44
<b>Tabel 4.10.</b>	<i>Current Blockage Factor</i> .....	44
<b>Tabel 4.11.</b>	<i>Marine Growth</i> .....	45
<b>Tabel 4.12.</b>	<i>Allowable Stresses</i> .....	45
<b>Tabel 4.13.</b>	<i>Allowable Vertical Displacement</i> .....	45
<b>Tabel 4.14.</b>	<i>Corrosion Allowance</i> .....	45
<b>Tabel 4.15.</b>	<i>Member Group Fix Letter</i> .....	47
<b>Tabel 4.16.</b>	Perbanding WCR dengan SACS <i>load</i> .....	48
<b>Tabel 4.17.</b>	Titik putar COG awal dan beban vertikal struktur.....	49
<b>Tabel 4.18.</b>	Nilai $\Delta x$ pada tiap kemiringan dan kondisi.....	49

<b>Tabel 4.19.</b>	Nilai P- $\Delta x$ pada variasi kemiringan dan kondisi.....	50
<b>Tabel 4.20.</b>	Nilai UC maksimum dan tambahan momen (P- $\Delta X$ ) tiap derajat kemiringan pada kondisi operasi.....	52
<b>Tabel 4.21.</b>	Nilai UC maksimum dan tambahan momen (P- $\Delta X$ ) tiap derajat kemiringan pada kondisi badi.....	52
<b>Tabel 4.22.</b>	Nilai sudut dan P- $\Delta x$ kritis pada tiap kondisi.....	55
<b>Tabel 4.23.</b>	<i>Exposure Level</i> .....	55
<b>Tabel 4.24.</b>	Nilai <i>base shear</i> dan RSR pada masing-masing arah pembebangan kondisi operasi.....	56
<b>Tabel 4.25.</b>	Nilai tegangan aktual pada member dan nilai tegangan yieldnya.....	57
<b>Tabel 4.26.</b>	Variabel acak .....	58
<b>Tabel 4.27.</b>	Nilai standar deviasi dari tegangan aktual dan kapasitas .....	59
<b>Tabel 4.28.</b>	Nilai keandalan tiap member.....	59
<b>Tabel 4.29.</b>	Runtutan kegagalan member.....	63
<b>Tabel 4.30.</b>	Nilai indeks keandalan dari masing-masing member.....	62

## BAB I

### PENDAHULUAN

#### 1.1. Latar Belakang

Bangunan lepas pantai dalam masa operasinya bisa mengalami suatu insiden yang dapat mengurangi integritas struktur bangunan tersebut. Insiden yang terjadi bisa bermacam-macam, bisa berupa tumbukan kapal, gempa bumi, ledakan, *settlement, subsidence* dan lain sebagainya yang bisa membahayakan kelangsungan operasi dari bangunan lepas pantai tersebut. Salah satu kejadian yang banyak dialami oleh bangunan lepas pantai adalah *settlement* yang akan berujung pada penurunan *deck clearance* atau *air gap* yang telah ditentukan dalam perencanaan. Selain itu *settlement* juga bisa terjadi secara lokal yang artinya penurunan setiap titik pada permukaan tanah tidak sama dan tentu ini akan berujung pada kemiringan bangunan lepas pantai atau *platform* tersebut.

Hal semacam ini akan menjadi sebuah dilema bagi perusahaan pemilik bangunan tersebut, mereka dihadapkan pada dua pilihan antara menghentikan atau melanjutkan operasi pada *platform* tersebut. Ini bukanlah pilihan yang mudah, ketika mereka memilih untuk menghentikan operasi dari *platform*, mereka akan mengalami kerugian yang telah mereka keluarkan untuk membangun *platform* tersebut yang seharusnya baru akan tertutupi ketika *platform* sudah melakukan operasi sampai waktu yang telah ditentukan. Tetapi mereka juga dihadapkan pada resiko yang sangat tinggi ketika mengambil keputusan untuk melanjutkan operasi dari *platform* tersebut. Untuk menentukan langkah yang tepat, maka sekiranya perlu diadakan sebuah penelitian yang mencari pengaruh kemiringan terhadap keruntuhan pada *platform*.

Penelitian ini akan mencari seberapa besar kemiringan yang diijinkan bagi sebuah *platform* untuk tetap bisa bekerja secara optimal dan juga pengaruh dari kemiringan tersebut terhadap keruntuhan *platform*. Sehingga diharapkan kedepannya dengan adanya penelitian ini, para pemilik *platform* bisa menentukan keputusan yang tepat pada kasus-kasus *platform* miring.

## **1.2. Perumusan Masalah**

Permasalahan yang akan dikaji dalam tugas akhir ini adalah sebagai berikut:

1. Berapa nilai sudut kemiringan kritis bangunan lepas pantai tipe *jacket* akibat *settlement*?
2. Berapa nilai *reserve strength ratio* (RSR) struktur bangunan lepas pantai tipe *jacket* pada kondisi kemiringan kritis akibat *settlement*?
3. Berapa nilai keandalan dan indeks keandalan struktur bangunan lepas pantai tipe *jacket* terhadap keruntuhan pada kondisi kemiringan kritis akibat *settlement*?

## **1.3. Tujuan Penelitian**

Tujuan yang ingin dicapai oleh penulis pada tugas akhir ini adalah sebagai berikut:

1. Mencari nilai sudut kemiringan kritis bangunan lepas pantai tipe *jacket* akibat *settlement*
2. Mencari nilai *reserve strength ratio* (RSR) struktur bangunan lepas pantai tipe *jacket* pada kondisi kemiringan kritis akibat *settlement*.
3. Mencari nilai keandalan struktur bangunan lepas pantai tipe *jacket* terhadap keruntuhan pada kondisi kemiringan kritis akibat *settlement*.

## **1.4. Manfaat Penelitian**

Manfaat yang diharapkan oleh penulis adalah agar ke depannya metode analisis ini bisa dipergunakan dalam menentukan kondisi kemiringan kritis suatu bangunan lepas pantai dan pengaruhnya terhadap keruntuhan struktur.

## **1.5. Batasan Masalah**

Untuk memperjelas permasalahan tugas akhir ini, maka perlu adanya ruang lingkup pengujian atau asumsi-asumsi sebagai berikut:

1. Analisis yang dilakukan dalam penulisan tugas akhir ini adalah analisis statis global.
2. Pada tugas akhir ini tidak diperhitungkan proses terjadinya *settlement*, tetapi hanya memperhitungkan pengaruh *pasca* terjadinya *settlement*.
3. Tidak memperhitungkan kapasitas pondasi.
4. Tidak melakukan *pile stress analysis*.

5. Tidak memperhitungkan terjadinya *scouring*.
6. Analisis dilakukan pada kondisi operasi dan badai dengan kedalaman perairan maksimum.
7. Perhitungan UC maksimum hanya dilakukan pada member

### **1.6. Sistematika Penulisan**

Sistematika penulisan pada tugas akhir ini adalah sebagai berikut:

#### **BAB I PENDAHULUAN**

Bab ini menguraikan beberapa hal, antara lain.

- a. Latar Belakang
- b. Perumusan Masalah
- c. Tujuan
- d. Manfaat
- e. Batasan Masalah
- f. Sistematika Penulisan

#### **BAB II TINJAUN PUSTAKA DAN DASAR TEORI**

Bab ini berisi penelitian-penelitian yang telah dilakukan sebelumnya sebagai acuan dalam tugas akhir ini dan juga mengenai teori-teori pendukung yang digunakan dalam penulisan tugas akhir ini.

#### **BAB III METODOLOGI PENELITIAN**

Bab ini berisi mengenai langkah-langkah dan tata urutan penggerjaan yang dilakukan saat penulisan tugas akhir ini. Mulai dari pemodelan model, pengumpulan data, analisis sampai penarikan kesimpulan dari hasil analisis.

#### **BAB IV ANALISIS DAN HASIL PEMBAHAHASAN**

Bab ini berisi mengenai pemaparan hasil dari analisis yang dilakukan beserta pembahasannya.

#### **BAB V KESIMPULAN DAN SARAN**

Bab ini menjelaskan kesimpulan yang didapat dari hasil analisis dan saran yang dari penulis untuk kegiatan penelitian selanjutnya.

## **BAB II**

### **DASAR TEORI**

#### **2.1. Tinjauan Pustaka**

Analisis keruntuhan atau biasa juga disebut dengan *collapse analysis* adalah analisis statis *non-linear* yang bertujuan untuk mengetahui besarnya kapasitas struktur untuk menerima beban sampai terjadi keruntuhan. Analisis dilakukan dengan cara penambahan beban struktur secara bertahap sampai struktur mengalami keruntuhan atau *collapse*. Setelah itu akan diketahui besar cadangan kekuatan struktur atau disebut dengan *reserve strength ratio* (RSR) (Ainillah, 2017). Analisis keruntuhan atau *collapse analysis* dilakukan apabila struktur mengalami beberapa hal antara lain perubahan desain dari perencanaan awal seperti penambahan komponen, atau pelebaran *deck* dan sebagainya, struktur mengalami insiden dalam masa operasinya, atau terjadi perubahan kondisi lingkungan dari yang diperkirakan selama masa operasi struktur tersebut, sehingga perlu diketahui berapa cadangan kekuatan struktur setelah peristiwa-peristiwa tersebut terjadi.

Analisis keruntuhan pada bangunan lepas pantai telah banyak diteliti oleh kalangan akademisi maupun *professional*. Salah satunya adalah *paper* yang berjudul “*probabilistic collapse analysis of offshore structure*” oleh Y. Murotsu, M. Kishi, H. Okada, Y. Ikeda, dan S. Matsuzaki (1986) yang diterbitkan pada *journal of offshore mechanics & artic engineering ASME*. Penelitian ini memaparkan tentang analisis keruntuhan yang mempertimbangkan aspek ketidakpastian pada perhitungan beban lingkungan.

Analisis keruntuhan juga telah banyak diteliti oleh mahasiswa Departemen Teknik Kelautan, Fakutas Teknologi Kelautan, ITS dengan berbagai latar belakang. Untuk latar belakang modifikasi struktur telah dilakukan oleh Fatih Azmi (2016) yang membahas “Analisis Resiko Keruntuhan Struktur *Breasting Dolphin* Akibat Penambahan DWT Kapal Tanker”. Untuk latar belakang perubahan kondisi lingkungan telah dilakukan oleh Widi Chalbi (2017) yang membahas “Analisis *Ultimate Strength* Struktur *Jacket Platform* Berbasis Keandalan dengan Variasi Jenis Tanah” dan untuk latar belakang terjadinya insiden telah diteliti oleh Shaila

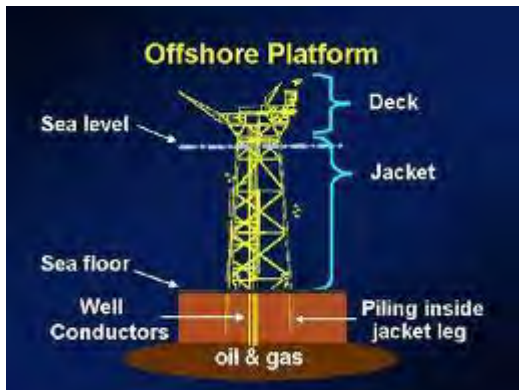
Ainillah (2017) yang membahas “Analisis *Ultimate Strength* Struktur *Jacket Platform* berbasis keandalan *Pasca Subsidence*”.

Namun sampai saat ini belum ada penelitian mengenai analisis keruntuhan yang dilakukan akibat kemiringan pada *platform* akibat *settlement*. *Settlement* adalah penurunan struktur terhadap permukaan tanah akibat beban yang berlebihan pada tanah. *Settlement* bisa terjadi secara lokal yang dapat mengakibatkan struktur mengalami kemiringan. Kemiringan bangunan lepas pantai akibat *settlement* telah banyak terjadi dan dari sini penulis merasa perlu untuk diadakannya suatu penelitian mengenai bagaimana sebenarnya kekuatan dari *platform* yang mengalami kemiringan dengan berbagai variasi sudut. Tentunya kemiringan yang ditinjau masih dalam area *serviceability* dari perlengkapan-perlengkapan yang ada di dalam *platform* tersebut. Sehingga untuk kedepannya apabila analisis ini dilakukan pada setiap *platform*, hasilnya dapat dijadikan pertimbangan untuk pengambilan keputusan yang tepat pada suatu insiden *platform* miring.

## **2.2. Bangunan Lepas Pantai Tipe *Jacket***

### **2.2.1. Umum**

*Jacket Platform* adalah salah satu jenis bangunan lepas pantai yang tergolong ke dalam *fixed platform*. Secara umum *jacket platform* dibagi menjadi tiga komponen utama yaitu *topside*, *jacket leg* dan *pile*. *Topside* atau biasa juga disebut dengan *superstructure* adalah bagian bangunan yang menampung semua perlengkapan yang berkaitan dengan fungsi bangunan itu sendiri misalnya sebagai *well head*, *production* atau *service platform*. Atau bisa juga hanya sebagai akomodasi dari kru saja. Selanjutnya adalah *jacket leg*, *jacket leg* atau biasa juga disebut *substructure* adalah struktur yang terdiri dari tubular-tubular yang dilas satu sama lainnya. *Jacket leg* di desain untuk menerima beban *lateral* dari lingkungan dan meneruskannya ke *pile*. Yang terakhir adalah *pile*, *pile* didesain untuk meneruskan semua beban yang diterima oleh bangunan ke tanah dan mengokohkan bangunan tersebut (API RP 2A WSD, 2002). Untuk lebih jelasnya jacket platform akan diilustrasikan pada gambar 2.1 sebagai berikut.



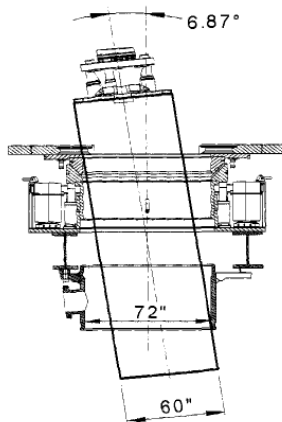
**Gambar 2.1. *Jacket Platform***

(Sumber: google.com)

### 2.2.2. Batasan Operasi

Bangunan lepas pantai akan di desain sesuai operasi yang akan dilakukan diatasnya seperti operasi *drilling*, *produksi*, *wellhead* atau hanya sebagai akomodasi. Berbagai macam kegiatan tersebut membutuhkan perlengkapan-perlengkapan yang sangat kompleks dan tentunya mempunyai batasan agar dapat beroperasi secara optimal. Hal ini akan menjadi pertimbangan penting dalam mendesain sebuah bangunan lepas pantai dimana bangunan tersebut harus bisa mengatasi batasan dari perlengkapan-perlengkapan tersebut. Salah satu batasan yang menjadi isu penting adalah batasan terhadap kemiringan. Kemiringan akan membuat perlengkapan-perlengkapan yang menunjang operasi menjadi tidak optimal dalam menjalankan tugasnya, bahkan bisa berdampak pada kegagalan dan berpotensi menyebakan bahaaya yang serius. Banyak sekali perlengkapan yang terpasang diatas suatu *platform*, namun yang akan menjadi perhatian khusus dalam tugas akhir ini adalah *conductor*.

*Conductor* adalah suatu alat yang menghubungkan bagian *topside* dengan *wellhead* di dasar laut. *Conductor* menjadi perlengkapan yang sangat kritis karena memiliki konsekuensi yang besar ketika terjadi kegagalan pada struktur tersebut, baik nyawa, kerusakan lingkungan dan tentunya materi. Dalam masa operasinya, *conductor* akan menerima beban lateral dari lingkungan, untuk itu *conductor* harus mempunyai keleluasan dalam bergerak guna mengatasi beban tersebut. sudut kemiringan *conductor* tergantung pada diameter *conductor* dengan ukuran *diverter housing* seperti yang diilustrasikan pada gambar 2.2.



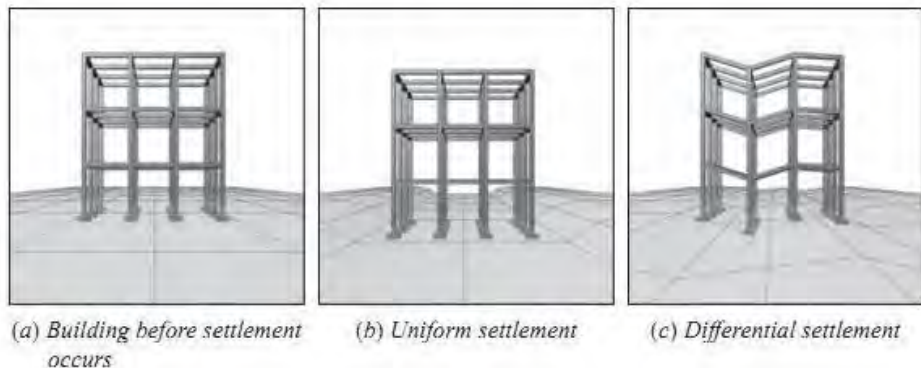
**Gambar 2.2.** *Conductor* menyentuh *diverter housing* saat mencapai sudut kemiringan kritis

(Sumber: Chakrabarti, 2005)

Namun biasanya ukuran *diverter housing* didesain sedemikian rupa yang membuat *conductor* hanya bisa mengalami kemiringan tiga derajat saja ketika operasi berlangsung (Chakrabarti, 2005). Nilai sudut ini akan menjadi acuan bagi penulis dalam menentukan variasi sudut pada analisis keruntuhan ini sebagai batas kemiringan kritis dari *jacket platform*.

### 2.3. *Settlement*

*Settlement* adalah turunnya elevasi struktur terhadap permukaan tanah yang disebabkan oleh kenaikan tegangan yang disertai regangan pada lapisan tanah yang diakibatkan oleh beban pondasi. (Braja M. Das, 2008). *Settlement* dibagi menjadi dua macam yaitu *uniform settlement* dan *differential settlement*. *Differential settlement* inilah yang akan membuat suatu bangunan menjadi miring. *Settlement* akan terus terjadi sampai tanah mencapai kondisi stabil. Dimana tanah sudah terkonsolidasi maksimum. Tipe-tipe *settlement* dan hubungannya dengan kemiringan suatu bangunan diilustrasikan pada gambar 2.3 sebagai berikut.



**Gambar 2.3.** Tipe-tipe *settlement* dan pengaruhnya pada bangunan

(Sumber: theconstructor.org)

## 2.4. Teori Pembebaan

### 2.4.1. Beban Mati (*Dead Loads*)

Beban mati atau *dead loads* adalah berat dari struktur dan semua perlengkapan permanen yang terpasang pada struktur yang tidak akan berubah selama moda operasi. *Dead loads* bisa juga disebut gabungan dari beberapa macam beban sebagai berikut:

1. Berat struktur di udara, termasuk didalamnya berat *piles*, *grout* dan *ballast*
2. Berat perlengkapan dan kelengkapan struktur yang dipasang secara permanen.
3. Gaya hidrostatis yang bekerja pada struktur saat struktur berada di laut.

(API RP 2A WSD, 2002)

### 2.4.2. Beban Hidup (*Live Loads*)

Beban hidup atau *live loads* adalah beban yang bisa berubah selama masa operasi atau dari satu mode operasi ke mode operasi lainnya. *Live loads* terdiri dari:

1. Berat dari perlengkapan *drilling* dan produksi yang bisa ditambahkan atau dihilangkan dari platform.
2. Berat *living quarter*, *heliport*, *life support equipment*, *life saving equipment*, *diving equipment*, dan perlengkapan lainnya yang bisa ditambah dan dihilangkan dari platform.
3. Berat dari keperluan yang dikonsumsi oleh kru dan dari tangki-tangki penyimpanan.

4. Beban yang diterima struktur dari operasi pengeboran, *material handling*, *vessel mooring* dan *helicopter loading*.
5. Beban yang diterima struktur dari penggunaan *crane*.

(API RP 2A WSD, 2002)

#### **2.4.3. Beban Lingkungan**

Beban lingkungan adalah beban yang mengenai struktur yang dibangkitkan oleh fenomena alam seperti angin, gelombang, arus, gempa bumi, salju, es dan pergerakan tanah. Perubahan gaya hidrostatis yang diakibatkan oleh perubahan muka air laut akibat gelombang dan pasang surut juga termasuk ke dalam beban lingkungan (API RP 2A WSD, 2002).

Dalam penulisan tugas akhir ini tidak semua beban lingkungan dihitung, hanya beban-beban yang selalu ada pada setiap bangunan lepas pantai dan mempunyai pengaruh yang signifikan terhadap struktur yang akan diperhitungkan seperti beban hidrostatis, beban gelombang, beban arus dan beban angin. berikut adalah penjabarannya :

##### **2.4.3.1. Tekanan Hidrostatis**

Tekanan hidrostatis adalah tekanan yang diakibatkan oleh berat dari fluida tempat bangunan tersebut diletakan. Tekanan hidrostatis dihitung dengan persamaan sebagai berikut.

$$p = \gamma H_z \quad (2.1)$$

$$H_z = z + \frac{H_w}{2} \left( \frac{\cosh|k(d-z)|}{\cosh kd} \right) \quad (2.2)$$

Dimana :

$p$  = tekanan hidrostatis, ksi (MPa)

$\gamma$  = berat jenis air, 64 lbs/ft<sup>3</sup> (0,01005 MN/m<sup>3</sup>)

$H_z$  = *hydrostatic head*, ft (m)

$z$  = kedalaman dari permukaan air, ft (m), nilai  $z$  positif ke arah bawah

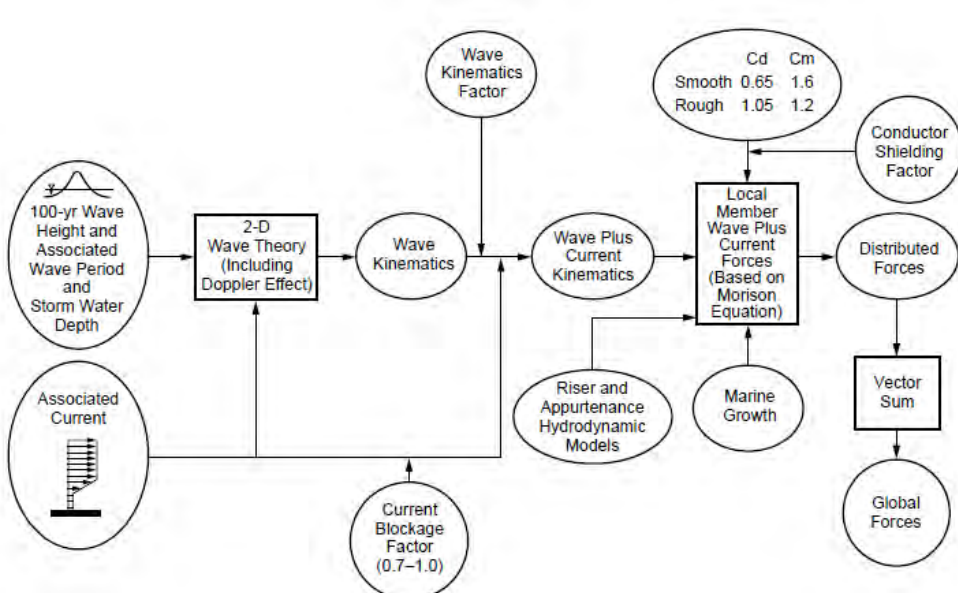
$H_w$  = tinggi gelombang, ft (m),

$k = \frac{2\pi}{L}$  (angka gelombang) dimana  $L$  adalah panjang gelombang,  $\text{ft}^{-1}$  ( $\text{m}^{-1}$ )

$d$  = kedalaman perairan, ft (m)

#### 2.4.3.2. Beban Gelombang dan Arus (Gaya Hidrodinamis)

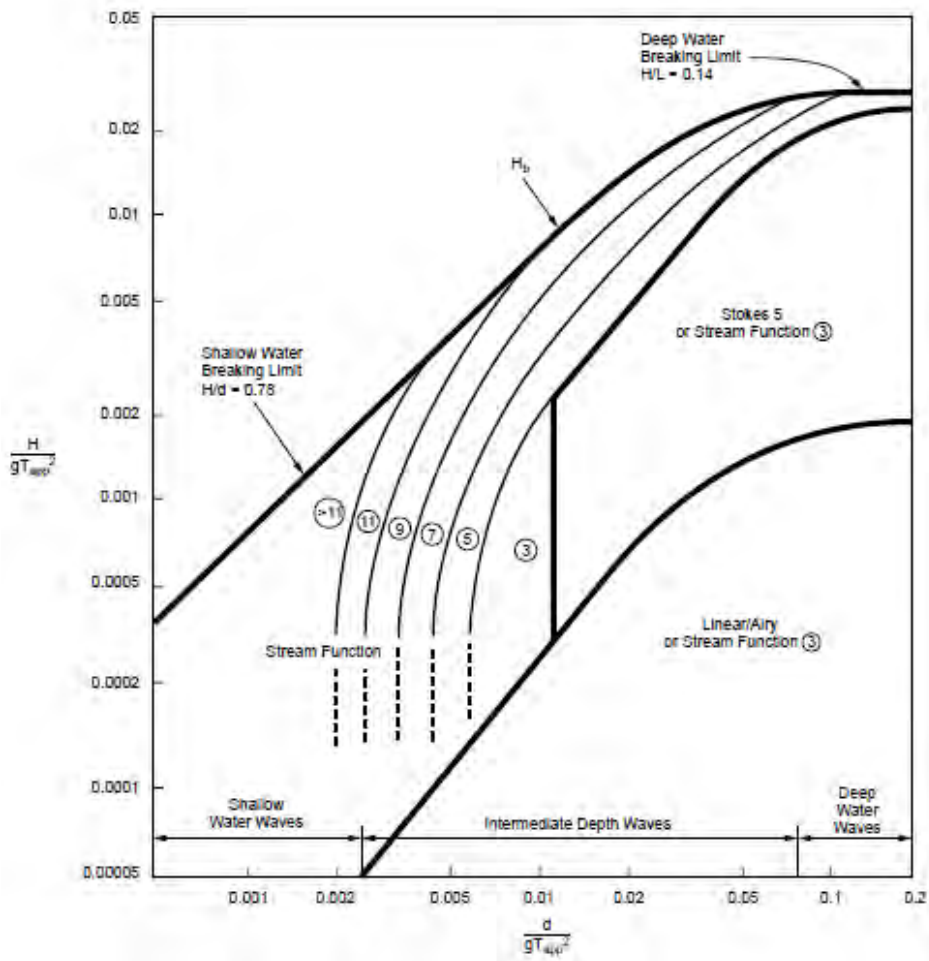
Pada struktur lepas pantai tipe *jacket*, beban gelombang dan arus dihitung bersamaan dengan menggunakan persamaan morison. Hal ini disebabkan karena struktur jacket terdiri dari tubular-tubular yang bisa diasumsikan sebagai struktur langsing. Untuk lebih mudah berikut penulis tampilkan skema dalam perhitungan beban gelombang dan arus.



**Gambar 2.4.** Prosedur perhitungan beban gelombang dan arus

(Sumber: API RP 2A WSD, 2002)

dari skema diatas dapat diketahui bahwa hal yang pertama dilakukan adalah mencari nilai kinematis dari gelombang dan arus. Untuk mencari nilai kinematis dari gelombang, terlebih dahulu kita harus menentukan teori gelombang yang akan kita pakai menggunakan pendekatan grafik validasi teori gelombang.



**Gambar 2.5.** Grafik Validasi Teori Gelombang

(Sumber: API RP 2A WSD, 2002)

Terdapat banyak sekali teori gelombang seperti teori gelombang airy, stoke, cnoidal, dan stream function. Namun penulis hanya akan membahas tentang teori gelombang stokes orde lima yang digunakan dalam analisis beban gelombang pada penulisan tugas akhir ini.

Stokes orde 5 adalah gabungan dari persamaan-persamaan stokes orde-orde dibawahnya. Teori ini hanya valid pada daerah perairan dengan nilai  $H/d \leq (kd)^2$ , untuk  $(kd) < 1$  dan  $H/L \leq 1$ . Untuk itu teori ini tidak berlaku pada laut yang memiliki kedalaman dangkal. Teori stoke masih termasuk teori gelombang reguler yang masih mengsumsikan fluida memiliki sifat ideal, *incompressible, steady*, dan dianggap dasar laut kedap terhadap air. Teori gelombang stoke orde 5 memiliki persamaan *velocity potential* sebagai berikut.

$$\phi = \frac{c}{k} \sum_{n=1}^5 \lambda_n \cosh nk(z + d) \sin n(kx - \omega t) \quad (2.3)$$

Dari persamaan 2.3, kita bisa menentukan nilai kinematis dari gelombang stoke orde 5 sebagai berikut.

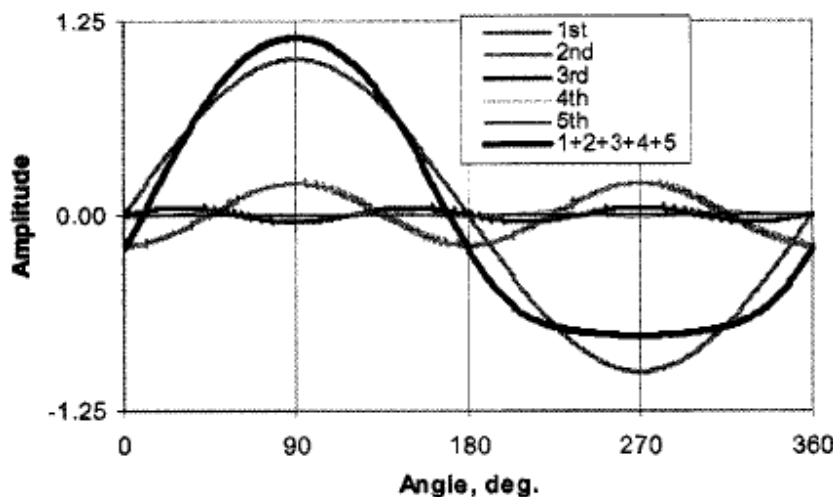
$$u = \frac{\partial \phi}{\partial x} = c \sum_{n=1}^5 n \lambda_n \cosh nk(z + d) \cos n(kx - \omega t) \quad (2.4)$$

$$w = \frac{\partial \phi}{\partial z} = c \sum_{n=1}^5 n \lambda_n \sinh nk(z + d) \sin n(kx - \omega t) \quad (2.5)$$

$$\dot{u} = \frac{\partial u}{\partial t} = -c \sum_{n=1}^5 n^2 \lambda_n \omega \sinh nk(z + d) \sin n(kx - \omega t) \quad (2.6)$$

$$\dot{w} = \frac{\partial w}{\partial t} = c \sum_{n=1}^5 n^2 \lambda_n \omega \cosh nk(z + d) \cos n(kx - \omega t) \quad (2.7)$$

Dengan nilai  $\lambda$  yang telah ditentukan sebelumnya oleh Skjelbreia dan Hendrikson (1961).



**Gambar 2.6.** Komponen-komponen gelombang stoke orde 5

(Sumber : Chakrabarti, 2005)

Sementara untuk menentukan nilai kinematis dari arus, digunakan data hasil dari *survey*. Data arus biasanya berupa data kecepatan pada tingkat kedalaman perairan.

Setelah kedua hal itu kita dapatkan, kita bisa langsung menghitungnya ke dalam persamaan morison sebagai berikut.

$$F = F_D + F_I = \frac{1}{2} C_D \rho D u|u| + \frac{\pi}{4} C_m \rho D^2 \frac{\delta u}{\delta t} \quad (2.8)$$

Dimana :

$F$  = gaya hidrodinamis pada struktur, kips/ft (kN/m)

$F_D$  = gaya drag, kips/ft (kN/m)

$F_I$  = gaya inersia, kips/ft (kN/m)

$C_D$  = koefisien drag

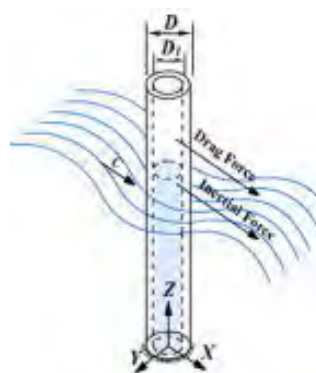
$C_m$  = koefisien inersia

$\rho$  = massa jenis air laut, 1,989 slugs/ft<sup>3</sup> (1,025 ton/m<sup>3</sup>)

$D$  = diameter tubular, ft (m)

$u$  = gabungan komponen kecepatan dari gelombang dan arus arah x, ft/s (m/s)

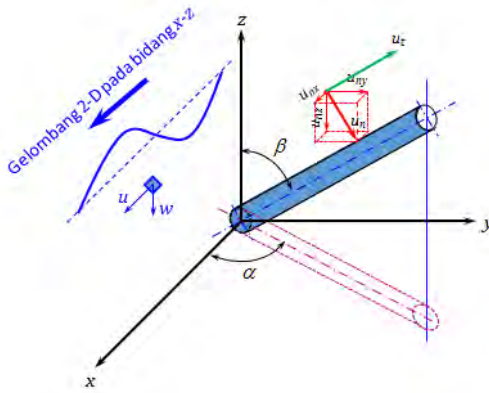
$\frac{\delta u}{\delta t}$  = komponen percepatan gelombang arah x, ft/s<sup>2</sup> (m/s<sup>2</sup>)



**Gambar 2.7.** Ilustrasi sebuah struktur silinder terpanjang yang dikenani oleh gelombang

(Sumber: sciencedirect.com)

Persamaan diatas berlaku pada silinder lurus terpanjang tegak, sementara untuk silinder yang terpanjang miring seperti pada *bracing* dan *battered legs* terdapat modifikasi pada persamaan diatas pada komponen kinematisnya karena adanya perbedaan orientasi gaya gelombang (Djatmiko, 2014).



**Gambar 2.8.** Ilustrasi sebuah struktur silinder terpanjang miring yang dikenai oleh gelombang

(Sumber : Djatmiko, 2014)

Maka pada struktur terpanjang miring tersebut perhitungan gaya gelombang menjadi seperti berikut ini.

$$F_x = F_{Dx} + F_{Ix} = \frac{1}{2} C_D \rho D u_n |u_{nx}| + \frac{\pi}{4} C_m \rho D^2 \frac{\delta u}{\delta t}_{nx} \quad (2.9)$$

$$F_y = F_{Dy} + F_{Iy} = \frac{1}{2} C_D \rho D u_n |u_{ny}| + \frac{\pi}{4} C_m \rho D^2 \frac{\delta u}{\delta t}_{ny} \quad (2.10)$$

$$F_z = F_{Dz} + F_{Iz} = \frac{1}{2} C_D \rho D u_n |u_{nz}| + \frac{\pi}{4} C_m \rho D^2 \frac{\delta u}{\delta t}_{nz} \quad (2.11)$$

Untuk komponen kecepatan masing-masing arah adalah sebagai berikut.

$$u_{nx} = u - e_x (e_x u + e_z w) \quad (2.12)$$

$$u_{ny} = -e_y (e_x u + e_z w) \quad (2.13)$$

$$u_{nz} = w - e_z (e_x u + e_z w) \quad (2.14)$$

Sementara untuk komponen percepatannya adalah sebagai berikut.

$$\frac{\delta u}{\delta t}_{nx} = \frac{\delta u}{\delta t} - e_x (e_x \frac{\delta u}{\delta t} + e_z \frac{\delta w}{\delta t}) \quad (2.15)$$

$$\frac{\delta u}{\delta t}_{ny} = -e_y (e_x \frac{\delta u}{\delta t} + e_z \frac{\delta w}{\delta t}) \quad (2.16)$$

$$\frac{\delta u}{\delta t_{nz}} = \frac{\delta u}{\delta t} - e_z (e_x \frac{\delta u}{\delta t} + e_z \frac{\delta w}{\delta t}) \quad (2.17)$$

Dimana :

$$e_x = \sin \beta \cos \alpha \quad (2.18)$$

$$e_y = \sin \beta \sin \alpha \quad (2.19)$$

$$e_z = \cos \beta \quad (2.20)$$

#### 2.4.3.3. Beban Angin

Sebagaimana gelombang, angin adalah beban yang bersifat dinamis di alam. Namun, pada perhitungan struktur, struktur diasumsikan memberikan respon yang statis. Angin memberikan sumbangsih sekitar sepuluh persen terhadap keseluruhan beban lingkungan yang bekerja terhadap struktur (API RP 2A WSD, 2002).

Sama halnya dengan gaya hidrodinamis, pada perhitungan beban angin pertama-tama kita harus menentukan nilai kinematisnya yang didapat dari pengukuran. Angin diukur pada ketinggian sepuluh meter (32,8 ft). Selanjutnya nilai kecepatan angin harus disesuaikan dengan ketinggian level struktur yang akan di analisis dengan persamaan berikut.

$$u(z) = u_o \left( 1 + C \ln \left( \frac{z}{32,8} \right) \right) \quad (2.21)$$

Dimana :

$u(z)$  = kecepatan pada ketinggian yang ditinjau, ft/s

$u_o$  = kecepatan pada ketinggian 10 m (32,8 ft), ft/s

$$C = 5,73 \times 10^{-2} \times (1 + 0,0457 \times u_o)^{1/2}$$

$z$  = ketinggian yang ditinjau, ft

Setelah komponen kecepatannya didapat, nilai tersebut dimasukan ke dalam perhitungan sebagai berikut.

$$F = \frac{1}{2} \rho u^2 C_s A \quad (2.22)$$

Dimana :

$F$  = gaya angin, kips (MN)

$\rho$  = massa jenis udara, 0,0023668 slugs/ft<sup>3</sup>

$C_s$  = koefisien bentuk

$A$  = luasan objek, in<sup>2</sup> (m<sup>2</sup>)

Nilai dari koefisien bentuk akan dipaparkan pada table 2.1. sebagai berikut.

**Tabel 2.1.** Nilai Koefisien Bentuk

(Sumber: API RP 2A WSD, 2002)

Jenis Objek	Nilai Koefisien Bentuk
Balok	1,5
Sisi dari Bangunan	1,5
Silinder	0,5
<i>Overall projected area of platform</i>	1

#### 2.4.4. Beban Konstruksi

Beban yang dialami saat *platform* mengalami proses fabrikasi, *loadout*, transportasi dan instalasi.

#### 2.4.5 Beban Removal dan Reinstalasi

Untuk platform yang akan di pindahkan ke tempat baru, beban yang diakibatkan dari proses tersebut harus diperhitungkan.

#### 2.4.6. Beban Dinamis

Beban dinamis adalah beban yang terjadi pada struktur akibat respon terhadap beban siklik atau reaksi terhadap *impact*. Hal ini bisa diakibatkan oleh gelombang, angin, gempa bumi, dan getaran akibat operasi permesinan. Sementara *impact* bisa diakibatkan oleh tabrakan dengan kapal (*collision*), benda jatuh dan operasi

pengeboran (API RP 2A WSD, 2002). Namun dalam tugas akhir ini, beban dinamis tidak diperhitungkan.

## 2.5. Tegangan Pada Struktur

Struktur akan mengalami tegangan sebagai respon terhadap beban-beban yang mengenainya, tegangan yang terjadi pada struktur haruslah tidak menimbulkan kerusakan pada struktur. Untuk mencegah hal tersebut maka dibuatlah standar berupa tegangan yang dijinkan dialami struktur pada tipe pembebanan tertentu yang akan diapaparkan berikut ini.

### 2.5.1. Tegangan Aksial

Tegangan aksial adalah tegangan yang diakibatkan oleh gaya yang tegak lurus penampang struktur. Dari definisi tersebut, secara sederhana persamaan dari tegangan aksial dapat dinyatakan sebagai berikut.

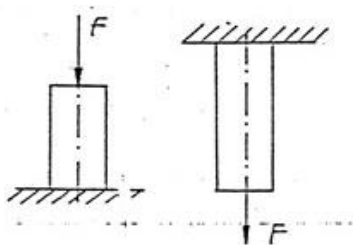
$$\sigma = \frac{P}{A} \quad (2.23)$$

Dimana :

$\sigma$  = tegangan *aksial*, ksi (MPa)

$P$  = gaya yang bekerja, kips (MN)

$A$  = luasan penampang, in<sup>2</sup> (m<sup>2</sup>)



**Gambar 2.9.** Pembebanan aksial

(Sumber : google.com)

### 2.5.2. Tegangan Tekan Aksial

Tegangan tekan aksial adalah tegangan yang disebabkan oleh gaya yang tegak lurus penampang potongan dari struktur yang arahnya menekan struktur. Bentuk

kegagalan struktur akibat tegangan ini biasanya disebut dengan *buckling*. Menurut persamaan euler, suatu batang dengan panjang tertentu akan mengalami *buckling* apabila mendapat gaya dengan besar tertentu yang dirumuskan sebagai berikut.

$$P_{er} = \frac{\pi^2 EI}{L^2} \quad (2.24)$$

Dimana :

$P_{er}$  = gaya minimal yang membuat *buckling*, kips (MN)

$E$  = modulus elastisitas young, ksi (MPa)

$I$  = momen inersia batang, in<sup>4</sup> (m<sup>4</sup>)

$L$  = panjang batang, in (m)

Buckling terdiri dari dua macam yaitu *column buckling* dan *local buckling*.

### 2.5.3. Column Buckling

Column buckling adalah fenomena buckling yang terjadi pada seluruh batang tekan berupa tekukan. Biasanya hal ini terjadi pada batang tekan yang tidak langsung dimana nilai D/t tidak lebih dari 60. Menurut *American Institute of Steel Constructions* (AISC), tegangan aksial yang dibolehkan pada member yang nilai D/t tidak lebih atau sama dengan 60 adalah sebagai berikut:

$$F_a = \frac{\left[1 - \frac{Kl/r^2}{2C_c^2}\right]F_y}{5/3 + \frac{3(Kl/r)}{8C_c} - \frac{3(Kl/r)^3}{8C_c^3}} \quad \text{untuk } Kl/r < C_c \quad (2.25)$$

$$F_a = \frac{12\pi^2 E}{23(Kl/r)^2} \quad \text{untuk } Kl/r \geq C_c \quad (2.26)$$

Dimana :

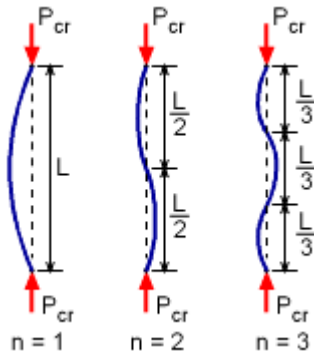
$$C_c = \left(\frac{2\pi^2 E}{F_y}\right)^{\frac{1}{2}}$$

$E$  = modulus elastisitas young, ksi (MPa)

$K$  = faktor panjang efektif

$l$  = panjang batang bebas, in (m)

$r$  = radius girasi, in (m)



**Gambar 2.10.** Ilustrasi Column Buckling pada batang tekan

(Sumber: ecourse.ou.edu)

#### 2.5.4. Local Buckling

*Local buckling* adalah fenomena *buckling* yang terjadi hanya pada bagian tertentu struktur saja (*local*) dan secara keseluruhan struktur masih bisa dianggap lurus. Hal ini biasanya terjadi pada batang tekan yang langsing dimana nilai  $D/t$  lebih besar dari 60. Ada dua macam fenomena *local buckling* yaitu *elastic buckling* dan *inelastic buckling*. Pada fenomena *elastic buckling*, *buckling* terjadi hanya saat struktur menerima tegangan tertentu dan akan kembali seperti semula saat beban dihilangkan. Batas dari *elastic buckling stress* pada struktur tubular menurut API RP 2A WSD adalah sebagai berikut.

$$F_{xe} = 2CE \cdot t/D \quad (2.27)$$

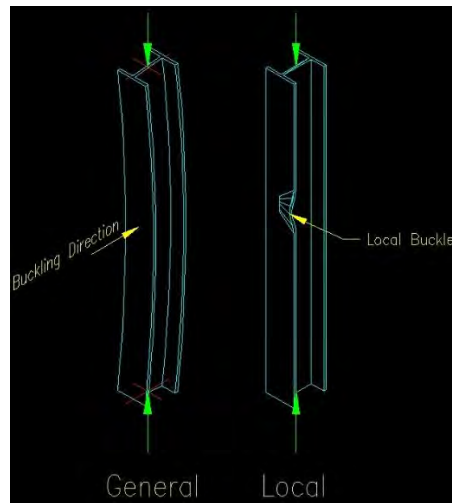
Dimana :

$C$  = koefisien kritis *elastic buckling*

$E$  = modulus elastisitas young, ksi (MPa)

$t$  = tebal batang silinder, in (m)

$D$  = diameter silinder, in (m)



**Gambar 2.11.** Ilustrasi perbedaan antara global (column) buckling dan local buckling

(Sumber : bgstructuralengineering.com)

Ketika struktur mengalami tegangan diatas nilai *elastic stress local buckling*, maka struktur akan mengalami *buckling* permanen yang artinya struktur tidak dapat kembali ke bentuk semula meskipun beban sudah dihilangkan. Batas nilai plastis dari *buckling* atau disebut *inelastic local buckling* adalah sebagai berikut.

$$F_{xc} = F_y \times [1,64 - 0,23 (D/t)^{1/4}] \leq F_{xe} \quad (2.28)$$

$$F_{xc} = F_y \text{ untuk } (D/t) \leq 60 \quad (2.28)$$

### 2.5.5. Tegangan Tarik Aksial

Tegangan tarik aksial adalah tegangan yang disebabkan oleh gaya yang tegak lurus penampang dan arahnya menarik struktur. Berdasarkan API RP 2A WSD tahun 2002, tegangan aksial yang dibolehkan terjadi pada struktur member silinder yang biasa digunakan dalam struktur *jacket* adalah sebagai berikut.

$$F_t = 0,6 F_y \quad (2.29)$$

Dimana :

$F_y$  = tegangan *yield* material, ksi (MPa)

### 2.5.6. Lenturan (*Bending*)

*Bending* atau lenturan adalah fenomena tegangan yang disebabkan oleh momen, besarnya tegangan bending dirumuskan sebagai berikut.

$$\sigma_{max} = \frac{Mc}{I} = \frac{M}{S} \quad (2.30)$$

Dimana :

$M$  = momen internal struktur, kips-in (MN-m)

$c$  = jarak titik tinjauan terhadap sumbu normal, in (m)

$I$  = momen inersia, in<sup>4</sup> (m<sup>4</sup>)

$S$  = modulus elastis, in<sup>3</sup> (m<sup>3</sup>)

Menurut API RP 2A WSD, tegangan akibat bending yang diijinkan adalah

$$F_b = 0,75 F_y \text{ untuk } \frac{D}{t} \leq \frac{1500}{F_y} \quad (2.31)$$

$$\left( \frac{D}{t} \leq \frac{10340}{F_y}, \text{ untuk satuan SI} \right)$$

$$F_b = \left[ 0,84 - 1,74 \frac{F_y D}{E t} \right] F_y \text{ untuk } \frac{1500}{F_y} < \frac{D}{t} \leq \frac{3000}{F_y} \quad (2.32)$$

$$\left( \frac{20680}{F_y} < \frac{D}{t} \leq 300, \text{ untuk satuan SI} \right)$$

### 2.5.7. Tegangan Geser (*Shear*)

Tegangan geser adalah tegangan yang terjadi akibat gaya yang menggeser luasan potongan dari struktur. Terdapat dua fenomena yang mengakibatkan terjadinya tegangan geser, yaitu gaya geser dan momen torsional. Mengacu pada API RP 2A WSD, tegangan geser maksimum akibat gaya geser direpresentasikan sebagai berikut.

$$f_v = \frac{V}{0,5A} \quad (2.33)$$

Dimana :

$f_v$  = tegangan geser maksimum, ksi (MPa)

$V$  = gaya geser, kips (MN)

$A$  = luasan potongan struktur, in<sup>2</sup> (m<sup>2</sup>)

Dan untuk tegangan geser ijinnya adalah sebagai berikut.

$$F_v = 0,4 F_y \quad (2.34)$$

Sementara untuk tegangan geser akibat momen torsi dirumuskan sebagai berikut.

$$f_{vt} = \frac{M_t(D/2)}{I_p} \quad (2.35)$$

Dimana :

$f_{vt}$  = tegangan maksimum akibat torsi, ksi (Mpa)

$M_t$  = momen torsi, kips-in (MN-m)

$I_p$  = momen inersia kutub, in<sup>4</sup> (m<sup>4</sup>)

### 2.5.8. Tegangan Hoop

Ketika struktur dikenai tekanan yang tersebar merata dan mengelilinya, maka struktur akan mengalami tegangan yang disebut dengan tegangan *hoop* (*hoop stress*). Pada struktur tubular *jacket platform*, tegangan hoop ini terjadi akibat adanya tekanan hidrostatik. Tegangan *hoop* bisa mengakibatkan terjadinya *local buckling* pada struktur. Secara umum Tegangan *hoop* dirumuskan sebagai berikut.

$$\sigma = \frac{PD}{2t} \quad (2.36)$$

Seperti halnya pada fenomena *buckling*, ada dua batas tegangan *hoop* yaitu *elastic hoop stress* dan *inelastic hoop stress*. Nilai masing-masing menurut API RP 2A WSD adalah.

#### 1. Elastic hoop stress

$$F_{he} = 2 C_h t/D \quad (2.37)$$

Nilai  $C_h$  adalah koefisien buckling yang terjadi akibat ketidaksempurnaan geometri struktur.

$C_h = 0,44 \ t/D$	$@M \geq 1,66 \ D/t$
$C_h = 0,44 \ t/D + \frac{0,21(D/t)^3}{M^3}$	$@0,825 \ D/t \leq M < 1,60 \ D/t$
$C_h = 0,736/(M - 0,636)$	$@3,5 \leq M < 0,825 \ D/t$
$C_h = 0,755/(M - 0,559)$	$@1,5 \leq M < 3,5$
$C_h = 0,8$	$@M < 1,5$

Dimana : :

$$M = \frac{L}{D} (2D/t)^{1/2}$$

## 2. Inelastic hoop stress

$$F_{hc} = 0,45 F_y + 0,18 F_{he} \quad @0,55F_y < F_{he} \leq 1,6 F_y \quad (2.38)$$

$$F_{hc} = \frac{1,31 F_y}{1,15 + (F_y/F_{he})} \quad @1,6 F_y < F_{he} < 6,2 F_y \quad (2.39)$$

$$F_{hc} = F_y \quad @F_{he} > 6,2 F_y \quad (2.40)$$

### 2.5.9. Tegangan Kombinasi

Sebelumnya telah dibahas macam-macam tegangan dasar dimana tegangan-tegangan tersebut bisa berkombinasi satu sama lainnya dan tentu harus di tinjau bagaimana efek dari kombinasi tegangan-tegangan tersebut terhadap struktur. Untuk lebih lengkapnya tegangan kombinasi untuk member silinder dan member non-silinder bisa di lihat dan dipelajarai di API RP 2A WSD atau API RP 2A LRFD dan AISC.

### 2.6. Kriteria Penilaian *Platform (Platform Assesment)*

Penilaian platform (*platform assesment*) dilakukan apabila sebuah platform mengalami beberapa kondisi atau disebut *assessment inisiator* sebagai berikut:

1. Penambahan personel

2. Penambahan fasilitas
3. Penambahan beban pada struktur
4. Tinggi dek yang tidak memadai
5. Ditemukannya kerusakan pada saat inspeksi
6. Perubahan dari desain awal

Dalam penulisan tugas akhir ini, *platform* dikategorikan telah mengalami perubahan dari desain awal, sehingga perlu diadakannya *platform assessment*. Penilaian sebuah platform yang sudah ada, menurut API RP 2A WSD terdapat enam proses yaitu:

1. Pemilihan anjungan (*platform selection*)
2. Pengkategorian (*categorization*)
3. Penilaian kondisi (*condition assessment*)
4. Cek basis desain (*design basis check*)
5. Analisis (*analysis check*)
6. Pertimbangan mitigasi (*consideration of mitigations*)

Pada tahap analysis *check*, ada dua tahapan analisis yaitu *inplace analysis* dan *collapse analysis*, ketika platform tidak lolos *screening* di tahap *inplace analysis*, maka akan dilakukan *collapse analysis*. Sebelumnya kita harus mengenal terlebih dahulu kategori keamanan dan keselamatan berdasarkan API sebagai berikut.

- S-1 *High Consequence*, adanya personel tanpa evakuasi (*manned non evacuated*)
- S-2 *Medium Consequence*, adanya personel dengan evakuasi (*manned evacuated*)
- S-3 *Low Consequence*, tidak ada personel (*unmanned*)

Selain itu terdapat juga konsekuensi kegagalan yang harus kita ketahui sebagai berikut (*Consequence of Failure*) :

- C-1 : kegagalan dengan konsekuensi tinggi (*High Consequence of Failure*)

- C-2 : kegagalan dengan konsekuensi menengah (*Medium Consequence of Failure*)
- C-3 : kegagalan dengan konsekuensi rendah (*Low Consequence of Failure*)

Dari kedua kriteria ini, kita bisa menentukan *exposure level* dari sebuah *platform*, berikut adalah *exposure level* yang diberikan oleh ISO 19902.

**Tabel 2.2.** Kriteria *Exposure Level*

(Sumber : ISO 19902)

<i>Life Safety Category</i>	<i>Consequence category</i>		
	<b>C1</b>	<b>C2</b>	<b>C3</b>
<b>S1</b>	L1	L1	L1
<b>S2</b>	L1	L2	L2
<b>S3</b>	L1	L2	L3

Setelah didapatkan *Exposure Level* dari *platform*, maka akan didapatkan nilai minimum RSR yang harus dimiliki oleh platform sesuai paparan tabel berikut.

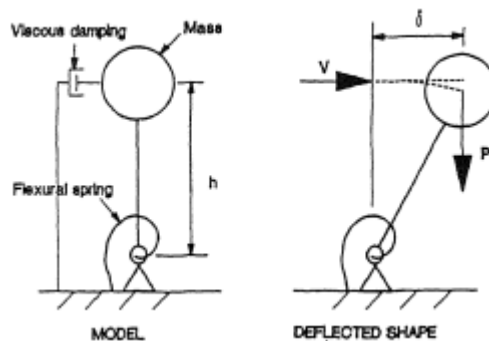
**Tabel 2.3.** Assesment Criteria

(Sumber : API RP 2A WSD)

<i>Level</i>	<i>Exposure Category</i>		<i>Ultimate Strength Analysis</i>
L-1	<i>High Consequences</i>	<i>Manned-Nonevacuated</i>	$RSR \geq 1,6$
		<i>Unmanned</i>	
L-3	<i>Low Consequences</i>	<i>Unmanned</i>	$RSR \geq 0,8$

## 2.7. Efek P Delta ( $P-\Delta$ )

Efek P delta adalah tambahan momen yang diakibatkan oleh pergeseran COG pada struktur. Biasanya efek P delta timbul saat struktur menerima beban lateral berupa beban seismik yang menyebabkan *lateral displacement* dan selanjutnya menimbulkan momen P delta seperti pada ilustrasi gambar 2.13.



**Gambar 2.12.** Ilustrasi pergeseran beban akibat defleksi

(Sumber : B.J. Davidson, 1992)

Pada penelitian kali ini efek P-delta akan digunakan sebagai cara untuk memodelkan struktur miring dengan cara menambahkan nilai momen P delta pada kemiringan tertentu pada model awal. Nilai P delta pada sudut kemiringan dicari dengan mengalikan beban vertikal struktur dengan pergeseran lateral pada struktur yang dapat dicari dengan persamaan rotasi antara dua titik dengan mengasumsikan ada satu titik yang tidak mengalami perpindahan sebagai titik pusat rotasi seperti pada persamaan berikut.

$$\begin{bmatrix} X' \\ Z' \end{bmatrix} = \begin{bmatrix} (x - a) & -(z - b) \\ (z + b) & (x - a) \end{bmatrix} \begin{bmatrix} \cos \theta \\ \sin \theta \end{bmatrix} + \begin{bmatrix} a \\ b \end{bmatrix} \quad (2.41)$$

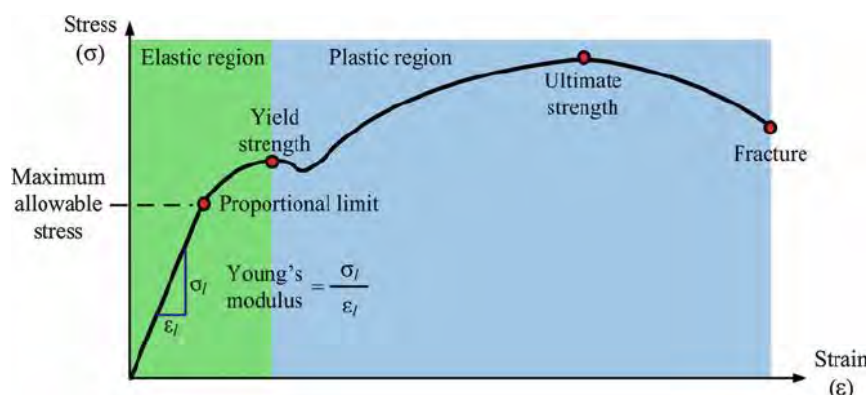
## 2.8. Analisis Keruntuhan

Definisi analisis keruntuhan menurut SACS adalah analisis tiga dimensi, *non-linear, large-displacement* dan *static finite element*. Analisis keruntuhan dilakukan dengan metode *pushover* untuk mengetahui cadangan kekuatan dari struktur untuk menerima beban sebelum struktur mengalami keruntuhan (Ainillah, 2017). Pada analisis *inplace*, setiap *member* pada struktur tidak diperbolehkan mempunyai *unity check* melebihi satu dalam menerima beban lingkungan baik kondisi satu tahunan

(1-year) maupun kondisi badai seratus tahunan (100-year storm). *Unity check* adalah perbandingan antara tegangan aktual pada struktur dengan tegangan ijin.

$$UC = \frac{\sigma_{actual}}{\sigma_{allowable}} \quad (2.42)$$

Nilai dari tegangan ijin selalu lebih kecil dari tegangan *yield material* dan berbeda-beda tergantung dari jenis tegangannya seperti yang sudah kita bahas pada subbab 2.5. oleh karena itu saat nilai UC dari suatu member lebih besar dari satu, struktur belum tentu mengalami keruntuhan dan meskipun nilai tegangannya melebihi tegangan *yield* dari *material*, struktur hanya mengalami deformasi secara plastis.



**Gambar 2.14.** Hubungan antara tegangan ijin, titik yield dan titik ultimatum

(Sumber : researchgate.net)

Artinya struktur masih mempunyai cadangan kekuatan. Batas kekuatan struktur kita cari dengan menaikkan beban secara perlahan (*incremental load*) sampai struktur *collapse*. Nilai yang kita naikan adalah beban lingkungan yang bersifat lateral, sementara beban struktur dan *appurtenance* kita anggap tetap. Nilai beban yang membuat *collapse* kita bandingkan dengan beban awal, inilah yang akan kita cari dalam analisis keruntuhan dan disebut dengan *reserve strength ratio* (RSR) (Ainillah, 2017). RSR dinyatakan dengan persamaan sebagai berikut.

$$RSR = \frac{\text{Beban saat struktur collapse}}{\text{Beban kondisi awal}} \quad (2.43)$$

## 2.9. Analisis Keandalan

### 2.9.1. Keandalan pada Sistem Rekayasa

Keandalan (*Reliability*) adalah kemungkinan dari suatu sistem atau komponen untuk dapat memenuhi fungsi yang dibutuhkan, pada kondisi tertentu dan pada periode waktu tertentu (IEEE, 1990). Atau bisa juga disebut sebagai kemungkinan sistem untuk tidak mengalami kegagalan (*failure*). Pada suatu sistem struktur agar tidak mengalami kegagalan, maka dibuatlah nilai *safety factor* (Z) yang harganya selalu lebih besar dari satu dimana nilai ini adalah perbandingan antara kapasitas suatu sistem struktur dalam menerima beban (X') dan beban yang ditumpunya (Y').

$$Z = \frac{X'}{Y'} \quad (2.44)$$

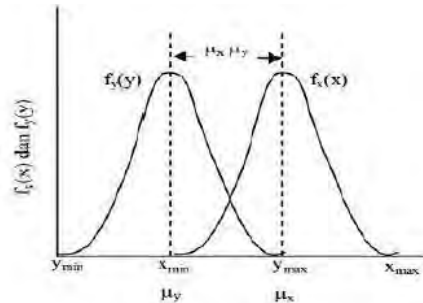
Mengingat harga nominal dari kapasitas X' dan beban Y' tidak dapat ditentukan dengan pasti, fungsi-fungsi kapasitas dan beban perlu dinyatakan sebagai peluang. Ketidakmampuan suatu sistem untuk memenuhi tuntutan dan tugasnya yang diukur dengan peluang kegagalan (*Probability of Failure*) dapat dihubungkan dengan bagian dari distribusi angka keamanan yang nilainya kurang dari satu. Peluang kegagalan sistem (PoF) diberikan dengan persamaan:

$$PoF = P[Z \leq 1] = F_z(1) \quad (2.45)$$

Dengan  $F_z$  adalah fungsi distribusi kumulatif dari Z dengan pernyataan lain, peluang sistem untuk tidak gagal (keandalan) adalah:

$$K = 1 - PoF = P[Z > 1] = 1 - F_z(1) \quad (2.46)$$

Ketika distribusi peluang bersama (*Joint Probability Distribution*) dari X dan Y diketahui, keandalan sebuah sistem dapat dihitung berdasarkan fungsi distribusi kumulatif dari X/Y. Peluang kegagalan nol (PoF = 0) dan keandalan 100 (K = 1) hanya terjadi ketika tuntutan maksimum  $Y_{\max}$  tidak melewati kapasitas minimum  $X_{\min}$ , sehingga kedua distribusi tidak saling *overlapping*.

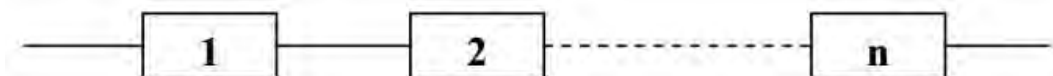


**Gambar 2.14.** Fungsi Distribusi Peluang X dan Y

(Sumber : Rosyid, 2007)

### 2.9.2. Keandalan Sistem Seri

Sebuah sistem dikatakan seri apabila salah satu komponen penyusunnya sudah cukup untuk menyebabkan kegagalan sebagian atau keseluruhan sistem tersebut. Dari sudut keandalan, seluruh komponen harus berfungsi supaya sistem tersebut berfungsi. Sistem seperti ini disebut juga sebagai *weakest link system*. Secara grafis sistem seri dapat dilihat pada gambar berikut.



**Gambar 2.15.** Ilustrasi keandalan sistem seri

(Sumber : Rosyid, 2007)

Untuk sistem dengan  $n$  komponen maka keandalan sistem tersebut dapat dihitung dengan persamaan sebagai berikut.

$$K_s = K_1 x K_2 x \dots x K_n \quad (2.47)$$

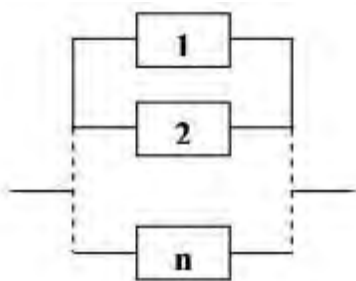
Dengan memperhatikan persamaan diatas dapat dipahami dalam sistem ini semakin banyak komponen dalam sistem, maka keandalannya akan semakin kecil.

### 2.9.3. Keandalan Sistem Paralel

Dari aspek kegagalan, bila sebuah sistem memerlukan kegagalan seluruh komponen penyusunnya untuk tidak berfungsi sama sekali, maka sistem ini disebut sistem paralel. Dari segi keandalan, maka sistem seperti ini hanya memerlukan satu komponen penyusunnya yang berfungsi agar sistem keseluruhan tetap berfungsi.

Bila kegagalan komponen dapat dianggap *s-independent*, maka peluang kegagalan sistem paralel adalah.

$$K_s = 1 - [(1 - K_1)x(1 - K_2)x \dots (1 - K_n)] \quad (2.48)$$



**Gambar 2.16.** Ilustrasi keandalan sistem paralel

(Sumber: Rosyid, 2007)

#### 2.9.4. Metode Simulasi Monte Carlo

Metode simulasi monte carlo adalah metode simulasi yang dapat dilakukan untuk menyelesaikan permasalahan keandalan pada suatu sistem yang mempunyai variabel acak (Rosyid, 2007). Karakteristik pokok simulasi monte carlo adalah bahwa pada simulasi ini, suatu set nilai tiap-tiap variabel dari suatu sistem disimulasikan berdasarkan distribusi peluangnya. Dari sini kita dapat menghitung kinerja dari sistem tersebut. Perhitungan respon atau kinerja sistem ini bersifat deterministik untuk suatu set nilai dari setiap variabel. Prosedur ini diulang-ulang sampai diperoleh sekumpulan nilai dari respon atau kinerja sistem tersebut, sehingga akan didapat sekumpulan data dari kinerja sistem. Sekumpulan data ini bisa dianggap sebagai sampel data. Selanjutnya analisis statistik dapat dilakukan untuk menentukan rata-rata, simpangan baku, bahkan distribusi peluang dari respon atau kinerja sistem tersebut.

Unsur pokok yang dibutuhkan dalam simulasi monte carlo adalah *random number generator* (RNG). Simulasi akan dilakukan dengan mengambil beberapa sampel dari distribusi variabel acak dengan bantuan *random number generator* tersebut. Sampel yang telah diambil tersebut dipakai sebagai masukan ke dalam persamaan fungsi kinerja MK (x) dan MK (x) kemudian dihitung . Misalnya untuk suatu fungsi kinerja tertentu, setiap kali MK (x) > 1 maka sistem/komponen yang

ditinjau dianggap sukses, jika jumlah sampel tersebut tersebut adalah N (jumlah replikasi) dan di dapat kejadian MK (x) > 1 sejumlah n kali, maka peluang suskes dari sistem tersebut adalah  $P_{\text{sukses}} = n/N$ .

Metode simulasi monte carlo bisa dilakukan menggunakan microsoft excell yang didalamnya sudah mempunyai program RNG. Namun memang ada beberapa kelemahan dimana RNG yang tersedia cenderung linear, sedangkan peubah dasar dalam MK (x) seringkali tidak demikian (misal tersistribusi secara normal, lognormal, dan sebagainya) (Ainillah, 2017).

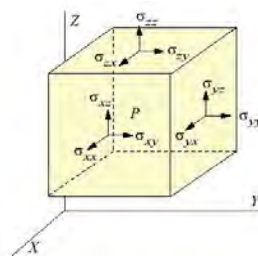
### 2.9.5. Mode Kegagalan

Dalam suatu analisis keandalan, diperlukan suatu moda kegagalan yang akan menjadi parameter dalam menentukan kesuksesan maupun kegagalan pada struktur. Moda kegagalan yang digunakan dalam tugas akhir ini adalah tegangan Von mises yang digunakan software SACS sebagai kriteria plastis dari struktur.

Tegangan Von Mises adalah kriteria kegagalan suatu objek dimana objek tersebut akan mengalami kegagalan ketika nilai tegangan Von-Misesnya melebihi tegangan ultimat dari material pembentuk objek tersebut seperti pada persamaan berikut ini.

$$\sigma_{VM} \geq \sigma_u \quad (2.49)$$

Persamaan dari tegangan Von Mises tergantung dari jenis pembebahan yang mengenai objek tersebut. Pada dasarnya persamaan tegangan Von Mises dirumuskan dari enam tegangan dasar yang mengenai objek seperti dipaparkan pada gambar 2.18 dan persamaan 2.50 berikut ini.

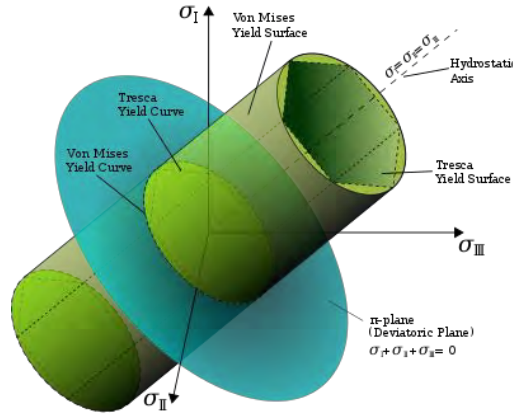


**Gambar. 2.17.** Ilustrasi 6 tegangan dasar pada suatu objek

(Sumber: jennarocca.com)

$$\sigma_{VM} = \sqrt{\frac{1}{2}[(\sigma_{xx} - \sigma_{yy})^2 + (\sigma_{yy} - \sigma_{zz})^2 + (\sigma_{zz} - \sigma_{xx})^2 + 6(\sigma_{xy}^2 + \sigma_{yz}^2 + \sigma_{zx}^2)]} \quad (2.50)$$

Persamaan Von Mises juga bisa disusun ketika tegangan prinsip yang diketahui mengenai suatu objek seperti pada gambar 2.19 dan dinyatakan dalam persamaan 2.51. sebagai berikut.



**Gambar 2.18.** Ilustrasi beban yang dikenai tegangan principal

(Sumber: wikipedia.com)

$$\sigma_{VM} = \sqrt{\frac{(\sigma_1 - \sigma_2)^2 + (\sigma_2 - \sigma_3)^2 + (\sigma_3 - \sigma_1)^2}{2}} \quad (2.51)$$

Mode kegagalan pada analisis keandalan dalam tugas akhir ini akan menggunakan persamaan pada 2.50 sebagai fungsi dari 6 tegangan dasar. Berdasarkan persamaan moda kegagalan tersebut, terdapat beberapa variabel yang memiliki ketidakpastian yang digunakan sebagai variabel acak yaitu  $\sigma_{xx}$ ,  $\sigma_{yy}$ ,  $\sigma_{zz}$ ,  $\sigma_{xy}$ ,  $\sigma_{xz}$ ,  $\sigma_{yz}$ ,  $\sigma_{xy}$ , dan  $\sigma_u$  yang disimulasikan menggunakan metode monte carlo dengan meng-generate *random number generator* (RNG). *Coefficient of varians* (CoV) untuk kapasitas adalah 0,15 dan kondisi pembebaban aktual adalah 0,3 menurut moses (1986) dalam Robayasa (2012). Berikut adalah persamaan dari CoV:

$$CoV = \sigma/\mu \quad (2.52)$$

Dengan :

$\mu$  = mean

$\sigma$  = standard deviasi

CoV = *coefficient of varians*

Pada tugas akhir ini, persebaran beban dan kapasitas diasumsikan memiliki distribusi normal dengan pengambilan sampel lebih dari 30 yang menjadi sarat untuk mengasumsikan suatu persebaran dikatakan normal.

### 2.9.6. Indeks Keandalan

Pada analisa keandalan, kita telah mengenal istilah safety margin atau mode kegagalan yang merupakan suatu nilai yang menentukan suatu struktur gagal atau tidak. Safety margin atau mode kegagalan seperti yang sudah dirumuskan pada persamaan 2.44.

Dari persamaan tersebut bisa didapatkan bahwa ketika  $z > 1$  maka itu merupakan daerah aman,  $z = 0$  adalah batas kegagalan (*failure surface*) dan ketika  $z < 1$  maka struktur didefinisikan gagal yang diekspresikan pada persamaan 2.45. Ketika kita melakukan perhitungan probabilitas dengan jumlah percobaan tertentu pada safety margin atau mode kegagalan tersebut, maka nilai  $z$  akan mempunyai rata-rata ( $\mu_z$ ) dan standar deviasi ( $\sigma_z$ ). Dari sini bias kita dapatkan nilai indeks keandalan yang dirumuskan pada persamaan berikut.

$$\beta = \frac{\mu_z}{\sigma_z} \quad (2.53)$$

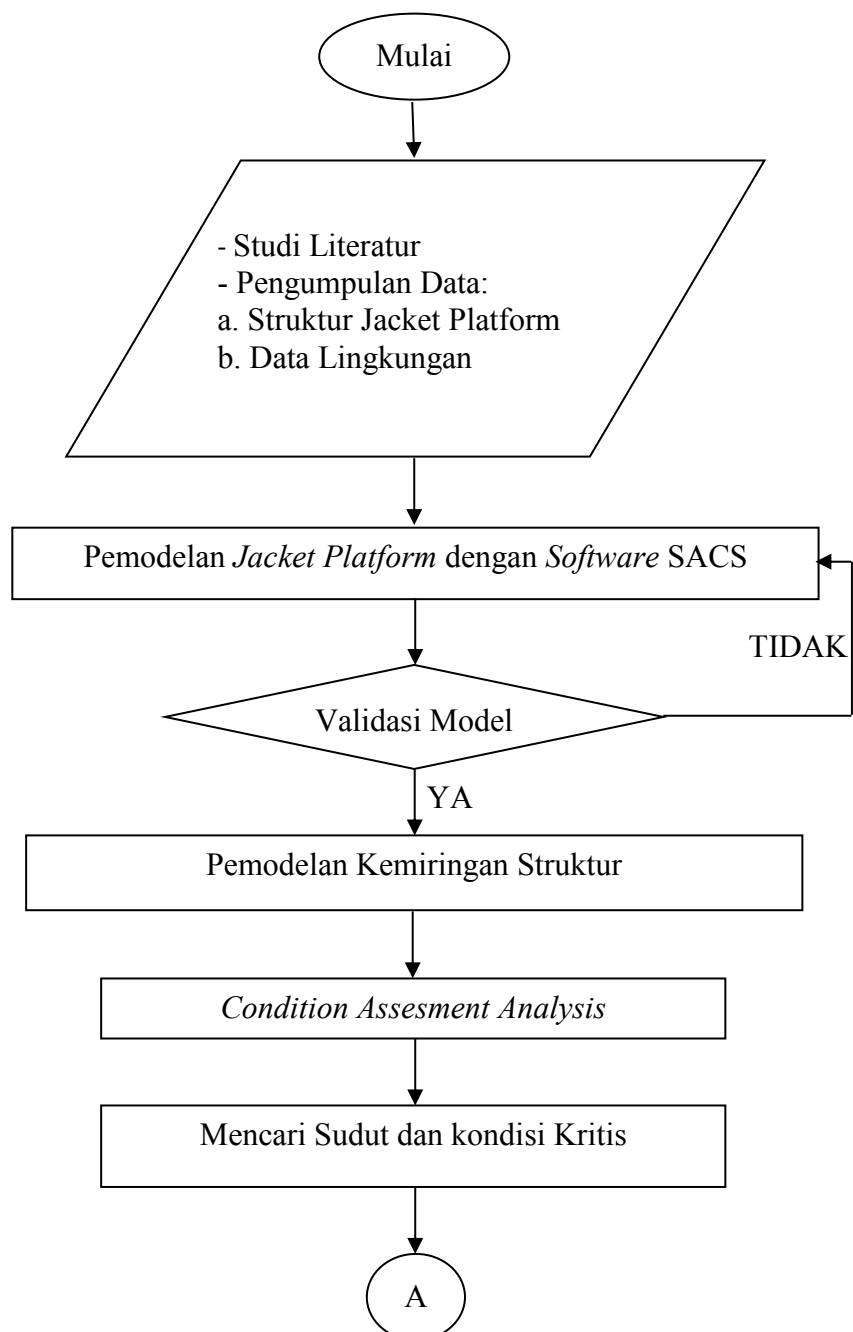
Indeks keandalan Indeks keandalan akan menjadi ukuran keandalan suatu sistem atau struktur disamping nilai keandalan itu sendiri. Suatu sistem atau struktur dikatakan handal ketika nilai indeks keandalannya melebihi dua.

## BAB III

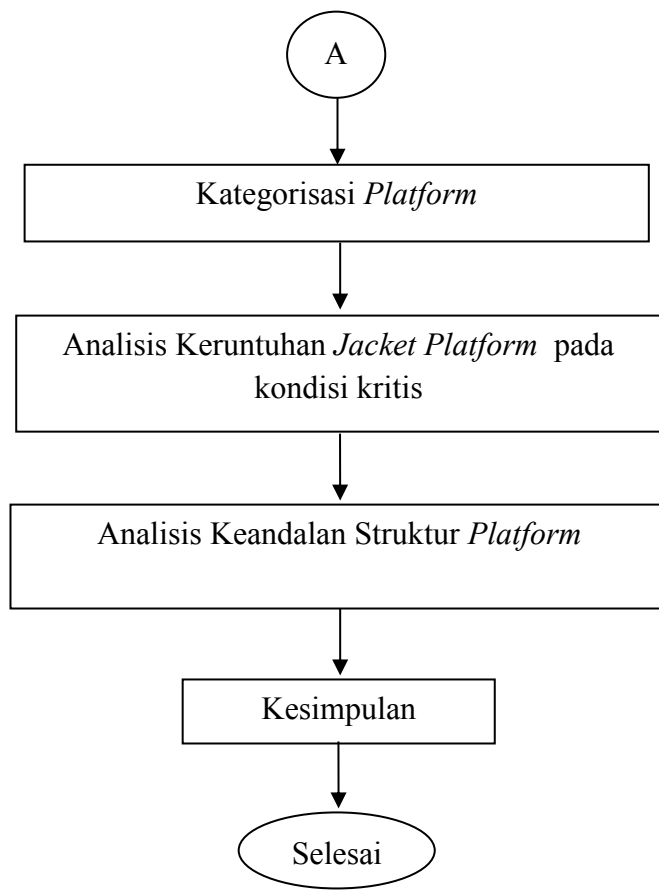
### METODOLOGI PENELITIAN

#### 3.1. Diagram Alir (*Flow Chart*)

Berikut merupakan diagram alir pada penulisan tugas akhir ini.



**Gambar 3.1.** Diagram Alir Penggerjaan Tugas Akhir



**Gambar 3.1.** Diagram Alir Pengerjaan Tugas Akhir

### 3.2. Penjelasan Diagram Alir

Berdasarkan diagram alir penelitian diatas, adapun prosedur penelitian dan langkah-langkah penelitian dalam mencapai tujuan tugas akhir ini dijelaskan sebagai berikut:

#### 1. Studi Literatur

Studi dan pengumpulan literatur berupa jurnal, buku dan karya tulis ilmiah lainnya sebagai bahan-bahan referensi dan sumber teori-teori yang diperlukan dalam penyelesaian tugas akhir ini.

#### 2. Pengumpulan Data

Data yang dibutuhkan berupa data struktur, pembebanan pada struktur (*equipment, appurtenance, dll*) dan data lingkungan.

### 3. Pemodelan *Platform* dengan Software SACS

Pemodelan struktur, *appurtenance*, serta pembebasan dari data *equipment* dan lingkungan menggunakan software SACS.

### 4. Validasi Model

Validasi dilakukan dengan meembandingkan berat model di SACS dengan data *weigth control* struktur, model dianggap valid apabila *error* antara berat model dan yang tertera di *weight control* tidak lebih dari lima persen. Hal ini bertujuan agar model pada SACS bisa mewakili struktur sebenarnya.

### 5. Pemodelan Kemiringan Struktur

Pada tahap ini struktur akan dimodelkan mengalami kemiringan pada SACS yaitu dengan menambahkan beban joint deflection pada joint-joint tertentu dengan nilai tertentu sehingga struktur seolah-olah mengalami kemiringan sebesar 0 – 3 derajat.

### 6. *Condition Assesment Analysis*

Tahap ini dilakukan untuk mengecek apakah terjadi penigkatan beban pada struktur atau tidak. Struktur dikakatkan perlu dilakukan analisis keruntuhan apabila telah terjadi peingkatan beban pada struktur meskipun dalam tahap kategorisasi dihasilkan bahwa struktur tidak mebutuhkannya. Hal ini diidentifikasi dengan melihat nilai *Unity Check* (UC) di member pada struktur. Analisis keruntuhan dilakukan pada kondisi yang lebih dulu menimbulkan UC sama dengan 1.

### 7. Menentukan Sudut dan Kondisi Kritis

Sudut dan kondisi kritis ditentukan dengan melakukan analisis regresi pada nilai UC tiap kondisi kemiringan. Maka akan didapatkan nilai sudut dan P-d kritis.

## 8. Kategorisasi Platform

Kategorisasi platform dilakukan untuk menentukan nilai RSR minimum yang harus dimiliki suatu platform yang nantinya akan dijadikan acuan apakah suatu platform dikatakan masih layak atau tidak. Kategorisasi platform dilakukan dengan mengklasifikasikan platform berdasarkan tingkat *life safety* dan konsekuensi dari kegagalan platform tersebut.

## 9. Analisis Keruntuhan *Jacket Platform* pada Kondisi Kritis.

Analisis ini digunakan untuk menemukan beban yang menyebabkan jacket platform *collapse*. Pada analisis ini nilai yang akan dicari berupa *base shear* pada struktur yang menyebabkan struktur *collapse*. Dari analisis ini akan didapatkan juga member yang mengalami plastisitas 100 % saat struktur *collapse*.

## 10. Analisis Keandalan Struktur

Analisis keandalan struktur dilakukan untuk meninjau adanya kemungkinan beban pada struktur melampaui kapasitas beban. Dari analisis ini akan dihasilkan peluang gagal dan peluang sukses dari struktur platform terhadap keruntuhan. Analisis keandalan akan dilakukan dengan menggunakan metode monte carlo.

## 11. Menentukan Kesimpulan

Kesimpulan yang akan ditarik pada analisis ini berupa nilai maksimum member stress check tiap kondisi dan kemiringan, sudut dan kondisi kritis platform, nilai RSR pada kondisi kritis dan keandalan struktur.

## BAB IV

### HASIL & PEMBAHASAN

#### 4.1 Pengumpulan Data

##### 4.1.1 Deskripsi *Platform*

Platform terdiri dari sebuah *caisson* berdiameter 56 inch yang disangga oleh dua *braced pile* dengan diameter 42 inch. *Caisson* akan digunakan sebagai *conductor casing* dan juga sebagai pondasi, koneksi antara *caisson* dan *deck leg* disambung dengan pengelasan. Terdapat *guardian sleeve* yang terdiri dari tiga struktur *leg tubular framed* sampai kedalaman 190 ft. Elevasi *working point* terletak pada (+) 15'-0". *Batter* antara *caisson* dan dua *braced piles* adalah 1:4. Konfigurasi deck didesain untuk menopang operasi *drilling* dengan *cantilever jack-up rig*. *Deck* terdiri dari empat level yaitu *main deck* (+) 65'-0", *mezzanine deck* (+) 53'-0", *cellar deck* 40'-0" dan *sub-cellars deck* (+) 24'-0". *Deck* mempunyai luasan 26 ft x 26 ft persegi. *Appurtenance* pada deck terdiri dari satu *crane pedestal*, dan *crane boom rest*, satu *vent boom* dan *utility room*. Data dari *platform* dapat dilihat pada table 4.1-4.4 dan untuk selengkapnya dapat dilihat di lampiran.

**Tabel 4.1.** Deskripsi *Jacket platform*

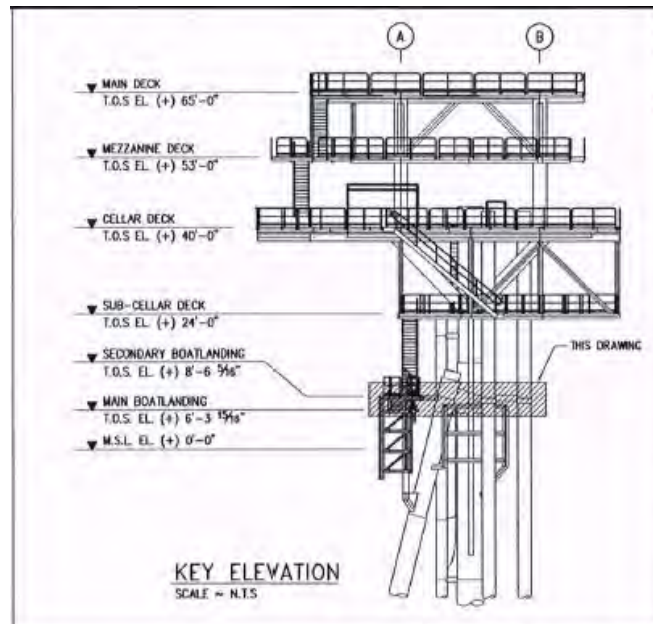
<i>Jacket</i>	
<b>Type</b>	<i>Braced Monopod Jacket</i>
<b>Caisson</b>	Satu (1) (56" dia.)
<b>Braced Piles</b>	Dua (2) (46" dia.)
<b>Boatlanding</b>	Dua (2)
<b>Risers</b>	Dua (2) (Satu (1) 6,625 " dia. dan satu (1) 8.625" dia.)
<b>Risers Guard</b>	Satu (1)
<b>Conductors</b>	Lima (5) ( Tiga (3) 30" dia. outboard, satu (1) present conductors, dua (2) Future conductors dan dua (2) 14" dia pada Caisson

**Tabel 4.2.** Appurtenance pada topside platform

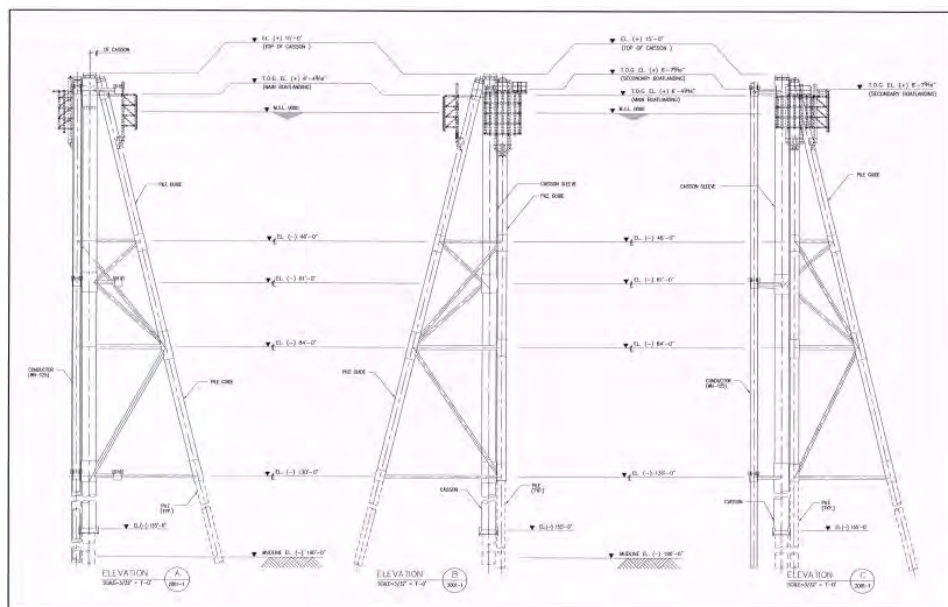
<b>Topsides</b>	
<b>Crane Pedestal</b>	1
<b>Crane Boom Rest</b>	2
<b>Vent Boom</b>	1

**Tabel 4.3.** Elevasi Platform

<b>Mudline Elevation</b>	(-) 190'-0"
<b>Jacket Elevation 1</b>	(-) 130'-0"
<b>Jacket Elevation 2</b>	(-) 84'-0"
<b>Jacket Elevation 3</b>	(-) 61'-0"
<b>Jacket Elevation 4</b>	(-) 46'-0"
<b>T.O.S. Main Boatlanding</b>	(+) 6'-3 15/16"
<b>T.O.S. Secondary Boatlanding</b>	(+) 8'-6 15/16"
<b>Top of Caisson</b>	(+) 15'-0"
<b>Sub-Cellar Deck</b>	(+) 24'-0"
<b>Cellar Deck</b>	(+) 40'-0"
<b>Mezzanine Deck</b>	(+) 53'-0"
<b>Main Deck</b>	(+) 65'-0"



**Gambar 4.1. Topside Elevation**



**Gambar 4.2. Jacket Elevation**

#### 4.1.2 Weight Calculation Report (WCR)

WCR adalah data berat struktur dan perencanaan pembebanan yang akan dilakukan pada platform. WCR akan menjadi acuan penulis dalam memodelkan platform. WCR dapat dilihat pada tabel 4.4.

**Tabel 4.4.** WCR dari *platform*

No.	Deskripsi	WCR (Kips)
1	<i>Topside Structural Dead Load</i>	419,60
2	<i>Guardian Sleeve Structural Dead Load</i>	653,56
3	<i>Caisson and Batter Piles (above mudline)</i>	450,29
4	<i>Deck NGDL</i>	282,20
5	<i>Guardian Sleeve NGDL</i>	91,66
6	<i>Piping Opearting Load</i>	176,96
7	<i>Live Load</i>	540,00
8	<i>Mecahnical Operating Load</i>	283,72
9	<i>Electrical Load</i>	12,98
10	<i>Instrument Load</i>	7,05
<b>Total</b>		1949,105

#### 4.1.3. Data Lingkungan

##### 4.1.3.1. Kedalaman Perairan

Kedalaman perairan yang akan ditinjau pada analisis ini adalah kedalaman maksimum pada kondisi operasi dan badai yang akan dipaparkan pada tabel 4.5. berikut ini.

**Tabel 4.5.** Kedalaman Perairan

Deskripsi	Kondisi Analisis	
	Operasi	Badai
<b>MSL</b>	190,00 ft	190,00 ft
<b>HHWL</b>	2,49 ft	2,49 ft
<b>LLWL</b>	-	-
<b>Storm Surge</b>	1,11 ft	2,76 ft
<b>Water Depth</b>	193,60 ft	195,25 ft

#### 4.1.3.2. Data Gelombang, Arus dan Angin

Data gelombang, arus dan angin yang akan dipakai dalam analisis adalah data dengan periode ulang 1 tahunan untuk kondisi operasi dan periode ulang 100 tahunan untuk kondisi badai yang dapat dilihat pada tabel 4.6. – 4.8.

**Tabel 4.6.** Data Gelombang

Periode Ulang	Tinggi Gelombang Max.	Periode Gelombang Max.
<i>1-Year</i>	12,60 ft	5,82 Sec
<i>100-Year</i>	30,64 ft	9,16 Sec

**Tabel 4.7.** Data Arus

Percentase Kedalaman dari seabed	Ksecepatan Arus (ft/sec)	
	<i>1-Year</i>	<i>100-Year</i>
0	1,313	2,362
10	1,502	2,702
20	1,658	2,983
30	1,757	3,161
40	1,831	3,293
50	1,890	3,400
60	1,940	3,490
70	1,983	3,567
80	2,021	3,636
90	2,056	3,698
100	2,087	3,754

**Tabel 4.8.** Data Angin

Periode Ulang	Kecepatan Angin (miles/hour)
1-Year	29,08
100-Year	43,11

#### 4.1.3.3. Parameter-parameter lainnya

Selain parameter yang telah disebutkan diatas, terdapat juga beberapa parameter yang akan ikut ditinjau dalam analisis dan sudah diatur oleh *standard* dan *code*. Parameter-parameter tersebut ialah koefisien hidrodinamika, *current blockage factor*, ketebalan *marine growth*, *allowable vertical displacement* dan *corrosion allowance* yang diapaparkan pada tabel 4.9. - 4.14.

**Tabel 4.9.** Koefisien Hidrodinamika

Deskripsi	Cd	Cm
Tubular Smooth	0,65	1,60
Tubulat member rough	1,05	1,20

**Tabel 4.10.** Current Blockage Factor

Heading	Factor
All	1,0

**Tabel 4.11.** Marine Growth

Lokasi	Thickness (in)	Density (lb/ft <sup>3</sup> )
MSL to EL. (-) 20'-0"	4,0	87,4
EL (-) 20'-0" to EL. (-) 120'-0"	2,0	87,4
EL (-) 120'-0" to Mudline	1,0	87,4

**Tabel 4.12.** Allowable Stresses

Condition		Allowable Stress
<i>Inplace</i>	<i>1-Year Operating</i>	1,000
	<i>100-Year Storm</i>	1,333

**Tabel 4.13.** Allowable Vertical Displacement

Deskripsi	Allowable Vertical Displacement
<i>Floor beam primary</i>	L/300
<i>Secondary structure</i>	L/200
<i>Plating (thickness)</i>	T (t = Thickness)
<i>Equipment support</i>	L/500
<i>Cantilever beam</i>	L/100

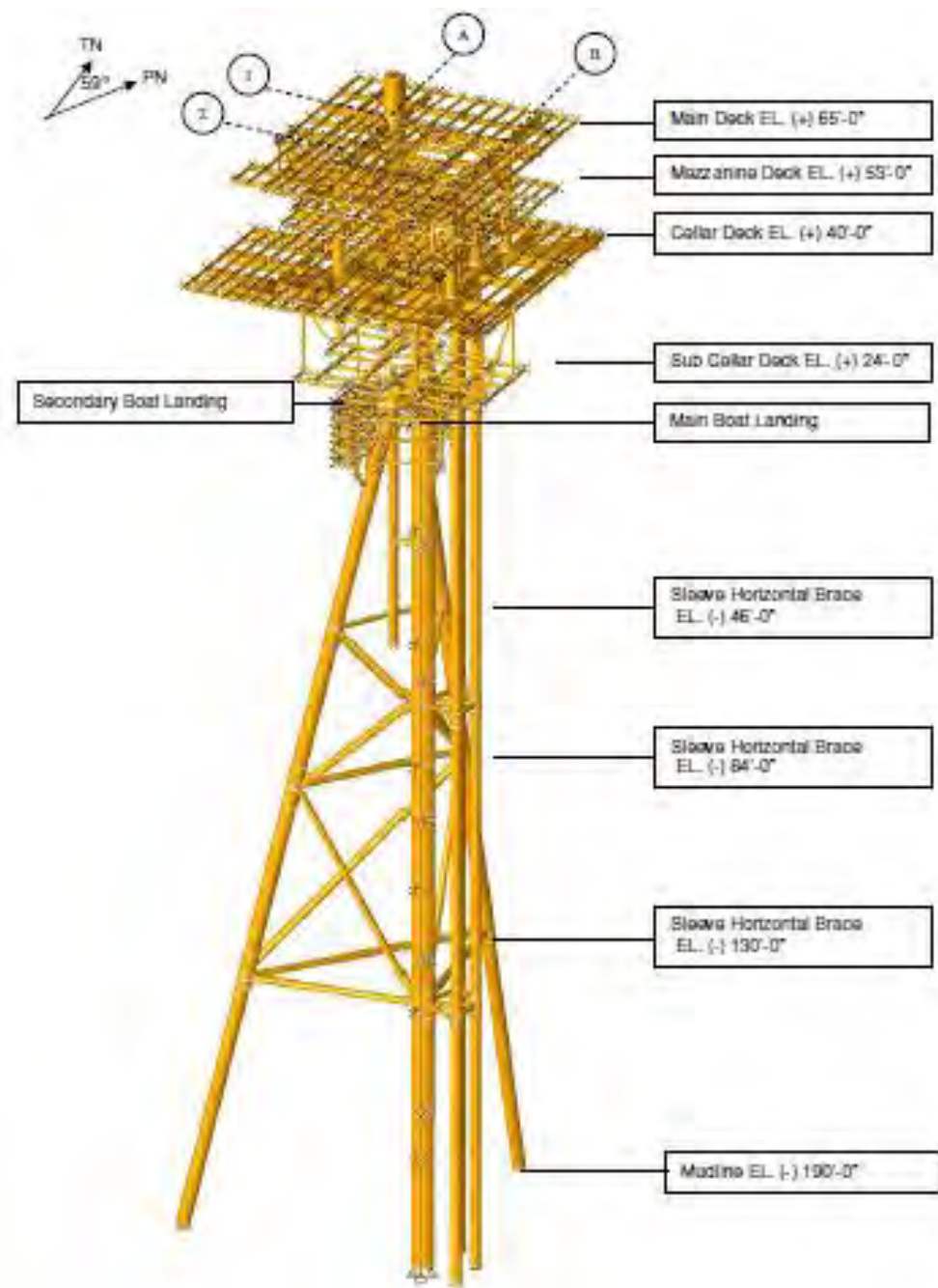
**Tabel 4.14.** Corrosion Allowance

Corrosion Allowance	¼ Inch
---------------------	--------

#### 4.2. Pemodelan Struktur

Model struktur dari *platform* dibuat berdasarkan drawing dengan menggunakan *software* SACS. Pemodelan dilakukan pada setiap member pada

*topside, jacket* dan *appurtenance*. Sedangkan *non-generated load* dimodelkan dalam bentuk beban. Model dari platform bias dilihat pada gambar 4.3 sebagai berikut.



**Gambar 4.3.** Model *platform* pada software SACS

**Tabel 4.15. Member Group Fix Letter**

Deskripsi	Goup Pre-Fix Letter
Main Deck	MD
Mezzanine Deck	MZ
Cellar Deck	CD
Sub Cellar Deck	SC
Deck Leg	DL, DSP
Deck Diagonal Bracing	BRC, HG
Caisson Sleeve	SL
Pile Sleeve	PJ
Guardian Sleeve Horizontal Framing	H0
Guardian Sleeve Diagonal Bracing	A, X
Caisson Pile	PL
Battered Pile	LP
Boatlanding	BL
Riser	RS
Riser Support	SP
Conductor	CND
Boat Landing	BL

Sementara itu sistem koordinat global yang dipakai pada pemodelan ini adalah sebagai berikut:

Arah X positif adalah arah timur platform

Arah Y positif adalah arah utara platform

Arah Z positif adalah arah vertikal ke atas platform

### 4.3. Validasi Model

Validasi dilakukan dengan membandingkan *weight calculation report* (WCR) dengan beban pada model SACS (*SACS load*).

**Tabel 4.16.** Perbandingan WCR dengan SACS load

No.	Deskripsi	WCR (Kips)	Basic SACS Load (Kips)	Faktor Kontingensi	Analysis Load (Kips)
1	a. Topside Structural Dead Load	419,600	1404,109	1,1	1544,520
	b. Guardian Sleeve Strcutural Dead Load	653,560			
	c. Caisson and Batter Piles (above mudline)	450,290			
2	Deck Non- Genenrated Dead Load	282,200	245,71	1,1	270,281
3	Guardian Sleeve Non-Generated Dead Load	91,660	77,86	1,1	85,646
4	Piping Operating Load on Main Deck		15,86	1,1	17,446
5	Piping Operating on Mezzanine Deck		40,02	1,1	44,022
6	Piping Operating on Cellar Deck		77,2	1,1	84,92
7	Piping Operating on Sub Cellar Deck		30,93	1,1	34,023
8	Live Load on Open Area Main Deck				
9	Live Load on Laydown Area Main Deck				
10	Live Load on Escape Route Area Main Deck				
11	Live Load on Open Area Mezzanine Deck				
12	Live Load on Open Area Cellar Deck				
13	Live Load on Laydown Area Cellar Deck				
14	Live Load on Escape Route Area Cellar Deck				
15	Live Load on Open Area Sub Cellar Deck				
16	Live Load on Laydown Area Sub Cellar Deck				
17	Live Load on Escape Area Sub Cellar Deck				
18	Live Load on Open Area Boat Landing				
19	Mechanical Operating Load	283,720	251,76	1,1	276,936
21	Electrical Load	12,980	18,37	1,1	20,207
22	Instrumental Load	7,050	4,77	1,1	5,247
<b>Total</b>		2918,020	2706,885		2923,544

Proses validasi dilakukan sebagai berikut

$$\% \text{ Error} = \left| \frac{WCR - \text{Analysis Load}}{WCR} \right| = \left| \frac{2918,02 - 2923,544}{2918,02} \right| = 0,19\%$$

Dari hasil validasi diketahui error sebesar 0,19 % dan dari hasil ini didapatkan proses pemodelan sukses dan analisis bisa dilanjutkan.

#### 4.4. Pemodelan Kemiringan Struktur

Pemodelan dilakukan dengan menggunakan skema perubahan COG akibat kemiringan. Dari hasil perpindahan COG ini akan ada penambahan momen yang disebut sebagai P- $\Delta$  momen. Dari perhitungan P- $\Delta$  momen, akan didapatkan besar beban yang harus ditambahkan pada struktur yang akan membuat perubahan COG pada struktur dan dapat mewakili kondisi kemiringan pada struktur. Skema perubahan COG dihitung dengan menggunakan persamaan rotasi titik terhadap titik dengan persamaan sebagai berikut.

$$\begin{bmatrix} X' \\ Z' \end{bmatrix} = \begin{bmatrix} (x - a) & -(z - b) \\ (z + b) & (x - a) \end{bmatrix} \begin{bmatrix} \cos \theta \\ \sin \theta \end{bmatrix} + \begin{bmatrix} a \\ b \end{bmatrix} \quad (4.1)$$

Titik (X,Z) adalah titik COG awal, titik (X',Z') adalah titik COG baru akibat kemiringan struktur, titik (a,b) adalah titik pusat rotasi yang merupakan joint terbawah dari *braced pile* dan  $\theta$  adalah sudut kemiringan. Dari analisa tersebut maka dihasilkan titik COG baru dan perubahan titik COG ( $\Delta$ ). Pada analisis ini hanya momen akibat perubahan COG di sumbu X yang akan ditinjau. Karena kemiringan yang terjadi diasumsikan hanya rotasi pada sumbu Y. Nilai dari COG awal, perubahannya dan nilai  $\Delta x$  diapaparkan pada tabel 4.16 dan 4.17.

**Tabel 4.17.** Titik putar COG awal dan beban vertikal struktur

Kondisi	Titik Pusat Putar		Titik COG		Vertical Load (kips)
	a (ft)	b (ft)	Xo (ft)	Zo (ft)	
Operasi	-54,183	-190	-4,99	10,45	-2654,02
Badai	-54,183	-190	-4,990	10,450	-2654,020

**Tabel 4.18.** Nilai  $\Delta x$  pada tiap kemiringan dan kondisi

Kondisi	Nilai $\Delta x$ (ft)						
	Degree						
	0	0,5	1	1,5	2	2,5	3
Operasi	0	1,746	3,489	5,228	6,962	8,692	10,418
Badai	0	1,746	3,489	5,228	6,962	8,692	10,418

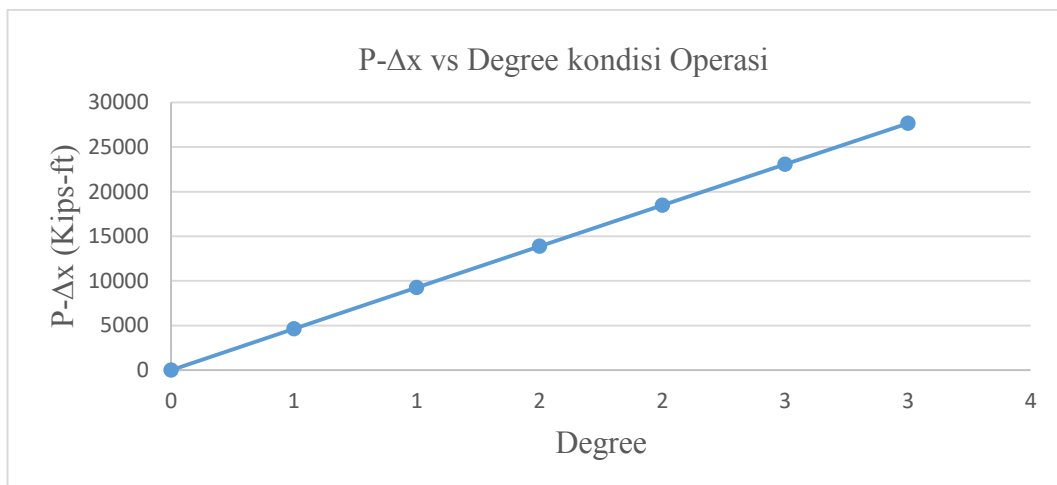


**Gambar 4.4** Titik Pusat Rotasi

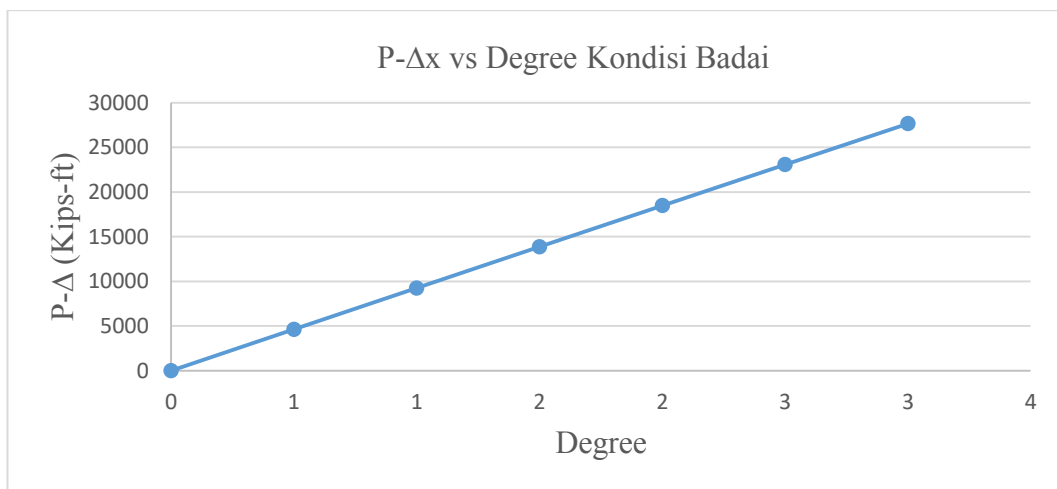
Setelah nilai  $\Delta x$  didapatkan, maka akan didapatkan nilai  $P-\Delta$ , Berikut adalah hasil  $P-\Delta$  tiap variasi kemiringan.

**Tabel 4.19.** Nilai  $P-\Delta x$  pada variasi kemiringan dan kondisi

Nilai $P-\Delta x$ (ft-kips)		
Deg	Operasi	Badai
0	0	0
0,5	4635	4635
1,0	9260	9260
1,5	13874	13874
2,0	18478	18478
2,5	23070	23070
3,0	27650	27650



**Gambar 4.5.** Hubungan P- $\Delta$ x tiap variasi sudut pada kondisi operasi



**Gambar 4.6.** Hubungan P- $\Delta$ x tiap variasi sudut pada kondisi badai

Nilai P- $\Delta$ x ini yang akan memberikan tambahan beban pada struktur miring dan selanjutnya akan menambah tegangan pada setiap member struktur.

#### 4.5. *Condition Assesment Analysis*

Pada tahap ini akan dilakukan analisis *in place* pada setiap kondisi dan pada tiap derajat kemiringan. Analisis *in place* dilakukan dengan menggunakan *software* pemodelan dan analisis struktur SACS. Pada tahap ini akan diambil nilai *unity check* maksimum pada struktur dan kita juga akan mendapatkan hubungan antara kemiringsn nilai tambahan momen yang ditambahkan dan UC seperti yang dipaparkan pada table 4.20 dan 4.21.

**Tabel 4.20.** Nilai UC maksimum dan tambahan momen ( $P-\Delta X$ ) tiap derajat kemiringan pada kondisi operasi

Operasi		
Deg.	P-d (ft-kips)	UC
0,0	0	0,837
0,5	4635	1,047
1,0	9260	1,046
1,5	13874	1,046
2,0	18478	1,047
2,5	23070	1,330
3,0	27650	1,634

**Tabel 4.21.** Nilai UC maksimum dan tambahan momen ( $P-\Delta X$ ) tiap derajat kemiringan pada kondisi badai

Badai		
Deg.	P-d (ft-kips)	UC
0,0	0	0,720
0,5	4635	0,720
1,0	9260	0,720
1,5	13874	0,720
2,0	18478	0,720
2,5	23070	1,106
3,0	27650	1,355

#### 4.6. Menentukan Kondisi Kritis pada Platform

Penentuan kondisi kritis pada platform dilakukan dengan melakukan analisis regresi pada nilai UC terhadap derajat kemiringan dan nilai  $P-\Delta$ . Jenis regresi yang dipilih adalah regresi eksponensial. Kondisi kritis didefinisikan sebagai kondisi kemiringan dengan nilai  $P-\Delta$  tertentu yang akan membuat nilai UC maksimum sama dengan 1. Analisis regresi dilakukan dengan bantuan *software* Microsoft Excel dan dari analisis regresi ini akan didapatkan persamaan hubungan antara UC dengan derajat kemiringan dan nilai  $P-\Delta$  sebagai berikut.

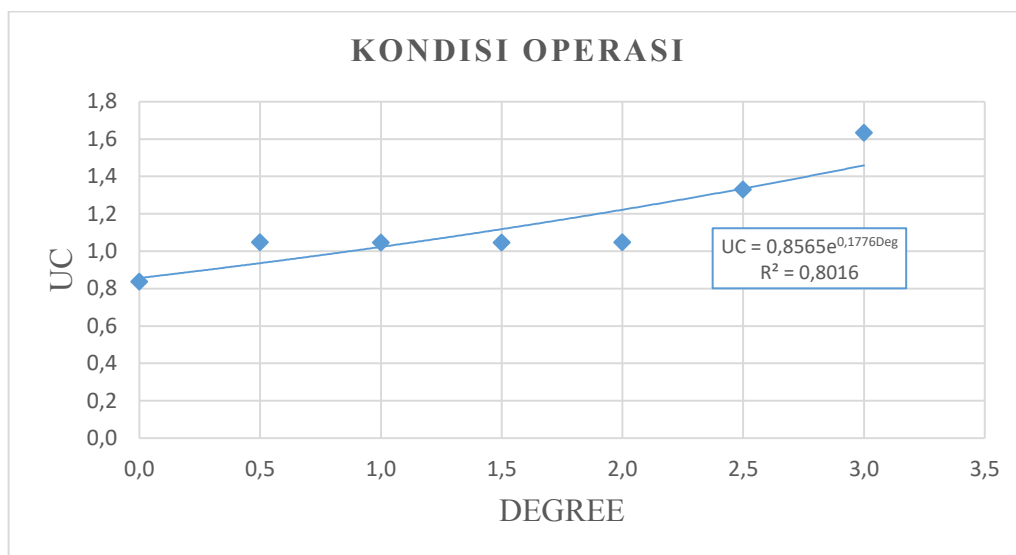
$$UC = 0,8565 e^{0,1776 \text{ Deg}} \quad (\text{Kondisi Operasi}) \quad (4.2)$$

$$UC = 0,8561 e^{2E-5 P-\Delta} \quad (\text{Kondisi Operasi}) \quad (4.3)$$

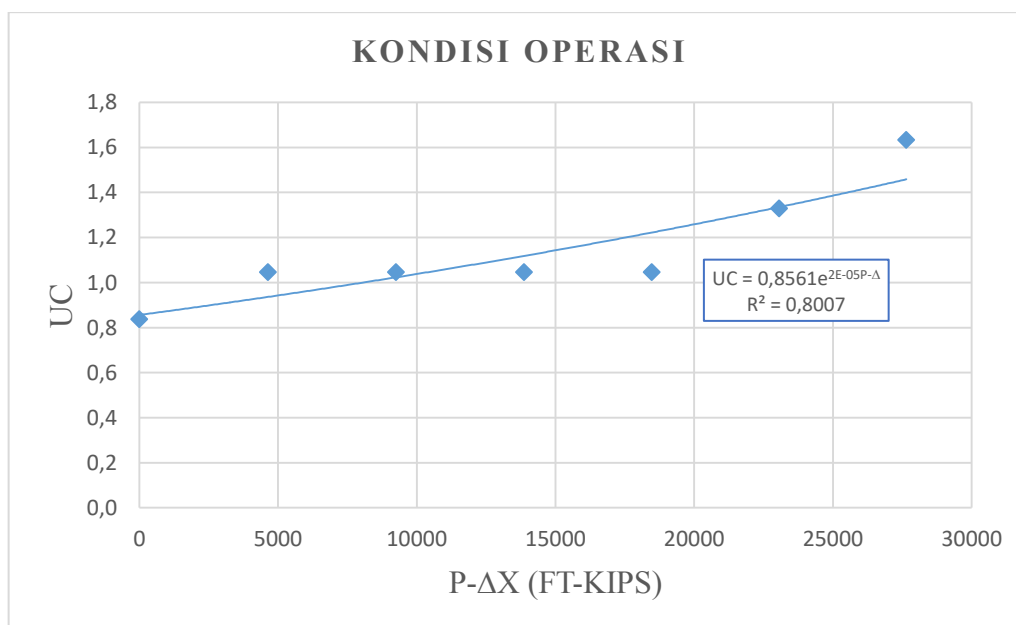
$$UC = 0,6237 e^{0,1968 \text{Deg}} \quad (\text{Kondisi Badai}) \quad (4.4)$$

$$UC = 0,6236 e^{2E-5 P-\Delta} \quad (\text{Kondisi Badai}) \quad (4.5)$$

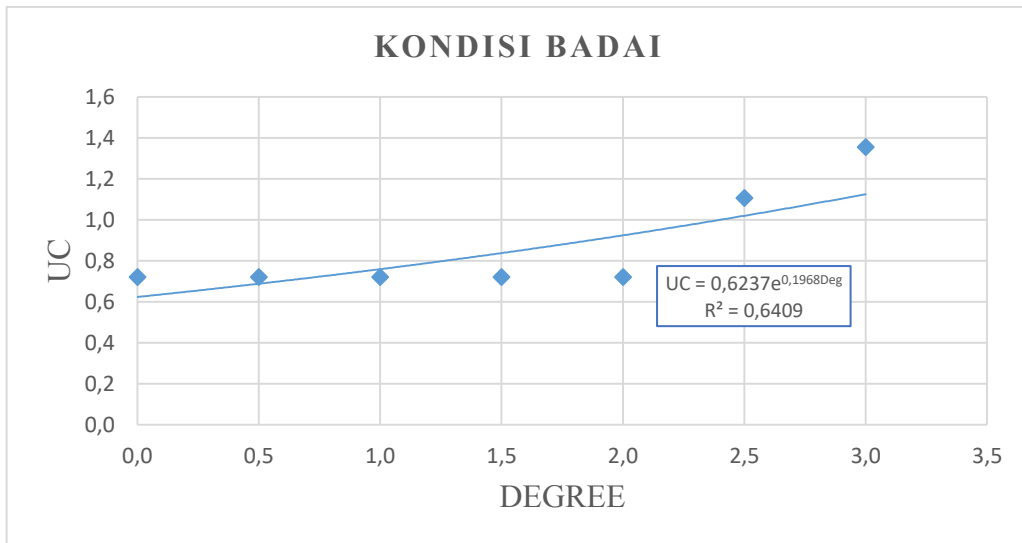
Kurva regresi dari nilai UC terhadap derajat kemiringan dan nilai P-Δ akan disajikan pada gambar 4.10 – 4.17



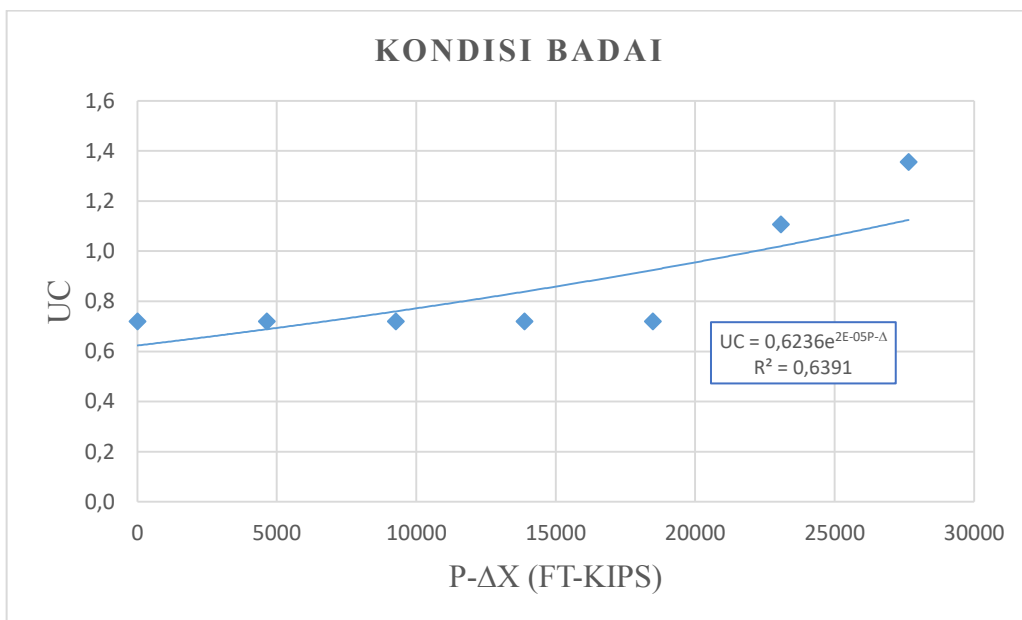
**Gambar 4.7.** Kurva regresi nilai UC terhadap kemiringan kondisi Operasi



**Gambar 4.8.** Kurva regresi nilai UC terhadap nilai P-Δx kondisi Operasi



**Gambar 4.9.** Kurva regresi nilai UC terhadap kemiringan kondisi Badai



**Gambar 4.10.** Kurva regresi nilai UC terhadap nilai P-Δx kondisi Badai

#### 4.7. Menentukan Kondisi Kritis *Platform*

Kondisi kritis platform didefinisikan sebagai kondisi pembebanan pada derajat kemiringan tertentu yang menimbulkan nilai UC sama dengan 1. Kondisi ini didapat dari perhitungan dengan persamaan regresi yang telah didapat pada langkah sebelumnya. Pertama-tama sudut kritis pada tiap kondisi akan dihitung, lalu kondisi kritis ditentukan berdasarkan nilai sudut terkecil. Paparan dari nilai

sudut dan nilai P- $\Delta$ x kritis dari masing-masing kondisi akan dipaparkan pada tabel 4.20. sebagai berikut.

**Tabel 4.22.** Nilai sudut dan P- $\Delta$ x kritis pada tiap kondisi

Critical Condition Condition		
Condition	Critical Degree	Nilai P- $\Delta$ x (ft-kips)
Operasi.	0,832	8815
Badai	2,202	21055

Dari hasil ini akan didapatkan jika kondisi kritis pada platform terdapat pada kondisi pembebanan operasi dengan kemiringan 0,832 derajat dengan nilai P- $\Delta$  sebesar 8815 ft-kips. Kondisi inilah yang akan ditinjau dengan melakukan analisis keruntuhan dan analisis keandalan.

#### 4.8. Kategorisasi Platform

Kategorisasi platform dilakukan dengan melakukan klasifikasi berdasarkan tingkat *life safety* dan konsekuensi dari kegagalan *platform* tersebut. Dari segi *life safety*, *platform* didesain sebagai *unmanned platform*, maka dari segi *life safety platform* berada pada level S-3. Sementara itu mengacu pada API RP 2A WSD, PHE-12 bisa dikategorikan sebagai platform yang memiliki konsekuensi sedang (*high consequences*) atau C-1 karena platform dapat di *shut-down* ketika terjadi bahaya dan *platform* berada pada kedalam diatas 100 ft. Dari hasil kategorisasi ini, didapatkan *exposure level* platform pada kondisi L-1 seperti yang akan dipaparkan pada table berikut.

**Tabel 4.23.** Exposure Level

Life Safety Category	Consequence category		
	C1	C2	C3
S1	L1	L1	L1
S2	L1	L2	L2
S3	L1	L2	L3

Berdasarkan API RP 2A WSD, platform dengan kategori L-1 harus mempunyai nilai RSR lebih besar dari 1,6 berdasarkan penjelasan pada subab 2.6.

#### 4.9. Analisis Keruntuhan

Analisis keruntuhan dilakukan pada kondisi kritis untuk menentukan nilai RSR. RSR (*Reserve Strength Ratio*) adalah perbandingan antara *base shear* saat kondisi yang menyebabkan keruntuhan dibanding dengan *base shear* saat kondisi kritis. Analisis keruntuhan dilakukan pada masing-masing arah pembebahan untuk menentukan arah pembebahan yang paling cepat menyebakan keruntuhan dengan melihat nilai RSR terkecil. Nilai RSR ini akan kita bandingkan dengan nilai RSR minimum yang harus dimiliki sebuah *platform* dari hasil proses kategorisasi *platform* yang sudah dilakukan sebelumnya. Analisis keruntuhan dilakukan dengan bantuan *software* pemodelan dan analisis struktur SACS. Pada analisis keruntuhan akan dilakukan *increment* pada beban lingkungan berupa beban angin, gelombang dan arus kondisi operasi sampai struktur runtuh (*collapse*). Nilai *base shear* dan RSR dari masing-masing arah pembebahan pada kondisi operasi dapat dilihat pada tabel 4.21. sebagai berikut.

**Tabel 4.24.** Nilai *base shear* dan RSR pada masing-masing arah pembebahan kondisi operasi

Arah Pembebahan (Deg)	Base Shear Kondisi Awal (kips)	Base Shear Kondisi Runtuh (kips)	RSR
0	104,89	2127,92	20,29
30	105,57	2309,74	21,88
60	106,05	2749,62	25,93
90	106,82	1732,33	16,22
120	106,42	1827,06	17,17
150	104,48	1867,06	17,87
180	101,15	1732,97	17,13
210	96,47	1894,19	19,64
240	93,80	2514,50	26,81
270	94,43	2163,23	22,91
300	97,09	2283,56	23,52
330	101,13	2308,76	22,83

Dari analisis keruntuhan ini didapatkan bahwa arah pembebahan kritis pada kondisi operasi adalah arah pembebahan 90 derajat dengan nilai *base shear* awal 106,82 kips dan *base shear* saat *collapse* 1732,33 kips dan nilai RSR sebesar 16,22. Dari hasil analisis keruntuhan ini, didapatkan bahwa *platform* memiliki nilai RSR yang cukup pada kondisi kritis yang artinya struktur *platform* masih layak untuk menunjang segala beban saat operasi.

#### 4.10. Analisis Keandalan

Analisis keandalan dilakukan pada member-member jacket yang mengalami plastisitas maksimum. Nilai keandalan didapat dengan membandingkan tegangan Von Mises dan tegangan ultimatnya.

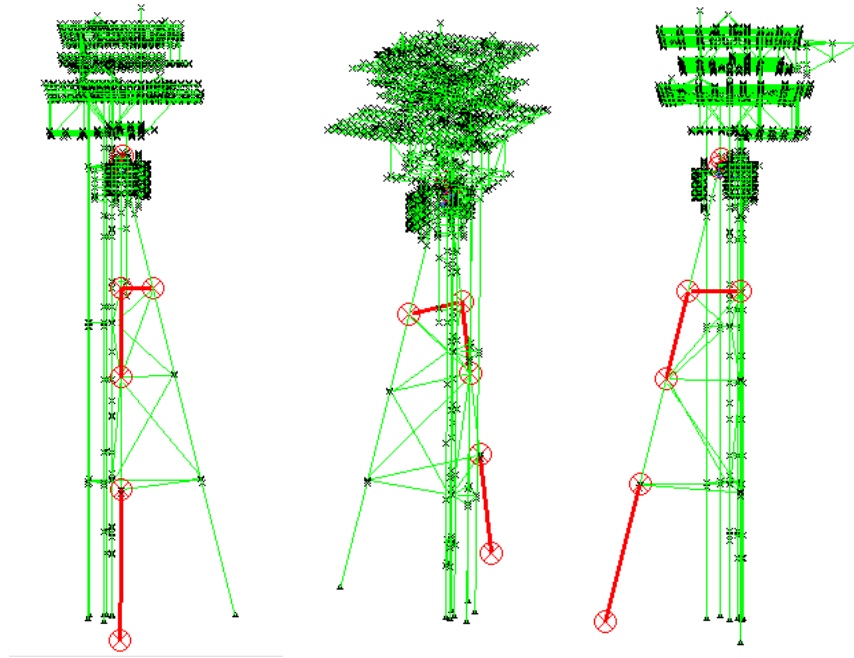
$$\sigma_{VM} = \sqrt{\frac{1}{2}[(\sigma_{xx} - \sigma_{yy})^2 + (\sigma_{yy} - \sigma_{zz})^2 + (\sigma_{zz} - \sigma_{xx})^2 + 6(\sigma_{yz}^2 + \sigma_{xz}^2)]} \quad (4.6)$$

$$z = \frac{\sigma_{VM}}{\sigma_u} \quad (4.7)$$

Kegagalan didefinisikan ketika nilai  $z \leq 1$  dan simulasi dilakukan dengan simulasi monte carlo. Yang dibutuhkan untuk analisis ini adalah data tegangan prinsipal pada member-member yang mengalami plastisitas maksimum dan nilai tegangan yieldnya. Nilai tegangan prinsipal yang terjadi pada member didapatkan dari hasil analisis keruntuhan oleh SACS yang akan dipaparkan pada table 4.25.

**Tabel 4.25.** Nilai tegangan aktual pada member dan nilai tegangan yieldnya

Member JA -JB	$\sigma_{xx}$ (ksi)	$\sigma_{yy}$ (ksi)	$\sigma_{zz}$ (ksi)	$\sigma_{xz}$ (ksi)	$\sigma_{yz}$ (ksi)	$\sigma_u$ (ksi)
403- 402	50,040	1,160	1,030	0,200	0,220	65
102- 292	1,290	20,420	6,480	3,780	15,590	65
392- 492	16,220	34,960	7,050	0,560	1,780	65
792- 802	8,890	42,590	30,820	10,980	17,070	65
302- 402	51,950	1,060	0,780	0,320	0,470	65
702- 802	8,780	40,960	35,120	13,770	17,260	65



**Gambar 4.11.** Letak member-member yang mengalami plastisitas

Nilai tegangan pada tabel 4.25 akan menjadi rata-rata pada perhitungan keandalan. Setelah itu akan dicari nilai standar deviasi dari data tegangan tersebut dengan mengalikannya dengan CoV. CoV untuk beban adalah 0,3 dan untuk kapasitas adalah 0,15 yang akan dipaparkan sebagai berikut.

**Tabel 4.26.** Variabel acak

Deskripsi	Distribusi	Cov
$\sigma_{xx}$	Normal	0,3
$\sigma_{yy}$	Normal	0,3
$\sigma_{zz}$	Normal	0,3
$\sigma_{yz}$	Normal	0,3
$\sigma_{xz}$	Normal	0,3
$\sigma_u$	Normal	0,15

Setelah nilai CoV dan jenis distribusi ditentukan, maka nilai standar deviasi bias kita cari dan dipaparkan pada table 4.27 berikut.

**Tabel 4.27.** Nilai standar deviasi dari tegangan aktual dan kapasitas

Member JA -JB	$\sigma_x$ (ksi)	$\sigma_y$ (ksi)	$\sigma_z$ (ksi)	$\sigma_{xz}$ (ksi)	$\sigma_{zy}$ (ksi)	$\sigma_u$ (ksi)
403- 402	15,012	0,348	0,309	0,06	0,066	9,75
102- 292	0,387	6,126	1,944	1,134	4,677	9,75
392- 492	4,866	10,488	2,115	0,168	0,534	9,75
792- 802	2,667	12,777	9,246	3,294	5,121	9,75
302- 402	15,585	0,318	0,234	0,096	0,141	9,75
702- 802	2,634	12,288	10,536	4,131	5,178	9,75

Setelah nilai standar deviasi didapatkan , maka akan dilakukan perhitungan keandalan dengan menggunakan simulasi monte carlo dengan 1000 kali simulasi. Maka akan didapatkan nilai keandalan dari masing-masing member yang akan dipaparkan pada tabel 4.28.

**Tabel 4.28.** Nilai keandalan tiap member

Member JA -JB	Keandalan	PoF
403- 402	0,805	0,195
102- 292	0,993	0,007
392- 492	0,997	0,003
792- 802	0,338	0,662
302- 402	0,805	0,195
702- 802	0,842	0,158

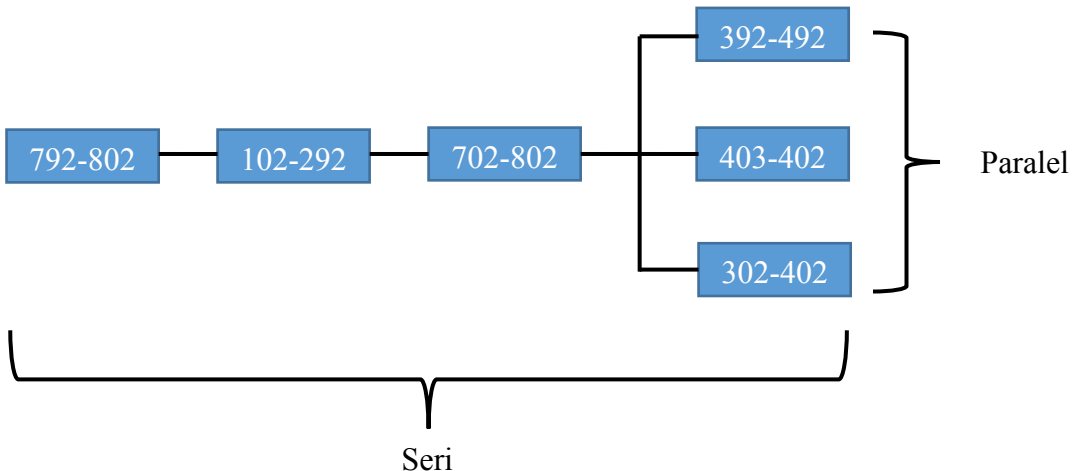
Ketika keandalan dari masing-masing member sudah diketahui, maka selanjutnya akan dicari keandalan gabungan dari struktur. Untuk menghitung keandalan gabungan tersebut, kita harus mencari hubungan antar member-member yang mengalami plastisitas tersebut terhadap keruntuhan.

Pada tugas akhir ini hubungan antara member-member yang mengalami plastisitas ditinjau dari hasil analisis keruntuhan dari SACS dengan melihat runtutan kegagalan member tehadap struktur seperti yang akan diapaparkan pada tabel 4.29. berikut ini.

**Tabel 4.29.** Runtutan kegagalan member

Load Inc.	Load Factor	Member JA -JB
81	15,83	792- 802
82	16,02	792- 802
83	16,21	792- 802
84	16,4	792- 802
85	16,59	792- 802
86	16,78	792- 802
87	16,97	102- 292
87	16,97	792- 802
88	17,16	102- 292
88	17,16	792- 802
88	17,16	702- 802
89	17,35	403- 402
89	17,35	102- 292
89	17,35	392- 492
89	17,35	792- 802
89	17,35	302- 402
89	17,35	702- 802

Dari hasil analisis keruntuhan bias kita lihat bahwa member 792-802 adalah member yang pertama kali gagal pada load increment 81 dikuti oleh member 102-291 dan 702-802 pada increment 87 dan 88, setelah itu member 403-402, 392-492, dan 302-402 gagal bersamaan pada increment 89 bersamaan dengan runtuh ya struktur. Maka hubungan dari member-member tersebut adalah terdapat empat sistem kegagalan seri yaitu pada increment 81, 87, 88, dan 89. Tiga member yang gagal pada increment 89 dianggap memiliki hubungan parallel. Untuk lebih jelasnya hubungan keandalan member-member tersebut bias di gambarkan pada diagram berikut ini.



**Gambar 4.12.** Hubungan keandalan tiap member

Dari skema pada gambar 4.12, maka persamaan keandalan gabungan struktur dapat ditulis sebagai berikut.

$$K_s = K_{792-802} \times K_{102-292} \times K_{702-802} \times (1 - Pof_{392-492} \times Pof_{403-402} \times Pof_{302-402})$$

$$K_s = 0,805 \times 0,993 \times 0,997 \times (1 - 0,662 \times 0,195 \times 0,158)$$

$$K_s = 0,7807$$

$$PoFs = 1 - K_s = 0,2193$$

Dari perhitungan keandalan didapatkan nilai keandalan struktur 0,7807 dan nilai peluang kegagalan struktur (PoF) 0,2193 yang berarti struktur masih handala karena nilai keandalan lebih besar dari nilai peluang kegagalan struktur.

Selanjutnya adalah mencari nilai indeks keandalan, indeks keandalan dicari dengan mencari nilai rata-rata dan standar deviasi dari nilai mode kegagalan, selanjutnya nilai indeks keandalan dicari dengan persamaan 2.53. Nilai Indeks keandalan dari masing-masing member akan dipaparkan pada tabel 4.30.

**Tabel 4.30.** Nilai indeks keandalan dari masing-masing member

Member JA -JB	Indeks Keandalan
403- 402	2,045
102- 292	3,250
392- 492	1,592
792- 802	4,050
302- 402	1,762
702- 802	4,248

Dari hasil perhitungan indeks keandalan didapatkan nilai indeks keandalan terkecil sebesar 1,592 yaitu pada member 392-492. Dari hasil indeks keandalan didapatkan bahwa struktur belum cukup handal karena memiliki nilai indeks keandalan dibawah dua yang artinya nilai *safety margin* tidak cukup konsisten.

## **BAB V**

### **KESIMPULAN DAN SARAN**

#### **5.1. Kesimpulan**

1. Kondisi kritis *platform* adalah pada kondisi operasi dengan kemiringan 0,872 derajat dan nilai tambahan momen sebesar 8815 ft-kips.
2. Nilai RSR *platform* pada kondisi kritis adalah 16,22 dengan nilai *base shear* awal 106,82 kips dan *base shear* saat *collapse* 1732,33 kips pada arah pembebaban 90 derajat yang menyatakan *platform* masih layak karena diatas nilai standar RSR platform sebesar 1,6.
3. Nilai keandalan struktur terhadap keruntuhan pada kondisi kemiringan kritis adalah 0,7807 yang berarti struktur bisa dianggap handal namun dari segi nilai indeks keandalan struktur didapatkan nilai 1,592 yang diambil dari nilai indeks keandalan member 392-492 yang menyatakan nilai keandalan belum mempunyai jaminan yang cukup.

#### **5.2. Saran**

1. Pada penelitian selanjutnya disarankan untuk memperbanyak variasi kemiringan agar didapatkan hasil regresi yang lebih teliti.
2. Pada penelitian selanjutnya disarankan untuk memakai *second order P-δ* dalam pemodelan kemiringan agar tegangan yang dihasilkan lebih bisa mewakili dari kondisi platform miring tersebut.
3. Pada penelitian selanjutnya disarankan untuk menganalisis tegangan dengan metode analisis lokal untuk mendapatkan hasil yang lebih baik.
4. Pada penelitian selanjutnya disarankan untuk menggunakan membandingkan berbagai metode keandalan.

**(Halaman ini sengaja dikosongkan)**

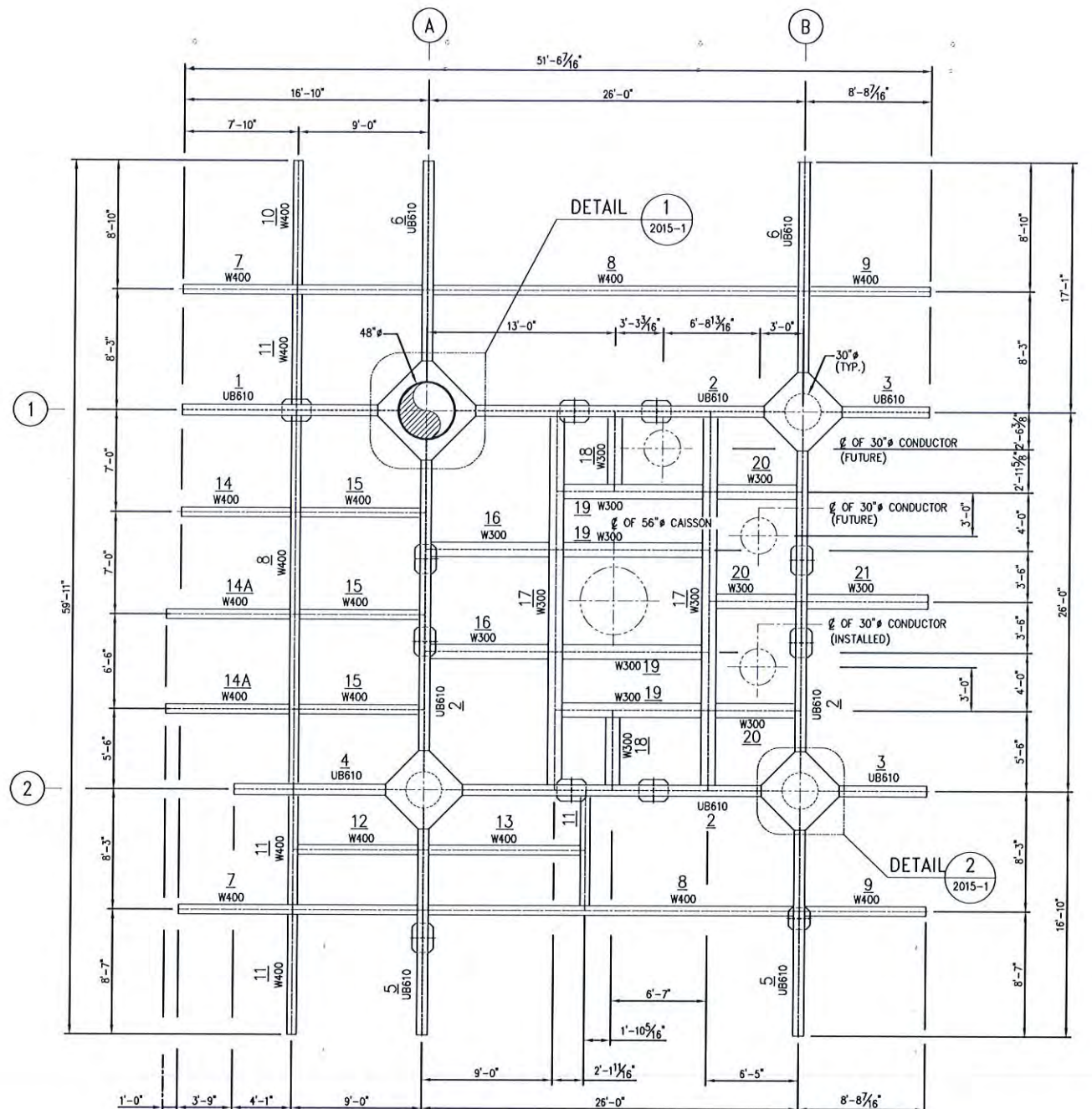
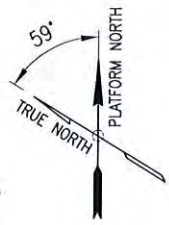
## DAFTAR PUSTAKA

- Ainillah, Shaila. 2017. *Analisa Ultimate Strength Struktur Jacket Platform Berbasis Keandalan Pasca Subsidence*. Surabaya: Jurnal Tugas Akhir Departemen Teknik Kelautan ITS.
- American Institute of Steel Constructors. 2010. *Specification for Structural Steel Building*. Chicago : API.
- American Petroleum Institute. 2002. *Recomended Practice for Planning, Designing and Construction Fixed Offshore Platform, Working Stress Design*. Washington DC : API.
- American Standard of Testing Material. 2015. *Standard Specification for Carbpn Structurak Steel*. West Conshohocken : ASTM International.
- Azmi, Fatih. 2016. *Analisa Resiko Keruntuhan Struktur Jacket Breasting Dolphin Akibat Penambahan DWT Kapal Tanker*. Surabaya : Jurnal Tugas Akhir Departemen Teknik Kelautan ITS.
- Braja M. Das. 2008. *Advance Soil Mechanics*. New York : Taylor & Francis.
- Davidson, B.J., Fenwick, R.C., Chung, B.T. *P-delta effects in multi-storey structural design*. Rotterdam: Earthquake Engineering, Tenth World Conference.
- Djatmiko. 2014. Gaya Gelombang pada Struktur Langsing Terpanjang. Surabaya : Institut Teknologi Sepuluh Nopember.
- International Standardization Organization 19902. 2007. *International Standard Petroleum and Natural Gas Industries Fixed Steel Offshore Structures*. Switzerland : ISO.
- Nizamani, Zafarullah. 2015. *Environmental Load Factors and System Strength Evaluation of Offshore Jacket Platforms*. Switzerland: Springer.

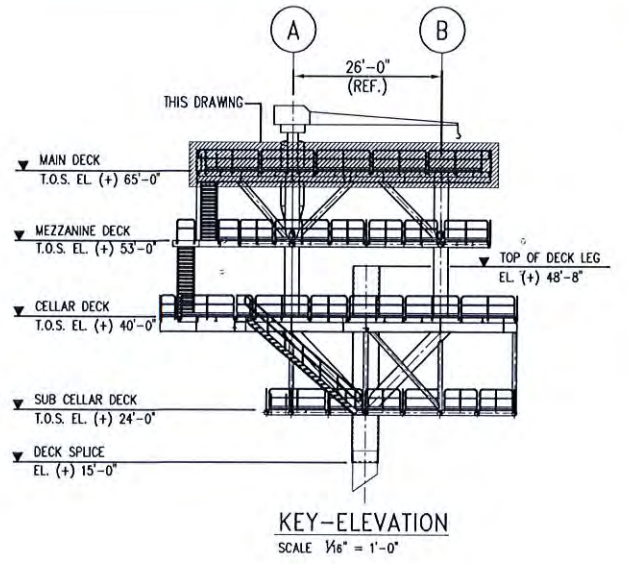
- Pratama, Widi Chalbi. 2013. *Analisis Ultimate Strength Struktur Jacket Platform Berbasis Keandalan dengan Variasi Jenis Tanah*. Surabaya : Jurnal Tugas Akhir Departemen Teknik Kelautan ITS.
- Popov, E.P. 1984. *Mekanika Teknik*, Jakarta : Erlangga.
- Robayasa, Nasta Ina. 2012. *Analisa kekuatan Ultimate Strength Jacket Well Tripod Platform Berbasis Resiko*. Surabaya: Jurnal Tugas Akhir Departemen Teknik Kelautan ITS.
- Rosyid, D. M. 2007. *Pengantar Rekayasa Keandalan*. Surabaya : Airlangga University Press.
- Skjelbreia, L., Hendrickson, J. 1958. *Fifth Order Gravity Wave Theory*. California : National Engineering Science Company.
- S. K. Chakrabharti. 2005. *Handbook of Offshore Engineering*. Amsterdam : Elsevier.
- S. K. Chakrabharti. 1987. *Hydrodynamic of Offshore Structure*. Berlin : Springer Verlag.
- Y. Murotsu dkk. 1984. Probabilistic Collapse Analysis of Offshore Structure. Texas : The 4<sup>th</sup> International Symposium on Offshore Mechanics and Arctic Engineering.

# **LAMPIRAN 1**

## ***DRAWING DARI PLATFORM***



MAIN DECK PRIMARY FRAMING PLAN T.O.S. EL. (+) 65'-0"  
SCALE  $\frac{1}{16}$ " = 1'-0"



#### MATERIAL TAKE OFF

MARK	DESCRIPTION	MATERIAL SPEC.	L/A/V (*)	QTY	TOTAL L/A/V (*)	UNIT	UNIT WEIGHT (lb/u)	TOTAL WEIGHT (lb)	SPEC. TYPE
SUPPLIED BY COMPANY									
1	UB610x229x11.1x17.3	ASTM A572 Gr.50	16.83	1	16.83	FT	75.94	1278	I I
2	UB610x229x11.1x17.3	ASTM A572 Gr.50	26.00	4	104.00	FT	75.94	7898	I I
3	UB610x229x11.1x17.3	ASTM A572 Gr.50	7.50	2	15.00	FT	75.94	1139	I I
4	UB610x229x11.1x17.3	ASTM A572 Gr.50	13.08	1	13.08	FT	75.94	993	I I
5	UB610x229x11.1x17.3	ASTM A572 Gr.50	16.83	2	33.67	FT	75.94	2557	I I
6	W400x200x8x13	ASTM A572 Gr.50	17.08	2	34.17	FT	75.94	2595	I I
7	W400x200x8x13	ASTM A572 Gr.50	16.5	2	33.00	FT	44.35	1464	I I
8	W400x200x8x13	ASTM A572 Gr.50	26.00	3	78.00	FT	44.35	3459	I I
9	W400x200x8x13	ASTM A572 Gr.50	8.70	2	17.41	FT	44.35	772	I I
10	W400x200x8x13	ASTM A572 Gr.50	8.50	1	8.50	FT	44.35	377	I I
11	W400x200x8x13	ASTM A572 Gr.50	8.25	4	33.00	FT	44.35	1464	I I
12	W400x200x8x13	ASTM A572 Gr.50	9.00	1	9.00	FT	44.35	400	I I
13	W400x200x8x13	ASTM A572 Gr.50	11.14	1	11.14	FT	44.35	494	I I
14	W400x200x8x13	ASTM A572 Gr.50	7.83	1	7.83	FT	44.35	347	I I
14A	W400x200x8x13	ASTM A572 Gr.50	8.83	2	17.66	FT	44.35	783	I I
15	W300x300x10x15	ASTM A572 Gr.50	9.00	3	27.00	FT	44.35	1198	I I
16	W300x300x10x15	ASTM A572 Gr.50	9.00	2	18.00	FT	63.66	1146	I I
17	W300x300x10x15	ASTM A572 Gr.50	26.00	2	52.00	FT	63.66	3310	I I
18	W300x300x10x15	ASTM A572 Gr.50	5.50	2	11.00	FT	63.66	700	I I
19	W300x300x10x15	ASTM A572 Gr.50	10.58	4	42.32	FT	63.66	2694	I I
20	W300x300x10x15	ASTM A572 Gr.50	6.42	3	19.25	FT	63.66	1226	I I
21	W300x300x10x15	ASTM A572 Gr.50	8.70	1	8.70	FT	63.66	554	I I

SUB TOTAL WEIGHT = 36848 Lb

SPECIFICATION : 1 = PHEWMO-C-SPE-0101 (REV.0)  
(SPEC.) 2 = -

TYPE CLASSIFICATION : I = TYPE I II = TYPE III  
(TYPE) II = TYPE II IV = TYPE IV

(\* ) L = LENGTH (ft); A = AREA (sq ft); V = VOLUME (bs/ft)

APPROVED FOR CONSTRUCTION



This drawing and the design it covers are the property of PERTAMINA PHE WMO. It is merely loaned on borrower's expressed agreement that it will not be transmitted, reproduced or disclosed to anyone or otherwise used except privately and then only in a manner stated in the written consent by the lender.

NOTE

- FOR GENERAL NOTES REFER TO DWG. NO. PHEWMO-PHE12-C-SDE-2000
- ALL DIMENSIONS ARE IN FEET AND INCH UNLESS NOTED OTHERWISE.
- ALL MEMBERS ARE TYPE-I UNLESS NOTED OTHERWISE.

CONTRACT NO. 189A/TS/OPS/13

REVISIONS				ENGINEERING APPROVAL			PHE WMO APP'D		
REV	BY	DATE	DESCRIPTION	PRE'D	CHK'D	APP'D	PROCESS	BY	DATE
O	SGH	16-NOV-2015	APPROVED FOR CONSTRUCTION	BS	HSI/AW	JH/AHR	INSTRUMENT		
B	BK	05-NOV-2015	ISSUED FOR APPROVAL	BS	HSI/AW	JH/AHR	ELECTRICAL		
A	BK	27-OCT-2015	ISSUED FOR REVIEW	BS	HSI/AW	JH/AHR	STRUCTURAL	DATE: 17/11/15	CONTRACTOR APP'D
							MECHANICAL		
							PIPELINE		
							POLYPIPE		
							PROCESS SAFETY		
								DATE: 16/11/2015	

PROJECT TITLE : EPCI-1 : PHE-12, PHE-24, AND CPP2 PLATFORM AND PIPELINE

**PERTAMINA  
PHE WMO**

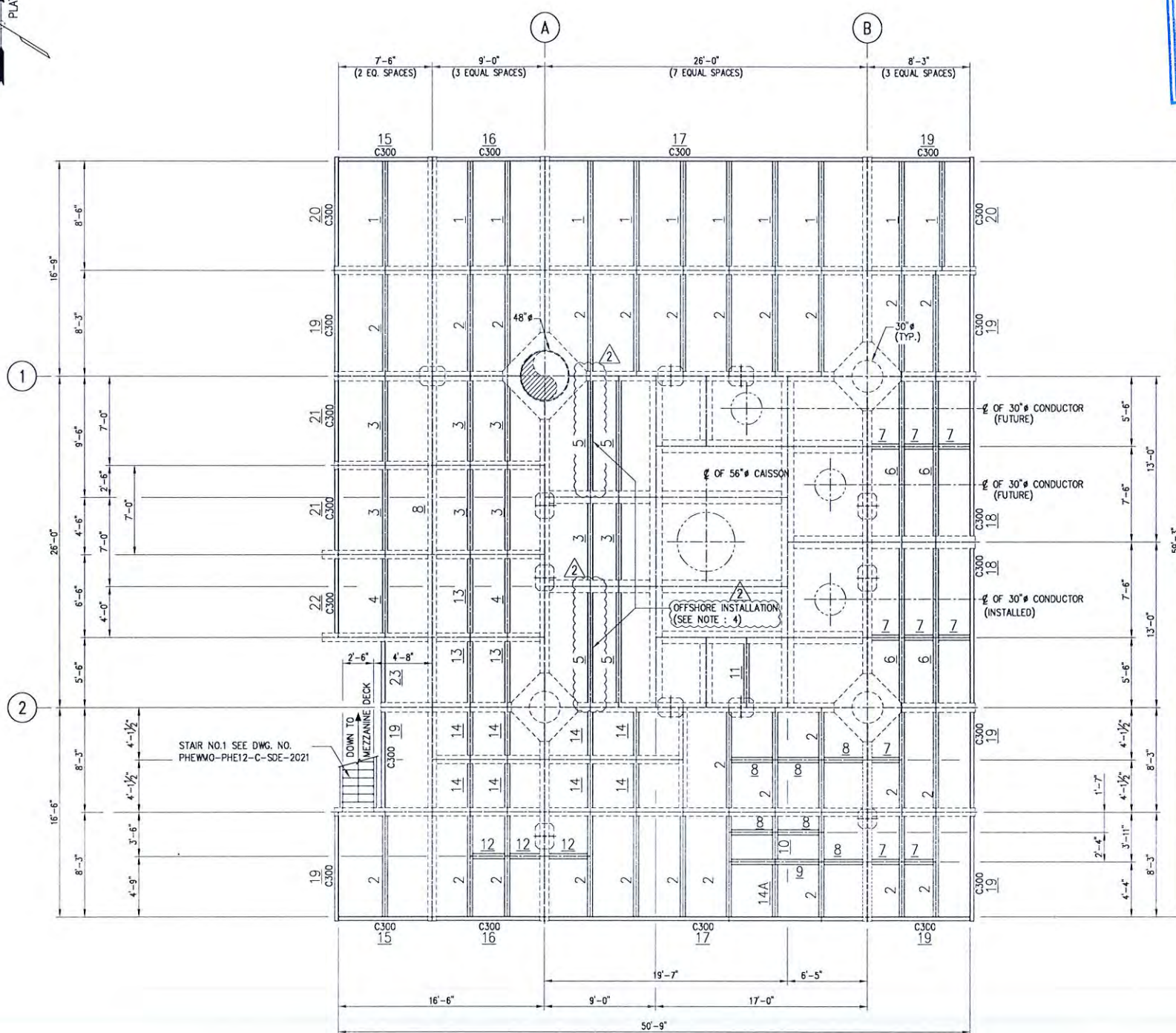
CONSORTIUM

PT.TIMAS SUPINDO PT.GUNAWAN UTAMA  
FABRICATORS

PHE-12 WELLHEAD PLATFORM  
MAIN DECK PRIMARY FRAMING PLAN  
AT T.O.S EL. (+) 65'-0"

SCALE	DOCUMENT No	SHEET	REV.
$\frac{1}{16}$ " = 1'-0"	PHEWMO-PHE12-C-SDE-2001	1	OF 1 0

59°  
TRUE NORTH  
PLATFORM NORTH



MAIN DECK SECONDARY FRAMING PLAN T.O.S. EL. (+) 65'-0"

SCALE  $\frac{1}{16}$ " = 1'-0"  
(ALL MATERIAL MEMBERS SHALL BE H250x125x6x9 U.N.O.)

This drawing and the design it covers are the property of PERTAMINA PHE WMO. It is merely loaned on borrower's expressed agreement that it will not be transmitted, reproduced or disclosed to anyone or otherwise used except privately and then only in a manner stated in the written consent by the lender.

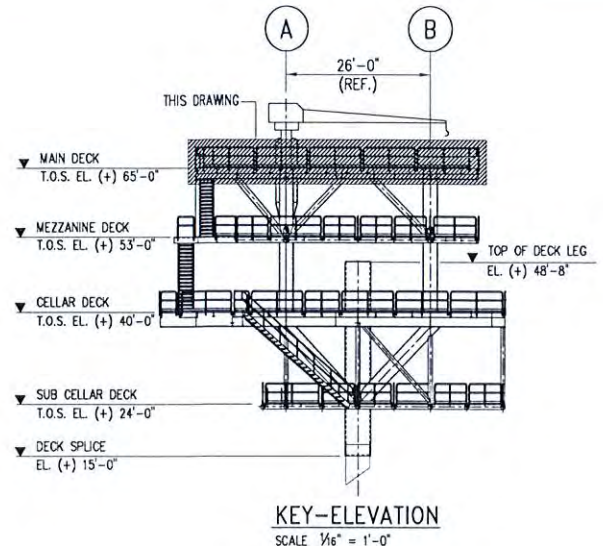
NOTE

- FOR GENERAL NOTES REFER TO DWG. NO. PHEWMO-PHE12-C-SDE-2000
- ALL DIMENSIONS ARE IN FEET AND INCH UNLESS NOTED OTHERWISE.
- ALL MEMBERS ARE TYPE-III UNLESS NOTED OTHERWISE.
- SECONDARY BEAMS MARKED WITH TO BE OFFSHORE INSTALLED IN ORDER TO ENABLE ACCESS FOR SHACKLE INSTALLATION/ REMOVAL AND DECK LIFTING (INSTALLATION)

2

CONTRACT NO. 189A/TS/OPS/13

REVISIONS	REV	BY	DATE	DESCRIPTION	PRE'D	CHK'D	APP'D	PROCESS SAFETY
2	SGH	28-JAN-2016	RE-APPROVED FOR CONSTRUCTION	BS HS/AW JH/R				ENGINEERING APPROVAL
1	SGH	16-DES-2015	RE-APPROVED FOR CONSTRUCTION	BS HS/AW JH/R				PHE WMO APP'D
C	SGH	16-NOV-2015	APPROVED FOR CONSTRUCTION	BS HS/AW JH/R				DATE: 04/02/2016
B	BK	CS-NCV-2015	ISSUED FOR APPROVAL	BS HS/AW JH/R				CONTRACTOR APP'D
A	BK	27-OCT-2015	ISSUED FOR REVIEW	BS HS/AW JH/R				DATE: 04/02/2016

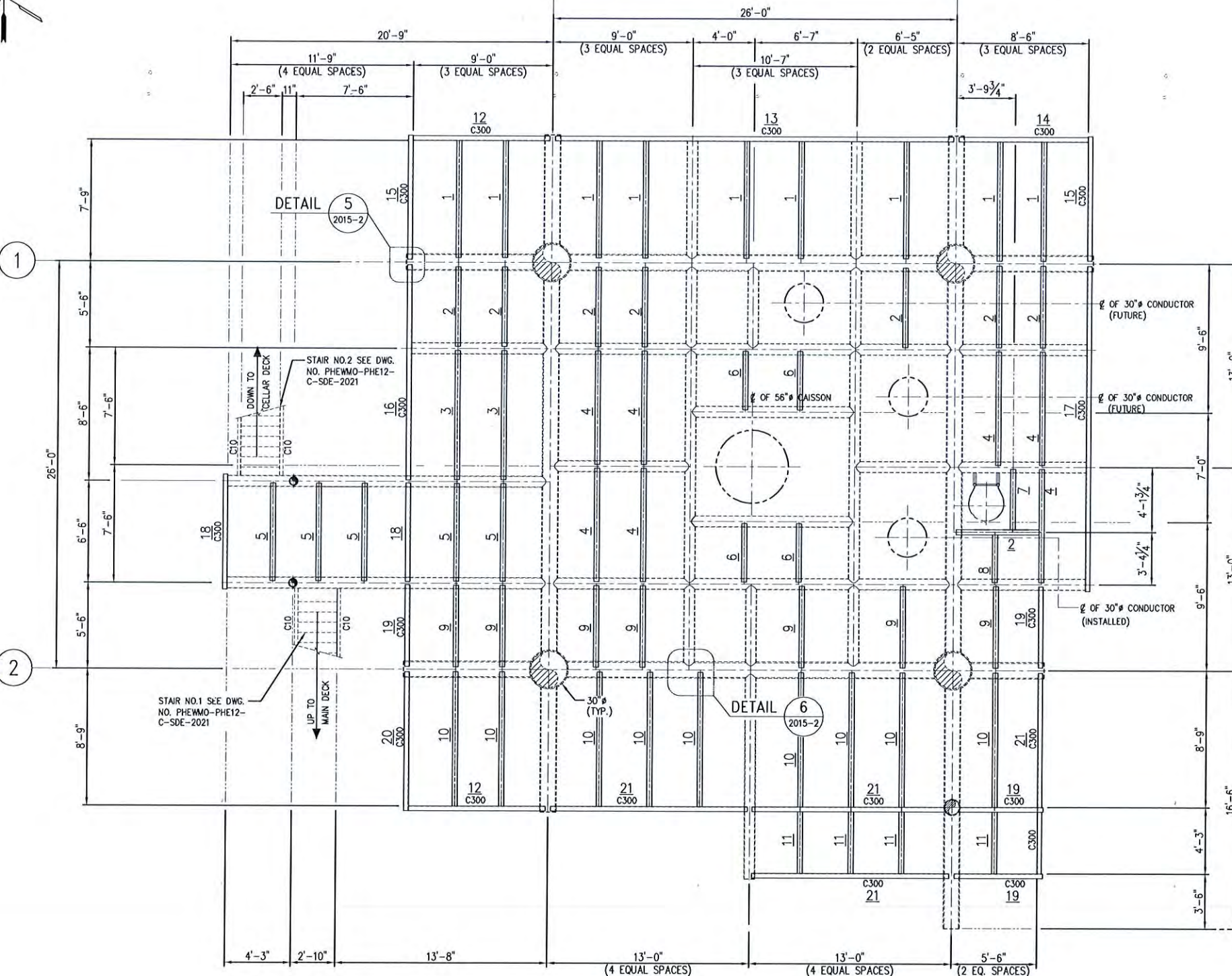


MATERIAL TAKE OFF									
MARK	DESCRIPTION	MATERIAL SPEC.	L/A/V (*)	QTY	TOTAL L/A/V (*)	UNIT (U)	UNIT WEIGHT (lb/u)	TOTAL WEIGHT (lb)	SPEC. TYPE
SUPPLIED BY COMPANY									
1	H250x125x6x9	ASTM A36	8.50	11	93.50	FT	19.89	1860	I III
2	H250x125x6x9	ASTM A36	8.25	26	215.00	FT	19.89	4266	I III
3	H250x125x6x9	ASTM A36	7.00	8	56.00	FT	19.89	1114	I III
4	H250x125x6x9	ASTM A36	6.50	2	13.00	FT	19.89	259	I III
5	H250x125x6x9	ASTM A36	9.50	4	38.00	FT	19.89	756	I III
6	H250x125x6x9	ASTM A36	13.00	4	52.00	FT	19.89	1034	I III
7	H250x125x6x9	ASTM A36	2.75	9	24.75	FT	19.89	492	I III
8	H250x125x6x9	ASTM A36	3.71	6	22.28	FT	19.89	443	I III
9	H250x125x6x9	ASTM A36	7.43	1	7.43	FT	19.89	148	I III
10	H250x125x6x9	ASTM A36	3.92	1	3.92	FT	19.89	78	I III
11	H250x125x6x9	ASTM A36	5.50	1	5.50	FT	19.89	109	I III
12	H250x125x6x9	ASTM A36	3.00	3	9.00	FT	19.89	179	I III
13	H250x125x6x9	ASTM A36	5.50	2	11.00	FT	19.89	219	I III
14	H250x125x6x9	ASTM A36	4.75	8	33.00	FT	19.89	656	I III
14A	H250x125x6x9	ASTM A36	4.33	1	4.33	FT	19.89	86	I III
SUPPLIED BY CONTRACTOR									
15	C300x90x10x15.5	ASTM A36	7.49	2	14.98	FT	29.43	441	I III
16	C300x90x10x15.5	ASTM A36	8.97	2	17.94	FT	29.43	528	I III
17	C300x90x10x15.5	ASTM A36	26.00	2	52.00	FT	29.43	1530	I III
18	C300x90x10x15.5	ASTM A36	13.00	2	26.00	FT	29.43	765	I III
19	C300x90x10x15.5	ASTM A36	8.25	8	66.00	FT	29.43	1942	I III
20	C300x90x10x15.5	ASTM A36	8.50	2	17.00	FT	29.43	500	I III
21	C300x90x10x15.5	ASTM A36	7.00	2	14.00	FT	29.43	412	I III
22	C300x90x10x15.5	ASTM A36	6.50	1	6.50	FT	29.43	191	I III
23	C300x90x10x15.5	ASTM A36	5.50	1	5.50	FT	29.43	162	I III
SUB TOTAL WEIGHT = 18170 Lb									
SPECIFICATION : 1 = PHEWMO-C-SPE-0101 (REV.C) (SPEC.) 2 = -					TYPE CLASSIFICATION : I = TYPE I    III = TYPE III (TYPE) II = TYPE II    IV = TYPE IV				

APPROVED FOR CONSTRUCTION

NOTE	CONTRACT NO. 189A/TS/OPS/13	REF. NO.	PROJECT TITLE : EPCI-1 : PHE-12, PHE-24, AND CPP2 PLATFORM AND PIPELINE
1	SGH 28-JAN-2016 RE-APPROVED FOR CONSTRUCTION	BS HS/AW JH/R	PERTAMINA PHE WMO APP'D
2	SGH 16-DES-2015 RE-APPROVED FOR CONSTRUCTION	BS HS/AW JH/R	DATE: 04/02/2016
C	SGH 16-NOV-2015 APPROVED FOR CONSTRUCTION	BS HS/AW JH/R	CONTRACTOR APP'D
B	BK CS-NCV-2015 ISSUED FOR APPROVAL	BS HS/AW JH/R	DATE: 04/02/2016
A	BK 27-OCT-2015 ISSUED FOR REVIEW	BS HS/AW JH/R	DATE: 04/02/2016
PHE-12 WELLHEAD PLATFORM			
MAIN DECK SECONDARY FRAMING PLAN			
AT T.O.S EL. (+) 65'-0"			
SCALE	DOCUMENT No	SHEET	REV.
$\frac{1}{16}$ "=1'-0"	PHEWMO-PHE12-C-SDE-2002	1	OF 1 2

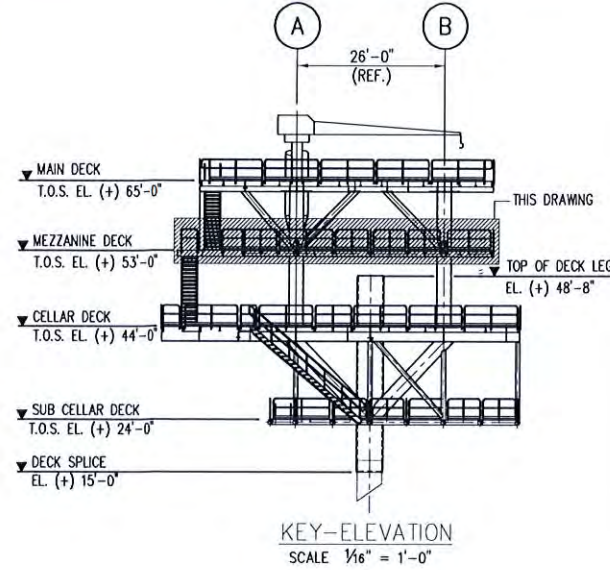
53°  
TRUE NORTH  
PLATFROM NORTH



MEZZANINE DECK SECONDARY FRAMING PLAN T.O.S. EL. (+) 53'-0"

SCALE  $\frac{1}{4}$ " = 1'-0"  
(THIS ELEVATION TO BE TOP FLUSH)  
(ALL MATERIAL MEMBER SHALL BE H200x100x5.5x8 U.N.O.)

APPROVED FOR CONSTRUCTION



MATERIAL TAKE OFF									
MARK	DESCRIPTION	MATERIAL SPEC.	L/A/V (*)	QTY	TOTAL L/A/V (*)	UNIT	UNIT WEIGHT (lb/u)	TOTAL WEIGHT (lb)	SPEC. TYPE
SUPPLIED BY COMPANY									
1	H200x100x5.5x8	ASTM A36	7.75	9	69.75	FT	14.33	1000	I
2	H200x100x5.5x8	ASTM A36	5.50	8	44.00	FT	14.33	631	I
3	H200x100x5.5x8	ASTM A36	8.50	2	17.00	FT	14.33	244	I
4	H200x100x5.5x8	ASTM A36	7.50	7	52.50	FT	14.33	752	I
5	H200x100x5.5x8	ASTM A36	6.50	5	32.50	FT	14.33	466	I
6	H200x100x5.5x8	ASTM A36	4.00	4	16.00	FT	14.33	229	I
7	H200x100x5.5x8	ASTM A36	4.15	1	4.15	FT	14.33	59	I
8	H200x100x5.5x8	ASTM A36	3.35	1	3.35	FT	14.33	48	I
9	H200x100x5.5x8	ASTM A36	5.50	7	38.50	FT	14.33	552	I
10	H200x100x5.5x8	ASTM A36	8.75	9	78.75	FT	14.33	1128	I
11	H200x100x5.5x8	ASTM A36	4.25	4	17.00	FT	14.33	244	I
SUPPLIED BY CONTRACTOR									
12	C300x90x10x15.5	ASTM A36	9.00	2	18.00	FT	29.43	530	I
13	C300x90x10x15.5	ASTM A36	26.00	1	26.00	FT	29.43	765	I
14	C300x90x10x15.5	ASTM A36	8.50	1	8.50	FT	29.43	250	I
15	C300x90x10x15.5	ASTM A36	7.75	2	15.50	FT	29.43	456	I
16	C300x90x10x15.5	ASTM A36	14.00	1	14.00	FT	29.43	412	I
17	C300x90x10x15.5	ASTM A36	20.50	1	20.50	FT	29.43	603	I
18	C300x90x10x15.5	ASTM A36	6.50	2	13.00	FT	29.43	383	I
19	C300x90x10x15.5	ASTM A36	5.50	4	22.00	FT	29.43	648	I
20	C300x90x10x15.5	ASTM A36	8.75	1	8.75	FT	29.43	258	I
21	C300x90x10x15.5	ASTM A36	13.00	4	52.00	FT	29.43	1530	I
TOTAL WEIGHT = 11188 LB									
SPECIFICATION : I = PHEMO-C-SPE-0101 (REV.0) (SPEC.) 2 = - (TYPE)					TYPE CLASSIFICATION : I = TYPE I (TYPE) II = TYPE II III = TYPE III IV = TYPE IV				
(*) L = LENGTH (ft); A = AREA (sq.ft); V = VOLUME (lbs/ft)									

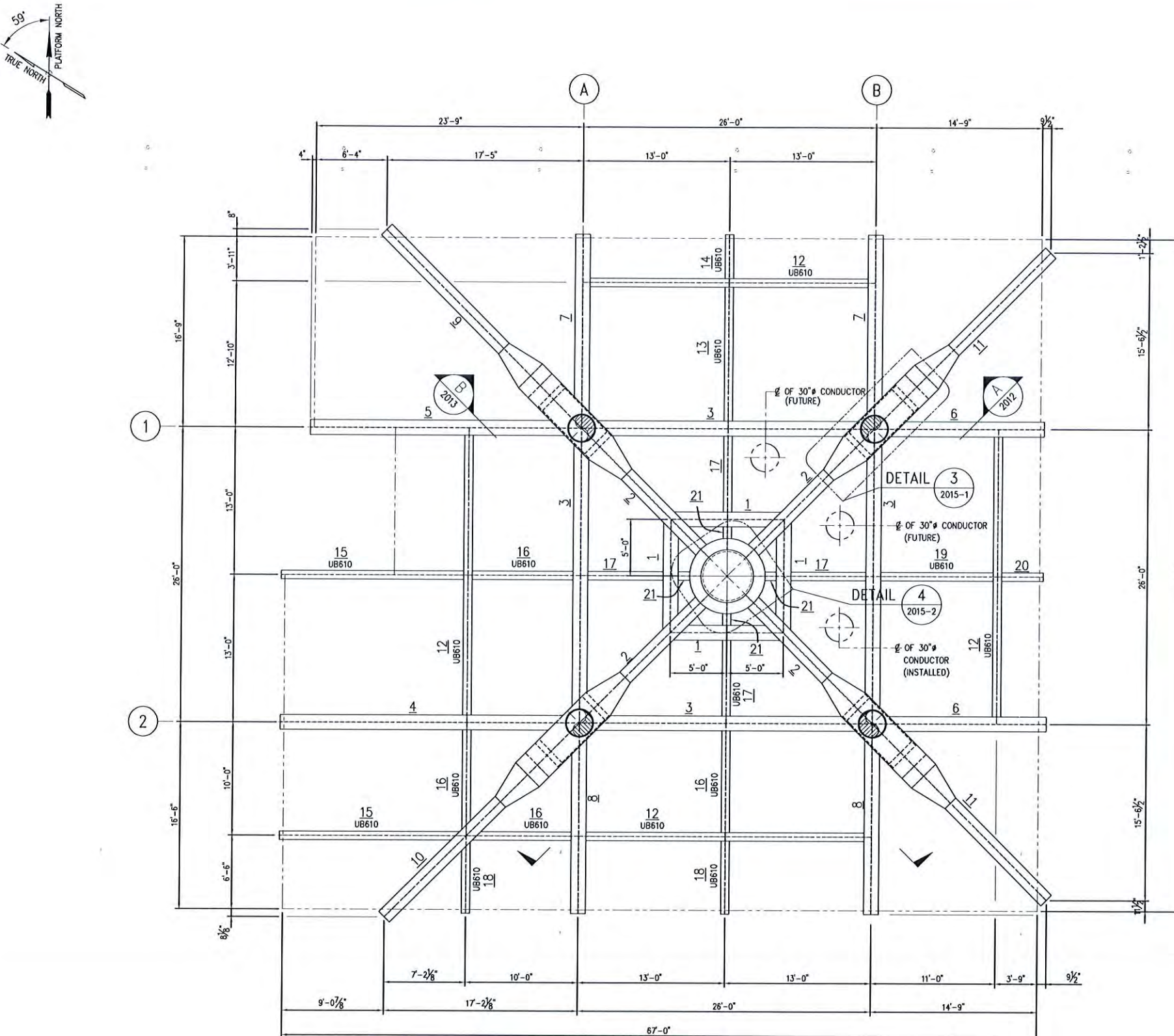


This drawing and the design it covers are the property of PERTAMINA PHE WMO. It is merely loaned on borrower's expressed agreement that it will not be transmitted, reproduced or disclosed to anyone or otherwise used except privately and then only in a manner stated in the written consent by the lender.

NOTE

CONTRACT NO. 189A/TS/OPS/13				REF. NO.	PROJECT TITLE : EPCI-1 : PHE-12, PHE-24, AND CPP2 PLATFORM AND PIPELINE		
					ENGINEERING APPROVAL	PHE WMO APP'D	
					BY	DATE	
					PROCESS		
					ELECTRICAL		
					INSTRUMENT		
					STRUCTURAL		
					MECHANICAL		
					PIPELINING		
					PIPELINE		
REVISIONS	REV	BY	DATE	DESCRIPTION	PRE'D	CHK'D	APP'D
O	SGH	16-NOV-2015	APPROVED FOR CONSTRUCTION	BS	HSI/AW	JH/AHR	
B	BK	05-NOV-2015	ISSUED FOR APPROVAL	BS	HSI/AW	JH/AHR	
A	SGH	27-OCT-2015	ISSUED FOR REVIEW	BS	HSI/AW	JH/AHR	
					PROCESS SAFETY		
					DATE		
					17/11/2015		

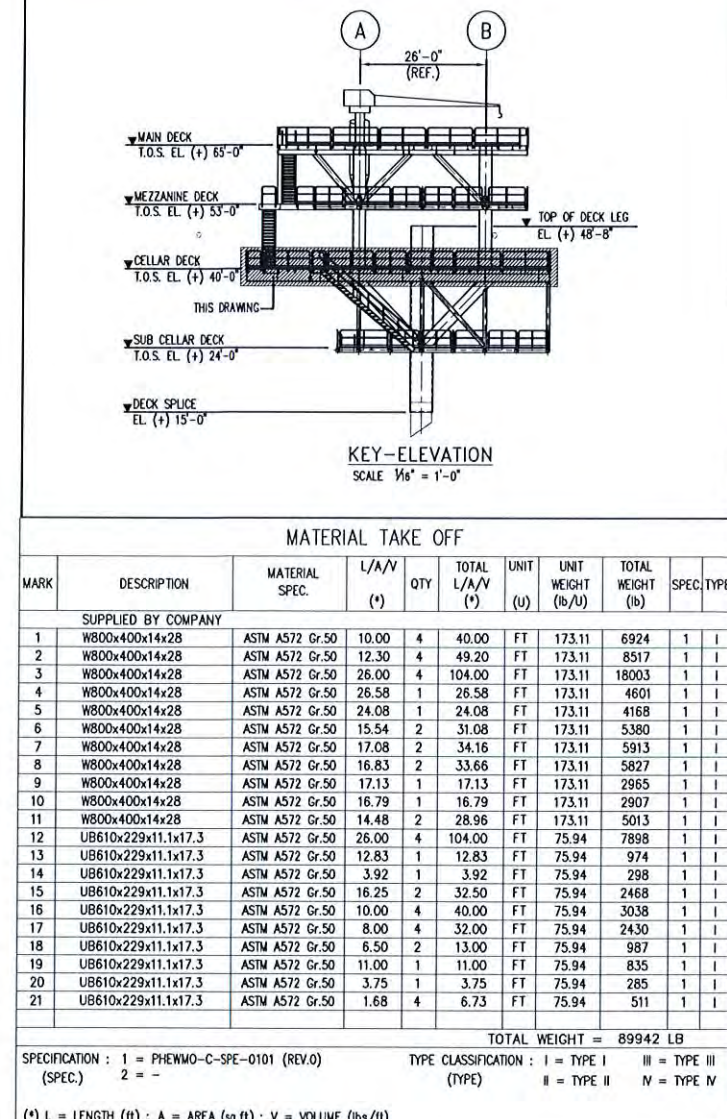
PHE-12 WELLHEAD PLATFORM MEZZANINE DECK SECONDARY FRAMING PLAN AT T.O.S. EL (+) 53'-0"			
<b>PERTAMINA PHE WMO</b>		CONSORTIUM	
PT. TIMAS SUPUNDO	PT. GUNARUSA UTAMA	FABRICATORS	
SCALE $\frac{1}{4}$ "=1'-0"	DOCUMENT No	SHEET	REV.
14'-0"	PHEMO-PHE12-C-SDE-2004	1 OF 1	0



CELLAR DECK PRIMARY FRAMING PLAN T.O.S EL. (+) 40'-0"

SCALE  $1\frac{3}{16}'' = 1'-0''$

(ALL MATERIAL MEMBER SHALL BE W800x400x14x28 U.N.O.)



SPECIFICATION : 1 = PHEWMO-C-SPE-0101 (REV.0)  
(SPEC.) 2 = -

TOTAL WEIGHT = 89942 LB

(\*) L = LENGTH (ft) : A = AREA (sq ft) : V = VOLUME (lbs / ft)

A rectangular passport stamp with a double-line border. The text "UNITED STATES OF AMERICA" is at the top, followed by "NOV 17 2011" in the center, and "P-0000000" at the bottom.

**APPROVED FOR CONSTRUCTION**

This drawing and the design it covers are the property of PERTAMINA PHE WMO it is merely loaned on borrower's expressed agreement that it will not be transmitted, reproduced or disclosed to anyone or otherwise used except privately and then only in a manner stated in the written consent by the lender.

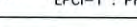
**NOTE**

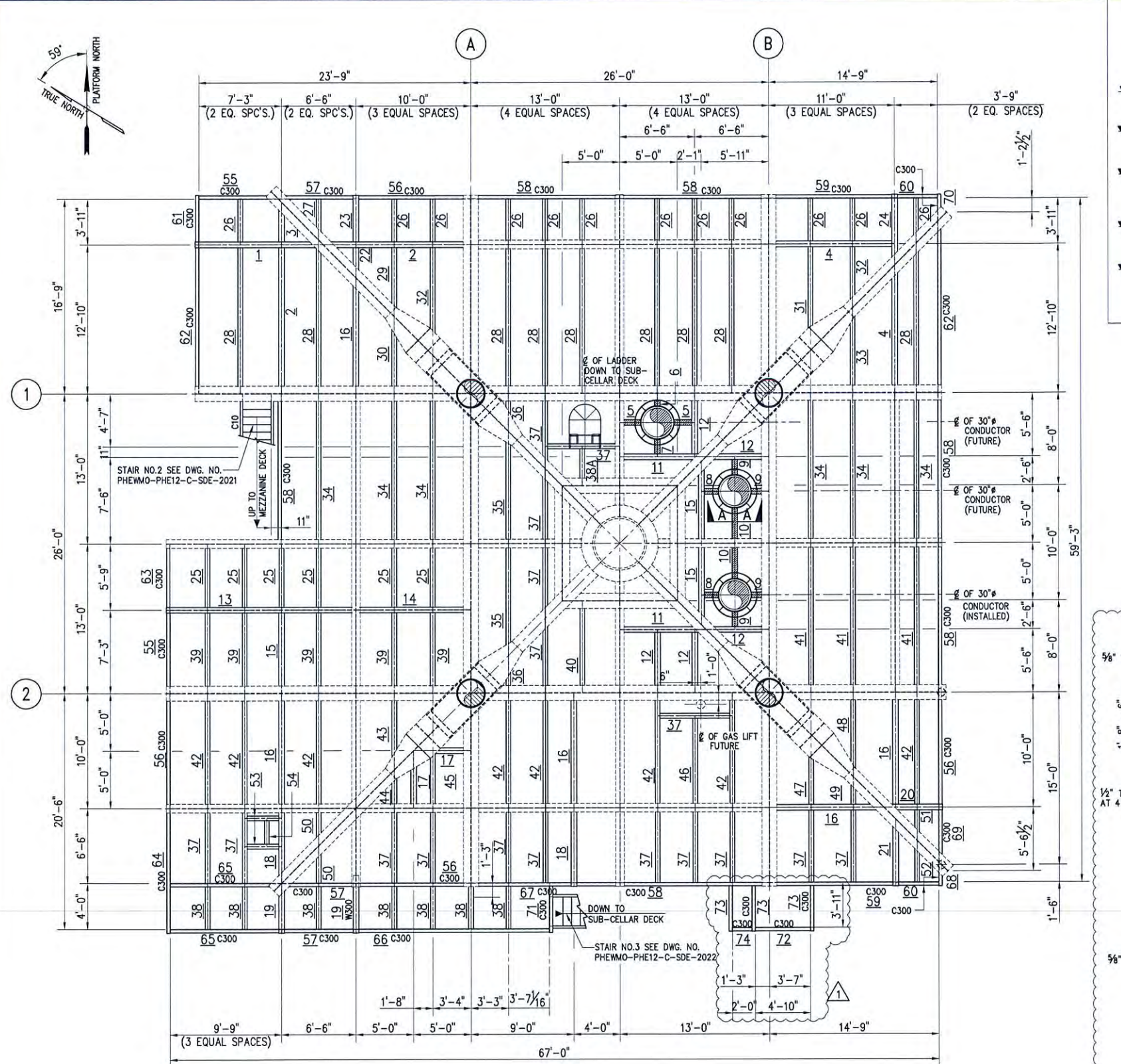
---

1. FOR GENERAL NOTES REFER TO DWG. NO. PHEWMO-PHE12-C-SDE-2000  
2. ALL DIMENSIONS ARE IN FEET AND INCH UNLESS NOTED OTHERWISE.  
3. ALL MEMBERS ARE TYPE-I UNLESS NOTED OTHERWISE.

	CONTRACT NO. 189A/TS/OPS/13			
	<i>K</i>			
REVISIONS	O	SCH	16-NOV-2015	APPROVED
	B	SCH	05-NOV-2015	ISSUED FOR
	A	SCH	27-OCT-2015	ISSUED FOR
	D	PIN	DATE	

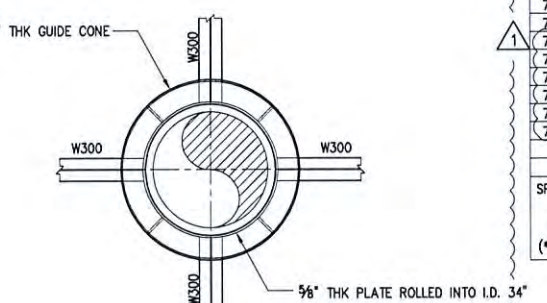
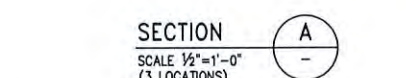
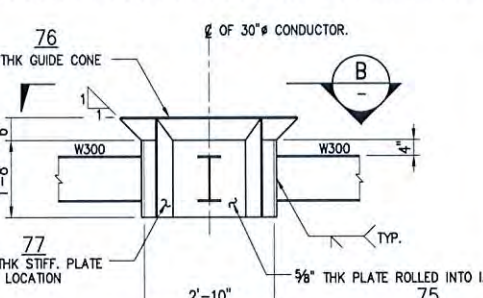
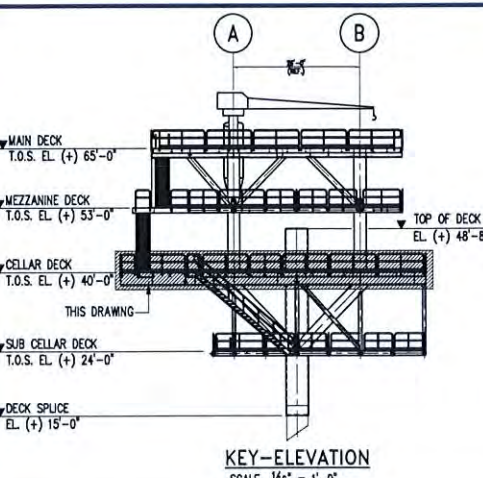
	REF. NO.	ENGINEERING APPROVAL			PHE WMO APP'D
		BY	DATE		
	PROCESS				<i>YAS</i>
	ELECTRICAL				<i>YAS</i>
	INSTRUMENT				<i>YAS</i>
JH/AHR	STRUCTURAL	<i>BL AC</i>	<i>17/11/15</i>		<i>YAS</i>
JH/AHR	MECHANICAL				<i>YAS</i>
JH/AHR	PIPING				<i>YAS</i>
	PIPELINE				<i>YAS</i>
				DATE:	
				CONTRACTOR APP'D	<i>YAS</i>

PROJECT TITLE : EPCI-1 : PHE-12, PHE-24, AND CPP2 PLATFORM AND PIPELINE	
 <b>PERTAMINA PHE WMO</b>	PHE-12 WELLHEAD PLATFORM CELLAR DECK PRIMARY FRAMING PLAN AT T.O.S. EL (+) 40'-0"
<b>CONSORTIUM</b>	
PT. TIMAS SULINDO	PT. GUNANUSA UTAMA FABRICATORS



CELLAR DECK SECONDARY FRAMING PLAN T.O.S EL. (+) 40'-0"

SCALE  $\frac{3}{16}$ " = 1'-0"  
(ALL MATERIAL MEMBER SHALL BE H250x125x6x9 U.N.O.)



SPECIFICATION : 1 = PHEWMO-C-SPE-0101 (REV.0)  
(SPEC.) 2 = -

TYPE CLASSIFICATION : I = TYPE I      III = TYPE III  
(TYPE)      II = TYPE II      IV = TYPE IV

APPROVED FOR CONSTRUCTION

This drawing and the design it covers are the property of PERTAMINA PHE WMO it is merely loaned on borrower's expressed agreement that it will not be transmitted, reproduced or disclosed to anyone or otherwise used except privately and then only in a manner stated in the written consent by the lender.

**NOTE**

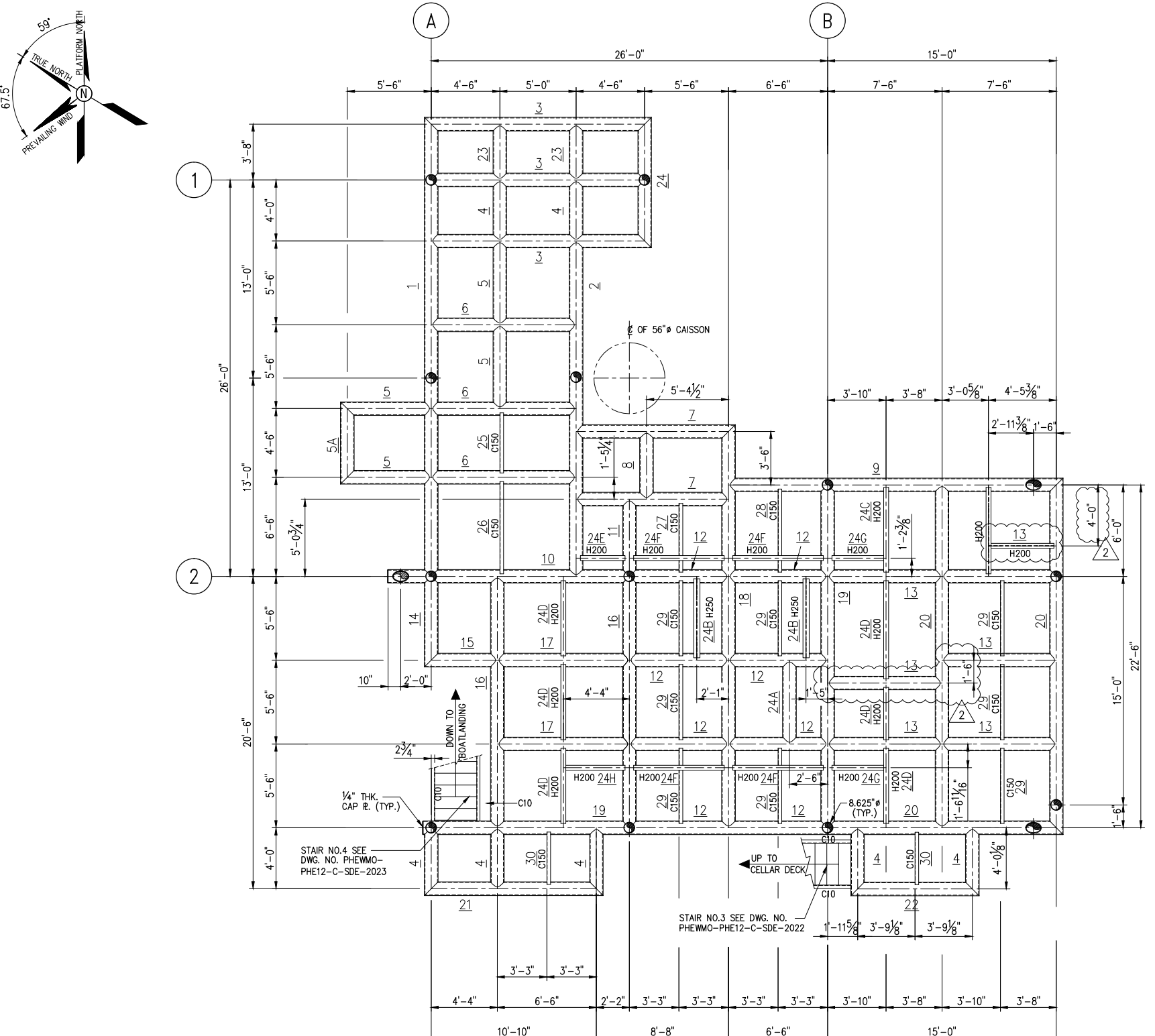
---

1. FOR GENERAL NOTES REFER TO DWG. NO. PHEWMO-PHE12-C-SDE-2000  
2. ALL DIMENSIONS ARE IN FEET AND INCH UNLESS NOTED OTHERWISE.  
3. ALL MEMBERS ARE TYPE-I UNLESS NOTED OTHERWISE.

CONTRACT NO. 189A/TS/OPS/13			
1	SGH	21-JAN-2016	RE-APPROVED FOR CONSTRUCTION
0	SGH	16-NOV-2015	APPROVED FOR CONSTRUCTION
B	BK	05-NOV-2015	ISSUED FOR APPROVAL
A	SGH	27-OCT-2015	ISSUED FOR REVIEW

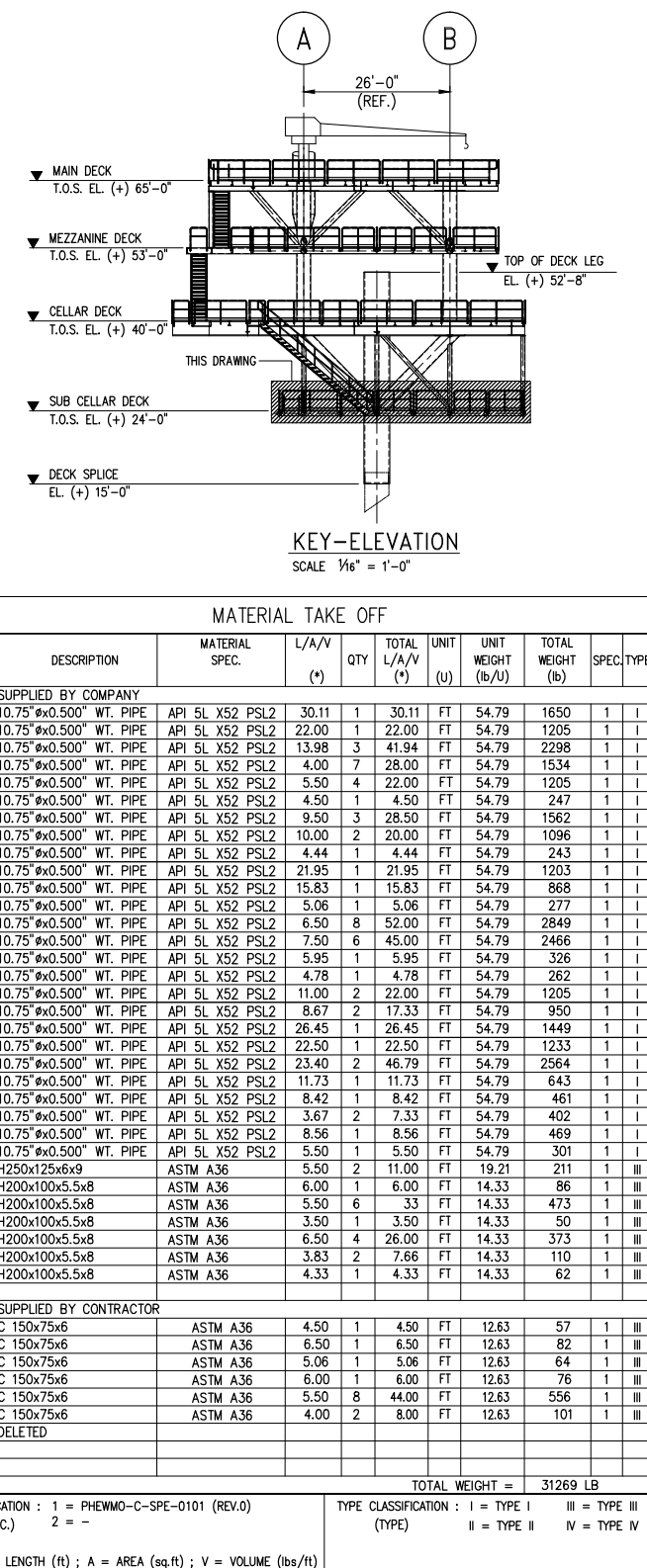
ENGINEERING APPROVAL		PHE WMO APP'D
	BY	DATE
PROCESS		<i>JL</i>
ELECTRICAL		
INSTRUMENT		
STRUCTURAL	<i>SAC-A</i>	<i>2/2/16</i>
MECHANICAL		DATE:
PIPEING		CONTRACTOR APP'D
Pipeline		<i>JL</i>
Process Safety		DATE: <i>2/2/2016</i>

PROJECT TITLE : EPCI-1 : PHE-12, PHE-24, AND CPP2 PLATFORM AND PIPELINE	
 <b>PERTAMINA PHE WMO</b>	PHE-12 WELLHEAD PLATFORM CELLAR DECK SECONDARY FRAMING PLAN AT T.O.S. EL (+) 40'-0"
<b>CONSORTIUM</b>	
PT. TIMAS SUPLINDO	PT. GUNANUSA UTAMA FABRICATORS

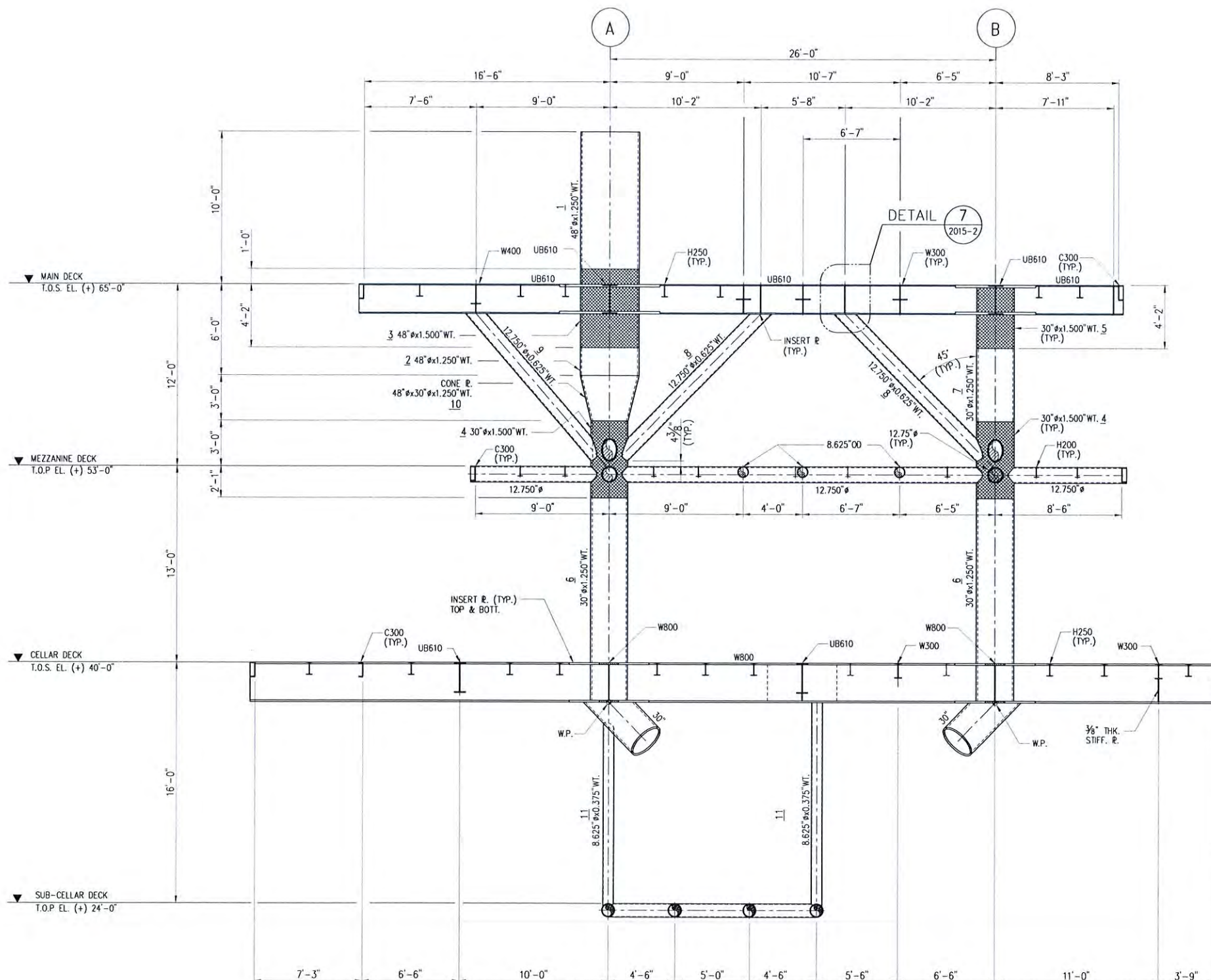


SUB CELLAR DECK FRAMING PLAN T.O.S EL. (+) 24'-0"

SCALE  $\frac{1}{4}$ " = 1'-0"  
(THIS ELEVATION TO BE TOP FLUSH)  
(ALL MATERIAL MEMBERS SHALL BE 10 750" O.D x 0 500" WT. I-UN 0)



This drawing and the design it covers are the property of PERTAMINA PHE WMO it is merely loaned on borrower's expressed agreement that it will not be transmitted, reproduced or disclosed to anyone or otherwise used except privately and then only in a manner stated in the written consent by the lender.		NOTE	CONTRACT NO. 189A/TS/OPS/13	REF. NO.	PROJECT TITLE : EPCI-1 : PHE-12, PHE-24, AND CPP2 PLATFORM AND PIPELINE
REVISIONS	1. FOR GENERAL NOTES REFER. TO DWG. NO. PHEWMO-PHE12-C-SDE-2000  2. ALL DIMENSIONS ARE IN FEET AND INCH UNLESS NOTED OTHERWISE.  3. ALL MEMBERS ARE TYPE-I UNLESS NOTED OTHERWISE.	2 JS 29-JAN-2016 RE-APPROVED FOR CONSTRUCTION	BS HSI/AW JH/AHR	ENGINEERING APPROVAL BY DATE	PHE WMO APP'D
	1 SCH 17-DEC-2015 RE-APPROVED FOR CONSTRUCTION	BS HSI/AW JH/AHR	PROCESS		
	0 SGH 16-NOV-2015 APPROVED FOR CONSTRUCTION	BS HSI/AW JH/AHR	ELECTRICAL		
	B BK 05-NOV-2015 ISSUED FOR APPROVAL	BS HSI/AW JH/AHR	INSTRUMENT	DATE:	
	A BK 27-OCT-2015 ISSUED FOR REVIEW	BS HSI/AW JH/AHR	STRUCTURAL	CONTRACTOR APP'D	
	REV BY DATE	DESCRIPTION	MECHANICAL		
		PRE'D CHK'D APP'D	PIPELINE		
			PROCESS SAFETY	DATE:	
PT. TIMAS SUPLINDO			PT. GUNANUSA UTAMA FABRICATORS		
SCALE 1/4"=1'-0"		DOCUMENT No PHEWMO-PHE12-C-SDE-2007	SHEET 1 OF 1	REV. 2	
<b>PERTAMINA PHE WMO</b>					
<b>PHE-12 WELLHEAD PLATFORM SUB CELLAR DECK FRAMING PLAN AT T.O.S EL. (+) 24'-0"</b>					



**APPROVED FOR CONSTRUCTION**

FRAMING ELEVATION ROW-1  
SCALE  $\frac{1}{4}$ " = 1'-0"

This drawing and the design it covers are the property of PERTAMINA PHE WMO. It is merely loaned on borrower's expressed agreement that it will not be transmitted, reproduced or disclosed to anyone or otherwise used except privately and then only in a manner stated in the written consent by the lender.

NOTE

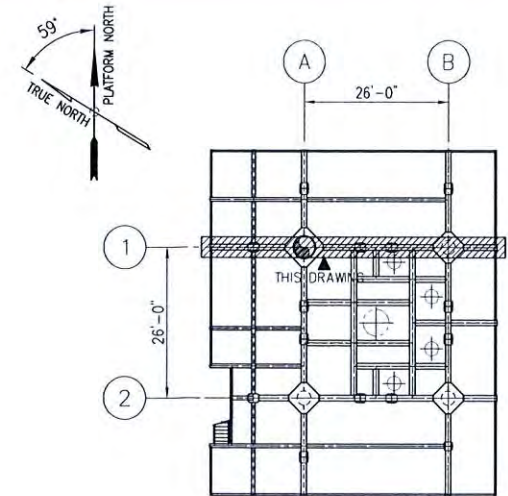
- FOR GENERAL NOTES REFER TO DWG. NO. PHEWMO-PHE12-C-SDE-2000
- ALL DIMENSIONS ARE IN FEET AND INCH UNLESS NOTED OTHERWISE.
- ALL MEMBERS ARE TYPE-I UNLESS NOTED OTHERWISE.
- MEMBERS MARKED WITH SHALL BE TYPE-II MATERIAL.

CONTRACT NO. 189A/TS/OPS/13

REVISIONS

REV	BY	DATE	DESCRIPTION	PRE'D	CHK'D	APP'D
0	SGH	16-NOV-2015	APPROVED FOR CONSTRUCTION	BS	HSA/W	JAH/HR
B	BK	05-NOV-2015	ISSUED FOR APPROVAL	BS	HSA/W	JAH/HR
A	BK	27-OCT-2015	ISSUED FOR REVIEW	BS	HSA/W	JAH/HR

REF. NO.			ENGINEERING APPROVAL			PHE WMO APP'D
			BY	DATE		
PROCESS						
ELECTRICAL						
INSTRUMENT						
STRUCTURAL						
MECHANICAL						
PIPELINE						
PROCESS SAFETY						



KEY-PLAN  
SCALE ~ N.T.S.

MATERIAL TAKE OFF										
MARK	DESCRIPTION	MATERIAL SPEC.	L/A/V	QTY	L/A/V	UNIT	UNIT WEIGHT (lb/u)	TOTAL WEIGHT (lb)	SPEC. TYPE	
SUPPLIED BY COMPANY										
1	48" x 1.250" WT. PIPE	API SL X52 PSL2	9.00	1	9.00	FT	624.71	5622	I I	
2	48" x 1.250" WT. PIPE	API SL X52 PSL2	1.83	1	1.83	FT	624.71	1143	I I	
3	48" x 1.250" WT. PIPE	API 2H Gr.50	5.17	1	5.17	FT	745.64	3855	I II	
4	30" x 1.500" WT. PIPE	API 2H Gr.50	5.08	2	10.16	FT	457.00	4643	I II	
5	30" x 1.500" WT. PIPE	API 2H Gr.50	4.17	1	4.17	FT	457.00	1906	I II	
6	30" x 1.250" WT. PIPE	API SL X52 PSL2	13.54	2	27.08	FT	384.18	10404	I I	
7	30" x 1.250" WT. PIPE	API SL X52 PSL2	4.83	1	4.83	FT	384.18	1856	I I	
8	12.750" x 0.625" WT. PIPE	API SL X52 PSL2	14.41	2	28.82	FT	81.01	2335	I I	
9	12.750" x 0.625" WT. PIPE	API SL X52 PSL2	13.70	1	13.70	FT	81.01	1110	I I	
10	CONE R 48" x 30" x 1.250" WT.	ASTM A572 Gr.50	3.00	1	3.00	FT	504.63	1514	I I	
11	8.625" x 0.375" WT. PIPE	API SL X52 PSL2	13.82	2	27.64	FT	33.07	914	I I	

SUB TOTAL WEIGHT = 35302 LB

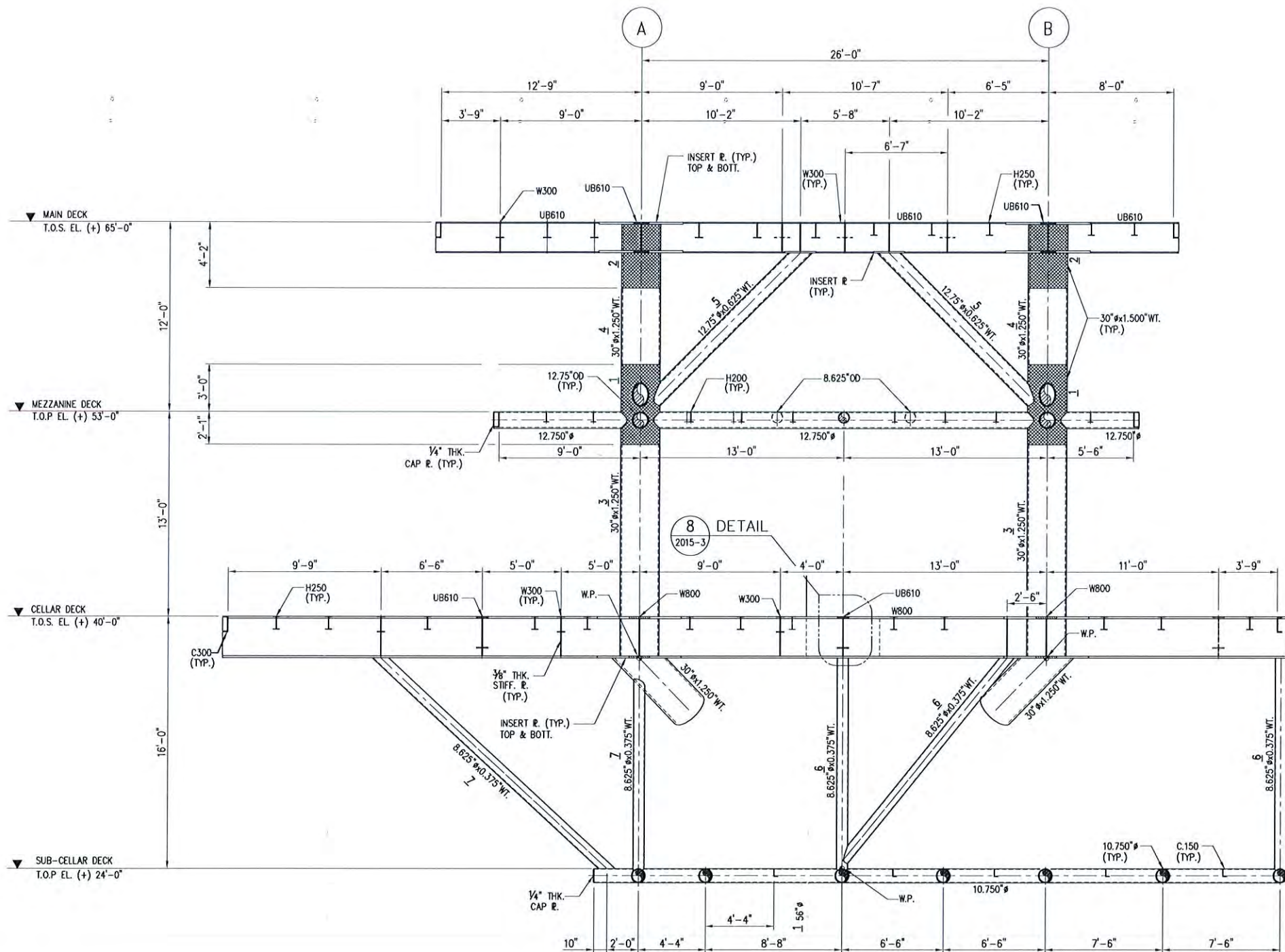
SPECIFICATION : 1 = PHEWMO-C-SPE-0101 (REV.0)  
(SPEC.) 2 = -

TYPE CLASSIFICATION : I = TYPE I III = TYPE III  
(TYPE) II = TYPE II IV = TYPE N

(\* L = LENGTH (ft); A = AREA (sq.ft); V = VOLUME (lbs/ft))

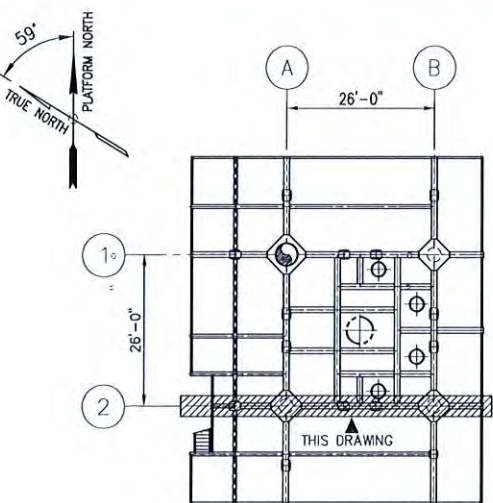


PROJECT TITLE : EPCI-1 : PHE-12, PHE-24, AND CPP2 PLATFORM AND PIPELINE			
PERTAMINA PHE WMO		PHE-12 WELLHEAD PLATFORM FRAMING ELEVATION ROW-1	
CONSORTIUM			
PT. TIMAS SUPINDO	PT. GUNANUSA UTAMA FABRICATORS	SCALE	DOCUMENT No
1/4"=1'-0"	PHEWMO-PHE12-C-SDE-2008	1 OF 1	0



FRAMING ELEVATION ROW-2

**APPROVED FOR CONSTRUCTION**



KEY-PLAN  
SCALE ~ N.T.S

## MATERIAL TAKE OFF



This drawing and the design it covers are the property of PERTAMINA PHE WMO it is merely loaned on borrower's expressed agreement that it will not be transmitted, reproduced or disclosed to anyone or otherwise used except privately and then only in a manner stated in the written consent by the lender.

**NOTE**

---

1. FOR GENERAL NOTES REFER. TO DWG. NO. PHEWMO-PHE12-C-SDE-2000
2. ALL DIMENSIONS ARE IN FEET AND INCH UNLESS NOTED OTHERWISE.
3. ALL MEMBERS ARE TYPE-I UNLESS NOTED OTHERWISE.
4. MEMBERS MARKED WITH SHALL BE TYPE-II MATERIAL.

	CONTRACT NO. 189A/TS/OPS/13			
REVISIONS				
	O	SCH	16-NOV-2015	APPROVED FOR CONSTRUCTION
	B	SCH	05-NOV-2015	ISSUED FOR APPROVAL
	A	SCH	27-OCT-2015	ISSUED FOR REVIEW
REV	BY	DATE	DESCRIPTION	P

		REF. NO.
		ENGINEERING APPROVAL
	PROCESS	BY
	ELECTRICAL	DATE
	INSTRUMENT	
	STRUCTURAL	
	MECHANICAL	
	PIPING	
	PIPELINE	
D APP'DO	PROCESS SAFETY	

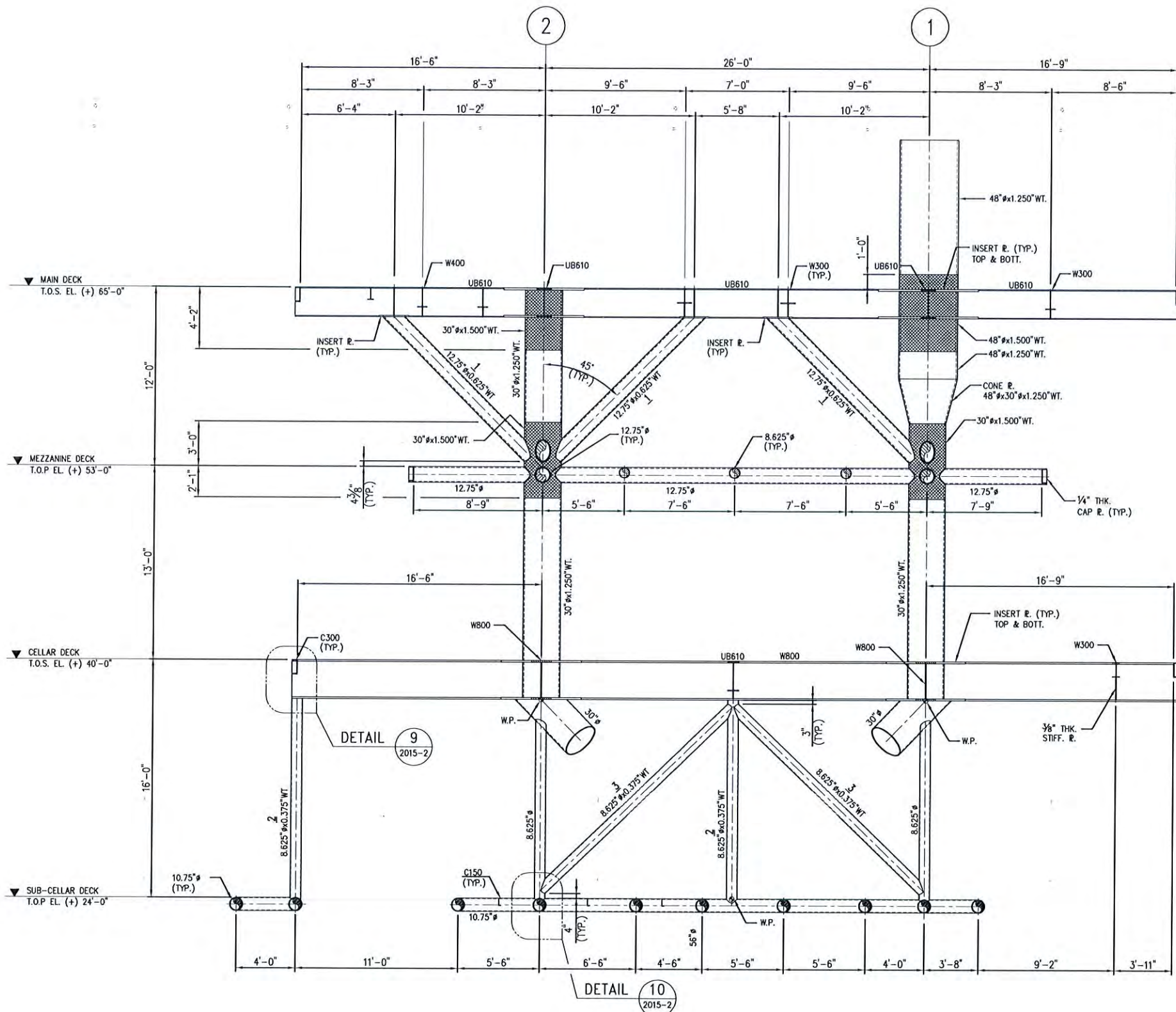
PROJECT TITLE : EPCI-1 : PHE-12, PHE-24, AND CPP2 PLATFORM AND PIPELINE

 PERTAMINA  
PHE WMO

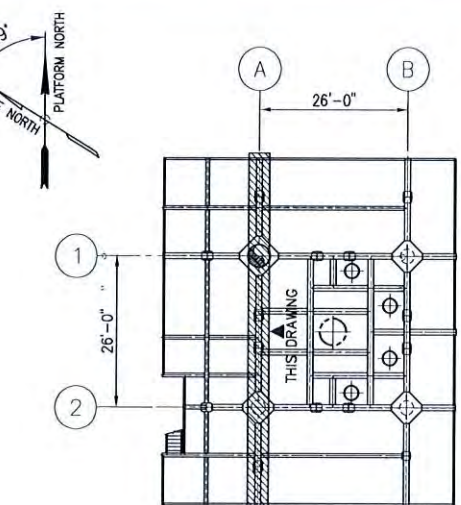
D CONSORTIUM

PHE-12 WELLHEAD PLATFORM  
FRAMING ELEVATION ROW-2

CONSORTIUM		SCALE	DOCUMENT No	SHEET		REV.
PT. TIMAS SURINDO	PT. GUNAWANSA UTAMA FABRICATORS	¼"=1'-0"	PHEWMO-PHE12-C-SDE-2009	1	OF	1



APPROVED FOR CONSTRUCTION



KEY-PLAN  
SCALE ~ N.T.S.

MATERIAL TAKE OFF										
MARK	DESCRIPTION	MATERIAL SPEC.	L/A/V (*)	QTY	TOTAL L/A/V (*)	UNIT	UNIT WEIGHT (lb/u)	UNIT WEIGHT (lb/u)	TOTAL WEIGHT (lb)	SPEC. TYPE
<b>SUPPLIED BY COMPANY</b>										
1	12.75" x 0.625" WT. PIPE	API 5L X52 PSL2	14.38	3	43.14	FT	81.01	3495	1	I
2	8.625" x 0.375" WT. PIPE	API 5L X52 PSL2	13.38	2	26.76	FT	33.07	885		
3	8.625" x 0.375" WT. PIPE	API 5L X52 PSL2	18.03	2	36.06	FT	33.07	1193	1	I
<b>SUB TOTAL WEIGHT = 5573 LB</b>										
SPECIFICATION : 1 = PHEWMO-C-SPE-0101 (REV.0) (SPEC.) 2 = -										
TYPE CLASSIFICATION : I = TYPE I III = TYPE III (TYPE) II = TYPE II IV = TYPE IV										

(\* L = LENGTH (ft); A = AREA (sq.ft); V = VOLUME (lbs/ft))

17 NOV 2015

FRAMING ELEVATION ROW-A  
SCALE 1/4" = 1'-0"

This drawing and the design it covers are the property of PERTAMINA PHE WMO. It is merely loaned on borrower's expressed agreement that it will not be transmitted, reproduced or disclosed to anyone or otherwise used except privately and then only in a manner stated in the written consent by the lender.

NOTE

- FOR GENERAL NOTES REFER TO DWG. NO. PHEWMO-PHE12-C-SDE-2000
- ALL DIMENSIONS ARE IN FEET AND INCH UNLESS NOTED OTHERWISE.
- ALL MEMBERS ARE TYPE-I UNLESS NOTED OTHERWISE.
- MEMBERS MARKED WITH SHALL BE TYPE-II MATERIAL.

CONTRACT NO. 189A/TS/OPS/13

REVISIONS		REV	BY	DATE	DESCRIPTION	PRED	CHK'D	APP'D	PROCESS SAFETY
0	SGH	16-NOV-2015	APPROVED FOR CONSTRUCTION	BS	JH/AW	16/11/15			
B	BK	05-NOV-2015	ISSUED FOR APPROVAL	BS	HS/AW	JH/AHR			
A	SGH	27-OCT-2015	ISSUED FOR REVIEW	BS	HS/AW	JH/AHR			

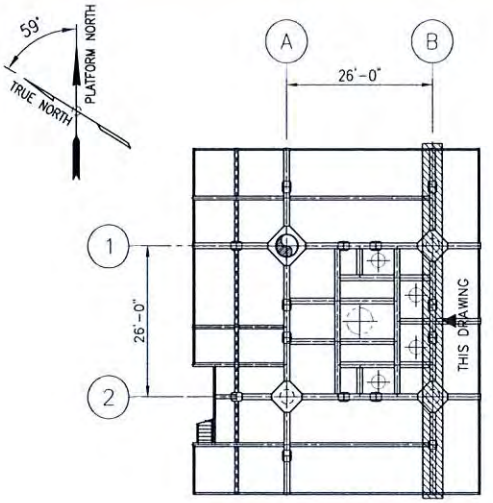
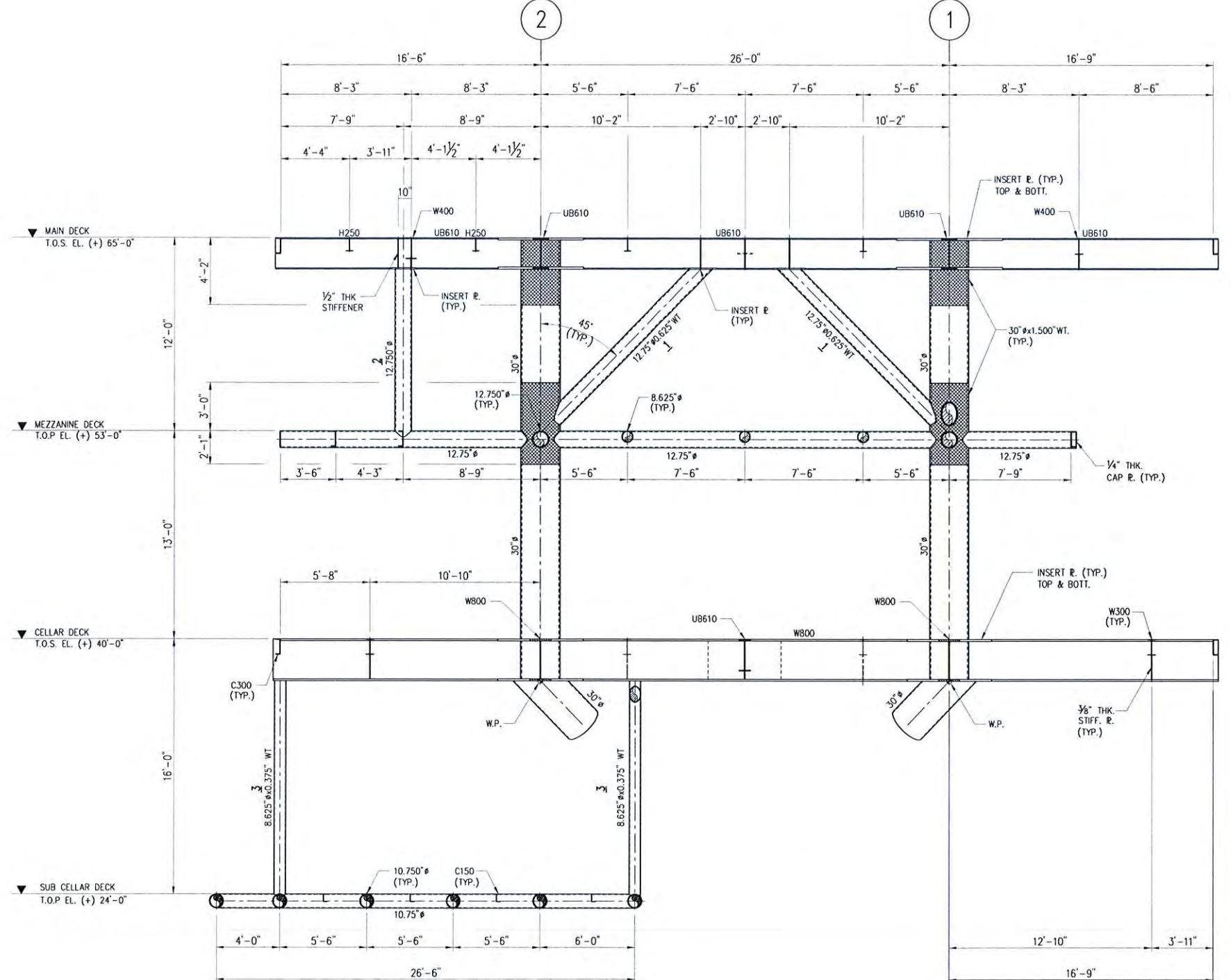
REF. NO.

ENGINEERING APPROVAL			PHE WMO APP'D
BY	DATE		
PROCESS			
ELECTRICAL			
INSTRUMENT			
STRUCTURAL			
MECHANICAL			
PIPELINE			
PIPELINE			

PROJECT TITLE : EPCI-1 : PHE-12, PHE-24, AND CPP2 PLATFORM AND PIPELINE

 <b>PERTAMINA PHE WMO</b> CONSORTIUM PT. TIMAS SUPINDO   PT. GUNARUSA UTAMA FABRICATORS	PHE-12 WELLHEAD PLATFORM FRAMING ELEVATION ROW-A		
	SCALE	DOCUMENT No	SHEET REV.

1/4"=1'-0" PHEWMO-PHE12-C-SDE-2010 1 OF 1 0



KEY-PLAN  
SCALE ~ N.T.S

MATERIAL TAKE OFF										
MARK	DESCRIPTION	MATERIAL SPEC.	L/A/V	QTY	L/A/V	UNIT	UNIT WEIGHT (lb/u)	TOTAL WEIGHT (lb)	SPEC. TYPE	
SUPPLIED BY COMPANY										
1	12.750" x 0.625" WT. PIPE	API SL X52 PSL2	14.41	2	28.82	FT	81.01	2335	I	I
2	12.750" x 0.625" WT. PIPE	API SL X52 PSL2	10.68	1	10.68	FT	81.01	865	I	I
3	8.625" x 0.375" WT. PIPE	API SL X52 PSL2	13.38	2	26.76	FT	33.07	885	I	I
SUB TOTAL WEIGHT = 4085 LB										
SPECIFICATION : 1 = PHEWMO-C-SPE-0101 (REV.0) (SPEC.) 2 = -		TYPE CLASSIFICATION : I = TYPE I III = TYPE III (TYPE) II = TYPE II IV = TYPE IV								
(*) L = LENGTH (ft); A = AREA (sq.ft); V = VOLUME (lbs/ft)										

FRAMING ELEVATION ROW-B  
SCALE 1/4" = 1'-0"

APPROVED FOR CONSTRUCTION

This drawing and the design it covers are the property of PERTAMINA PHE WMO. It is merely loaned on borrower's expressed agreement that it will not be transmitted, reproduced or disclosed to anyone or otherwise used except privately and then only in a manner stated in the written consent by the lender.

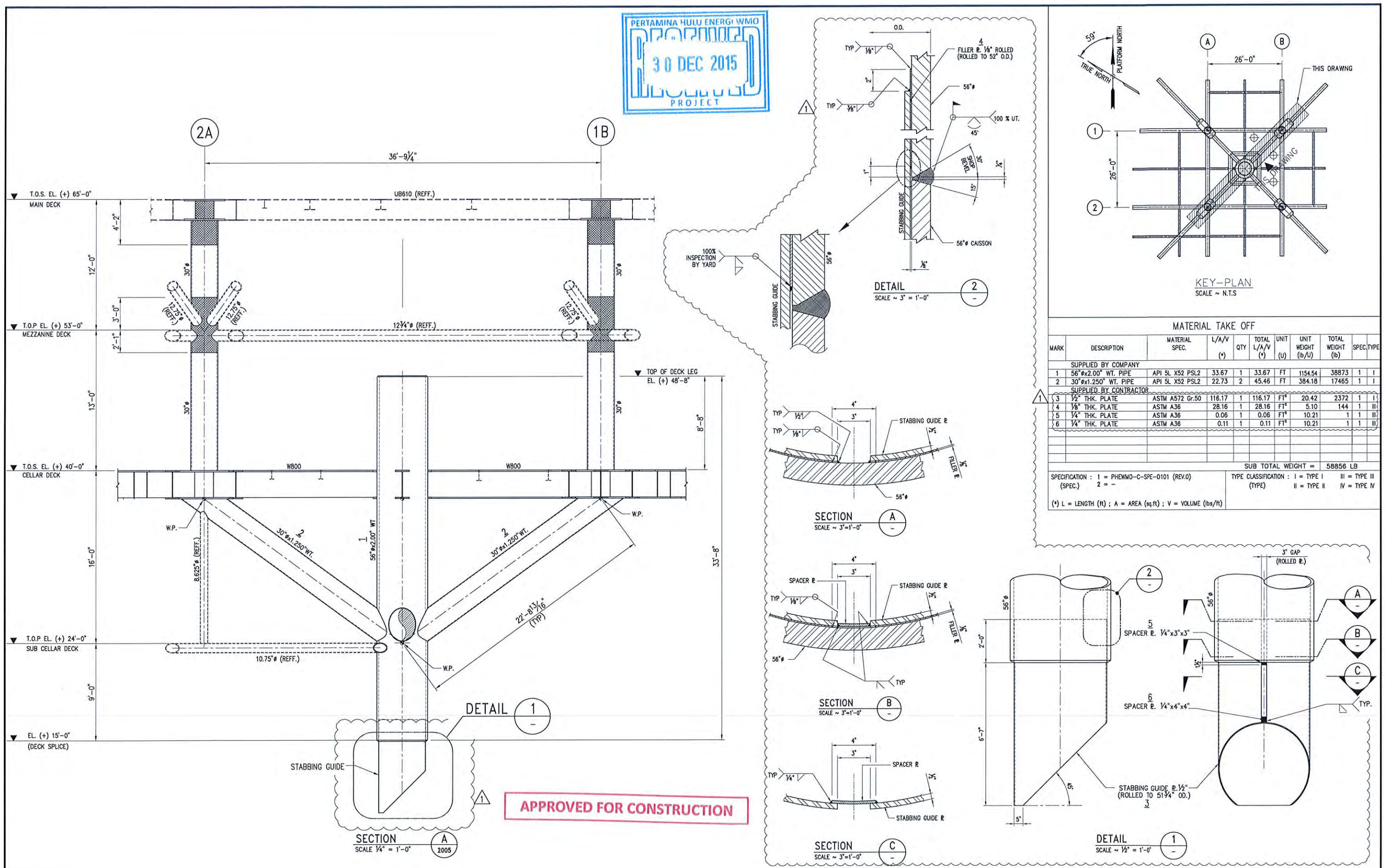
NOTE

CONTRACT NO. 189A/TS/OPS/13

REVISIONS			REF. NO.			PROJECT TITLE :			
REV.	BY	DATE	CONTRACTOR APP'D	PROCESS	ELECTRICAL	STRUCTURAL	MECHANICAL	PIPELINE	PROCESS SAFETY
0	SCH	16-NOV-2015	APPROVED FOR CONSTRUCTION	BS	HSI/AW	JH/AHR	INSTRUMENT	DETAILED	NOTES
B	SCH	05-NOV-2015	ISSUED FOR APPROVAL	BS	HSI/AW	JH/AHR	MECHANICAL	CONTRACTOR APP'D	DATE:
A	SCH	27-OCT-2015	ISSUED FOR REVIEW	BS	HSI/AW	JH/AHR	PIPELINE	DETAILED	NOTES
REV.	BY	DATE	DESCRIPTION	PRE'D	CHK'D	APP'D	PROCESS SAFETY	DATE:	

PROJECT TITLE :	PERTAMINA PHE WMO			PHE-12 WELLHEAD PLATFORM FRAMING ELEVATION ROW-B		
CONSORTIUM	PT. TIMAS SUPINDO	PT. GUNAUSA UTAMA FABRICATORS	SCALE	DOCUMENT No	SHEET	REV.
			1/4"=1'-0"	PHEWMO-PHE12-C-SDE-2011	1 OF	1 0

17 NOV 2015



This drawing and the design it covers are the property of PERTAMINA PHE WMO. It is merely loaned on borrower's expressed agreement that it will not be transmitted, reproduced or disclosed to anyone or otherwise used except privately and then only in a manner stated in the written consent by the lender.

NOTE

- FOR GENERAL NOTES REFER. TO DWG. NO. PHEWMO-PHE12-C-SDE-2000
- ALL DIMENSIONS ARE IN FEET AND INCH UNLESS NOTED OTHERWISE.
- ALL MEMBERS ARE TYPE-I UNLESS NOTED OTHERWISE.
- MEMBERS MARKED WITH SHALL BE TYPE-II MATERIAL.

CONTRACT NO. 189A/TS/OPS/13

REVISIONS	REV	BY	DATE	DESCRIPTION	PRE'D	CHK'D	APP'D	PROCESS SAFETY
1	SGH	29-DEC-2015	RE APPROVED FOR CONSTRUCTION	BS	HSI/AW	JH/AHR		
0	SGH	16-NOV-2015	APPROVED FOR CONSTRUCTION	BS	HSI/AW	JH/AHR		
B	BK	05-NOV-2015	ISSUED FOR APPROVAL	BS	HSI/AW	JH/AHR		
A	BK	27-OCT-2015	ISSUED FOR REVIEW	BS	HSI/AW	JH/AHR		

REF. NO.

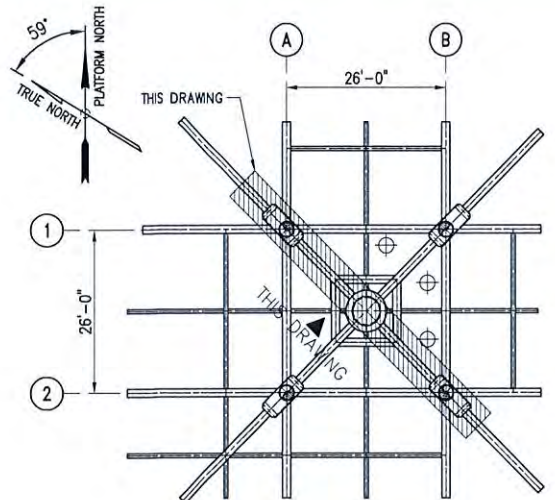
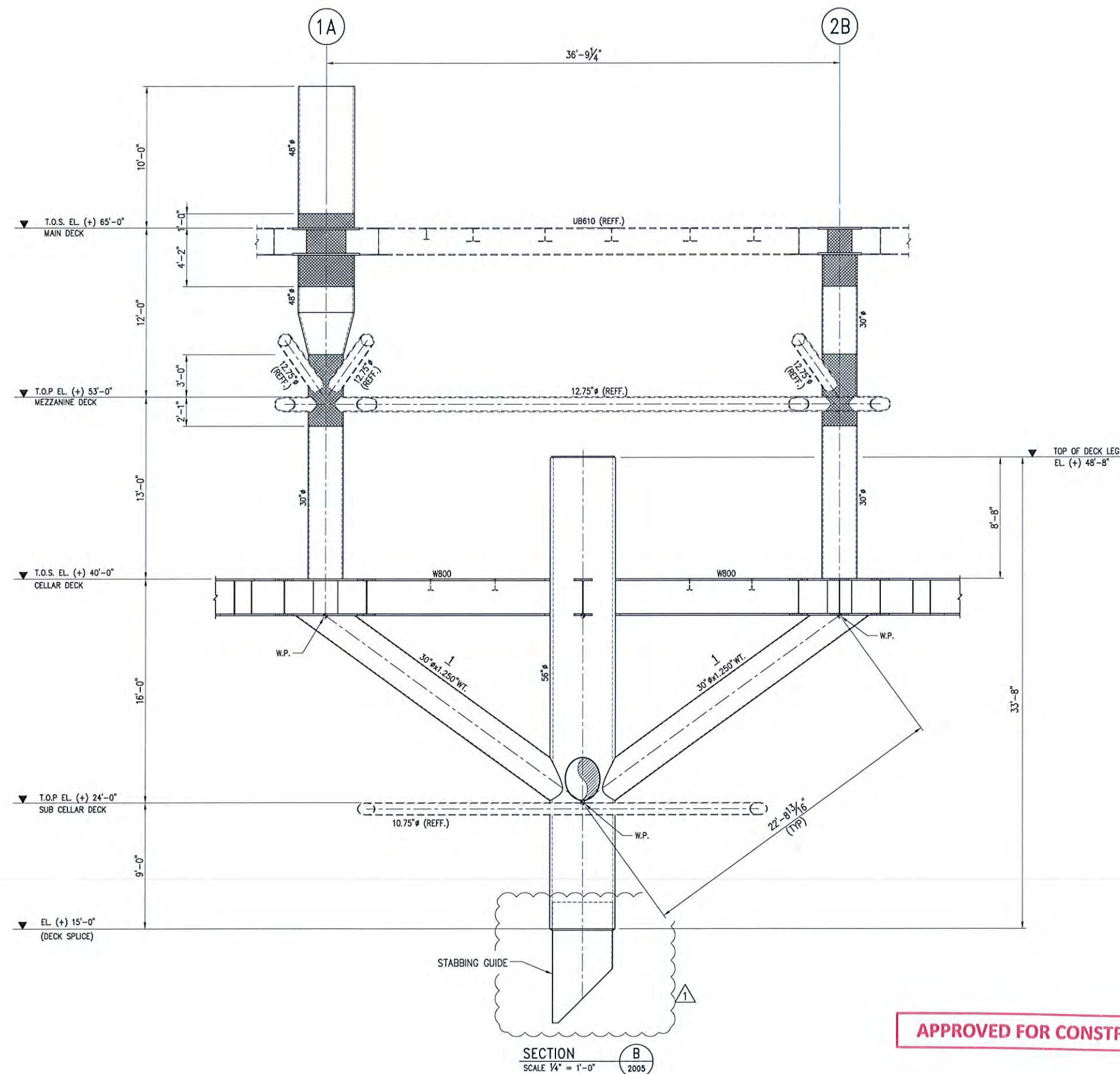
ENGINEERING APPROVAL			PHE WMO APP'D
PROCESS	BY	DATE	
ELECTRICAL			
INSTRUMENT			
STRUCTURAL			
MECHANICAL			
PIPELINE			
PIPELINE			
PROCESS SAFETY			

PROJECT TITLE : EPCI-1 : PHE-12, PHE-24, AND CPP2 PLATFORM AND PIPELINE

**PERTAMINA  
PHE WMO**  
**CONSORTIUM**  
PT. TIMAS SUPLINDO PT. GUNANUSA UTAMA  
FABRICATORS

PHE-12 WELLHEAD PLATFORM  
FRAMING ELEVATION SECTION-A

SCALE DOCUMENT No SHEET REV.  
1/4"=1'-0" PHEWMO-PHE12-C-SDE-2012 1 OF 1 1



MATERIAL TAKE OFF									
MARK	DESCRIPTION	MATERIAL SPEC.	L/A/V (*)	QTY	TOTAL L/A/V (*)	UNIT (U)	UNIT WEIGHT (lb./ft.)	TOTAL WEIGHT (lb.)	SPEC. TYPE
SUPPLIED BY COMPANY									
1	30"x1.250 WT. PIPE	API 5L X52 PSL2	22.73	2	45.46	FT	384.18	17465	1 I
SUB TOTAL WEIGHT = 17465 LB									
SPECIFICATION : 1 = PHEWMO-C-SPE-0101 (REV.0) (SPEC.) 2 = -					TYPE CLASSIFICATION : I = TYPE I III = TYPE III (TYPE) II = TYPE II IV = TYPE IV				
(*) L = LENGTH (ft); A = AREA (sq.ft); V = VOLUME (bs/ft)									



APPROVED FOR CONSTRUCTION

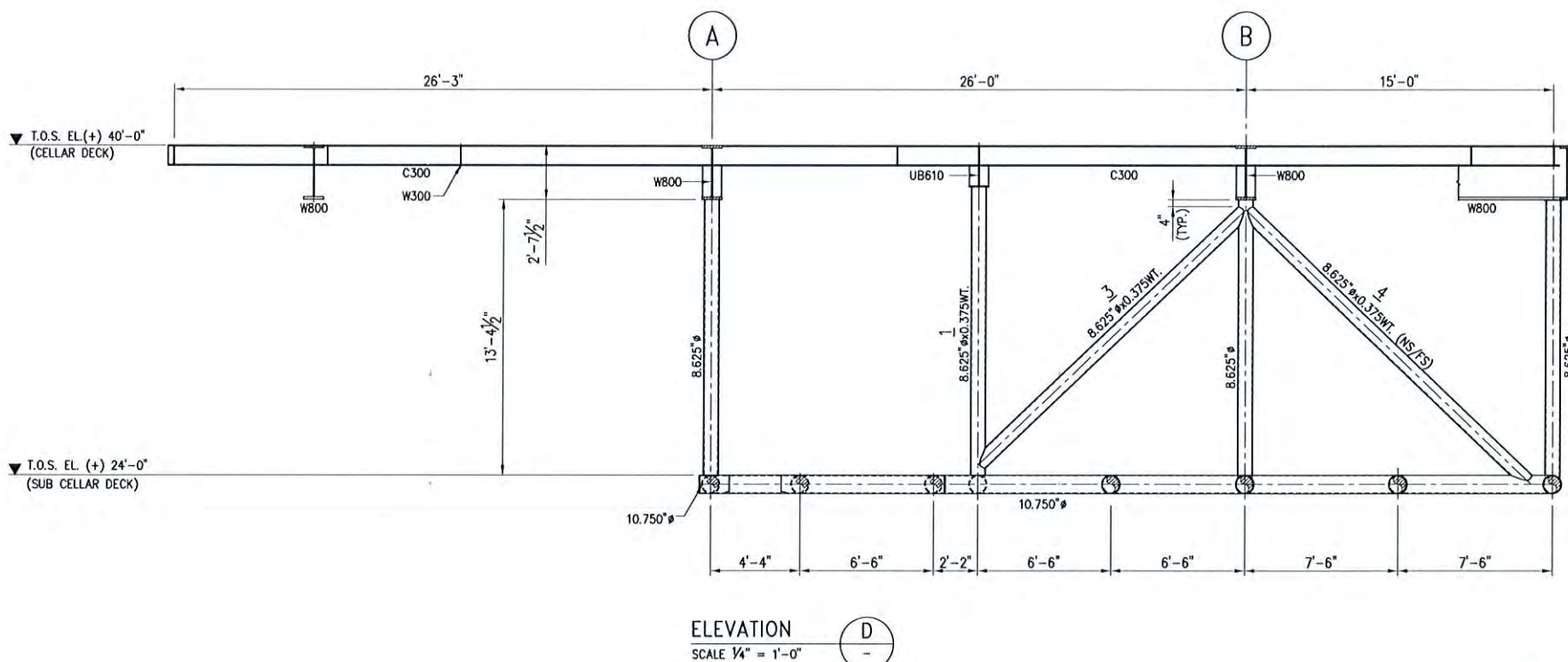
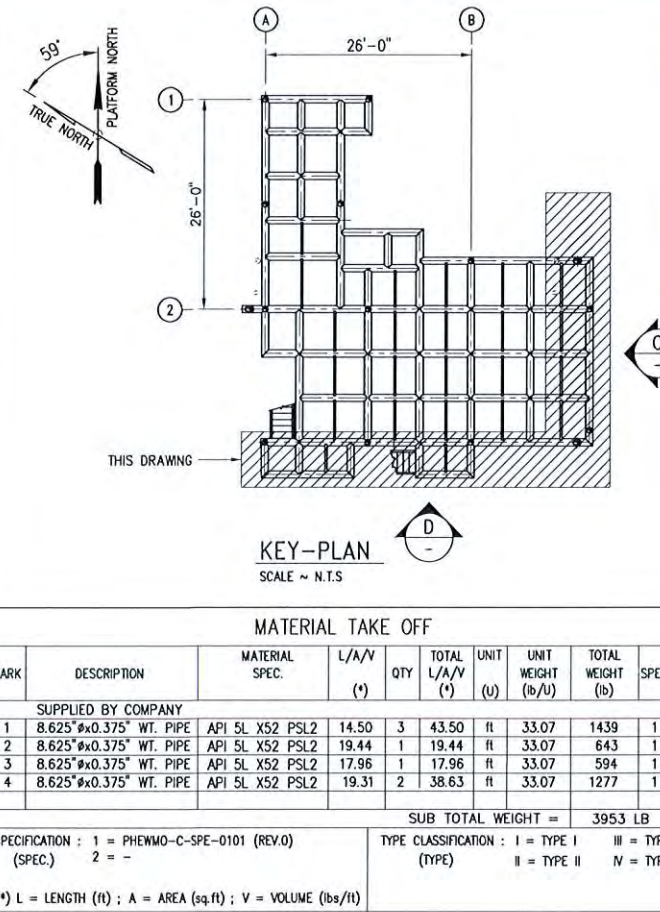
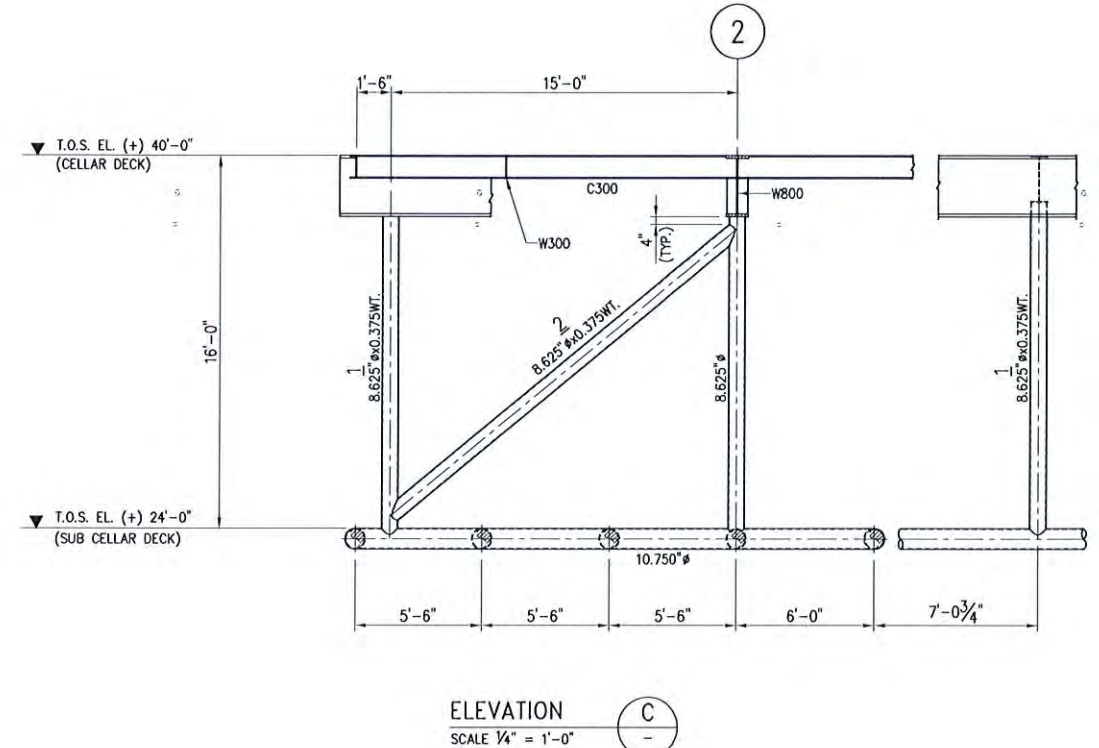
This drawing and the design it covers are the property of PERTAMINA PHE WMO. It is merely loaned on borrower's expressed agreement that it will not be transmitted, reproduced or disclosed to anyone or otherwise used except privately and then only in a manner stated in the written consent by the lender.

NOTE  
1. FOR GENERAL NOTES REFER TO DWG. NO. PHEWMO-PHE12-C-SDE-2000  
2. ALL DIMENSIONS ARE IN FEET AND INCH UNLESS NOTED OTHERWISE.  
3. ALL MEMBERS ARE TYPE-I UNLESS NOTED OTHERWISE.  
4. MEMBERS MARKED WITH █ SHALL BE TYPE-II MATERIAL.

CONTRACT NO. 189A/TS/OPS/13

REVISIONS	REV	BY	DATE	DESCRIPTION	PRE'D	CHK'D	APP'D	REF. NO.		
								PROCESS	ELECTRICAL	PHE WMO APP'D
1	SCH	29-DEC-2015	RE APPROVED FOR CONSTRUCTION	BS	HS/AW	JH/AHR				
0	SCH	16-NOV-2015	APPROVED FOR CONSTRUCTION	BS	HS/AW	JH/AHR		INSTRUMENT		
B	SCH	05-NOV-2015	ISSUED FOR APPROVAL	BS	HS/AW	JH/AHR		STRUCTURAL		
A	BK	27-OCT-2015	ISSUED FOR REVIEW	BS	HS/AW	JH/AHR		MECHANICAL		
								PIPELINE		
								PIPELINE		
								PROCESS SAFETY		

PROJECT TITLE : EPCI-1 : PHE-12, PHE-24, AND CPP2 PLATFORM AND PIPELINE		PERTAMINA PHE WMO		PHE-12 WELLHEAD PLATFORM FRAMING ELEVATION SECTION-B	
CONSORTIUM		PT. TIMAS SUPILINDO PT. GUNANUSA UTAMA FABRICATORS		SCALE DOCUMENT No SHEET REV.	
1/4"=1'-0"		PHEWMO-PHE12-C-SDE-2013		1 OF 1 1	



APPROVED FOR CONSTRUCTION

This drawing and the design it covers are the property of PERTAMINA PHE WMO. It is merely loaned on borrower's expressed agreement that it will not be transmitted, reproduced or disclosed to anyone or otherwise used except privately and then only in a manner stated in the written consent by the lender.

NOTE		CONTRACT NO.		REF. NO.	
		189A/TS/OPS/13			
				ENGINEERING APPROVAL	PHE WMO APP'D
				BY	DATE
O	SGH	16-NOV-2015	APPROVED FOR CONSTRUCTION	BS	HS/AW JH/AHR
B	BK	05-NOV-2015	ISSUED FOR APPROVAL	BS	HS/AW JH/AHR
A	BK	27-OCT-2015	ISSUED FOR REVIEW	BS	HS/AW JH/AHR
REV	BY	DATE	DESCRIPTION	PRE'D	CHK'D APP'D

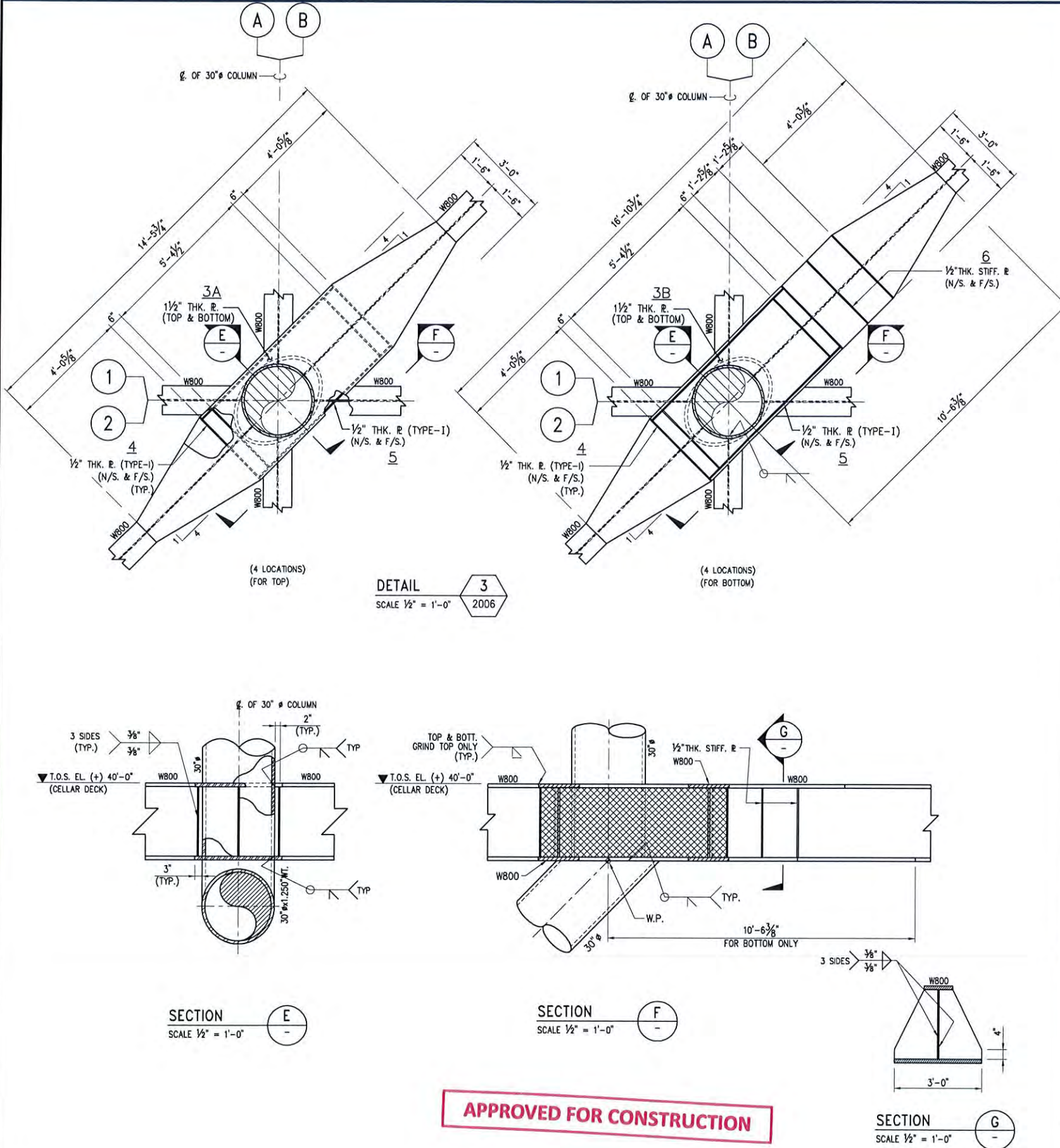
REVISIONS		PROJECT TITLE :	
		EPCI-1 : PHE-12, PHE-24, AND CPP2 PLATFORM AND PIPELINE	
		PHE-12 WELLHEAD PLATFORM	
		SUB CELLAR FRAMING ELEVATION	
		SECTION-C & D	
REV	BY	DATE	DOCUMENT No.
			SCALE
			1/4"=1'-0"
			PT.GUNANUSA UTAMA FABRICATORS
			PHEWMO-PHE12-C-SDE-2014
			1 OF 1 0



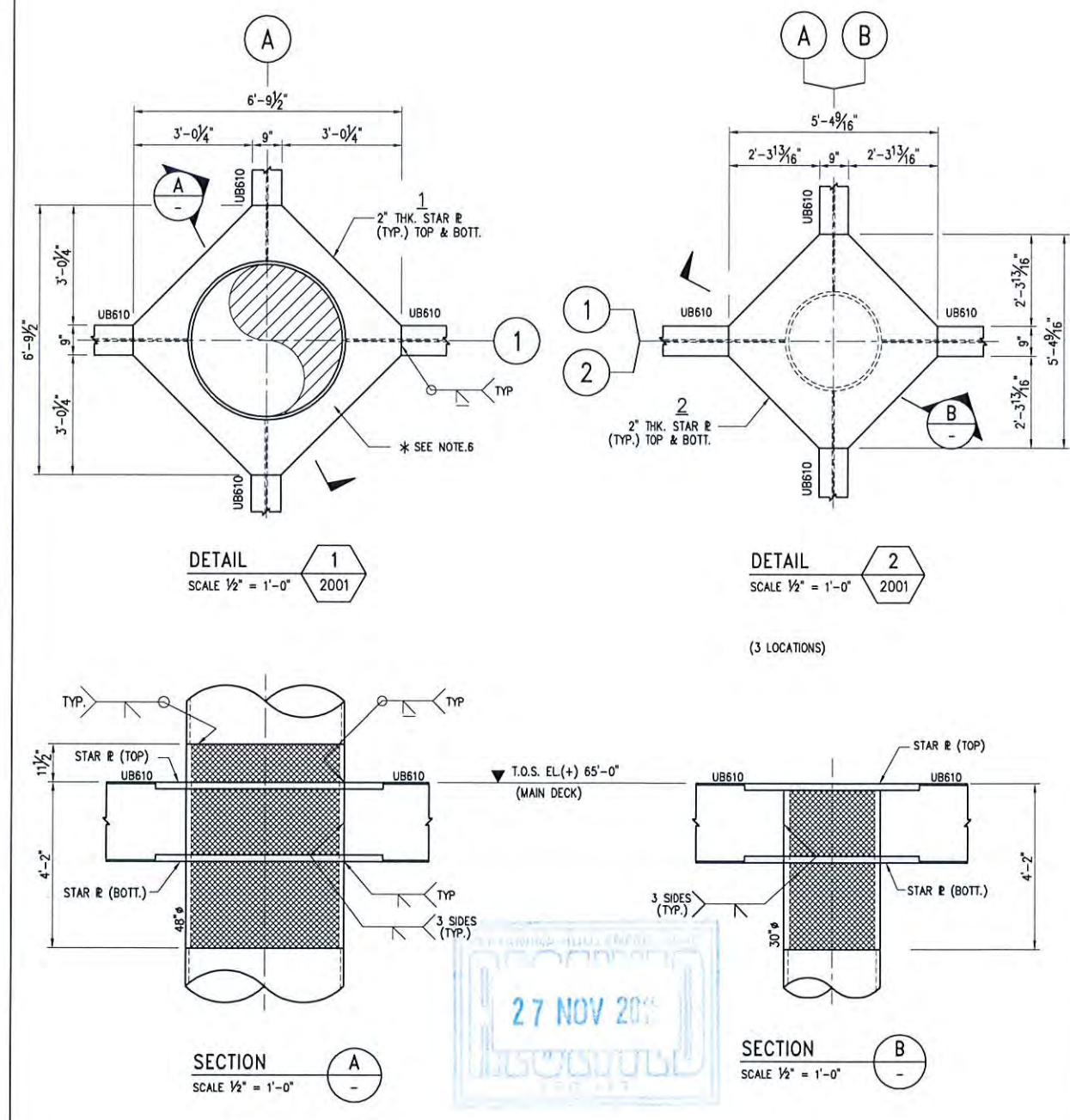
CONSORTIUM

PT.TIMAS SUPINDO PT.GUNANUSA UTAMA

17 NOV 2015



MATERIAL TAKE OFF									
MARK	DESCRIPTION	MATERIAL SPEC.	L/A/V (*)	QTY	TOTAL L/A/V (*)	UNIT	UNIT WEIGHT (lb/u)	TOTAL WEIGHT (lb)	SPEC. TYPE
SUPPLIED BY COMPANY									
1	2" THK. PLATE	ASTM A572 Gr.50	30.25	2	60.50	FT <sup>3</sup>	81.67	4941	I II
2	2" THK. PLATE	ASTM A572 Gr.50	20.25	8	162.00	FT <sup>3</sup>	81.67	13231	I II
3A	1 1/2" THK. PLATE	ASTM A572 Gr.50	43.44	4	173.76	FT <sup>3</sup>	61.25	10643	I I
3B	1 1/2" THK. PLATE	ASTM A572 Gr.50	50.69	4	202.76	FT <sup>3</sup>	61.25	12419	I I
SUPPLIED BY CONTRACTOR									
4	1/2" THK. PLATE	ASTM A36	7.17	16	114.72	FT <sup>3</sup>	20.42	2343	I III
5	1/2" THK. PLATE	ASTM A36	15.34	8	122.72	FT <sup>3</sup>	20.42	2506	I III
6	1/2" THK. PLATE	ASTM A36	3.51	16	56.16	FT <sup>3</sup>	20.42	1147	I III
SUB TOTAL WEIGHT = 47230 LB									
SPECIFICATION : 1 = PHEMO-C-SPE-0101 (REV.0) (SPEC.) 2 = - TYPE CLASSIFICATION : I = TYPE I III = TYPE III (TYPE) II = TYPE II IV = TYPE IV									
(*) L = LENGTH (ft) ; A = AREA (sq.ft) ; V = VOLUME (lbs/ft)									



This drawing and the design it covers are the property of PERTAMINA PHE WMO. It is merely loaned to borrower's expressed agreement that it will not be transmitted, reproduced or disclosed to anyone or otherwise used except privately and only in a manner stated in the written consent by the lender.

#### NOTE

- FOR GENERAL NOTES REFER TO DWG. NO. PHEMO-PHE12-C-SDE-2000
- ALL DIMENSIONS ARE IN FEET AND INCH UNLESS NOTED OTHERWISE.
- ALL MEMBERS ARE TYPE-I UNLESS NOTED OTHERWISE.
- MEMBERS MARKED WITH SHALL BE TYPE-II MATERIAL.
- FOR TYPICAL WELDING DETAILS REFER TO DWG. NO. PHEMO-PHE12-C-GEN-2005
- PADEYE LOCATION AND DETAILS WILL BE SHOWN IN PADEYE DRAWINGS.

CONTRACT NO. 189A/TS/OPS/13

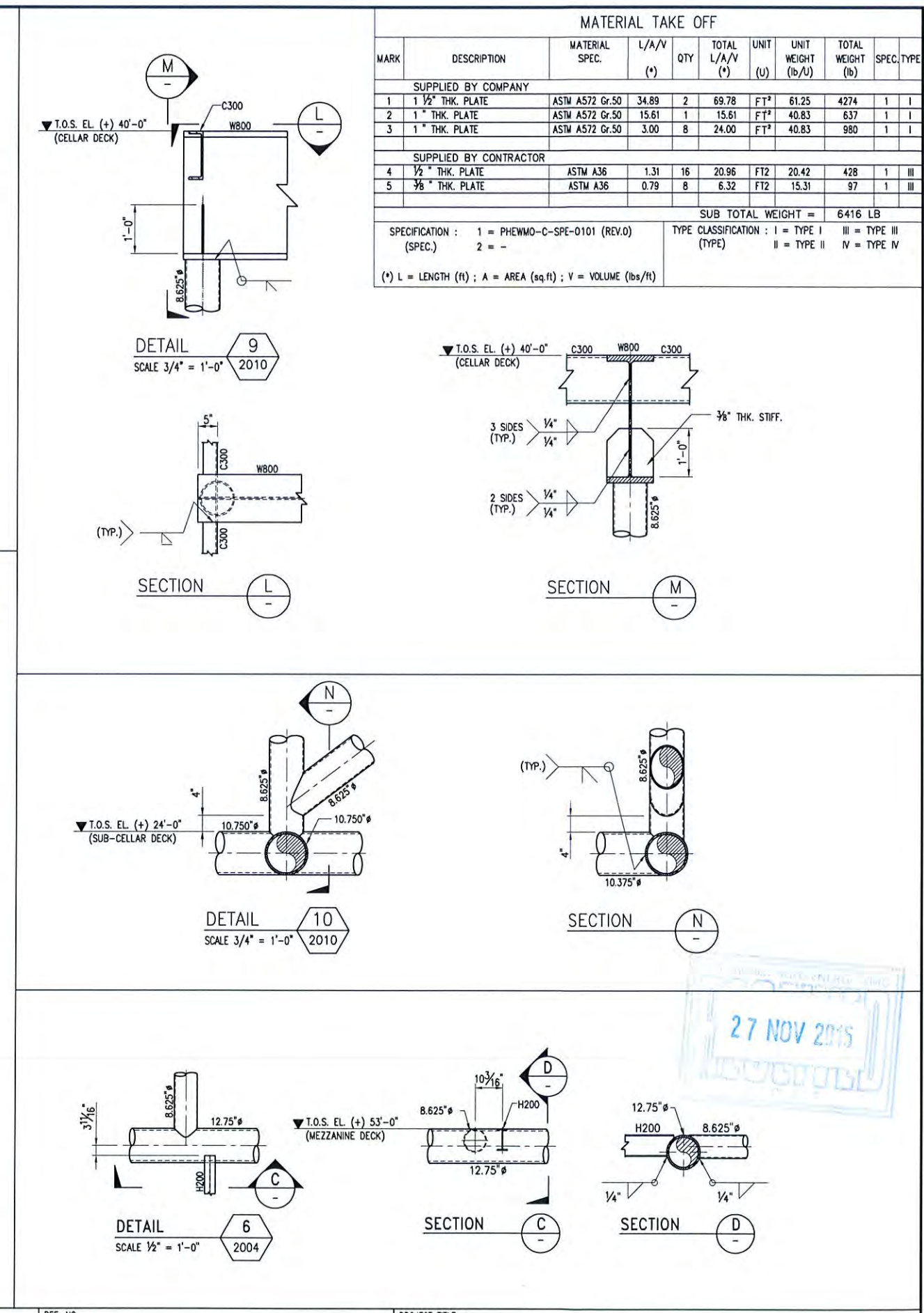
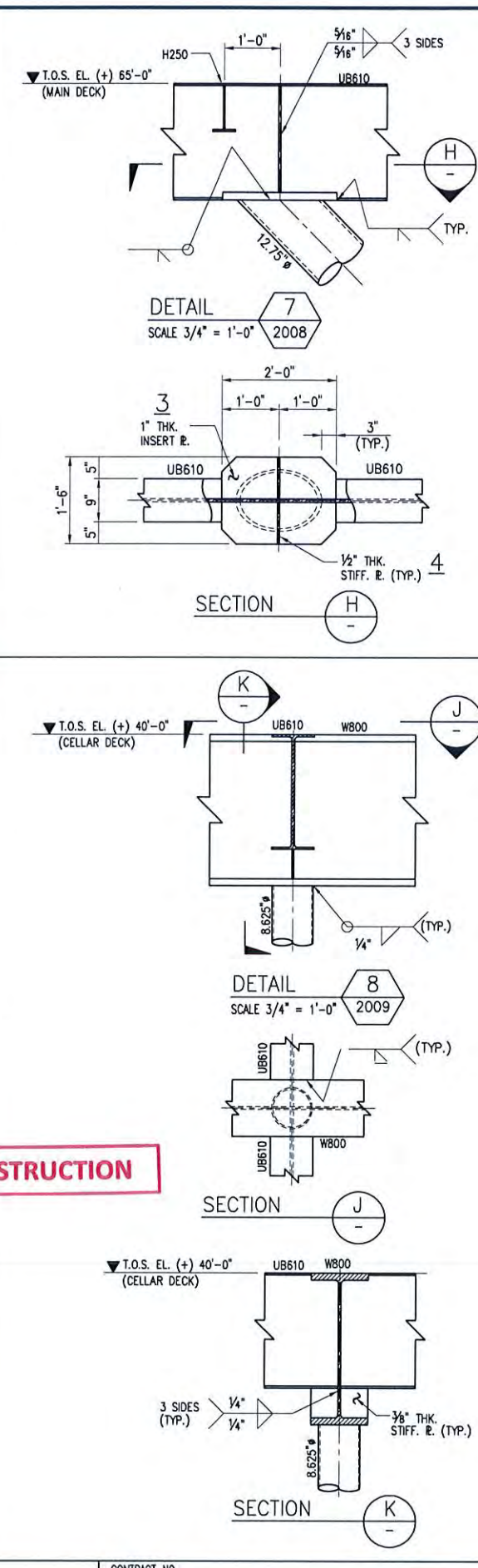
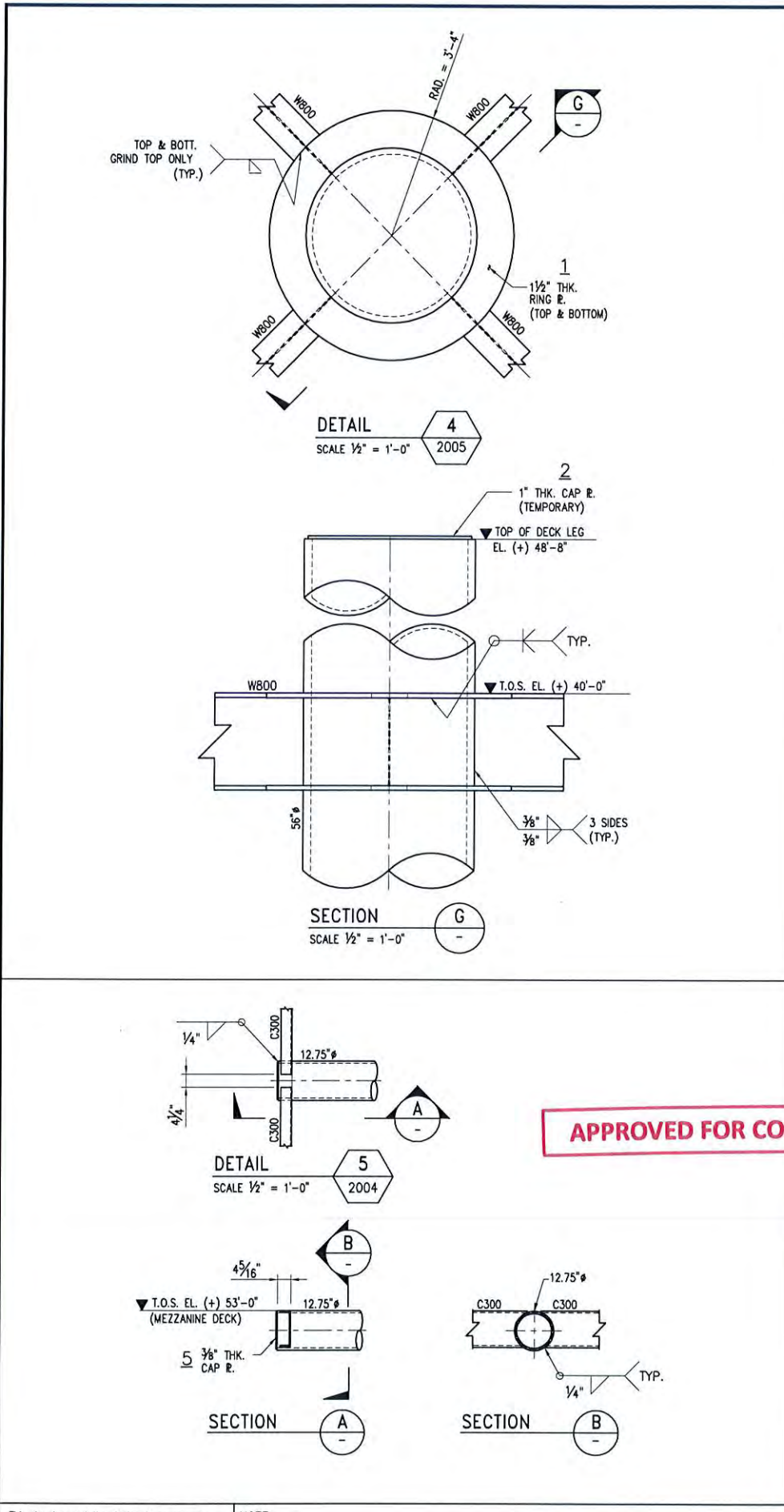
REVISIONS  
REV BY DATE  
0 BK 26-NOV-2015  
B SGH 16-NOV-2015  
A SGH 04-NOV-2015

REF. NO.

ENGINEERING APPROVAL			PHE MO APP'D
PROCESS	BY	DATE	
ELECTRICAL			
INSTRUMENT			
STRUCTURAL			
MECHANICAL			
PIPELINE			
PIPELINE			
PROCESS SAFETY			

PROJECT TITLE : EPCI-1 : PHE-12, PHE-24, AND CPP2 PLATFORM AND PIPELINE  
PHE-12 WELLHEAD PLATFORM  
DECK JOINT CONNECTION  
DETAILS  
PT. TIMAS SUPINDO PT. GUNANUSA UTAMA  
FABRICATORS

SCALE  
AS SHOWN  
DOCUMENT No  
PHEMO-PHE12-C-SDE-2015  
1 OF 3 0



This drawing and the design it covers are the property of PERTAMINA PHE WMO it is merely loaned on borrower's expressed agreement that it will not be transmitted, reproduced or disclosed to anyone or otherwise used except privately and then only in a manner stated in the written consent by the lender.

NOTE

1. FOR GENERAL NOTES REFER TO DWG. NO. PHEWMO-PHE12-C-SDE-2000
2. ALL DIMENSIONS ARE IN FEET AND INCH UNLESS NOTED OTHERWISE.
3. FOR TYPICAL WELDING DETAILS REFER TO DWG. NO. PHEWMO-PHE12-C-CEN-2005

CONTRACT NO.		189A/TS/OPS/13		
D	BK	26-NOV-2015	APPROVED	
B	SGH	16-NOV-2015	ISSUED FOR	

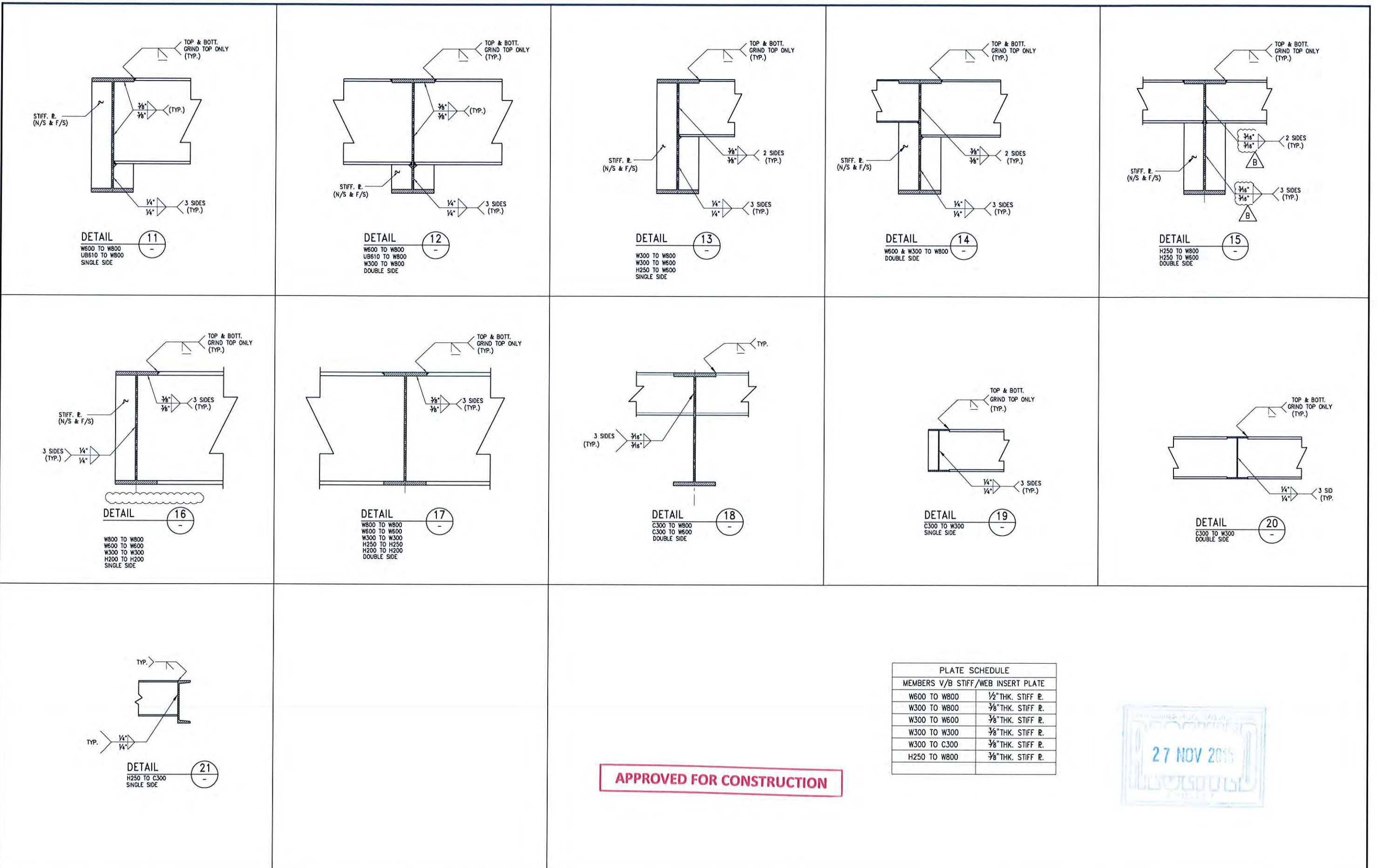
ENGINEERING APPROVAL				PHE WMO APP'D	
				BY DATE	
ER CONSTRUCTION	BS	HSI/AW	JH/AHR	PROCESS	
	PPROVAL	BS	HSI/AW	JH/AHR	ELECTRICAL
	EVIEW	BS	HSI/AW	JH/AHR	INSTRUMENT
	SSCRIPTION	PRE'D	CHK'D	APP'D	STRUCTURAL <i>OK 12/11/15</i>
				MECHANICAL	
				PIPING	
				Pipeline	
				PROCESS SAFETY	
				<i>OK 12/11/15</i>	
				DATE: <i>20/11/2011</i>	
				CONTRACTOR APP'D	

PROJECT TITLE : EPCI-1 : PHE-12, PHE-24, AND CPP2 PLATFORM AND PIPELINE

PHE-12 WELLHEAD PLATFORM  
DECK JOINT CONNECTION  
DETAILS

PT. TIMAS SUPLINDO PT. GUNAHUSA UTAMA  
FABRICATORS

DOCUMENT No	SHEET		REV.
PHEWMO-PHE12-C-SDE-2015	2	OF	3



APPROVED FOR CONSTRUCTION

This drawing and the design it covers are the property of PERTAMINA PHE WMO. It is merely loaned on borrower's expressed agreement that it will not be transmitted, reproduced or disclosed to anyone or otherwise used except privately and then only in a manner stated in the written consent by the lender.

NOTE

- FOR GENERAL NOTES REFER TO DWG. NO. PHEWMO-PHE12-C-SDE-2000
- ALL DIMENSIONS ARE IN FEET AND INCH UNLESS NOTED OTHERWISE.
- FOR TYPICAL WELDING DETAILS REFER TO DWG. NO. PHEWMO-PHE12-C-GEN-2005

CONTRACT NO. 189A/TS/OPS/13

REVISIONS		REV	BY	DATE	DESCRIPTION	PRE'D	CHK'D	APP'D	PROCESS SAFETY
		O	BK	26-NOV-2015	APPROVED FOR CONSTRUCTION	BS	HS/AW	JH/AHR	INSTRUMENT
		B	SGH	16-NOV-2015	ISSUED FOR APPROVAL	BS	HS/AW	JH/AHR	STRUCTURAL
		A	SGH	04-NOV-2015	ISSUED FOR REVIEW	BS	HS/AW	JH/AHR	MECHANICAL

REF. NO.

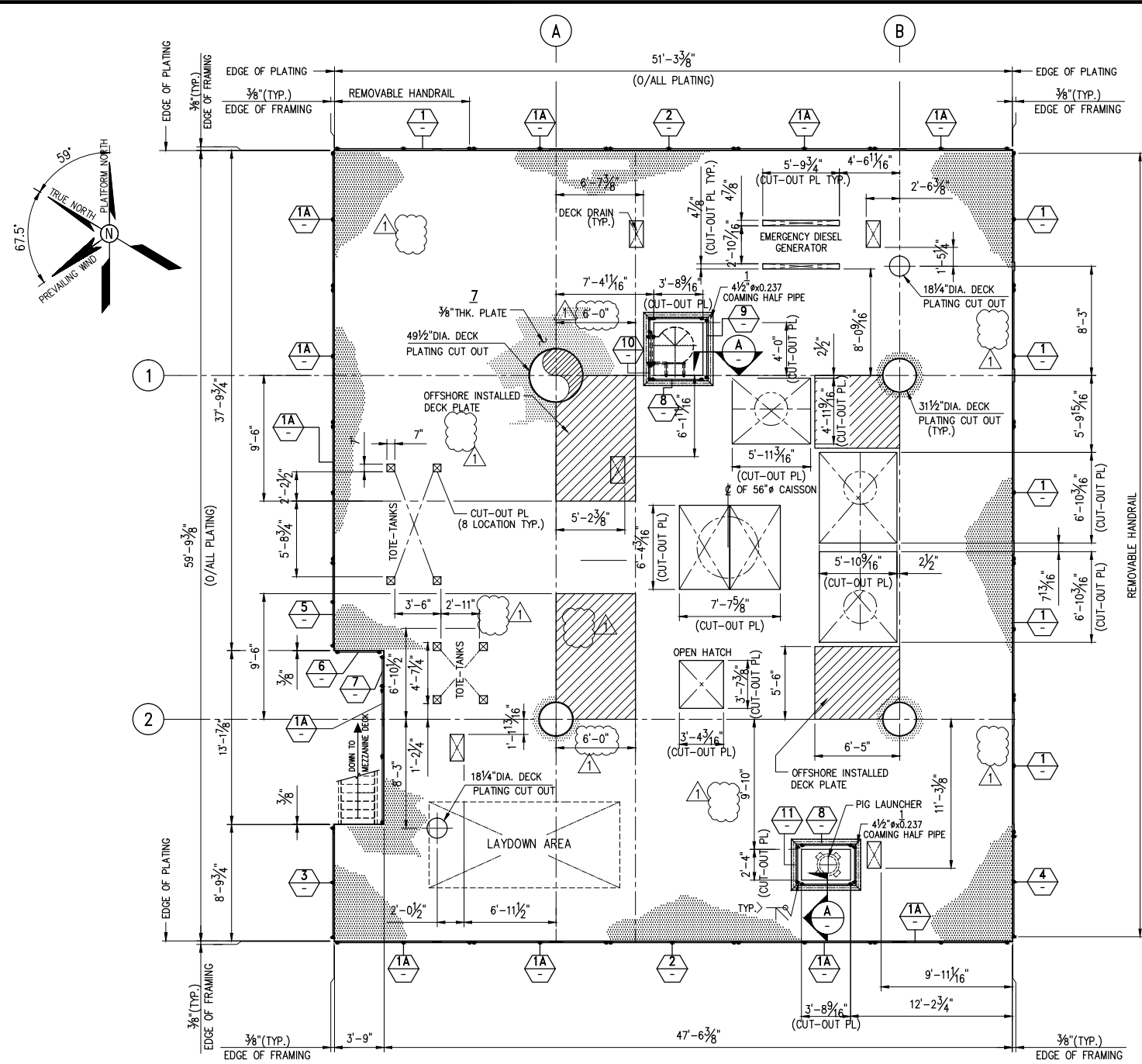
ENGINEERING APPROVAL			PHE WMO APP'D
PROCESS	BY	DATE	<i>[Signature]</i>
ELECTRICAL			
STRUCTURAL			
MECHANICAL			
PIPELINE			
PROCESS SAFETY			

PROJECT TITLE : EPCI-1 : PHE-12, PHE-24, AND CPP2 PLATFORM AND PIPELINE

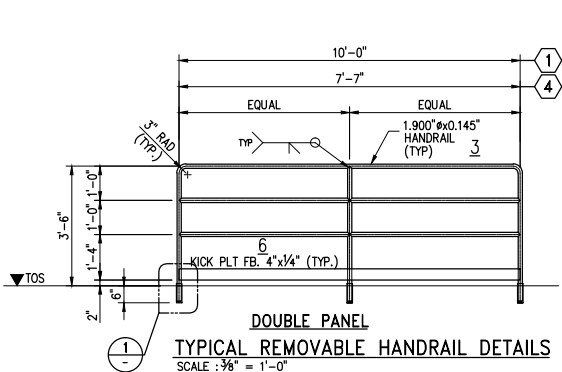
	PERTAMINA PHE WMO	PHE-12 WELLHEAD PLATFORM DECK JOINT CONNECTION DETAILS		
		CONSORTIUM	PT. TIMAS SUPINDO	PT. GUNANUSA UTAMA FABRICATORS
SCALE	DOCUMENT No	SHEET	REV.	AS SHOWN PHEWMO-PHE12-C-SDE-2015 3 OF 3 0

PLATE SCHEDULE			
MEMBERS V/B STIFF/WEB INSERT PLATE			
W600 TO W800	1/2" THK. STIFF R.		
W300 TO W800	3/8" THK. STIFF R.		
W300 TO W600	3/8" THK. STIFF R.		
W300 TO W300	3/8" THK. STIFF R.		
W300 TO C300	3/8" THK. STIFF R.		
H250 TO W800	3/8" THK. STIFF R.		

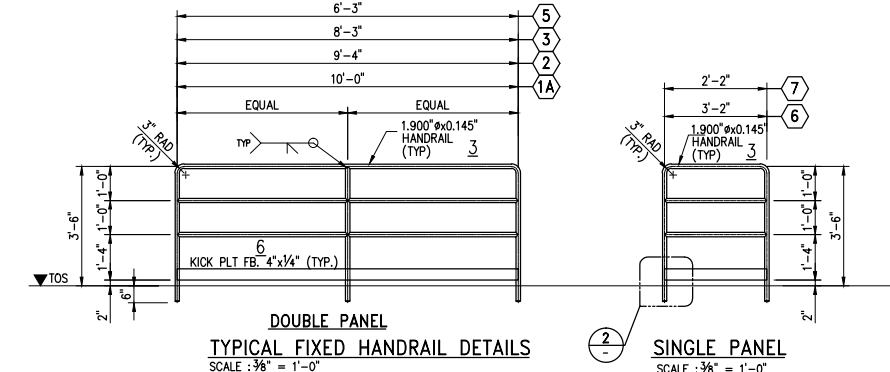
27 NOV 2015



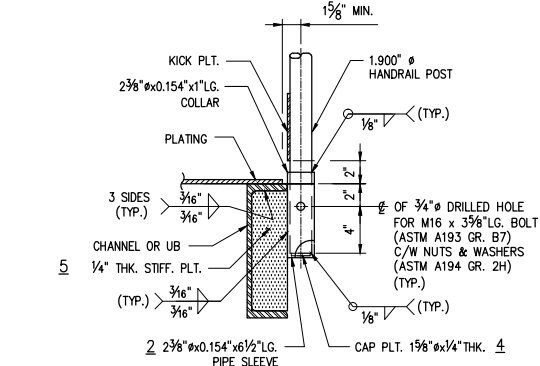
MAIN DECK FLOORING AND HANDRAIL LAYOUT  
SCALE ~ 3/16" = 1'-0"  
T.O.P. EL (+) 65'-3/8"



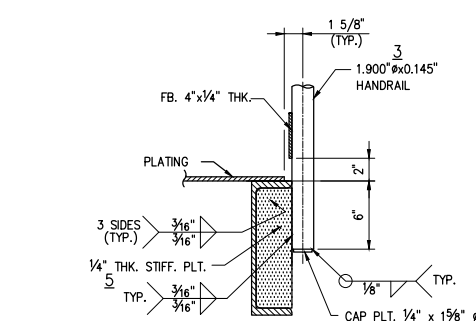
TYPICAL REMOVABLE HANDRAIL DETAILS  
SCALE : 3/16" = 1'-0"



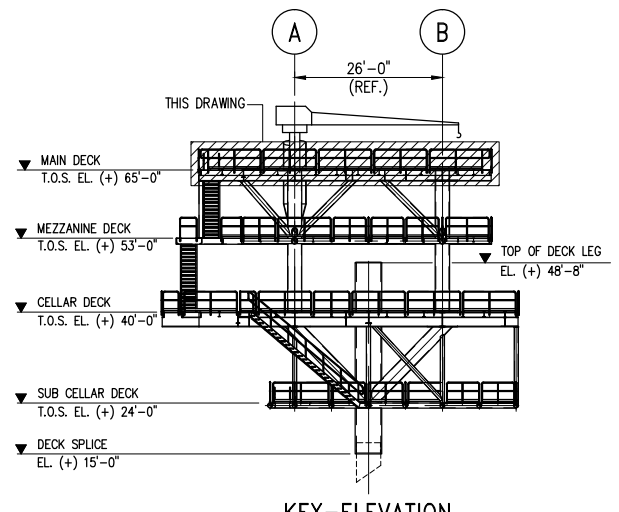
TYPICAL FIXED HANDRAIL DETAILS  
SCALE : 3/16" = 1'-0"



DETAIL  
SCALE 1 1/2"=1'-0"



DETAIL  
SCALE 1 1/2"=1'-0"



KEY-ELEVATION  
SCALE 1/16" = 1'-0"

MATERIAL TAKE OFF

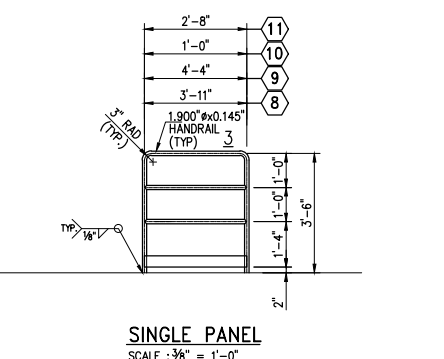
MARK	DESCRIPTION	MATERIAL SPEC.	L/A/V (*)	QTY	TOTAL L/A/V (*)	UNIT	UNIT WEIGHT (lb/u)	TOTAL WEIGHT (lb)	SPEC. TYPE
<b>SUPPLIED BY COMPANY</b>									
1	4.500"Øx0.237" W.T. PIPE	API 5L X52 PSL2	33.86	1	33.86	FT	10.79	365	1 I
<b>SUPPLIED BY CONTRACTOR</b>									
2	2.375"Øx0.154" W.T. PIPE	API 5L Gr.B	0.604	21	12.684	FT	3.652	46	1 III
3	1.900"Øx0.145" W.T. PIPE	API 5L Gr.B	108.25	1	108.25	FT	2.717	2940	1 III
4	1/4" THK. PLATE	ASTM A36	0.019	70	1.33	FT <sup>2</sup>	10.21	14	1 III
5	1/4" THK. PLATE	ASTM A36	0.23	70	16.1	FT <sup>2</sup>	10.21	164	1 III
6	4"x1/4" THK. FLAT BAR	ASTM A36	243.44	1	243.44	FT	3.40	828	1 III
7	3/8" THK. DECK PLATE	ASTM A36	3016.32	1	3016.32	FT	15.31	46180	1 III

SUB TOTAL WEIGHT = 50537 Lb

SPECIFICATION : 1 = PHEWMO-C-SPE-0101 (REV.0)  
(SPEC.) 2 = -  
TYPE CLASSIFICATION : I = TYPE I II = TYPE II III = TYPE III IV = TYPE IV  
(\*) L = LENGTH (ft); A = AREA (sq.ft); V = VOLUME (lbs/ft)

HANDRAIL PANEL SCHEDULE

PIECE MARK	LENGTH	NO. REQ'D	REMARK
HR-1	10'-0"	6	REMOVABLE/DUPLICATE PANEL
HR-1A	10'-0"	11	FIXED/DUPLICATE PANEL
HR-2	9'-4"	2	FIXED/DUPLICATE PANEL
HR-3	8'-3"	1	FIXED/DUPLICATE PANEL
HR-4	7'-7"	1	REMOVABLE/DUPLICATE PANEL
HR-5	6'-3"	1	FIXED/DUPLICATE PANEL
HR-6	3'-2"	1	FIXED/SINGLE PANEL
HR-7	2'-2"	1	FIXED/SINGLE PANEL
HR-8	3'-11"	4	FIXED/SINGLE PANEL
HR-9	4'-4"	1	FIXED/SINGLE PANEL
HR-10	1'-0"	2	FIXED/SINGLE PANEL
HR-11	2'-8"	2	FIXED/SINGLE PANEL



SECTION  
SCALE 1 1/2"=1'-0"

This drawing and the design it covers are the property of PERTAMINA PHE WMO. It is merely loaned on borrower's expressed agreement that it will not be transmitted, reproduced or disclosed to anyone or otherwise used except privately and then only in a manner stated in the written consent by the lender.

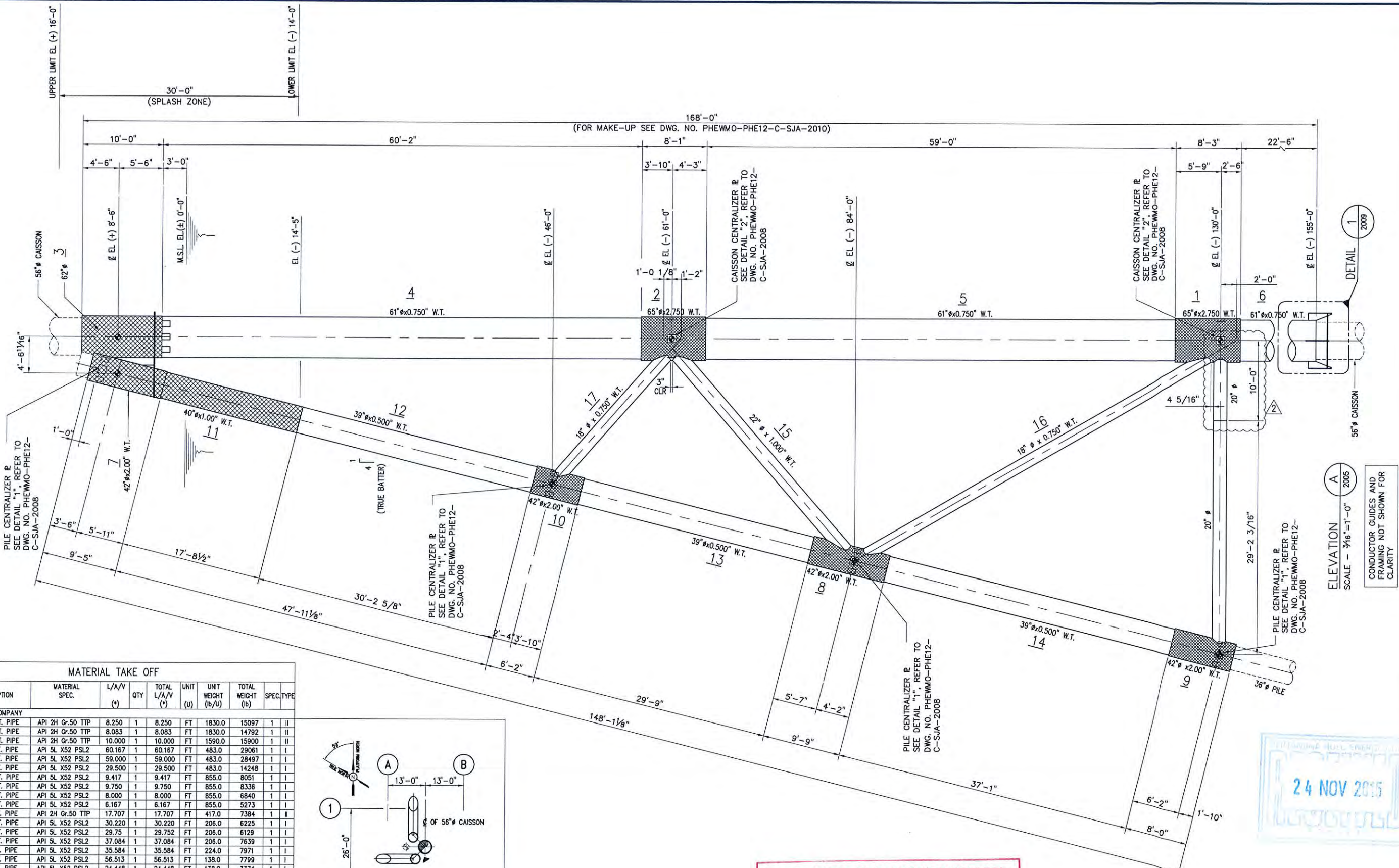
NOTE

1. FOR GENERAL NOTES REFER TO DWG. NO. PHEWMO-PHE12-C-SDE-2000
2. ALL DIMENSIONS ARE IN FEET AND INCH UNLESS NOTED OTHERWISE.
3. DECK PLATING MARKED WITH TO BE OFFSHORE INSTALLED IN ORDER TO ENABLE DECK LIFTING (INSTALLATION)

CONTRACT NO. 189A/TS/OPS/13  
REVISIONS  
REV. BY DATE DESCRIPTION PRE'D CHK'D APP'D PROCESS SAFETY

REF. NO.  
ENGINEERING APPROVAL  
BY DATE  
PHE WMO APP'D  
PROCESS ELECTRICAL INSTRUMENT STRUCTURAL MECHANICAL PIPING PIPELINE  
DATE: CONTRACTOR APP'D  
DATE:  
DATE:  
DATE:  
DATE:  
DATE:

PROJECT TITLE : EPCI-1 : PHE-12, PHE-24, AND CPP2 PLATFORM AND PIPELINE  
**PERTAMINA PHE WMO**  
CONSORTIUM  
PT. TIMAS SUPLINDO PT. GUNANUSA UTAMA FABRICATORS  
SCALE DOCUMENT No SHEET REV.  
AS SHOWN PHEWMO-PHE12-C-SDE-2016 1 OF 1



APPROVED FOR CONSTRUCTION

This drawing and the design it covers are the property of PERTAMINA PHE WMO  
it is merely loaned on borrower's expressed agreement that it will not be transmitted, reproduced or disclosed to anyone or otherwise used except privately and then only in a manner stated in the written consent by the lender.

NOTE

1. FOR GENERAL NOTES REFER TO DWG. NO. PHEWMO-PHE12-C-GEN-2001.
2. ALL STRUCTURAL STEEL MATERIALS IN THIS DWG SHALL BE TYPE 'I' U.N.O.
3. STRUCTURAL STEEL MARKED WITH SHALL BE MATERIALS TYPE 'II'.
4. THE TUBULAR "CAN" LENGTH INDICATED IN THE DRAWING DO NOT INCLUDE TAPER LENGTHS AT ENDS FOR CHANGE IN TUBULAR THICKNESSES

CONTRACT NO. 189A/TS/OPS/13  
REVISIONS

REV	BY	DATE	DESCRIPTION	PRE'D	CHK'D	APP'D	PROCESS SAFETY	REF. NO.	ENGINEERING APPROVAL	PHE WMO APP'D
2	SGH	23-NOV-2015	RE-APPROVED FOR CONSTRUCTION	BS	HSI/AW	JH/AHR	PROCESS			
1	SGH	02-NOV-2015	RE-APPROVED FOR CONSTRUCTION	BS	HSI/AW	JH/AHR	ELECTRICAL			
0	SGH	21-OCT-2015	APPROVED FOR CONSTRUCTION	BS	HSI/AW	JH/AHR	INSTRUMENT			
B	SGH	16-OCT-2015	ISSUED FOR APPROVAL	BS	HSI/AW	JH/AHR	STRUCTURAL	2071115	CONTRACTOR APP'D	
A	SGH	03-OCT-2015	ISSUED FOR REVIEW	WS	HSI/AW	JH/AHR	MECHANICAL			
							PIPELINE			
							PROCESS SAFETY			

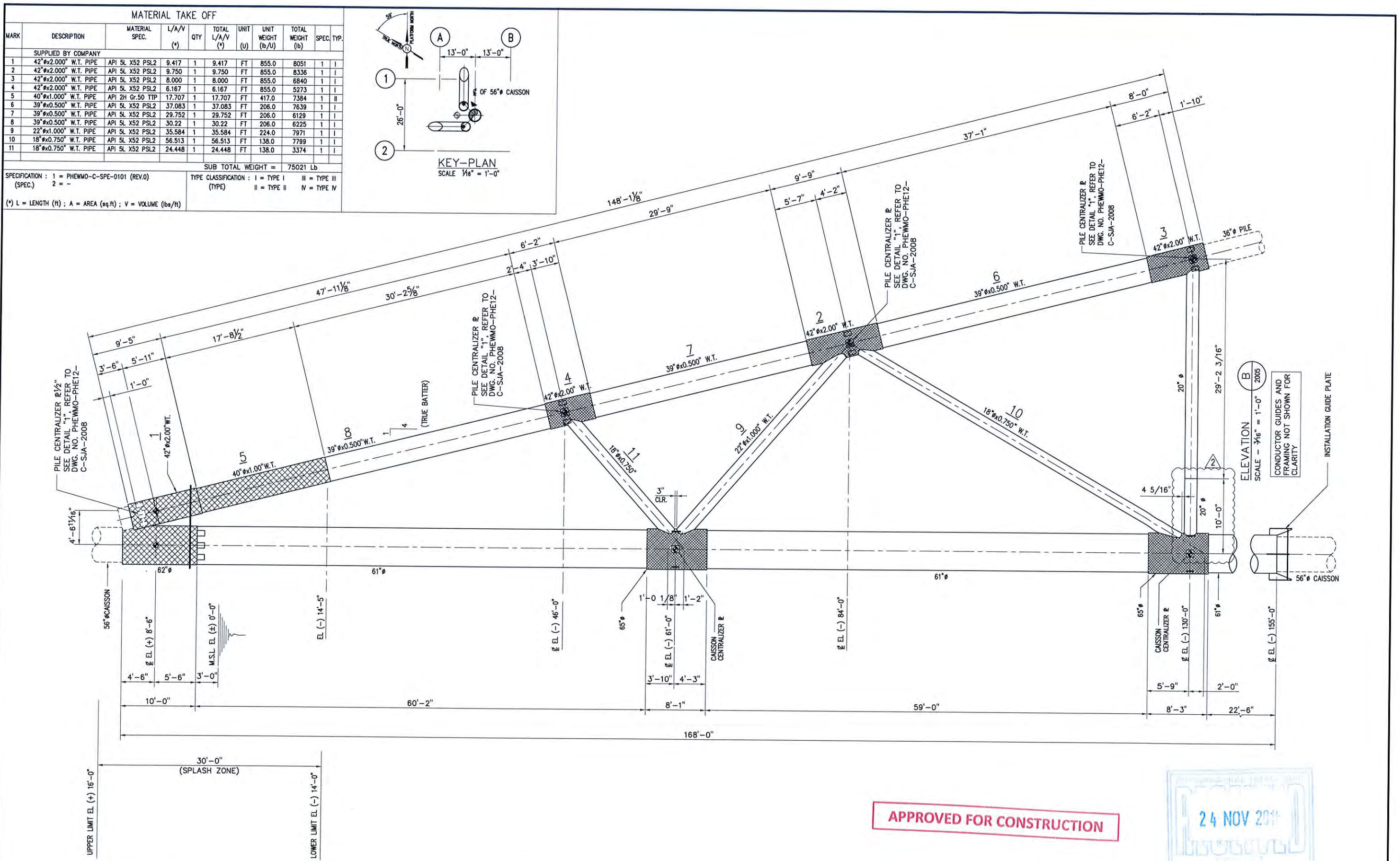
PROJECT TITLE : EPCI-1 : PHE-12, PHE-24, AND CPP2 PLATFORM AND PIPELINE  
PT. TIMAS SUPLINDO PT. GUNANUSA UTAMA FABRICATORS  
DATE: 25/11/2015

PHE-12 WELLHEAD PLATFORM  
GUARDIAN SLEEVE  
ELEVATION-A  
SCALE DOCUMENT No SHEET REV.  
AS SHOWN PHEWMO-PHE12-C-SJA-2002 1 OF 1 2

ELEVATION A  
SCALE -  $\frac{1}{16}$ " = 1'-0"  
CONDUCTOR GUIDES AND  
FRAMING NOT SHOWN FOR  
CLARITY

2005

24 NOV 2015



This drawing and the design it covers are the property of PERTAMINA PHE WMO. It is merely loaned on borrower's expressed agreement that it will not be transmitted, reproduced or disclosed to anyone or otherwise used except privately and then only in a manner stated in the written consent by the lender.

NOTE

- FOR GENERAL NOTES REFER TO DWG. NO. PHEMCO-PHE12-C-GEN-2001.
- FOR PILE MAKE-UP, SEE DWG. NO PHEMCO-PHE12-C-SJA-2004.
- ALL STRUCTURAL STEEL MATERIALS IN THIS DWG SHALL BE TYPE 'I' U.N.O.
- STRUCTURAL STEEL MARKED WITH SHALL BE MATERIALS TYPE 'I'.
- THE TUBULAR "CAN" LENGTH INDICATED IN THE DRAWING DO NOT INCLUDE TAPER LENGTHS AT ANDS FOR CHANGE IN TUBULAR THICKNESSES

CONTRACT NO.  
189A/TS/OPS/13

REF. NO.

REVISIONS

2 SCH 23-NOV-2015 RE-APPROVED FOR CONSTRUCTION BS HS/AW JH/AHR

1 SCH 02-NOV-2015 RE-APPROVED FOR CONSTRUCTION BS HS/AW JH/AHR

0 SCH 21-OCT-2015 APPROVED FOR CONSTRUCTION BS HS/AW JH/AHR

B SCH 16-OCT-2015 ISSUED FOR APPROVAL BS HS/AW JH/AHR

A SCH 03-OCT-2015 ISSUED FOR REVIEW WS HS/AW JH/AHR

ENGINEERING APPROVAL

BY DATE

PROCESS

ELECTRICAL

INSTRUMENT

STRUCTURAL

PHE WMO APP'D

DATE: 25/11/15

CONTRACTOR APP'D

MECHANICAL

PIPELINE

PIPELINE

PROJECT TITLE : EPCI-1 : PHE-12, PHE-24, AND CPP2 PLATFORM AND PIPELINE

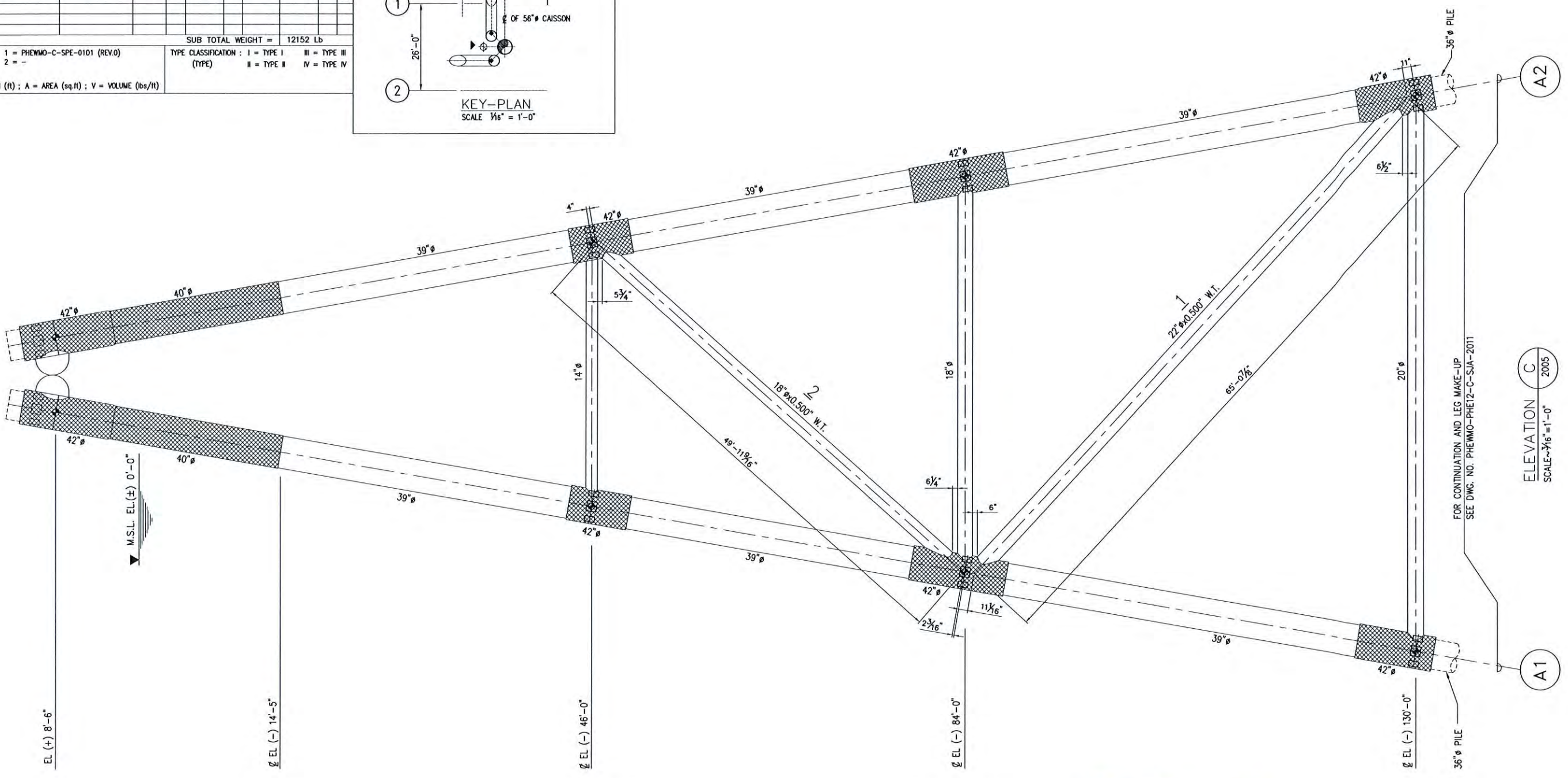
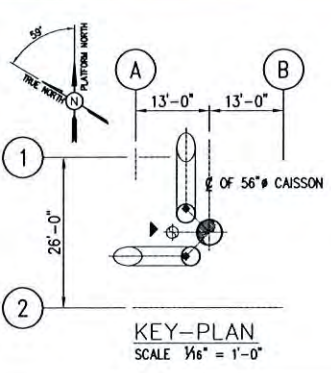
PERTAMINA  
PHE WMO

CONSORTIUM

PT. TIMAS SUPINDO PT. GUNANUSA UTAMA FABRICATORS

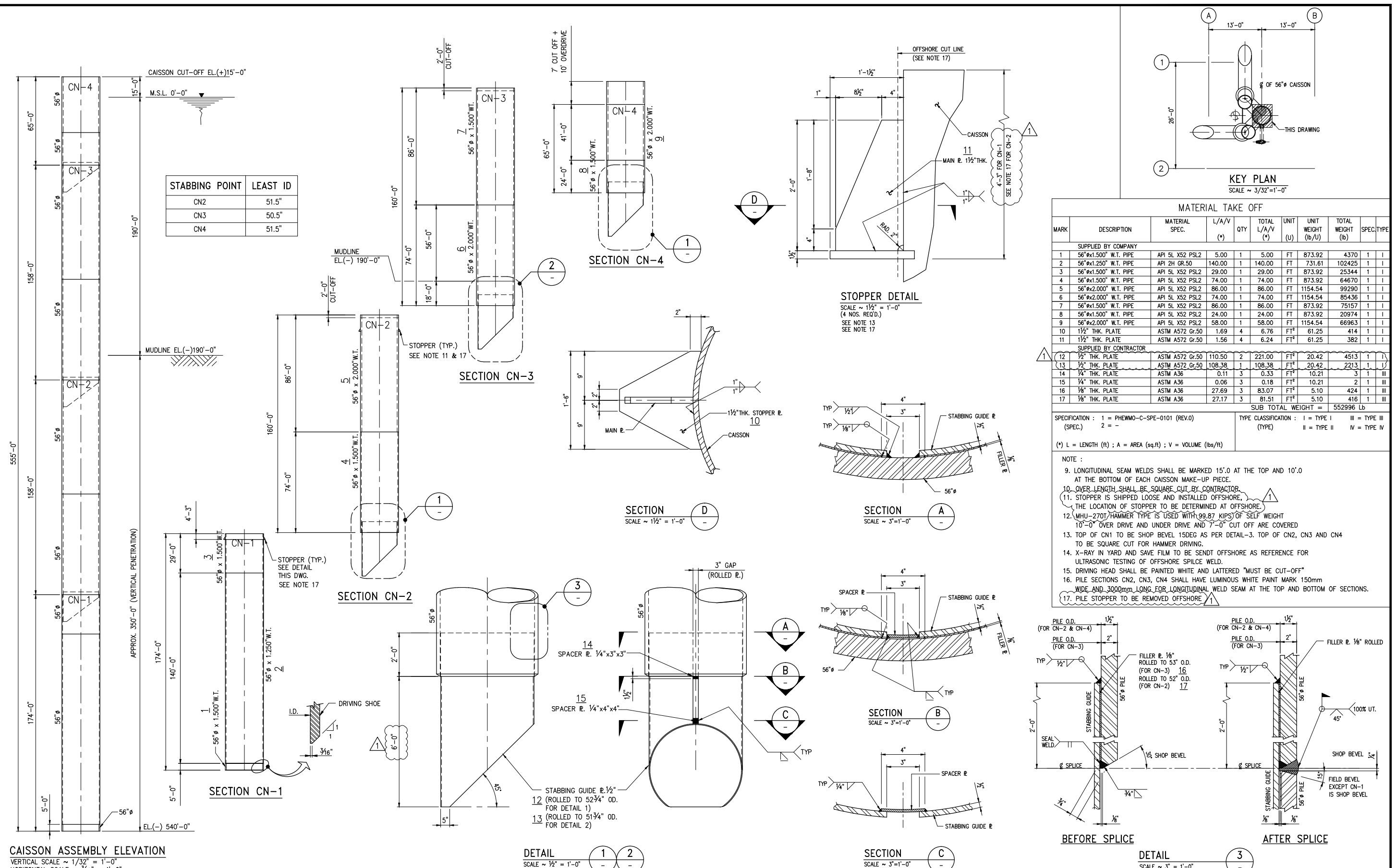
SCALE DOCUMENT No SHEET REV.

AS SHOWN PHEMCO-PHE12-C-SJA-2003 1 OF 1 2



**APPROVED FOR CONSTRUCTION**





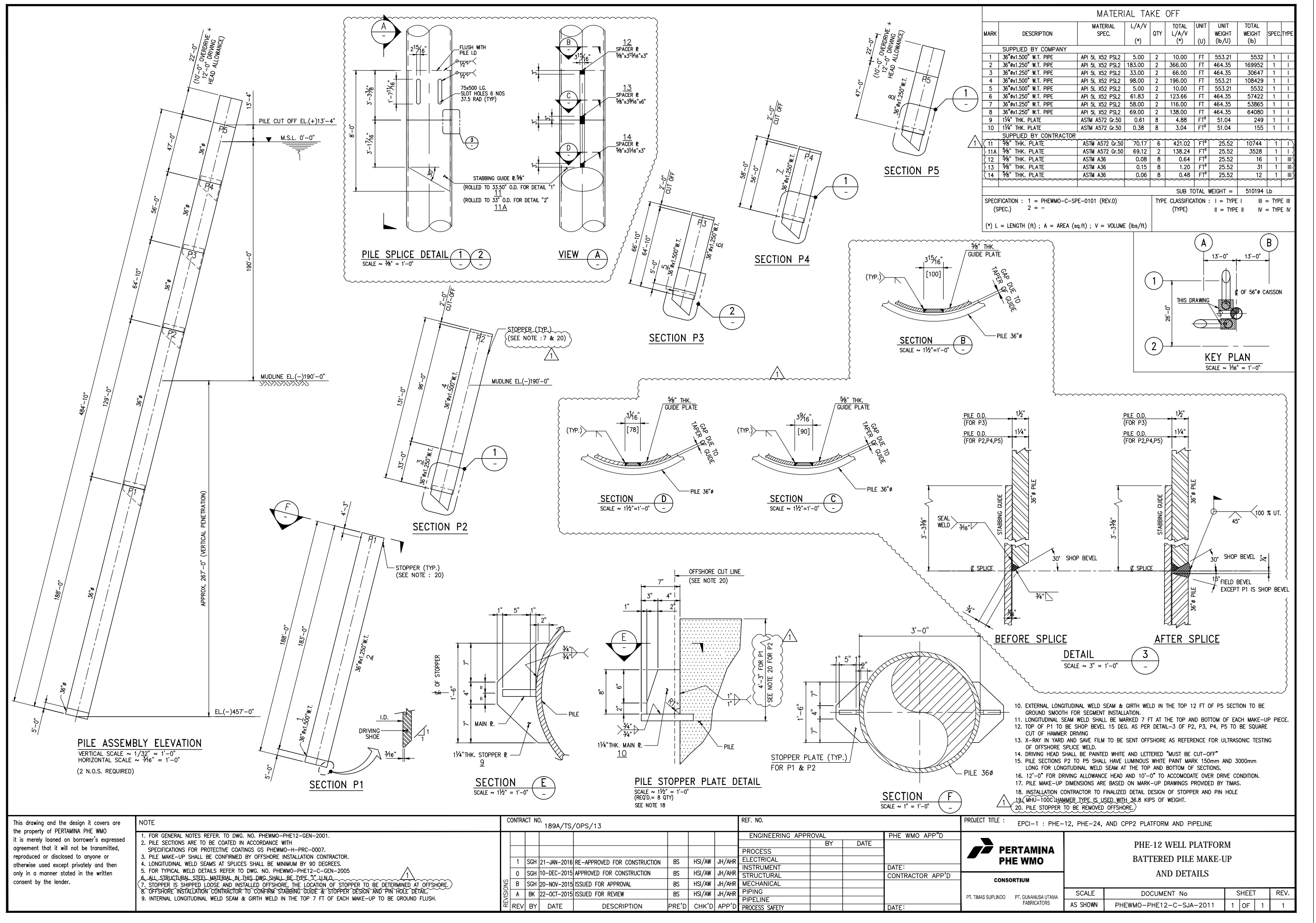
This drawing and the design it covers are the property of PERTAMINA PHE WMO. It is merely loaned on borrower's expressed agreement that it will not be transmitted, reproduced or disclosed to anyone or otherwise used except privately and then only in a manner stated in the written consent by the lender.

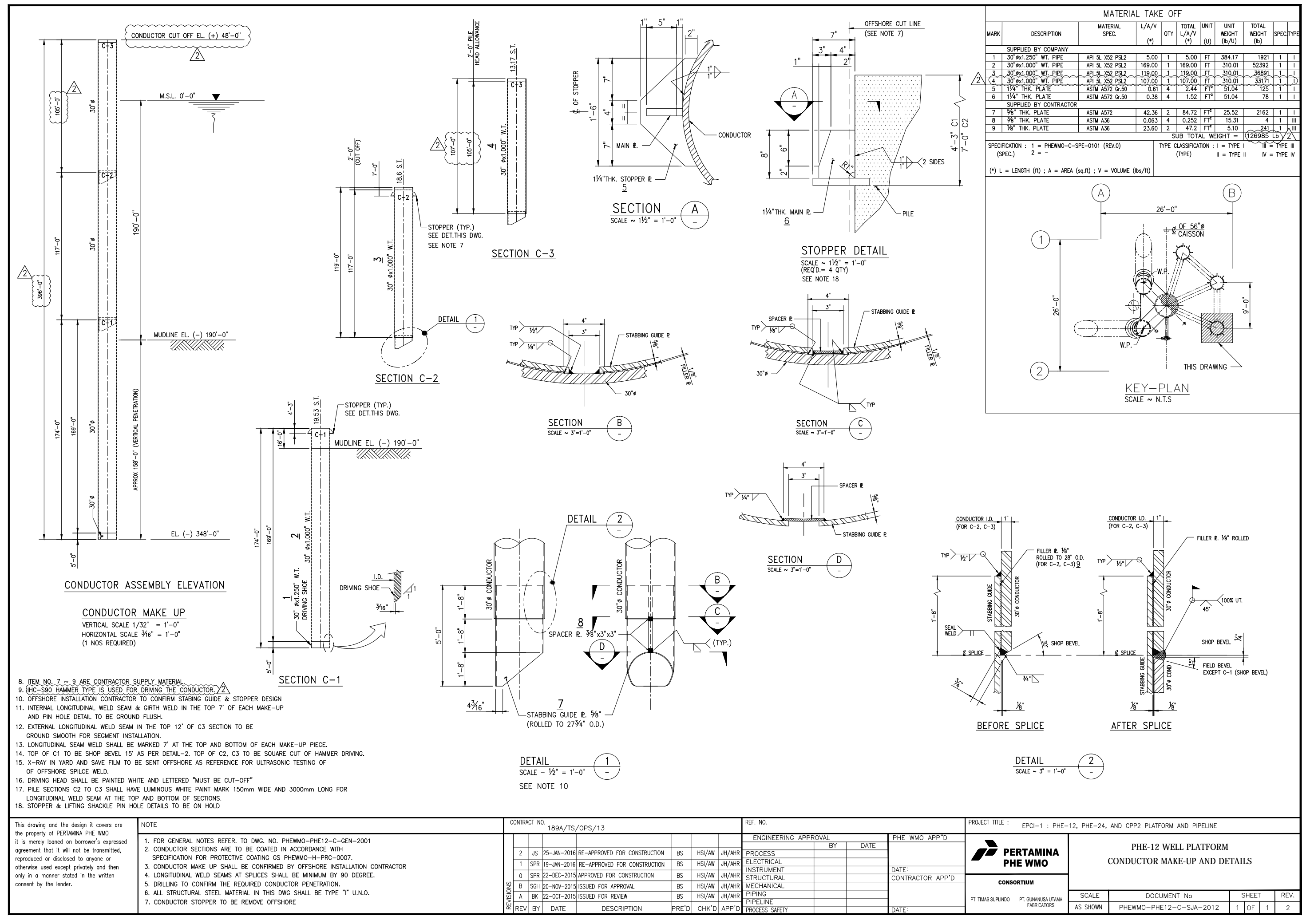
NOTE

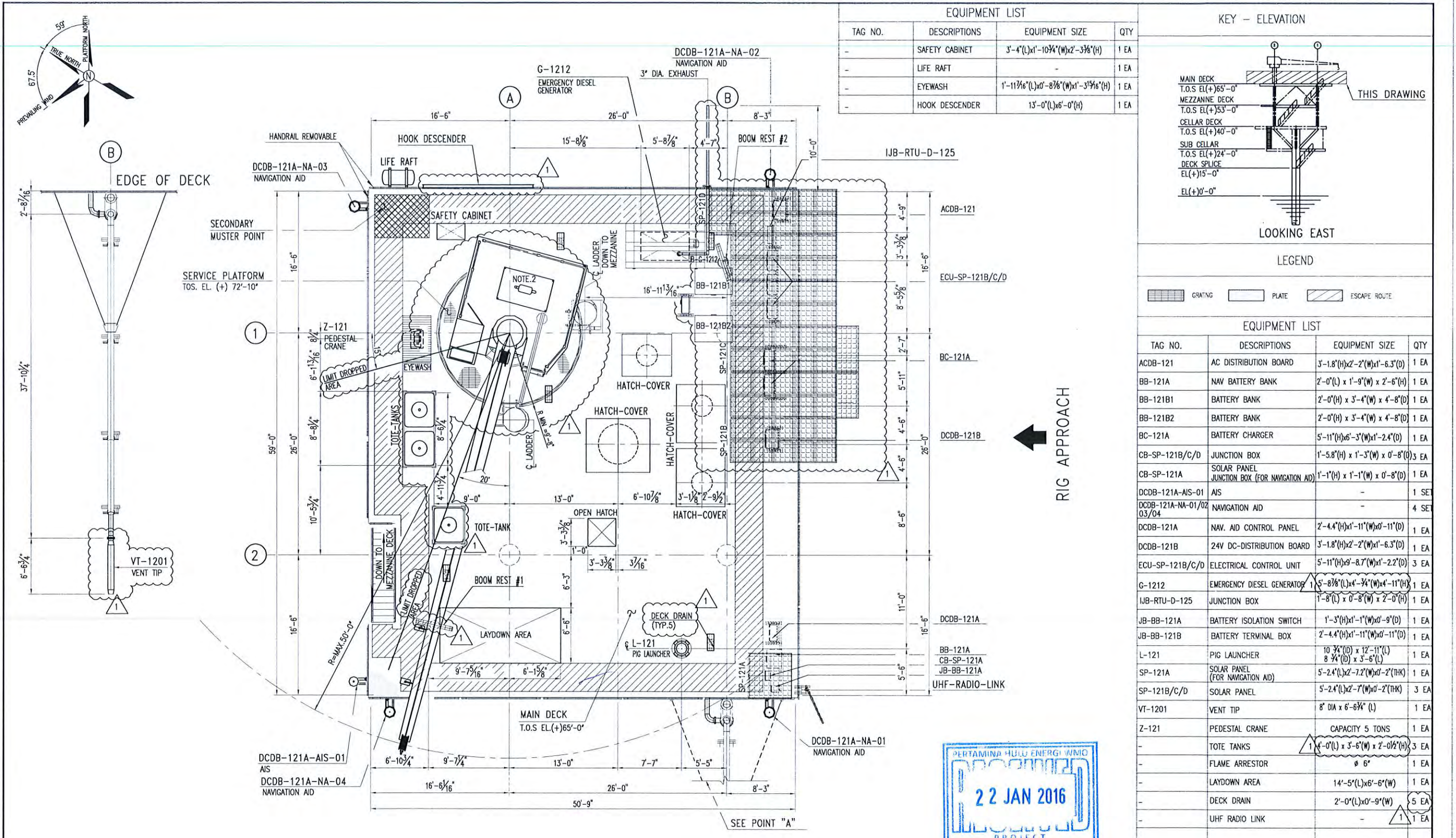
1. FOR GENERAL NOTES REFER TO DWG. NO. PHEWMO-PHE12-C-GEN-2001.
2. CAISSON SECTIONS ARE TO BE COATED IN ACCORDANCE WITH SPECIFICATION FOR PROTECTIVE COATING GS PHEWMO-H-PRC-0007.
3. CAISSON MAKE UP SHALL BE CONFIRMED BY OFFSHORE INSTALLATION CONTRACTOR.
4. LONGITUDINAL WELD SEAMS AT SPLICES SHALL BE MINIMUM BY 90 DEGREE.
5. FOR TYPICAL WELD DETAILS REFER TO DWG. PHEWMO-PHE12-C-GEN-2005
6. ALL STRUCTURAL STEEL MATERIAL IN THIS DWG SHALL BE TYPE "I" U.N.O.
7. INTERNAL LONGITUDINAL WELD SEAM IN THE TOP 10 FT. OF EACH MAKE-UP TO BE GROUND FLUSH.
8. EXTERNAL LONGITUDINAL WELD SEAM OF CN-4 TO BE GROUND SMOOTH FOR CAISSON SLEEVE INSTALLATION.

CONTRACT NO.				REF. NO.			
189A/TS/OPS/13				PHE WMO APP'D			
				PROCESS	BY	DATE	
				ELECTRICAL			
1	SGH	21-JAN-2016	RE-APPROVED FOR CONSTRUCTION	BS	HSI/AW	JH/AHR	
0	SPR	22-DEC-2015	APPROVED FOR CONSTRUCTION	BS	HSI/AW	JH/AHR	
B	SGH	02-DEC-2015	ISSUED FOR APPROVAL	BS	HSI/AW	JH/AHR	
A	BK	22-OCT-2015	ISSUED FOR REVIEW	BS	HSI/AW	JH/AHR	
REV	BY	DATE	DESCRIPTION	PRE'D	CHK'D	APP'D	
				PIPELINE			
				PROCESS SAFETY			

PROJECT TITLE : EPCI-1 : PHE-12, PHE-24, AND CPP2 PLATFORM AND PIPELINE			
<b>PERTAMINA PHE WMO</b>		PHE-12 WELL PLATFORM	
CONSORTIUM		CAISSON MAKE-UP AND DETAILS	
PT. TIMAS SUPLINDO	PT. GUNANUSA UTAMA	FIELD BEVEL EXCEPT CN-1 IS SHOP BEVEL	
FABRICATORS			
AS SHOWN	DOCUMENT No	SHEET	REV.
	PHEWMO-PHE12-C-SJA-2010	1 OF 1	1







This drawing and the design it covers are the property of PERTAMINA PHE WMO.  
It is merely loaned on borrower's expressed agreement that it will not be transmitted, reproduced or disclosed to anyone or otherwise used except privately and then only in a manner stated in the written consent by the lender.

NOTE

- ALL DIMENSIONS ARE IN FEET & INCHES UNLESS OTHERWISE NOTED
- TO DEFINE WHETHER LIFTING LUG WILL BE INSTALLED IN THE SAME POINTS AS PEDESTAL CRANE

CONTRACT NO. 189A/TS/OPS/13

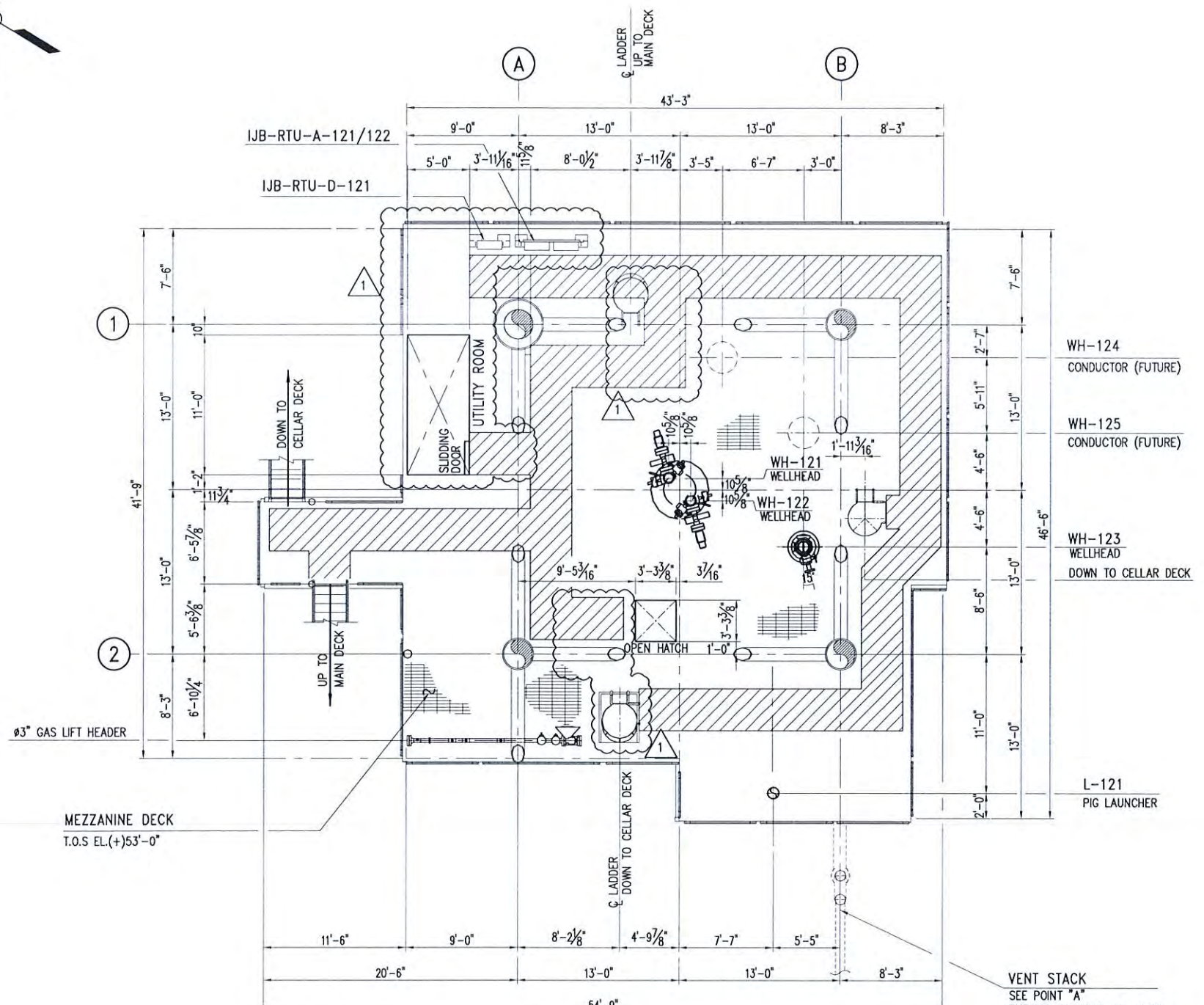
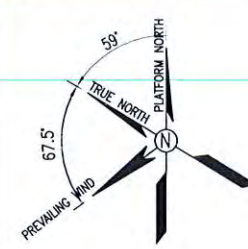
REVISIONS		REV.	BY	DATE	REF. NO.	PROJECT TITLE :
1	AND	19-JAN-2016	RE-APPROVED FOR CONSTRUCTION	STR AGW/AW JH/A/R	PHE WMO APP'D	EPCI-1 : PHE-12, PHE-24, AND CPP2 PLATFORM AND PIPELINE
0	AND	17-NOV-2015	APPROVED FOR CONSTRUCTION	STR AGW/AW JH/A/R	DATE:	EQUIPMENT LAYOUT
C	LNG	12-OCT-2015	RE ISSUED FOR APPROVAL	STR AGW/AW JH/A/R	CONTRACTOR APP'D	MAIN DECK
B	LNG	17-SEP-2015	ISSUED FOR APPROVAL	STR AGW/AW JH/A/R	DATE: 25/11/16	PHE-12 WELL PLATFORM
A	AND	21-SEP-2015	ISSUED FOR REVIEW	STR AGW/AW JH/A/R	25/11/16	PT. TIMAS SUPINDO PT. GUNAJASA UTAMA FABRICATORS
			REV'D	CHK'D	APP'D	SCALE DOCUMENT No SHEET REV.

REV. BY DATE DESCRIPTION PRE'D CHK'D APP'D

ENGINEERING APPROVAL  
PHE WMO APP'D  
PRCESS  
ELECTRICAL  
INSTRUMENT  
STRUCTURAL  
MECHANICAL  
PIPING  
PIPELINE  
PROCESS SAFETY

DATE: 25/11/16  
CONTRACTOR APP'D  
DATE: 25/11/16  
PHE WMO APP'D

PROJECT TITLE : EPCI-1 : PHE-12, PHE-24, AND CPP2 PLATFORM AND PIPELINE  
PERTAMINA PHE WMO CONSORTIUM  
PT. TIMAS SUPINDO PT. GUNAJASA UTAMA FABRICATORS  
SCALE DOCUMENT No SHEET REV.  
3/16'-1"-0" PHEWMO-PHE12-X-EQL-5001 1 OF 1



RIG APPROACH



MEZZANINE DECK  
T.O.S EL(+))53'-0"

APPROVED FOR CONSTRUCTION

This drawing and the design it covers are the property of PERTAMINA PHE WMO. It is merely loaned on borrower's expressed agreement that it will not be transmitted, reproduced or disclosed to anyone or otherwise used except privately and then only in a manner stated in the written consent by the lender.

NOTE

1. ALL DIMENSIONS ARE IN FEET & INCHES UNLESS OTHERWISE NOTED

CONTRACT NO. 189A/TS/OPS/13				REF. NO.		
				ENGINEERING APPROVAL		
1	AND	19-JAN-2016	RE-APPROVED FOR CONSTRUCTION	STR AGW/AW	PHE WMO APP'D	
2	AND	17-NOV-2015	APPROVED FOR CONSTRUCTION	STR AGW/AW	JH/AHR	
C	LNG	12-OCT-2015	RE ISSUED FOR APPROVAL	STR AGW/AW	JH/AHR	
B	LNG	17-SEP-2015	ISSUED FOR APPROVAL	STR AGW/AW	JH/AHR	
A	AND	01-SEP-2015	ISSUED FOR REVIEW	STR AGW/AW	JH/AHR	
REV BY DATE		DESCRIPTION	PRE'D	CHK'D	APP'D	PROCESS SAFETY
REVISIONS						

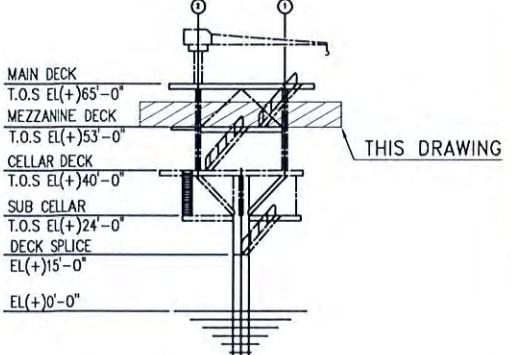
0 5 10 FEET  
GRAPHIC SCALE

PHEWMO-PHE12-X-EQL-5004 EQUIPMENT LAYOUT SUB CELLAR & BOAT LANDING PHE-12-WELL PLATFORM  
PHEWMO-PHE12-X-EQL-5003 EQUIPMENT LAYOUT CELLAR DECK PHE-12-WELL PLATFORM  
PHEWMO-PHE12-X-EQL-5001 EQUIPMENT LAYOUT MAIN DECK PHE-12-WELL PLATFORM  
REFERENCE DRAWING NO. DESCRIPTION

PROJECT TITLE : EPCI-1 : PHE-12, PHE-24, AND CPP2 PLATFORM AND PIPELINE

PERTAMINA PHE WMO  
CONSORTIUM  
PT. TIMAS SUPLINDO PT. GUNAWAN UTAMA FABRICATORS  
EQUIPMENT LAYOUT  
MEZZANINE DECK  
PHE-12 WELL PLATFORM  
SCALE DOCUMENT No. SHEET REV.  
3/16'=1'-0" PHEWMO-PHE12-X-EQL-5002 1 OF 1

KEY - ELEVATION



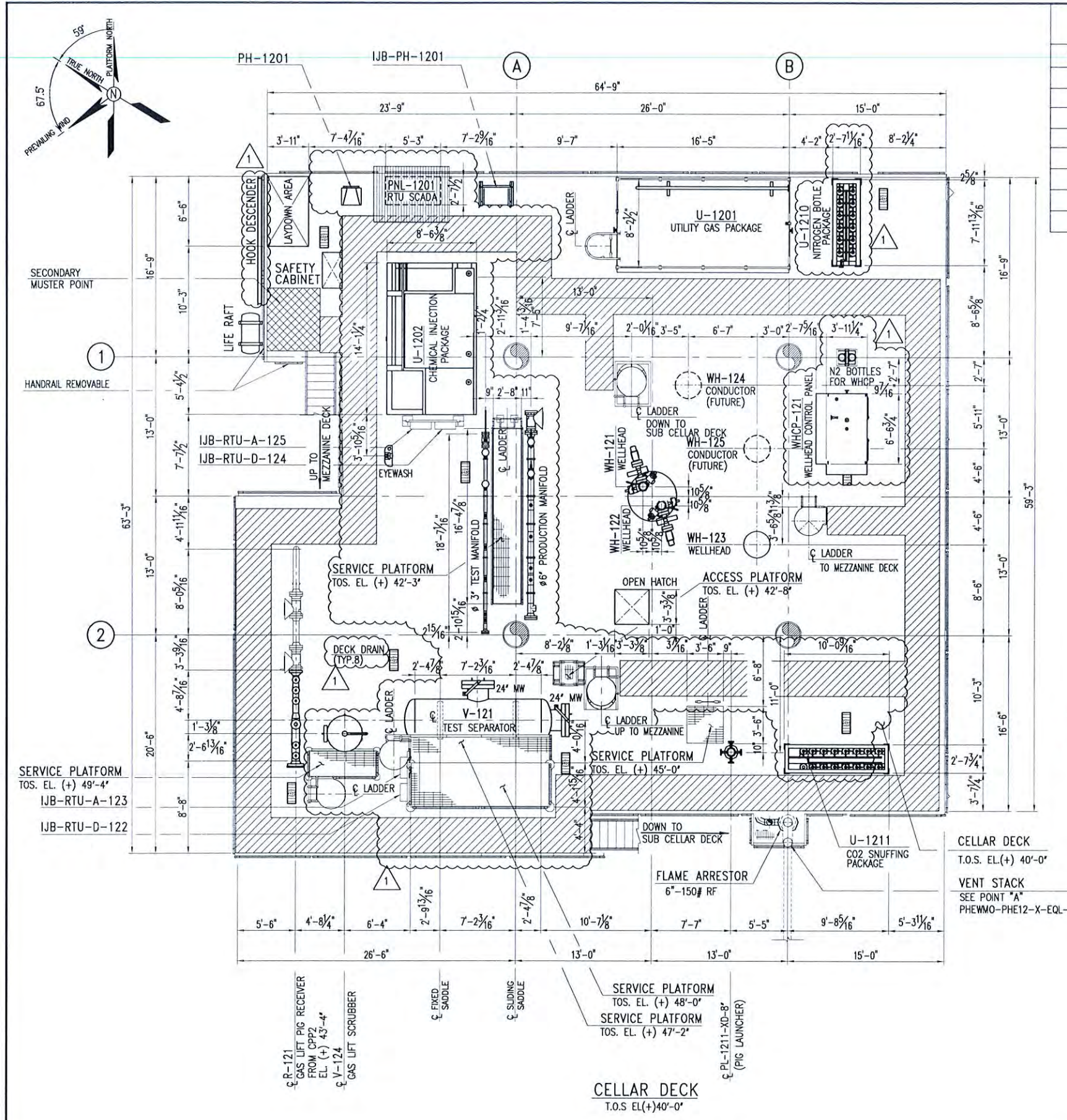
LOOKING EAST

LEGEND

GRATING  
ESCAPE ROUTE

EQUIPMENT LIST

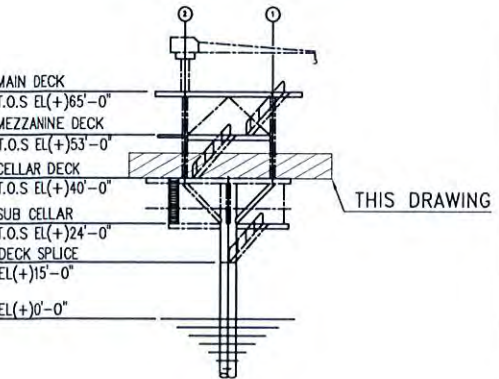
TAG NO.	DESCRIPTIONS	EQUIPMENT SIZE	QTY
IJB-RTU-A-121	JUNCTION BOX	2'-0"(L)x0'-8"(W)x2'-6"(H)	1 EA
IJB-RTU-A-122	JUNCTION BOX	2'-0"(L)x0'-8"(W)x2'-6"(H)	1 EA
IJB-RTU-D-121	JUNCTION BOX	2'-0"(L)x0'-8"(W)x2'-6"(H)	1 EA
WH-121	WELLHEAD	-	1 EA
WH-122	WELLHEAD	-	1 EA
WH-123	WELLHEAD	-	1 EA
WH-124	CONDUCTOR (FUTURE)	-	1 EA
WH-125	CONDUCTOR (FUTURE)	-	1 EA
-	3"Ø GAS LIFT HEADER	-	1 EA
-	UTILITY ROOM	11'-0"(L)x5'-0"(W)x8'-0"(H)	1 EA
-	VENT STACK	-	1 EA



### EQUIPMENT LIST

TAG NO.	DESCRIPTIONS	EQUIPMENT SIZE	QTY
-	Ø 8' TEST MANIFOLD	-	1 EA
-	Ø 6' PRODUCTION MANIFOLD	-	1 EA
-	LAYDOWN AREA	6'-8"(L) x 3'-11"(W)	1 EA
-	SAFETY CABINET	3'-4"(L)x1'-10 3/4"(W)x2'-3 1/2"(H)	1 EA
-	LIFE RAFT	-	1 EA
-	DECK DRAIN	2'-0"(L)x0'-9"(W)	8 EA
-	EYEWASH	1'-11 1/8"(L)x0'-8 1/8"(W)x1'-3 1/2"(H)	1 EA
-	HOOK DESCENDER	11'-8"(L)x6'-0"(H)	1 EA

### KEY - ELEVATION



RIG APPROACH

APPROVED FOR CONSTRUCTION



0 5 FEET 10  
GRAPHIC SCALE

This drawing and the design it covers are the property of PERTAMINA PHE WMO. It is merely loaned on borrower's expressed agreement that it will not be transmitted, reproduced or disclosed to anyone or otherwise used except privately and then only in a manner stated in the written consent by the lender.

NOTE

1. ALL DIMENSIONS ARE IN FEET & INCHES UNLESS OTHERWISE NOTED

CONTRACT NO. 189A/TS/OPS/13

REF. NO.

PROJECT TITLE : EPCI-1 : PHE-12, PHE-24, AND CPP2 PLATFORM AND PIPELINE

REVISIONS			ENGINEERING APPROVAL			PHE WMO APP'D		
1	AND	19-JAN-2016	RE-APPROVED FOR CONSTRUCTION	STR AGW/AW	JH/AHR	PROCESS	DATE:	25/1/16
0	AND	17-NOV-2015	APPROVED FOR CONSTRUCTION	STR AGW/AW	JH/AHR	ELECTRICAL	DATE:	25/1/16
C	LNG	12-OCT-2015	RE-ISSUED FOR APPROVAL	STR AGW/AW	JH/AHR	INSTRUMENT	CONTRACTOR APP'D	25/1/16
B	LNG	17-SEP-2015	ISSUED FOR APPROVAL	STR AGW/AW	JH/AHR	STRUCTURAL		
A	AND	01-SEP-2015	ISSUED FOR REVIEW	STR AGW/AW	JH/AHR	MECHANICAL		
				REV. BY DATE	DESCRIPTION	PIPELINE		
				PRE'D	CHK'D APP'D	PROCESS SAFETY		

REF. DRAWING NO

DESCRIPTION

PHEWMO-PHE12-X-EQL-5004 EQUIPMENT LAYOUT SUB CELLAR & BOAT LANDING PHE-12-WELL PLATFORM

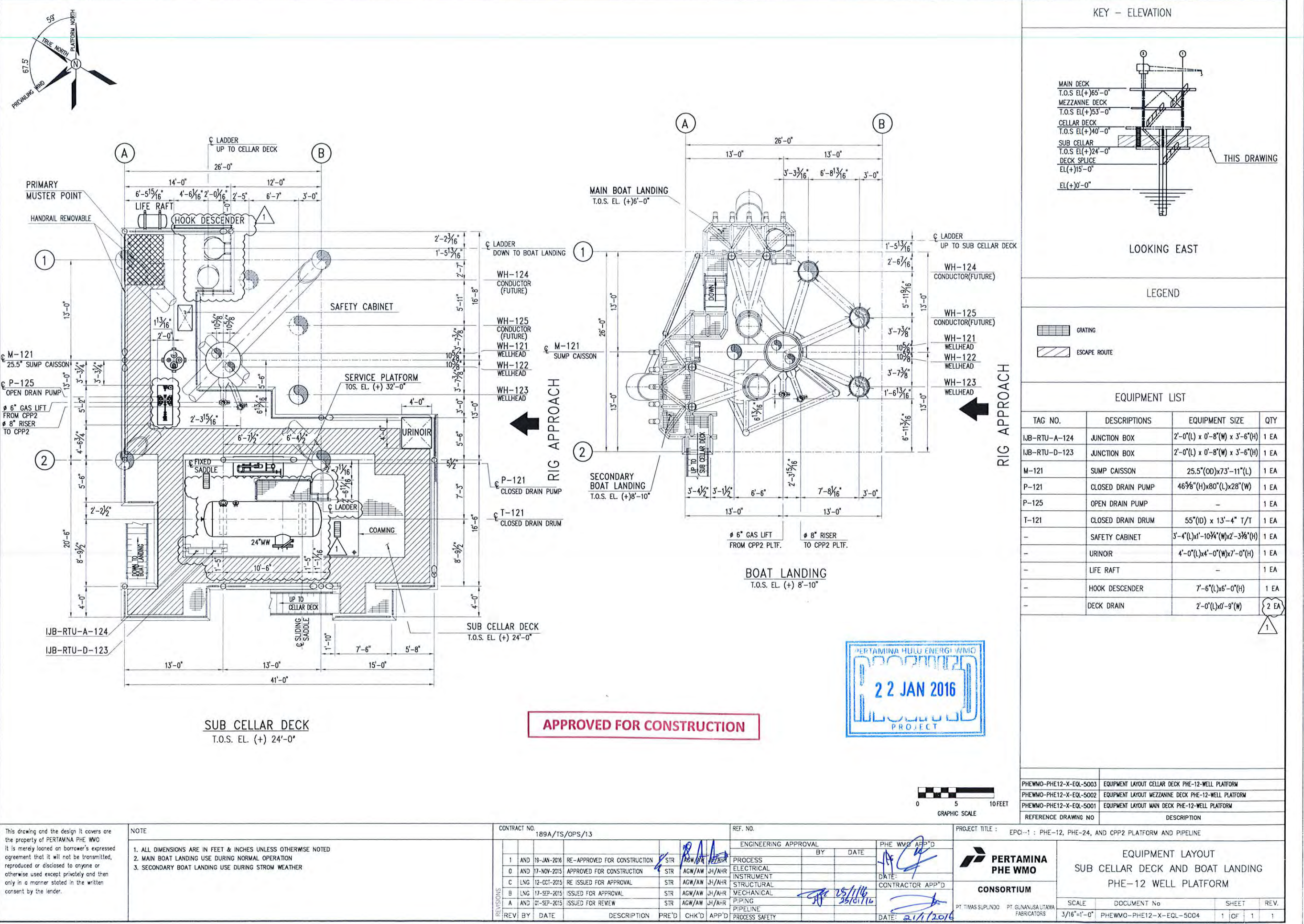
PHEWMO-PHE12-X-EQL-5002 EQUIPMENT LAYOUT MEZZANINE DECK PHE-12-WELL PLATFORM

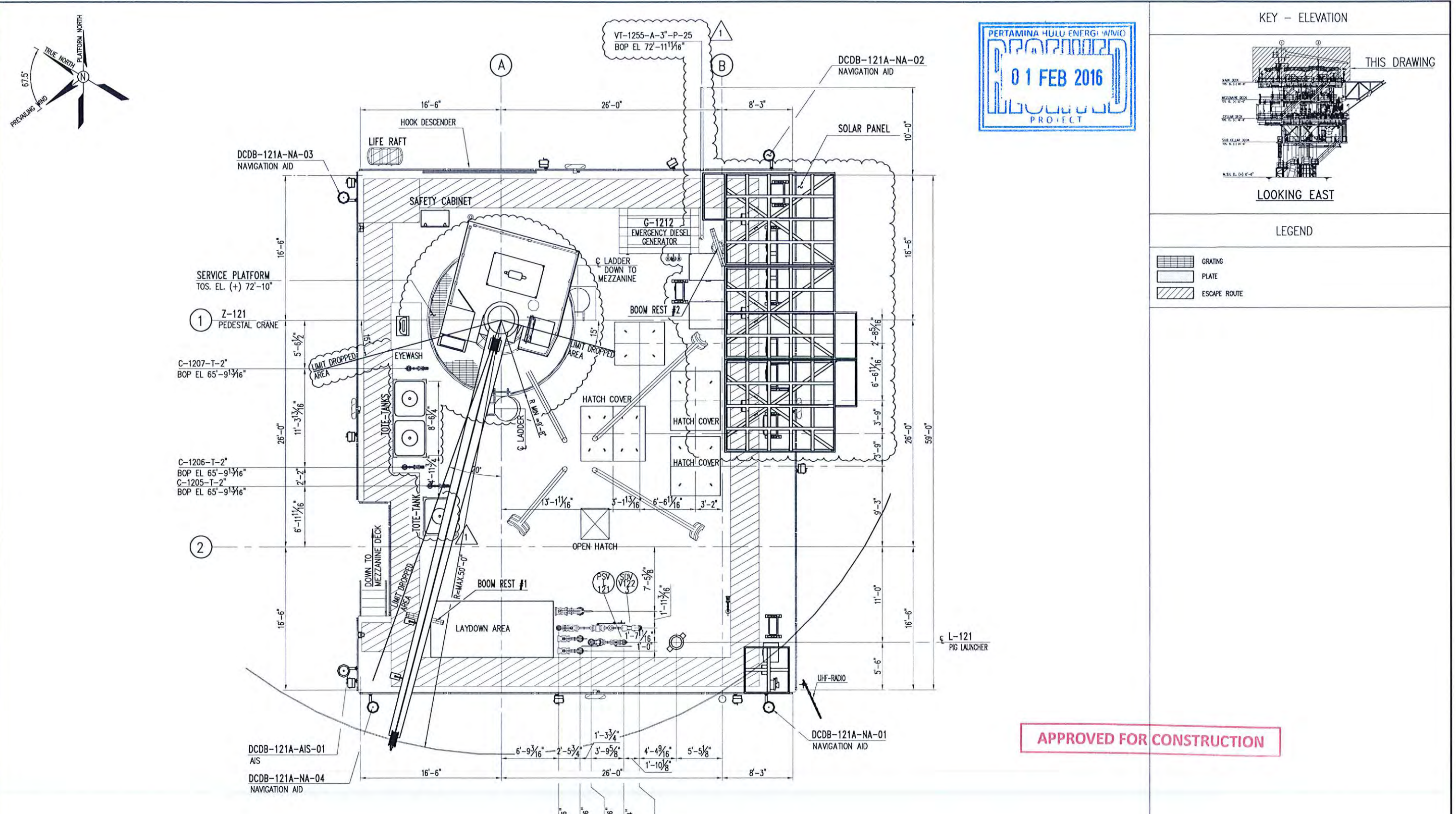
PHEWMO-PHE12-X-EQL-5001 EQUIPMENT LAYOUT MAIN DECK PHE-12-WELL PLATFORM

REFERENCE DRAWING NO

DESCRIPTION

PT. TIMAS SUPINDO PT. GUNANUSA UTAMA FABRICATORS





This drawing and the design it covers are the property of PERTAMINA PHE WMO. It is merely loaned on borrower's expressed agreement that it will not be transmitted, reproduced or disclosed to anyone or otherwise used except privately and then only in a manner stated in the written consent by the lender.

NOTE

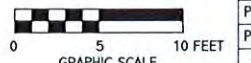
1. ALL DIMENSIONS ARE IN FEET & INCHES UNLESS OTHERWISE NOTED.

CONTRACT NO. 189A/TS/OPS/13

REVISIONS		REV.	BY	DATE	DESCRIPTION	PRE'D	CHK'D	APP'D	PROCESS SAFETY
1	AND	28-JAN-2016	RE-APPROVED FOR CONSTRUCTION	STR	AGW/AW				PHE WMO APP'D
0	LNG	29-DEC-2015	APPROVED FOR CONSTRUCTION	STR	AGW/AW	JH/AHR			PROCESS
C	TRI	18-DEC-2015	RE-ISSUED FOR APPROVAL	STR	AGW/AW	JH/AHR			ELECTRICAL
B	AND	30-NOV-2015	ISSUED FOR APPROVAL	STR	AGW/AW	JH/AHR			INSTRUMENT
A	AND	20-OCT-2015	ISSUED FOR REVIEW	STR	AGW/AW	JH/AHR			STRUCTURAL
									MECHANICAL
									PIPELINE
									Pipeline
									PROCESS SAFETY

REF. NO.

PROJECT TITLE : EPCI-1 : PHE-12, PHE-24, AND CPP2 PLATFORM AND PIPELINE

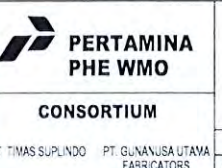


PHEWMO-PHE12-X-PPD-5002 PIPING LAYOUT BELOW MAIN DECK PHE 12

PHEWMO-PHE12-X-EQL-5001 EQUIPMENT LAYOUT MAIN DECK PHE-12 WELL PLATFORM

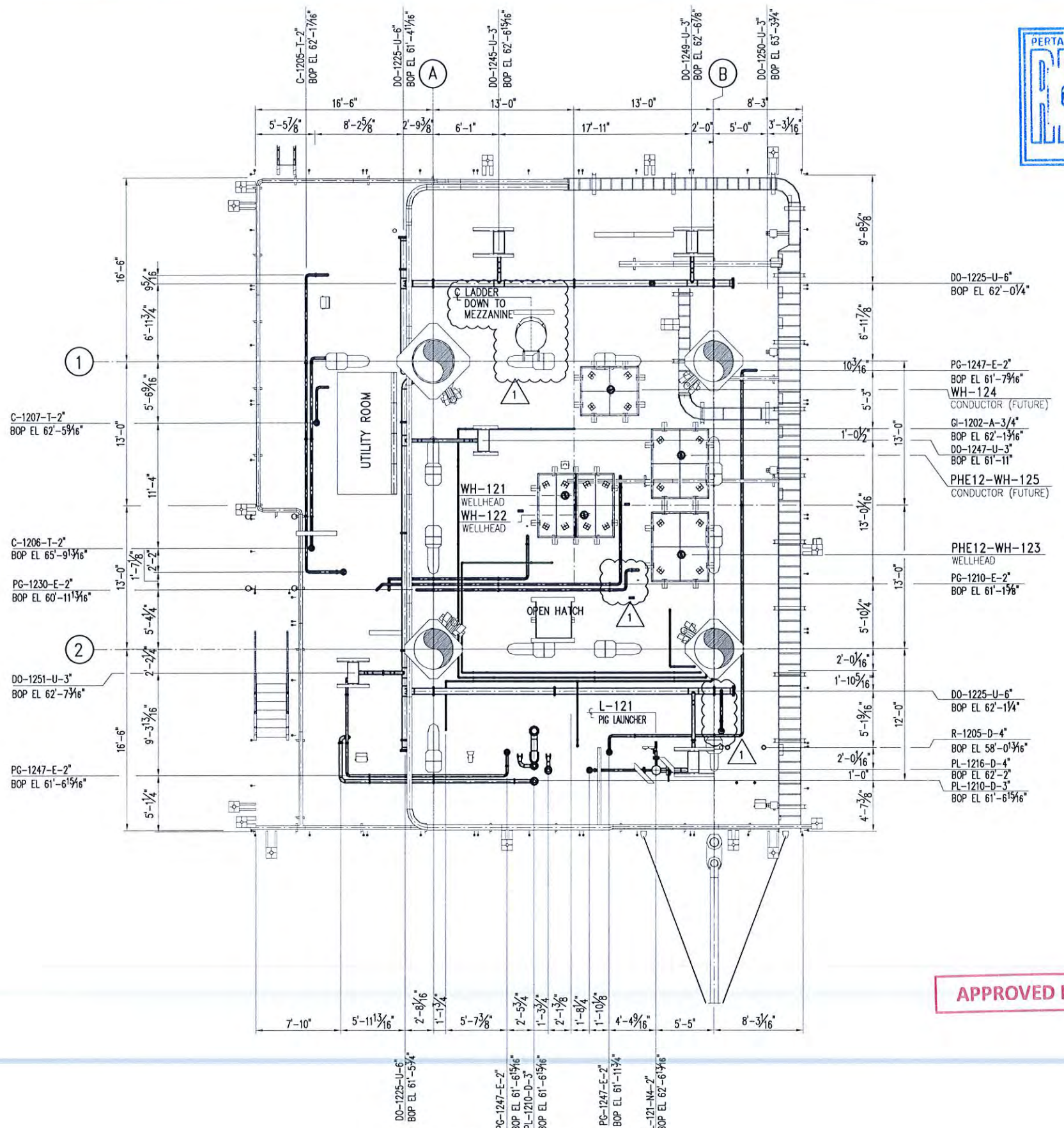
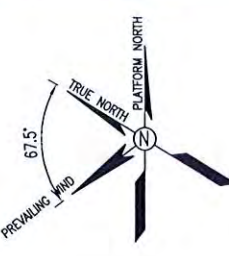
REFERENCE DRAWING NO. DESCRIPTION

3/16"-1'-0" PHEWMO-PHE12-X-PPD-5001 1 OF 1 1



PIPING LAYOUT  
ABOVE MAIN DECK  
PHE 12

SCALE	DOCUMENT No	SHEET	REV.
3/16"-1'-0"	PHEWMO-PHE12-X-PPD-5001	1	OF 1 1



**APPROVED FOR CONSTRUCTION**



BELOW MAIN DECK  
EL 59'-0" ~ 65'-0"

This drawing and the design it covers are the property of PERTAMINA PHE WVO. It is merely loaned or borrower's expressed agreement that it will not be transmitted, reproduced or disclosed to anyone or otherwise used except privately and then only in a manner stated in the written consent by the lender.

NOTE

1. ALL DIMENSIONS ARE IN FEET & INCHES UNLESS OTHERWISE NOTED.

CONTRACT NO. 180A /TS /OPS /13

	CONTRACT NO. 189A/TS/CPS/13		
	1	AND	28-JAN-2016 RE-APPROVED
	C	HER	29-DEC-2015 APPROVED FOR
	C	TRI	12-DEC-2015 RE-ISSUED APP
	B	AND	30-NOV-2015 ISSUED FOR AP
	A	AND	20-OCT-2015 ISSUED FOR RE
REVISIONS	REV	BY	DATE

REF. 1

ENGINEERING APPROVAL		
	BY	DATE
ISS		
ICAL		
VENT		
TURAL		
NICAL		
E	<u>97</u>	<u>05 FEB '16</u>
SAFETY		

JECT TITLE : EPCI-1 : PHE-12, PHE-24, AND CPP2 PLATFORM AND PIPELINE

Digitized by srujanika@gmail.com

Piping Layout

PERTAMINA PIPING LAYOUT

**RHE WMO** | **BETWEEN MAIN DECK**

**PRE WMO** | **BELOW MINI DECK** | **TIME 15**

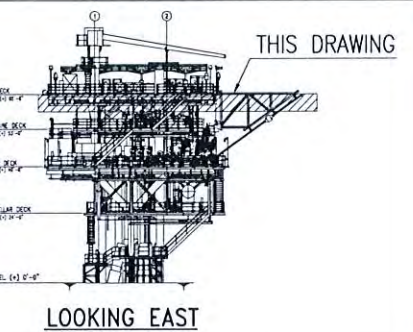
PHE 12

**CONSORTIUM**

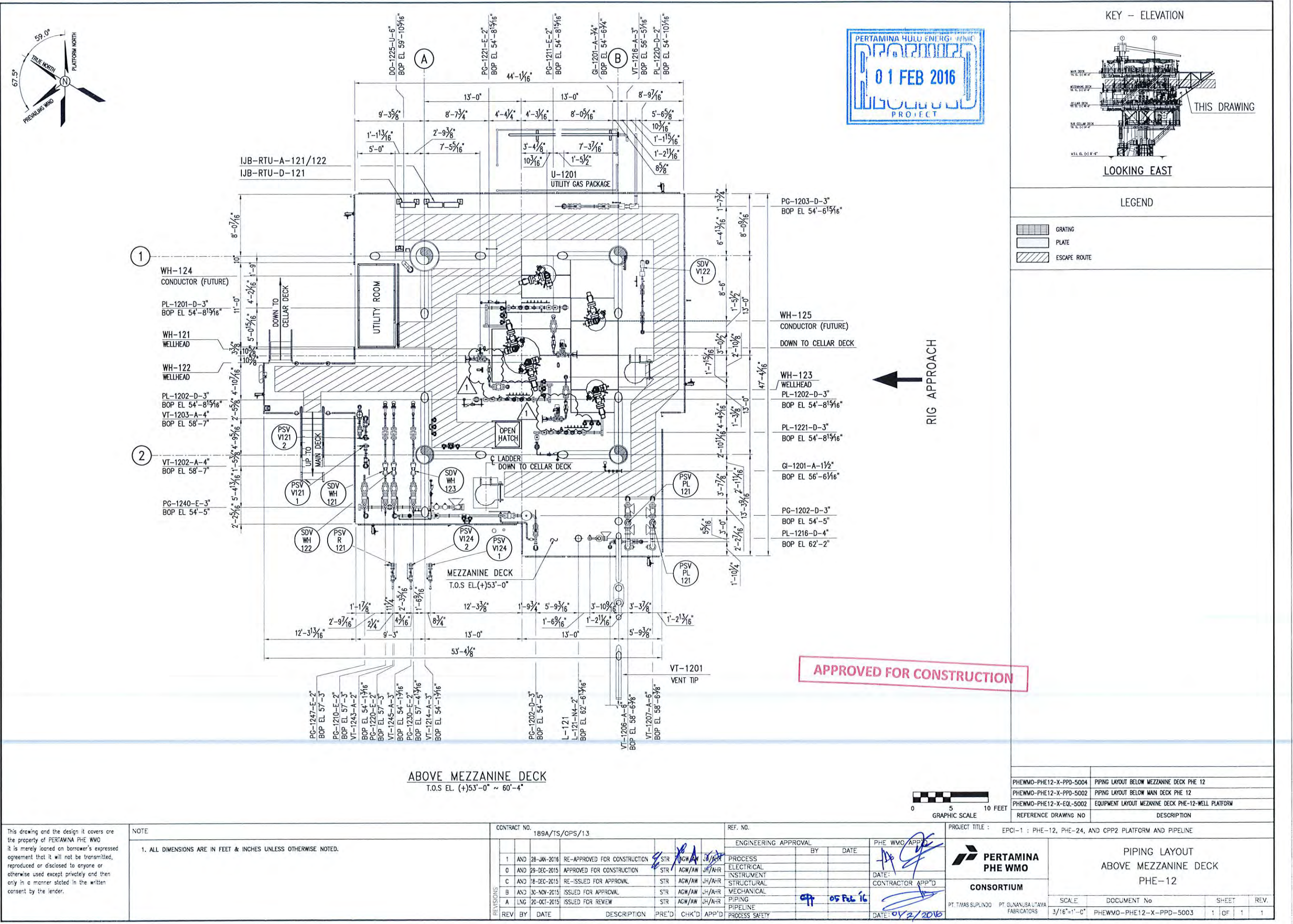
PT. GUNANGLA TAMA SCALE DOCUMENT No SHEET

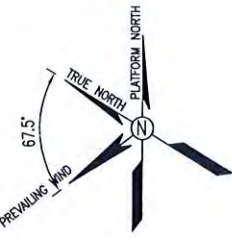
WAS SUSPENDED BY GOVERNMENT OF CANADA  
FABRICATORS LTD. 3/16"=1"-0" RHEMCO - RHE12-X - PPD - 5002 1 OF

KEY – ELEVATION



## LEGEND





C-1205-T-2"  
BOP EL 51'-8 9/16"

C-1206-T-2"  
BOP EL 51'-8 9/16"

C-1207-T-2"

PL-1201-D-3"  
BOP EL 51'-4 1 1/16"

B-1200 D-2"

PG-1250-E-3"

PG-1250-E-3"

SERVICE PLATFORM  
TOS. EL. (+) 49'-4"

VI-1241-A-2  
BOP EL 49'-9 3/16"  
VT-1240-A-2"

BOP EL 49'-9 1/16"

BELOW MEZZANINE DECK

EL. 46'-6" ~ 53'-0"

	CONTRACT NO. 189A/TS/OPS/13		
OTHERWISE NOTED.			
	1	AND	28-JAN-2016 RE-APPROVED FOR CONSTRUCTION
	C	TRI	29-DEC-2015 APPROVED FOR CONSTRUCTION
	C	AND	18-DEC-2015 RE-ISSUED FOR APPROVAL
	B	AND	30-NOV-2015 ISSUED FOR APPROVAL
	A	AND	20-OCT-2015 ISSUED FOR REVIEW
	REVISIONS	DATE	DESCRIPTION

This drawing and the design it covers are the property of PERTAMINA PHE WMC. It is merely loaned or borrower's expressed agreement that it will not be transmitted, reproduced or disclosed to anyone or otherwise used except privately and then only in a manner stated in the written consent by the lender.

NOTE

1. ALL DIMENSIONS ARE IN FEET & INCHES UNLESS OTHERWISE NOTED

**CONTRACT NO.**

100

		REF. NO.	ENGINEERING A/P
STR	AGW/AW	JH/AHR	PROCESS
STR	AGW/AW	JH/AHR	ELECTRICAL
STR	AGW/AW	JH/AHR	INSTRUMENT
STR	AGW/AW	JH/AHR	STRUCTURAL
STR	AGW/AW	JH/AHR	MECHANICAL
STR	AGW/AW	JH/AHR	P/PIPE
			Pipeline

 0      5      10 FEET		PHEWMO-PHE12-X-PPD-5003	PIPING LAYOUT ABOVE MEZZANINE DECK PHE 12
		PHEWMO-PHE12-X-EQL-5002	EQUIPMENT LAYOUT MEZZANINE DECK PHE-12 WELL PLATFORM
		REFERENCE DRAWING NO	DESCRIPTION
		PROJECT TITLE : EPCI-1 : PHE-12, PHE-24, AND CPP2 PLATFORM AND PIPELINE	
 DATE: CONTRACTOR APP'D		 <b>PERTAMINA PHE WMO</b>	PIPING LAYOUT BELOW MEZZANINE DECK PHE 12
 PT TIMAS SUPLINDO APP'D		<b>CONSORTIUM</b>	SCALE      DOCUMENT No      SHEET      REV.

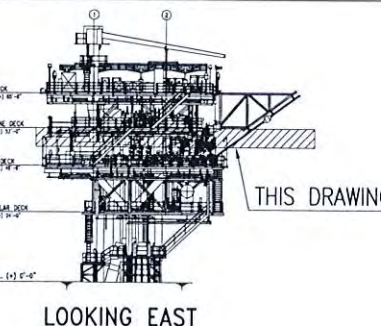
APPROVED FOR CONSTRUCTION

A scale bar consisting of a black and white checkered pattern followed by numerical markings. The markings are labeled "0", "5", and "10 FEET".

SCALE  
JECT TITLE : EPC  
 PERTA  
PHE W  
CONSORTIUM  
TIMAS SUPLINDO PT. GU

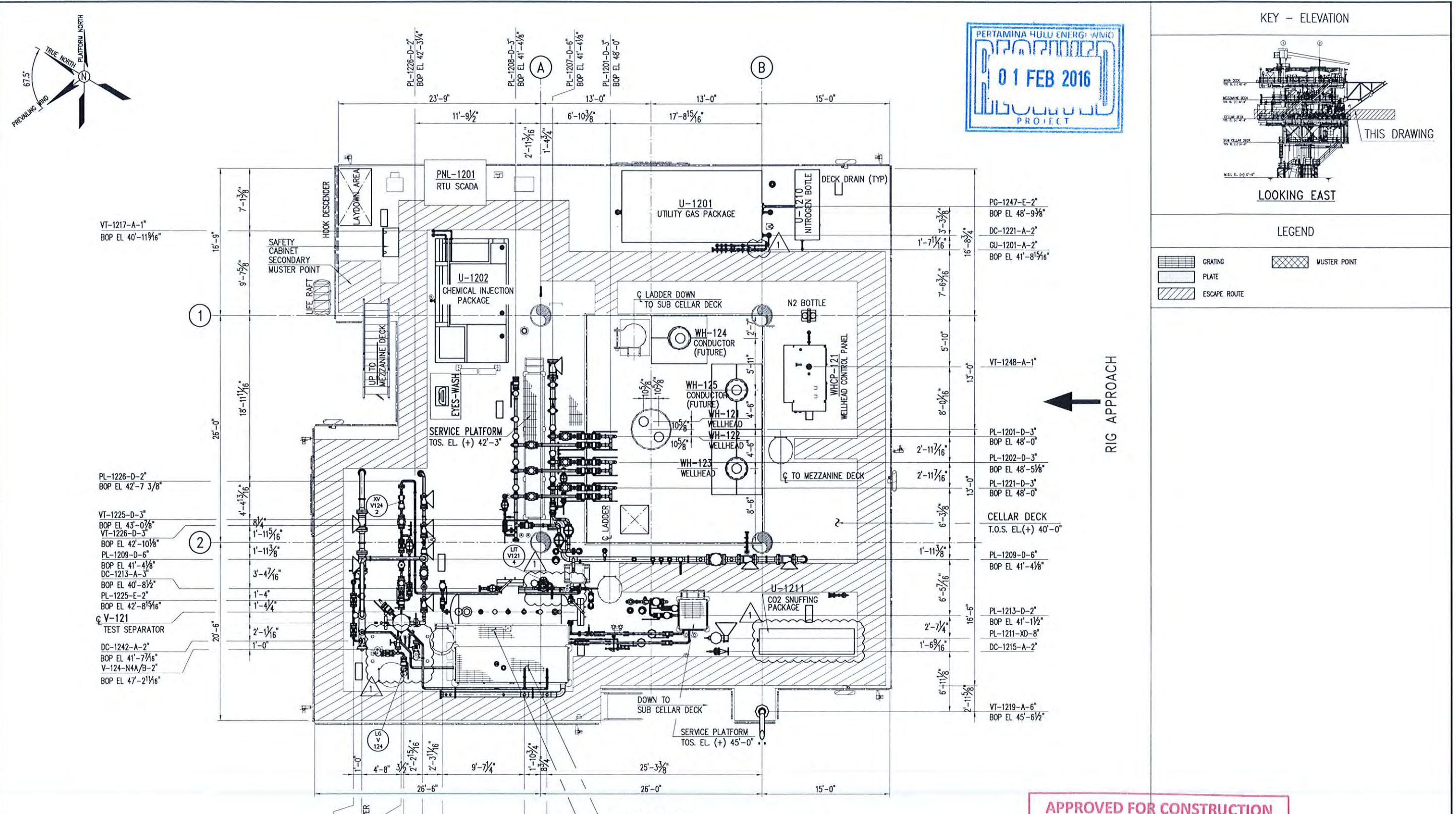
REFERENCE DRAWING NO	DESCRIPTION		
CI-1 : PHE-12, PHE-24, AND CPP2 PLATFORM AND PIPELINE			
<b>AMINA WMO UM</b>	<b>PIPING LAYOUT BELOW MEZZANINE DECK PHE 12</b>		
	<b>SCALE</b>	<b>DOCUMENT No</b>	<b>SHEET</b>
	NANUSA UNTAWA		

### KEY - ELEVATION



## LEGEND

RIGHT APPROACH



APPROVED FOR CONSTRUCTION

This drawing and the design it covers are the property of PERTAMINA PHE WMO. It is merely loaned on borrower's expressed agreement that it will not be transmitted, reproduced or disclosed to anyone or otherwise used except privately and then only in a manner stated in the written consent by the lender.

NOTE

1. ALL DIMENSIONS ARE IN FEET & INCHES UNLESS OTHERWISE NOTED.

CONTRACT NO. 189A/TS/OPS/13

REF. NO.

REVISIONS	REV.	BY	DATE	DESCRIPTION	PRE'D	CHK'D	APP'D	PROCESS SAFETY
	1	AND	28-JAN-2016	RE-APPROVED FOR CONSTRUCTION	X	STR	JH/AHR	PHE WMO APP'D
O	HER	29-DEC-2015	APPROVED FOR CONSTRUCTION	X	STR	JH/AHR	PROCESS	
C	TR	18-DEC-2015	RE-ISSUED FOR APPROVAL	X	STR	JH/AHR	ELECTRICAL	
B	AND	30-NOV-2015	ISSUED FOR APPROVAL	X	STR	JH/AHR	INSTRUMENT	
A	HER	20-OCT-2015	ISSUED FOR REVIEW	X	STR	JH/AHR	STRUCTURAL	
							VECHANICAL	
							PIPELINE	
							PIPING	
							PARTICLE	
							PIPELINE	
							PROCESS SAFETY	

PROJECT TITLE : EPCI-1 : PHE-12, PHE-24, AND CPP2 PLATFORM AND PIPELINE

PHEWMO-PHE12-X-PPD-5006 PIPING LAYOUT BELOW CELLAR DECK PHE-12  
PHEWMO-PHE12-X-PPD-5004 PIPING LAYOUT BELOW MEZZANINE DECK PHE-12  
PHEWMO-PHE12-X-EQL-5003 EQUIPMENT LAYOUT MEZZANINE DECK PHE-12 WELL PLATFORM

REFERENCE DRAWING NO. DESCRIPTION

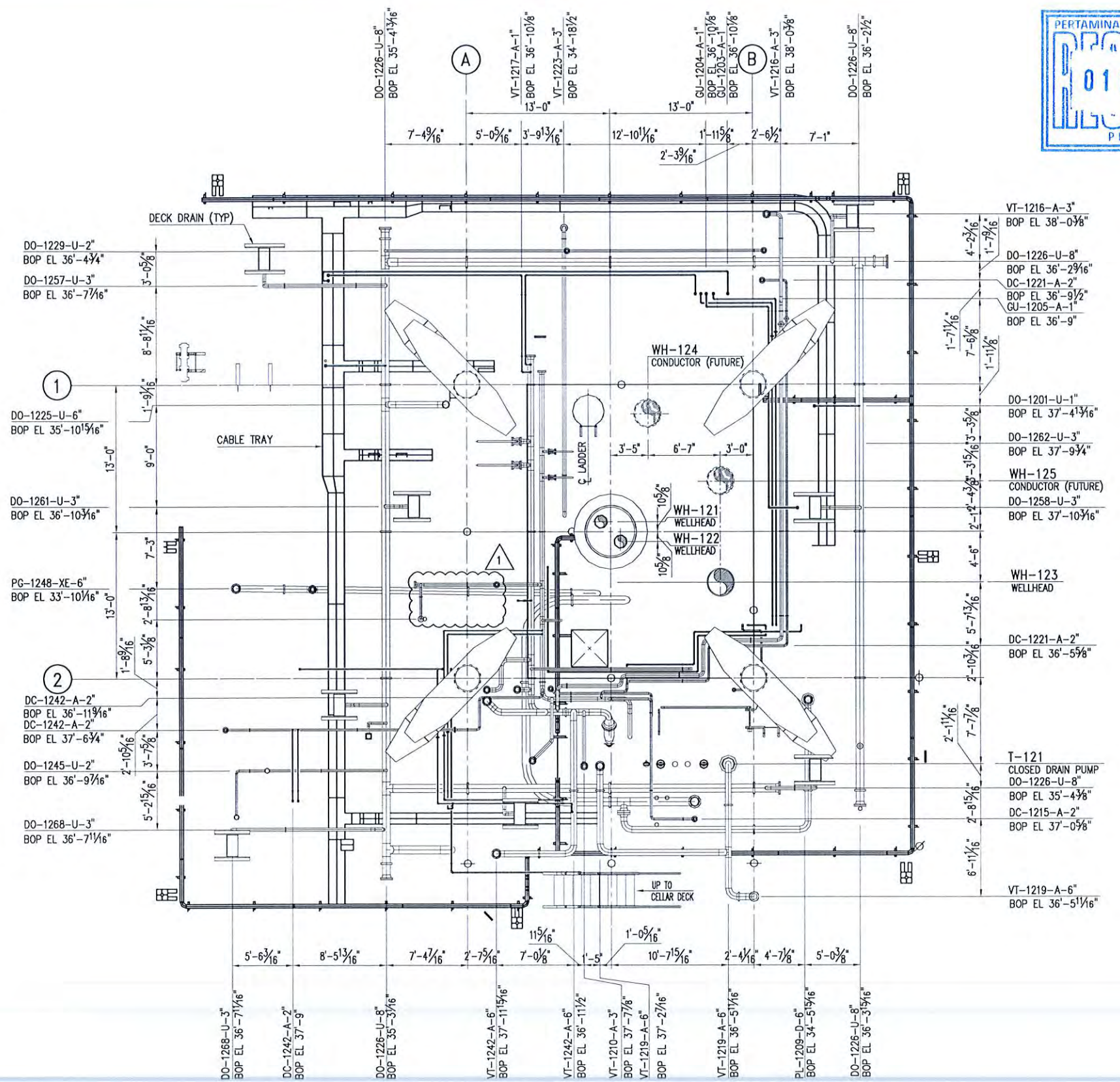
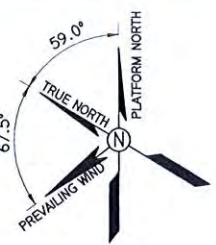


0 5 10 FEET

GRAPHIC SCALE

0 5 10 FEET

GRAPHIC SCALE</p



APPROVED FOR CONSTRUCTION



BELOW CELLAR DECK

CONTRACT NO. 182A/TS/OPS/13

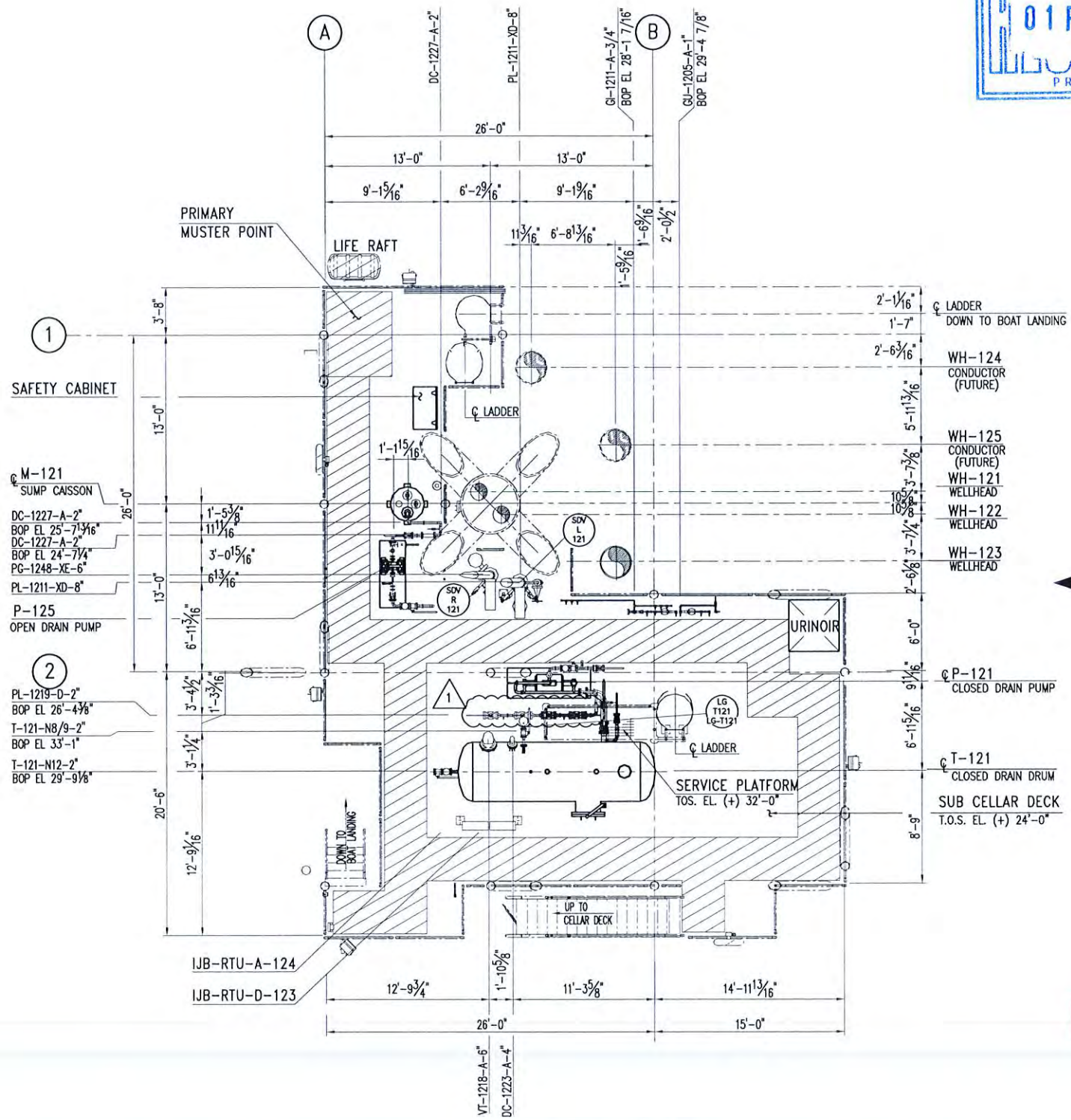
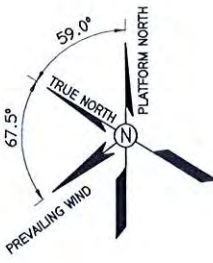
REF. NO.

PROJECT TITLE : EPCI-1 : PHE-12, PHE-24, AND CPP2 PLATFORM AND PIPELINE

REFERENCE DRAWING NO	DESCRIPTION
EWMO-PHE12-X-PPD-5007	PIPING LAYOUT SUBCELLAR DECK PHE-12
EWMO-PHE12-X-PPD-5005	PIPING LAYOUT CELLAR DECK PHE-12
EWMO-PHE12-X-EQL-5003	EQUIPMENT LAYOUT CELLAR DECK PHE-12-WELL PLATFORM

PIPING LAYOUT  
BELOW CELLAR DECK  
PHE-12

This drawing and the design it covers are the property of PERTAMINA PHE WMO it is merely loaned or borrower's expressed agreement that it will not be transmitted, reproduced or disclosed to anyone or otherwise used except privately and then only in a manner stated in the written consent by the lender.



APPROVED FOR CONSTRUCTION



This drawing and the design it covers are the property of PERTAMINA PHE WVO. It is merely loaned on borrower's expressed agreement that it will not be transmitted, reproduced or disclosed to anyone or otherwise used except privately and then only in a manner stated in the written consent by the lender.

**NOTE**

CONTRACT NO. 180A/TG/OPS/13

REF. NO.

PROJECT TITLE : EPCI-1 : PHE-12, PHE-24, AND CPP2 PLATFORM AND PIPELINE

 <b>PERTAMINA</b> <b>PHE WMO</b>  <b>CONSORTIUM</b>	<b>PIPING LAYOUT</b> <b>ABOVE SUBCELLAR DECK</b> <b>PHE 12</b>
PT. TIMAS SUPLINDO    PT. GUNANUSA UTAMA FABRICATORS	<b>SCALE</b> <b>DOCUMENT No</b> <b>SHEET</b> <b>REV.</b> 3/16"=1'-0"    PHEWMO-PHE12-X-PPD-5007    1    CF    1    1

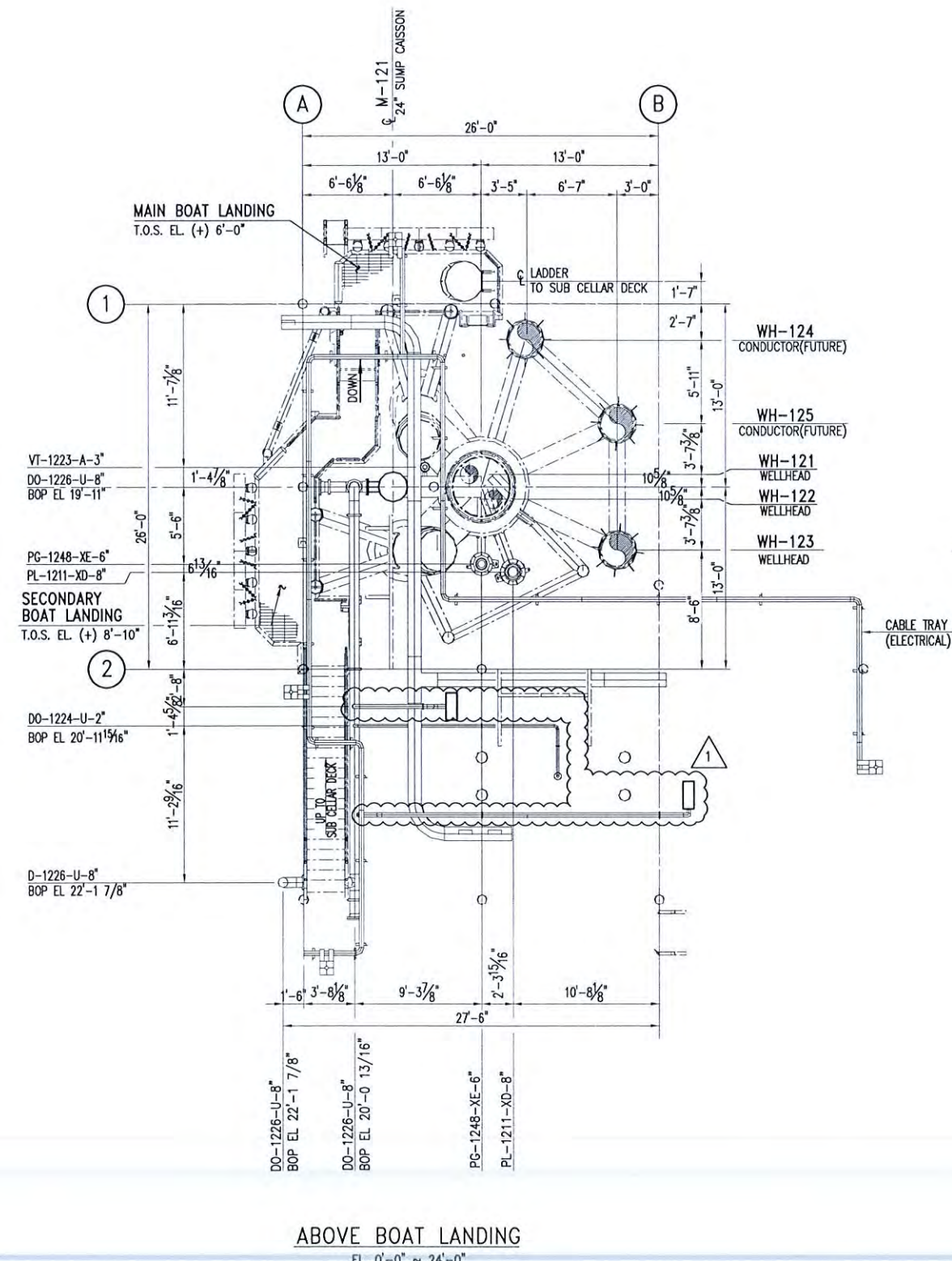
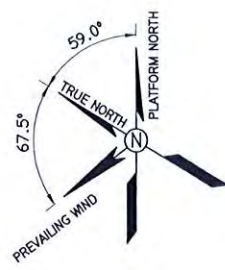


## AMINA

UM

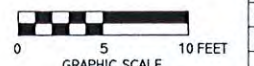
PIPING LAYOUT  
BOVE SUBCELLAR DECK  
PHE 12

DOCUMENT No	SHEET		REV.
PHEWMO-PHE12-X-PPC-5007	1	OF	1



RIG APPROACH

APPROVED FOR CONSTRUCTION



PHEWMO-PHE12-X-PPD-5007 PIPING LAYOUT SUBCELLAR DECK PHE 12  
PHEWMO-PHE12-X-EQL-5004 EQUIPMENT LAYOUT SUB CELLAR DECK AND BOAT LANDING PHE-12 WELL PLATFORM  
REFERENCE DRAWING NO. DESCRIPTION

This drawing and the design it covers are the property of PERTAMINA PHE WMO. It is merely loaned on borrower's expressed agreement that it will not be transmitted, reproduced or disclosed to anyone or otherwise used except privately and then only in a manner stated in the written consent by the lender.

NOTE

CONTRACT NO. 189A/TS/CPS/13

REF. NO.

PROJECT TITLE : EPCI-1 : PHE-12, PHE-24, AND CPP2 PLATFORM AND PIPELINE

REVISIONS				ENGINEERING APPROVAL				PHE WMO APP'D	
REV	BY	DATE	DESCRIPTION	PRE'D	CHK'D	APP'D	PROCESS	BY	DATE
1	AND	28-JAN-2016	RE-APPROVED FOR CONSTRUCTION	STR	AGW	JH-A-R	ELECTRICAL		
0	WH	29-DEC-2015	APPROVED FOR CONSTRUCTION	STR	AGW	JH-A-R	INSTRUMENT		
C	TR	18-DEC-2015	RE-ISSUED FOR APPROVAL	STR	AGW	JH-A-R	STRUCTURAL		
B	AND	30-NOV-2015	ISSUED FOR APPROVAL	STR	AGW	JH-A-R	MECANICAL		
A	HER	20-OCT-2015	ISSUED FOR REVIEW	STR	AGW	JH-A-R	PIPELINE	05 FEB 16	CONTRACTOR APP'D
							PROCESS SAFETY		

DATE: 01/2/2016

PROJECT

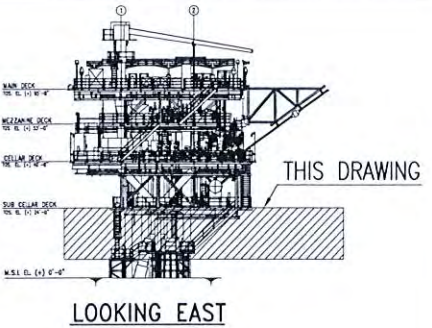
CONSORTIUM

PT. TIMAS SUPLINDO

PT. GUNANUSA UTAMA

FABRICATORS

KEY - ELEVATION



LEGEND

GRATING	MUSTER POINT
PLATE	
ESCAPE ROUTE	

PIPING LAYOUT ABOVE BOAT LANDING  
PHE 12

SCALE DOCUMENT No. SHEET REV.  
3/16"=1'-0" PHEWMO-PHE12-X-PPD-5008 1 OF 1 1

Perhitungan Keandalan Member 403-402

No	Rng1	$\sigma_{xx}$	RNG2	$\sigma_{yy}$	RNG3	$\sigma_{zz}$	RNG4	$\sigma_{xz}$	RNG5	$\sigma_{zy}$	RNG6	$\sigma_{\text{ultimate}}$	$\sigma_{\text{vm}}$	z	Event
1	0,766	60,935	0,6806	1,3233	0,97	1,612	0,8448	0,261	0,3509	0,195	0,415	62,905	59,47	1,058	Handal
2	0,978	80,303	0,23	0,9029	0,011	0,326	0,5563	0,209	0,8742	0,296	0,994	89,568	79,692	1,124	Handal
3	0,838	64,82	0,0962	0,7064	0,244	0,816	0,6153	0,218	0,208	0,166	0,551	66,238	64,061	1,034	Handal
4	0,61	54,236	0,0742	0,6571	0,914	1,452	0,2048	0,151	0,8569	0,29	0,748	71,513	53,189	1,345	Handal
5	0,501	50,08	0,8664	1,5461	0,855	1,357	0,8153	0,254	0,3912	0,202	0,673	69,375	48,632	1,427	Handal
6	0,399	46,18	0,6677	1,3109	0,102	0,637	0,9654	0,309	0,9156	0,311	0,55	66,218	45,216	1,464	Handal
7	0,084	29,354	0,876	1,562	0,104	0,642	0,4561	0,193	0,2437	0,174	0,13	54,016	28,267	1,911	Handal
8	0,952	75,103	0,4358	1,1038	0,736	1,225	0,0172	0,073	0,0298	0,096	0,128	53,904	73,938	0,729	Gagal
9	0,261	40,412	0,9504	1,7337	0,032	0,459	0,9068	0,279	0,4421	0,21	0,966	82,769	39,336	2,104	Handal
10	0,278	41,197	0,7594	1,4051	0,508	1,036	0,3349	0,174	0,1399	0,149	0,855	75,327	39,979	1,884	Handal
11	0,163	35,267	0,2958	0,9733	0,87	1,378	0,9939	0,351	0,2679	0,179	0,603	67,541	34,1	1,981	Handal
12	0,572	52,76	0,6487	1,2929	0,593	1,103	0,0772	0,115	0,4398	0,21	0,16	55,324	51,564	1,073	Handal
13	0,598	53,783	0,239	0,9131	0,078	0,591	0,8292	0,257	0,4174	0,206	0,238	58,056	53,035	1,095	Handal
14	0,445	47,962	0,8088	1,464	0,109	0,65	0,5431	0,206	0,7637	0,267	0,038	47,658	46,914	1,016	Handal
15	0,787	61,984	0,993	2,0148	0,481	1,015	0,933	0,29	0,8357	0,284	0,687	69,742	60,479	1,153	Handal
16	0,637	55,301	0,9206	1,6505	0,369	0,926	0,377	0,181	0,7237	0,259	0,511	65,262	54,019	1,208	Handal
17	0,504	50,192	0,0964	0,7068	0,997	1,87	0,3085	0,17	0,9405	0,323	0,613	67,812	48,919	1,386	Handal
18	0,55	51,909	0,2983	0,9758	0,864	1,37	0,1948	0,148	0,2797	0,181	0,948	80,884	50,739	1,594	Handal
19	0,949	74,608	0,0912	0,696	0,935	1,499	0,8709	0,268	0,7276	0,26	0,016	44,148	73,517	0,601	Gagal
20	0,225	38,722	0,669	1,3121	0,394	0,947	0,2876	0,166	0,471	0,215	0,76	71,878	37,596	1,912	Handal
...	...	...	...	...	...	...	...	...	...	...	...	...	...	...	...
1000	0,75	60,158	0,4413	1,1086	0,348	0,91	0,2381	0,157	0,2239	0,17	0,416	62,931	59,15	1,064	Handal

Perhitungan Keandalan Member 102-292

No	Rng1	$\sigma_{xx}$	RNG2	$\sigma_{yy}$	RNG3	$\sigma_{zz}$	RNG4	$\sigma_{xz}$	RNG5	$\sigma_{zy}$	RNG6	$\sigma_{\text{ultimate}}$	$\sigma_{\text{vm}}$	z	Event
1	0,179	0,9339	0,484	20,174	0,996	11,71	0,7486	4,54	0,5525	16,21	0,15	54,895	33,597	1,634	Handal
2	0,636	1,4249	0,4965	20,366	0,282	5,361	0,1429	2,569	0,4757	15,3	0,631	68,267	31,972	2,135	Handal
3	0,721	1,5171	0,6668	23,061	0,183	4,725	0,9386	5,53	0,4822	15,38	0,419	63,001	34,739	1,814	Handal
4	0,516	1,3054	0,1191	13,194	0,813	8,207	0,5587	3,947	0,1183	10,06	0,566	66,632	21,377	3,117	Handal
5	0,244	1,0213	0,5718	21,529	0,315	5,543	0,7938	4,71	0,224	12,04	0,306	60,062	29,152	2,06	Handal
6	4E-04	-0,019	0,8239	26,119	0,286	5,383	0,532	3,871	0,9368	22,74	0,065	50,268	46,551	1,08	Handal
7	0,039	0,6101	0,6911	23,476	0,669	7,328	0,8316	4,869	0,6975	18,01	0,839	74,659	38,19	1,955	Handal
8	0,511	1,3008	0,0935	12,335	0,166	4,593	0,6698	4,278	0,4648	15,18	0,079	51,223	29,021	1,765	Handal
9	0,36	1,1512	0,7387	24,337	0,235	5,075	0,9849	6,239	0,5805	16,54	0,931	79,459	37,41	2,124	Handal
10	0,816	1,6386	0,5535	21,244	0,288	5,39	0,0781	2,172	0,018	5,784	0,509	65,229	20,962	3,112	Handal
11	0,699	1,4913	0,3773	18,505	0,587	6,905	0,4026	3,5	0,2303	12,14	0,802	73,286	26,562	2,759	Handal
12	0,466	1,2573	0,2516	16,318	0,962	9,936	0,9744	5,992	0,4457	14,95	0,072	50,733	30,819	1,646	Handal
13	0,895	1,775	0,3421	17,929	0,03	2,826	0,3572	3,365	0,534	15,99	0,827	74,192	32,341	2,294	Handal
14	0,507	1,2972	0,0582	10,804	0,372	5,843	0,3878	3,457	0,4656	15,19	0,878	76,35	28,205	2,707	Handal
15	0,714	1,5082	0,4513	19,671	0,928	9,315	0,3766	3,423	0,355	13,85	0,395	62,411	29,322	2,129	Handal
16	0,987	2,1486	0,3323	17,763	0,344	5,697	0,7171	4,431	0,6116	16,92	0,392	62,322	33,441	1,864	Handal
17	0,366	1,1575	0,7392	24,346	0,334	5,646	0,6721	4,286	0,5298	15,94	0,172	55,774	35,652	1,564	Handal
18	0,739	1,5379	0,7468	24,491	0,233	5,065	0,6097	4,096	0,3307	13,54	0,618	67,938	32,539	2,088	Handal
19	0,392	1,1841	0,7761	25,071	0,804	8,147	0,473	3,703	0,1831	11,36	0,478	64,466	29,687	2,172	Handal
20	0,608	1,3961	0,8567	26,947	0,939	9,483	0,5596	3,95	0,9268	22,38	0,198	56,722	45,401	1,249	Handal
...	...	...	...	...	...	...	...	...	...	...	...	...	...	...	...
1000	0,048	0,6449	0,6218	22,32	0,691	7,451	0,252	3,022	0,8975	21,52	0,898	77,37	42,251	1,831	Handal

Perhitungan Keandalan Member 392-492

No	Rng1	$\sigma_{xx}$	RNG2	$\sigma_{yy}$	RNG3	$\sigma_{zz}$	RNG4	$\sigma_{xz}$	RNG5	$\sigma_{zy}$	RNG6	$\sigma_{\text{ultimate}}$	$\sigma_{\text{vm}}$	z	Event
1	0,232	12,663	0,7241	41,2	0,731	8,353	0,0515	0,286	0,8966	2,454	0,892	77,072	31,213	2,469	Handal
2	0,395	14,924	0,0676	19,29	0,754	8,504	0,1712	0,401	0,3639	1,594	0,33	60,708	9,8184	6,183	Handal
3	0,078	9,3313	0,1136	22,295	0,324	6,085	0,0822	0,326	0,6466	1,981	0,045	48,477	15,256	3,177	Handal
4	0,956	24,546	0,4646	34,028	0,295	5,908	0,6211	0,612	0,0641	0,968	0,595	67,349	24,858	2,709	Handal
5	0,644	18,017	0,5088	35,191	0,288	5,866	0,3697	0,504	0,3674	1,599	0,601	67,496	25,685	2,628	Handal
6	0,48	15,97	0,2753	28,7	0,317	6,045	0,601	0,603	0,4942	1,772	0,617	67,912	19,936	3,407	Handal
7	0,737	19,304	0,1612	24,581	0,918	9,999	0,7846	0,692	0,1042	1,108	0,235	57,972	12,987	4,464	Handal
8	0,274	13,301	0,482	34,486	0,131	4,681	0,51	0,564	0,9367	2,596	0,968	83,086	26,96	3,082	Handal
9	0,161	11,408	0,1041	21,76	0,863	9,365	0,315	0,479	0,9697	2,782	0,273	59,116	12,506	4,727	Handal
10	0,292	13,558	0,3041	29,585	0,753	8,498	0,1144	0,358	0,0121	0,577	0,136	54,279	19,103	2,841	Handal
11	0,677	18,448	0,8778	47,171	0,879	9,52	0,273	0,459	0,3345	1,552	0,212	57,212	34,19	1,673	Handal
12	0,502	16,246	0,4272	33,035	0,556	7,345	0,6945	0,645	0,1412	1,206	0,453	63,84	22,719	2,81	Handal
13	0,182	11,794	0,0674	19,279	0,826	9,035	0,3635	0,501	0,7033	2,065	0,587	67,152	9,8912	6,789	Handal
14	0,134	10,837	0,0488	17,584	0,876	9,493	0,2376	0,44	0,8102	2,249	0,061	49,918	8,494	5,877	Handal
15	0,056	8,5052	0,898	48,284	0,975	11,18	0,3313	0,487	0,9624	2,73	0,657	68,941	38,807	1,777	Handal
16	0,285	13,454	0,7827	43,155	0,773	8,632	0,1716	0,401	0,9567	2,695	0,285	59,474	32,724	1,817	Handal
17	0,027	6,8796	0,1158	22,412	0,333	6,135	0,2219	0,431	0,5672	1,87	0,514	65,343	16,261	4,018	Handal
18	0,747	19,463	0,544	36,12	0,952	10,57	0,0701	0,312	0,0912	1,068	0,874	76,146	22,548	3,377	Handal
19	0,901	22,488	0,4914	34,733	0,736	8,384	0,6109	0,607	0,572	1,877	0,068	50,432	23,092	2,184	Handal
20	0,199	12,1	0,4668	34,086	0,369	6,344	0,1099	0,354	0,3541	1,58	0,852	75,208	25,513	2,948	Handal
...	...	...	...	...	...	...	...	...	...	...	...	...	...	...	...
1000	0,655	18,159	0,251	27,92	0,889	9,631	0,1748	0,403	0,3645	1,595	0,927	79,153	16,105	4,915	Handal

Perhitungan Keandalan Member 792-802

No	Rng1	$\sigma_{xx}$	RNG2	$\sigma_{yy}$	RNG3	$\sigma_{zz}$	RNG4	$\sigma_{xz}$	RNG5	$\sigma_{zy}$	RNG6	$\sigma_{\text{ultimate}}$	$\sigma_{\text{vm}}$	z	Event
1	0,649	9,9082	0,5495	44,179	0,483	30,43	0,0295	4,759	0,6945	19,67	0,816	73,76	46,06	1,601	Handal
2	0,511	8,9623	0,4296	40,323	0,299	25,95	0,9861	18,23	0,5811	18,12	0,89	76,983	52,161	1,476	Handal
3	0,632	9,7927	0,507	42,813	0,91	43,24	0,3672	9,863	0,6029	18,41	0,295	59,743	49,119	1,216	Handal
4	0,819	11,322	0,6004	45,841	0,564	32,31	0,1906	8,095	0,8239	21,83	0,438	63,488	50,342	1,261	Handal
5	0,097	5,4274	0,1372	28,623	0,655	34,51	0,631	12,08	0,022	6,754	0,547	66,149	35,832	1,846	Handal
6	0,188	6,5244	0,7791	52,419	0,563	32,29	0,3587	9,788	0,4652	16,62	0,607	67,647	52,001	1,301	Handal
7	0,811	11,242	0,4476	40,908	0,486	30,5	0,5945	11,77	0,814	21,64	0,885	76,724	50,003	1,534	Handal
8	0,781	10,96	0,9685	66,349	0,906	43,02	0,1167	7,055	0,048	8,547	0,406	62,679	51,85	1,209	Handal
9	0,699	10,279	0,9958	76,266	0,565	32,33	0,372	9,904	0,9563	25,82	0,342	61,035	75,369	0,81	Gagal
10	0,937	12,978	0,513	43,007	0,522	31,32	0,4991	10,97	0,8932	23,44	0,635	68,376	51,931	1,317	Handal
11	0,764	10,812	0,0176	15,687	0,642	34,19	0,4673	10,71	0,4698	16,68	0,362	61,547	40,439	1,522	Handal
12	0,13	5,8888	0,885	57,925	0,487	30,52	0,5466	11,37	0,4805	16,82	0,581	66,983	57,175	1,172	Handal
13	0,907	12,414	0,8963	58,702	0,491	30,6	0,6388	12,15	0,3935	15,69	0,202	56,872	53,033	1,072	Handal
14	0,557	9,2715	0,121	27,644	0,294	25,81	0,2533	8,793	0,4381	16,27	0,572	66,769	36,517	1,828	Handal
15	0,348	7,8446	0,6205	46,51	0,858	40,71	0,1959	8,159	0,4036	15,82	0,455	63,901	47,488	1,346	Handal
16	0,255	7,1354	0,1519	29,453	0,097	18,83	0,4715	10,74	0,2493	13,6	0,033	47,083	35,713	1,318	Handal
17	0,789	11,032	0,7029	49,398	0,903	42,83	0,2614	8,876	0,4019	15,8	0,231	57,812	47,413	1,219	Handal
18	0,486	8,7954	0,2727	34,863	0,221	23,71	0,9506	16,42	0,4986	17,05	0,141	54,524	46,84	1,164	Handal
19	0,654	9,9456	0,0264	17,842	0,024	12,54	0,6943	12,65	0,0279	7,275	0,899	77,442	26,225	2,953	Handal
20	0,448	8,5405	0,6394	47,148	0,709	35,92	0,275	9,011	0,4442	16,35	0,833	74,413	47,211	1,576	Handal
...	...	...	...	...	...	...	...	...	...	...	...	...	...	...	...
1000	0,779	10,943	0,3922	39,095	0,226	23,85	0,9446	16,23	0,2345	13,36	0,299	59,853	43,839	1,365	Handal

Perhitungan Keandalan Member 702-802

No	Rng1	$\sigma_{xx}$	RNG2	$\sigma_{yy}$	RNG3	$\sigma_{zz}$	RNG4	$\sigma_{xz}$	RNG5	$\sigma_{zy}$	RNG6	$\sigma_{\text{ultimate}}$	$\sigma_{\text{vm}}$	z	Event
1	0,621	9,5909	0,1321	27,239	0,463	34,15	0,5971	14,79	0,5335	17,7	0,387	62,196	45,566	1,365	Handal
2	0,336	7,6644	0,4525	39,493	0,763	42,67	0,2534	11,03	0,4262	16,3	0,596	67,379	47,812	1,409	Handal
3	0,061	4,7116	0,5284	41,835	0,135	23,51	0,6725	15,62	0,2125	13,13	0,897	77,333	47,773	1,619	Handal
4	0,283	7,2693	0,1483	28,136	0,083	20,5	0,4996	13,77	0,1554	12,01	0,023	45,464	36,548	1,244	Handal
5	0,624	9,6119	0,463	39,817	0,654	39,29	0,3026	11,63	0,5286	17,63	0,151	54,953	47,279	1,162	Handal
6	0,074	4,964	0,436	38,981	0,83	45,18	0,7683	16,8	0,9607	26,37	0,156	55,134	65,869	0,837	Gagal
7	0,949	13,095	0,3705	36,898	0,689	40,3	0,1623	9,701	0,5698	18,17	0,563	66,557	43,954	1,514	Handal
8	0,857	11,589	0,1286	27,039	0,068	19,39	0,0271	5,817	0,2608	13,94	0,325	60,586	29,388	2,062	Handal
9	0,637	9,7037	0,5134	41,373	0,291	29,31	0,1138	8,785	0,7806	21,27	0,206	57,015	48,529	1,175	Handal
10	0,813	11,124	0,6779	46,636	0,993	60,96	0,2572	11,08	0,8634	22,93	0,752	71,625	62,619	1,144	Handal
11	0,734	10,426	0,7138	47,897	0,127	23,09	0,9195	19,56	0,2961	14,49	0,386	62,18	53,549	1,161	Handal
12	0,513	8,8659	0,6005	44,088	0,212	26,69	0,2009	10,31	0,2915	14,42	0,555	66,343	43,275	1,533	Handal
13	0,778	10,795	0,2197	31,459	0,665	39,61	0,7275	16,27	0,8206	22,01	0,52	65,5	53,938	1,214	Handal
14	0,066	4,8041	0,7414	48,918	0,55	36,44	0,2823	11,39	0,3912	15,83	0,619	67,95	51,886	1,31	Handal
15	0,876	11,82	0,3973	37,761	0,845	45,8	0,4049	12,78	0,8038	21,69	0,633	68,309	53,359	1,28	Handal
16	0,808	11,072	0,7717	50,107	0,603	37,87	0,656	15,43	0,5586	18,02	0,826	74,156	53,707	1,381	Handal
17	0,305	7,4336	0,3638	36,68	0,418	32,93	0,9548	20,77	0,2651	14,01	0,008	41,566	51,402	0,809	Gagal
18	0,119	5,6758	0,9102	57,452	0,615	38,2	0,1307	9,13	0,3617	15,43	0,074	50,928	54,942	0,927	Gagal
19	0,072	4,9239	0,8773	55,236	0,711	40,99	0,541	14,2	0,7527	20,8	0,737	71,188	62,606	1,137	Handal
20	0,901	12,171	0,9173	58,001	0,591	37,55	0,8921	18,88	0,4452	16,55	0,666	69,193	58,929	1,174	Handal
...	...	...	...	...	...	...	...	...	...	...	...	...	...	...	...
1000	0,958	13,341	0,1829	29,849	0,378	31,85	0,1245	9,008	0,5406	17,79	0,285	59,461	38,756	1,534	Handal

Perhitungan Keandalan Member 302-402

No	Rng1	$\sigma_{xx}$	RNG2	$\sigma_{yy}$	RNG3	$\sigma_{zz}$	RNG4	$\sigma_{xz}$	RNG5	$\sigma_{zy}$	RNG6	$\sigma_{\text{ultimate}}$	$\sigma_{\text{vm}}$	z	Event
1	0,731	61,533	0,3128	0,9049	0,438	0,743	0,6124	0,347	0,7227	0,553	0,097	52,33	60,72	0,862	Gagal
2	0,333	45,235	0,6455	1,1787	0,712	0,911	0,8618	0,424	0,1264	0,309	0,137	54,324	44,2	1,229	Handal
3	0,305	43,994	0,0867	0,627	0,29	0,651	0,1097	0,202	0,0783	0,27	0,363	61,585	43,359	1,42	Handal
4	0,708	60,479	0,452	1,0217	0,194	0,578	0,4954	0,319	0,7979	0,588	0,288	59,559	59,692	0,998	Gagal
5	0,828	66,71	0,8756	1,4267	0,767	0,95	0,1486	0,22	0,454	0,454	0,488	64,701	65,529	0,987	Gagal
6	0,68	59,232	0,1469	0,7261	0,706	0,906	0,0478	0,16	0,5417	0,485	0,87	75,994	58,423	1,301	Handal
7	0,153	36,008	0,467	1,0336	0,49	0,774	0,5995	0,344	0,6793	0,536	0,299	59,846	35,122	1,704	Handal
8	0,469	50,755	0,0246	0,4346	0,825	0,999	0,2295	0,249	0,5714	0,495	0,871	76,014	50,05	1,519	Handal
9	0,371	46,824	0,929	1,5269	0,167	0,554	0,5982	0,344	0,159	0,329	0,391	62,302	45,798	1,36	Handal
10	0,847	67,91	0,9618	1,6235	0,396	0,718	0,1328	0,213	0,9815	0,764	0,116	53,369	66,758	0,799	Gagal
11	0,453	50,113	0,7136	1,2393	0,481	0,769	0,3286	0,277	0,404	0,436	0,462	64,066	49,118	1,304	Handal
12	0,818	66,109	0,8828	1,4381	0,439	0,744	0,4589	0,31	0,3875	0,43	0,576	66,87	65,027	1,028	Handal
13	0,54	53,524	0,0624	0,5719	0,794	0,972	0,5874	0,341	0,5648	0,493	0,031	46,791	52,764	0,887	Gagal
14	0,778	63,886	0,5725	1,1182	0,703	0,905	0,1859	0,234	0,1042	0,293	0,707	70,303	62,878	1,118	Handal
15	0,418	48,72	0,2228	0,8174	0,976	1,241	0,9851	0,528	0,7756	0,577	0,204	56,926	47,711	1,193	Handal
16	0,498	51,866	0,5994	1,14	0,404	0,723	0,5012	0,32	0,3815	0,427	0,326	60,616	50,945	1,19	Handal
17	0,281	42,896	0,4518	1,0215	0,356	0,693	0,845	0,417	0,6351	0,519	0,161	55,358	42,055	1,316	Handal
18	0,629	57,074	0,3515	0,9388	0,14	0,528	0,9703	0,501	0,847	0,614	0,273	59,111	56,359	1,049	Handal
19	0,609	56,265	0,5044	1,0635	0,477	0,767	0,7715	0,391	0,834	0,607	0,773	72,29	55,364	1,306	Handal
20	0,841	67,495	0,9421	1,5601	0,545	0,807	0,418	0,3	0,2907	0,392	0,6	67,467	66,32	1,017	Handal
...	...	...	...	...	...	...	...	...	...	...	...	...	...	...	...
1000	0,959	79,112	0,5851	1,1284	0,651	0,871	0,7699	0,391	0,9363	0,685	0,606	67,613	78,124	0,865	Gagal

## **LAMPIRAN 3**

### **SACS INPUT UNTUK PEMBEBABAN *EQUIPMENT DAN LIVE LOAD***

LOADCN 1  
DEAD  
DEAD -Z 185.570 M  
LOADCN 2  
DEAD  
DEAD -Z 193.610 M  
LOADCN 3  
DEAD  
DEAD -Z 183.930 M  
LOADCN 4  
DEAD  
DEAD -Z 195.250 M  
LOADCN 5  
DEAD  
DEAD -Z 190.000 M  
LOADCN 105  
LOAD Z 40954115 -0.0330 -0.0330 GLOB UNIF MD-HANDR  
LOAD Z 41154133 -0.0330 -0.0330 GLOB UNIF MD-HANDR  
LOAD Z 41334146 -0.0330 -0.0330 GLOB UNIF MD-HANDR  
LOAD Z 41464169 -0.0330 -0.0330 GLOB UNIF MD-HANDR  
LOAD Z 41694190 -0.0330 -0.0330 GLOB UNIF MD-HANDR  
LOAD Z 41904191 -0.0330 -0.0330 GLOB UNIF MD-HANDR  
LOAD Z 41914192 -0.0330 -0.0330 GLOB UNIF MD-HANDR  
LOAD Z 41924193 -0.0330 -0.0330 GLOB UNIF MD-HANDR  
LOAD Z 42064207 -0.0330 -0.0330 GLOB UNIF MD-HANDR  
LOAD Z 42074208 -0.0330 -0.0330 GLOB UNIF MD-HANDR  
LOAD Z 41894209 -0.0330 -0.0330 GLOB UNIF MD-HANDR  
LOAD Z 42084209 -0.0330 -0.0330 GLOB UNIF MD-HANDR  
LOAD Z 41874188 -0.0330 -0.0330 GLOB UNIF MD-HANDR  
LOAD Z 41684189 -0.0330 -0.0330 GLOB UNIF MD-HANDR  
LOAD Z 40604094 -0.0330 -0.0330 GLOB UNIF MD-HANDR  
LOAD Z 40304060 -0.0330 -0.0330 GLOB UNIF MD-HANDR  
LOAD Z 40294030 -0.0330 -0.0330 GLOB UNIF MD-HANDR  
LOAD Z 40284029 -0.0330 -0.0330 GLOB UNIF MD-HANDR  
LOAD Z 40274028 -0.0330 -0.0330 GLOB UNIF MD-HANDR  
LOAD Z 40264027 -0.0330 -0.0330 GLOB UNIF MD-HANDR  
LOAD Z 40254026 -0.0330 -0.0330 GLOB UNIF MD-HANDR  
LOAD Z 40244025 -0.0330 -0.0330 GLOB UNIF MD-HANDR  
LOAD Z 40234024 -0.0330 -0.0330 GLOB UNIF MD-HANDR  
LOAD Z 40224023 -0.0330 -0.0330 GLOB UNIF MD-HANDR  
LOAD Z 40214022 -0.0330 -0.0330 GLOB UNIF MD-HANDR  
LOAD Z 40204021 -0.0330 -0.0330 GLOB UNIF MD-HANDR  
LOAD Z 40194020 -0.0330 -0.0330 GLOB UNIF MD-HANDR  
LOAD Z 40184019 -0.0330 -0.0330 GLOB UNIF MD-HANDR  
LOAD Z 40174018 -0.0330 -0.0330 GLOB UNIF MD-HANDR  
LOAD Z 40164017 -0.0330 -0.0330 GLOB UNIF MD-HANDR  
LOAD Z 40154016 -0.0330 -0.0330 GLOB UNIF MD-HANDR  
LOAD Z 40154045 -0.0330 -0.0330 GLOB UNIF MD-HANDR  
LOAD Z 40464073 -0.0330 -0.0330 GLOB UNIF MD-HANDR  
LOAD Z 40734096 -0.0330 -0.0330 GLOB UNIF MD-HANDR  
\*  
\*\*\*LDS1\*\* -22.000 13.000 53.000 -22.000 21.000 53.000 -22.000  
\*\*\*LDS2\*\* 13.000 53.000 -22.000 21.000 53.000 -0.011 -0.011  
\*\*\*LDS3\*\* 1.000 50 3 3 0 1105 -2EQUPPRESMZ-GRATT  
LOAD Z 30033142 -0.0407 -0.0407 GLOB UNIF MZ-GRATT  
LOAD Z 30043150 -0.0409 -0.0409 GLOB UNIF MZ-GRATT  
LOAD Z 31293145 -0.0373 -0.0373 GLOB UNIF MZ-GRATT  
LOAD Z 31333148 -0.0385 -0.0385 GLOB UNIF MZ-GRATT  
LOAD Z 31253141 -0.0343 -0.0343 GLOB UNIF MZ-GRATT  
LOAD Z 31243140 -0.0515 -0.0515 GLOB UNIF MZ-GRATT  
LOAD Z 31273143 -0.0343 -0.0343 GLOB UNIF MZ-GRATT  
LOAD Z 31283144 -0.0343 -0.0343 GLOB UNIF MZ-GRATT  
LOAD Z 31303146 -0.0404 -0.0404 GLOB UNIF MZ-GRATT  
LOAD Z 31323147 -0.0404 -0.0404 GLOB UNIF MZ-GRATT  
LOAD Z 31343149 -0.0367 -0.0367 GLOB UNIF MZ-GRATT  
LOAD Z 31363151 -0.0325 -0.0325 GLOB UNIF MZ-GRATT  
LOAD Z 31373152 -0.0486 -0.0486 GLOB UNIF MZ-GRATT  
\*  
\*\*\*LDS1\*\* -22.000 7.500 53.000 -22.000 13.000 53.000 -22.000  
\*\*\*LDS2\*\* 7.500 53.000 -22.000 13.000 53.000 -0.011 -0.011

\*\*\*LDS3\*\* 1.000 50 3 3 0 1105 -2EQUPPRESMZ-GRATT  
LOAD Z 31093003 -0.0343 -0.0343 GLOB UNIF MZ-GRATT  
LOAD Z 31183004 -0.0345 -0.0345 GLOB UNIF MZ-GRATT  
LOAD Z 31143131 -0.0605 -0.0605 GLOB UNIF MZ-GRATT  
LOAD Z 31163133 -0.0560 -0.0560 GLOB UNIF MZ-GRATT  
LOAD Z 31123129 -0.0400 -0.0400 GLOB UNIF MZ-GRATT  
LOAD Z 31083125 -0.0343 -0.0343 GLOB UNIF MZ-GRATT  
LOAD Z 31073124 -0.0515 -0.0515 GLOB UNIF MZ-GRATT  
LOAD Z 31103127 -0.0343 -0.0343 GLOB UNIF MZ-GRATT  
LOAD Z 31113128 -0.0343 -0.0343 GLOB UNIF MZ-GRATT  
LOAD Z 31173134 -0.0367 -0.0367 GLOB UNIF MZ-GRATT  
LOAD Z 31193136 -0.0325 -0.0325 GLOB UNIF MZ-GRATT  
LOAD Z 31203137 -0.0486 -0.0486 GLOB UNIF MZ-GRATT  
\*  
\*\*\*LDS1\*\* -19.000 -1.000 53.000 -19.000 7.500 53.000 -19.000  
\*\*\*LDS2\*\* -1.000 53.000 -19.000 7.500 53.000 -0.011 -0.011  
\*\*\*LDS3\*\* 1.000 50 3 3 0 1105 -2EQUPPRESMZ-GRATT  
LOAD Z 30903091 -0.0172 -0.0172 GLOB UNIF MZ-GRATT  
LOAD Z 30913109 -0.0172 -0.0172 GLOB UNIF MZ-GRATT  
LOAD Z 30883107 -0.0172 -0.0172 GLOB UNIF MZ-GRATT  
LOAD Z 30893108 -0.0343 -0.0343 GLOB UNIF MZ-GRATT  
\*  
\*\*\*LDS1\*\* -13.000 53.000 -13.000 7.500 53.000 -0.011 -0.011  
\*\*\*LDS2\*\* 53.000 -13.000 7.500 53.000 -0.011 -0.011  
\*\*\*LDS3\*\* 1.000 50 3 3 0 1105 -2EQUPPRESMZ-GRATT  
LOAD Z 30913109 -0.0172 -0.0172 GLOB UNIF MZ-GRATT  
LOAD Z 30943101 -0.0172 -0.0172 GLOB UNIF MZ-GRATT  
LOAD Z 31013112 -0.0172 -0.0172 GLOB UNIF MZ-GRATT  
LOAD Z 30933111 -0.0343 -0.0343 GLOB UNIF MZ-GRATT  
LOAD Z 30923110 -0.0343 -0.0343 GLOB UNIF MZ-GRATT  
\*  
\*\*\*LDS1\*\* -4.000 3.750 53.000 -4.000 7.500 53.000 -4.000  
\*\*\*LDS2\*\* 3.750 53.000 -4.000 7.500 53.000 -0.011 -0.011  
\*\*\*LDS3\*\* 1.000 50 3 3 0 1105 -2EQUPPRESMZ-GRATT  
LOAD Z 31013112 -0.0201 -0.0201 GLOB UNIF MZ-GRATT  
LOAD Z 31043116 -0.0201 -0.0201 GLOB UNIF MZ-GRATT  
LOAD Z 31023113 -0.0404 -0.0404 GLOB UNIF MZ-GRATT  
LOAD Z 31033115 -0.0404 -0.0404 GLOB UNIF MZ-GRATT  
\*  
\*\*\*LDS1\*\* 6.583 53.000 6.583 7.500 53.000 6.583  
\*\*\*LDS2\*\* 53.000 6.583 7.500 53.000 -0.011 -0.011  
\*\*\*LDS3\*\* 1.000 50 3 3 0 1105 -2EQUPPRESMZ-GRATT  
LOAD Z 30963118 -0.0529 -0.0529 GLOB UNIF MZ-GRATT  
LOAD Z 30953104 -0.0367 -0.0367 GLOB UNIF MZ-GRATT  
LOAD Z 31043116 -0.0367 -0.0367 GLOB UNIF MZ-GRATT  
LOAD Z 30973119 -0.0325 -0.0325 GLOB UNIF MZ-GRATT  
LOAD Z 30993120 -0.0486 -0.0486 GLOB UNIF MZ-GRATT  
\*  
\*\*\*LDS1\*\* -4.000 -3.750 53.000 -4.000 3.750 53.000 -4.000  
\*\*\*LDS2\*\* -3.750 53.000 -4.000 3.750 53.000 -0.011 -0.011  
\*\*\*LDS3\*\* 1.000 50 3 3 0 1105 -2EQUPPRESMZ-GRATT  
LOAD Z 30783094 -0.0605 -0.0605 GLOB UNIF MZ-GRATT  
LOAD Z 30813095 -0.0605 -0.0605 GLOB UNIF MZ-GRATT  
LOAD Z 30943101 -0.0605 -0.0605 GLOB UNIF MZ-GRATT  
LOAD Z 30953104 -0.0605 -0.0605 GLOB UNIF MZ-GRATT  
\*  
\*\*\*LDS1\*\* -33.750 -7.500 53.000 -33.750 -1.000 53.000 -33.750  
\*\*\*LDS2\*\* -7.500 53.000 -33.750 -1.000 53.000 -0.011 -0.011  
\*\*\*LDS3\*\* 1.000 50 3 3 0 1105 -2EQUPPRESMZ-GRATT  
LOAD Z 30583090 -0.0172 -0.0172 GLOB UNIF MZ-GRATT  
LOAD Z 30513083 -0.0504 -0.0504 GLOB UNIF MZ-GRATT  
LOAD Z 30533085 -0.0337 -0.0337 GLOB UNIF MZ-GRATT  
LOAD Z 30543086 -0.0508 -0.0508 GLOB UNIF MZ-GRATT  
LOAD Z 30563088 -0.0512 -0.0512 GLOB UNIF MZ-GRATT  
LOAD Z 30573089 -0.0343 -0.0343 GLOB UNIF MZ-GRATT  
\*  
\*\*\*LDS1\*\* -13.000 -7.500 53.000 -13.000 53.000 -13.000  
\*\*\*LDS2\*\* -7.500 53.000 -13.000 53.000 -0.011 -0.011  
\*\*\*LDS3\*\* 1.000 50 3 3 0 1105 -2EQUPPRESMZ-GRATT  
LOAD Z 30583090 -0.0172 -0.0172 GLOB UNIF MZ-GRATT

LOAD Z 30903091 -0.0172 -0.0172 GLOB UNIF MZ-GRATT  
 LOAD Z 30613078 -0.0172 -0.0172 GLOB UNIF MZ-GRATT  
 LOAD Z 30783094 -0.0172 -0.0172 GLOB UNIF MZ-GRATT  
 LOAD Z 30603093 -0.0343 -0.0343 GLOB UNIF MZ-GRATT  
 LOAD Z 30593092 -0.0343 -0.0343 GLOB UNIF MZ-GRATT  
 \*  
 \*\*\*LDS1\*\* -4.000 -7.500 53.000 -4.000 -3.750 53.000 -4.000  
 \*\*\*LDS2\*\* -7.500 53.000 -4.000 -3.750 53.000 -0.011 -0.011  
 \*\*\*LDS3\*\* 1.000 50 3 3 0 1105 -2EQUPPRESMZ-GRATT  
 LOAD Z 30613078 -0.0201 -0.0201 GLOB UNIF MZ-GRATT  
 LOAD Z 30663081 -0.0202 -0.0202 GLOB UNIF MZ-GRATT  
 LOAD Z 30623079 -0.0404 -0.0404 GLOB UNIF MZ-GRATT  
 LOAD Z 30643080 -0.0404 -0.0404 GLOB UNIF MZ-GRATT  
 \*  
 \*\*\*LDS1\*\* 6.580 -7.500 53.000 6.583 53.000 6.580  
 \*\*\*LDS2\*\* -7.500 53.000 6.583 53.000 -0.011 -0.011  
 \*\*\*LDS3\*\* 1.000 50 3 3 0 1105 -2EQUPPRESMZ-GRATT  
 LOAD Z 30663081 -0.0367 -0.0367 GLOB UNIF MZ-GRATT  
 LOAD Z 30813095 -0.0367 -0.0367 GLOB UNIF MZ-GRATT  
 \*  
 \*\*\*LDS1\*\* -22.000 -13.000 53.000 -22.000 -7.500 53.000 -22.000  
 \*\*\*LDS2\*\* -13.000 53.000 -22.000 -7.500 53.000 -0.011 -0.011  
 \*\*\*LDS3\*\* 1.000 50 3 3 0 1105 -2EQUPPRESMZ-GRATT  
 LOAD Z 30013058 -0.0444 -0.0444 GLOB UNIF MZ-GRATT  
 LOAD Z 30023068 -0.0444 -0.0444 GLOB UNIF MZ-GRATT  
 LOAD Z 30413061 -0.0400 -0.0400 GLOB UNIF MZ-GRATT  
 LOAD Z 30433063 -0.0415 -0.0415 GLOB UNIF MZ-GRATT  
 LOAD Z 30453066 -0.0372 -0.0372 GLOB UNIF MZ-GRATT  
 LOAD Z 30343056 -0.0515 -0.0515 GLOB UNIF MZ-GRATT  
 LOAD Z 30353057 -0.0343 -0.0343 GLOB UNIF MZ-GRATT  
 LOAD Z 30373059 -0.0343 -0.0343 GLOB UNIF MZ-GRATT  
 LOAD Z 30393060 -0.0343 -0.0343 GLOB UNIF MZ-GRATT  
 LOAD Z 30443065 -0.0376 -0.0376 GLOB UNIF MZ-GRATT  
 LOAD Z 30463067 -0.0367 -0.0367 GLOB UNIF MZ-GRATT  
 LOAD Z 30483069 -0.0472 -0.0472 GLOB UNIF MZ-GRATT  
 \*  
 \*\*\*LDS1\*\* -22.000 -21.000 53.000 -22.000 -13.000 53.000 -22.000  
 \*\*\*LDS2\*\* -21.000 53.000 -22.000 -13.000 53.000 -0.011 -0.011  
 \*\*\*LDS3\*\* 1.000 50 3 3 0 1105 -2EQUPPRESMZ-GRATT  
 LOAD Z 30223001 -0.0358 -0.0358 GLOB UNIF MZ-GRATT  
 LOAD Z 30303002 -0.0343 -0.0343 GLOB UNIF MZ-GRATT  
 LOAD Z 30263043 -0.0372 -0.0372 GLOB UNIF MZ-GRATT  
 LOAD Z 30273044 -0.0376 -0.0376 GLOB UNIF MZ-GRATT  
 LOAD Z 30283045 -0.0372 -0.0372 GLOB UNIF MZ-GRATT  
 LOAD Z 30293046 -0.0367 -0.0367 GLOB UNIF MZ-GRATT  
 LOAD Z 30203034 -0.0515 -0.0515 GLOB UNIF MZ-GRATT  
 LOAD Z 30213035 -0.0343 -0.0343 GLOB UNIF MZ-GRATT  
 LOAD Z 30233038 -0.0372 -0.0372 GLOB UNIF MZ-GRATT  
 LOAD Z 30243040 -0.0372 -0.0372 GLOB UNIF MZ-GRATT  
 LOAD Z 30253042 -0.0372 -0.0372 GLOB UNIF MZ-GRATT  
 LOAD Z 30313048 -0.0472 -0.0472 GLOB UNIF MZ-GRATT  
 \*  
 \*\*\*LDS1\*\* -26.000 53.000 -21.000 53.000 -0.011 -0.011  
 \*\*\*LDS2\*\* -26.000 53.000 -21.000 53.000 -0.011 -0.011  
 \*\*\*LDS3\*\* 1.000 50 3 3 0 1105 -2EQUPPRESMZ-GRATT  
 LOAD Z 30163030 -0.0343 -0.0343 GLOB UNIF MZ-GRATT  
 LOAD Z 30123026 -0.0186 -0.0186 GLOB UNIF MZ-GRATT  
 LOAD Z 30133027 -0.0376 -0.0376 GLOB UNIF MZ-GRATT  
 LOAD Z 30143028 -0.0372 -0.0372 GLOB UNIF MZ-GRATT  
 LOAD Z 30153029 -0.0367 -0.0367 GLOB UNIF MZ-GRATT  
 LOAD Z 30173031 -0.0472 -0.0472 GLOB UNIF MZ-GRATT  
 LOAD Z 31393140 -0.0330 -0.0330 GLOB UNIF MZ-HANDR  
 LOAD Z 31403141 -0.0330 -0.0330 GLOB UNIF MZ-HANDR  
 LOAD Z 31413142 -0.0330 -0.0330 GLOB UNIF MZ-HANDR  
 LOAD Z 31423143 -0.0330 -0.0330 GLOB UNIF MZ-HANDR  
 LOAD Z 31433144 -0.0330 -0.0330 GLOB UNIF MZ-HANDR  
 LOAD Z 31443145 -0.0330 -0.0330 GLOB UNIF MZ-HANDR  
 LOAD Z 31453146 -0.0330 -0.0330 GLOB UNIF MZ-HANDR  
 LOAD Z 31463147 -0.0330 -0.0330 GLOB UNIF MZ-HANDR  
 LOAD Z 31473148 -0.0330 -0.0330 GLOB UNIF MZ-HANDR

LOAD Z 31483149	-0.0330	-0.0330	GLOB UNIF MZ-HANDR				
LOAD Z 31493150	-0.0330	-0.0330	GLOB UNIF MZ-HANDR				
LOAD Z 31503151	-0.0330	-0.0330	GLOB UNIF MZ-HANDR				
LOAD Z 31523153	-0.0330	-0.0330	GLOB UNIF MZ-HANDR				
LOAD Z 31513152	-0.0330	-0.0330	GLOB UNIF MZ-HANDR				
LOAD Z 31383153	-0.0330	-0.0330	GLOB UNIF MZ-HANDR				
LOAD Z 31213138	-0.0330	-0.0330	GLOB UNIF MZ-HANDR				
LOAD Z 31003121	-0.0330	-0.0330	GLOB UNIF MZ-HANDR				
LOAD Z 30723100	-0.0330	-0.0330	GLOB UNIF MZ-HANDR				
LOAD Z 30713072	-0.0330	-0.0330	GLOB UNIF MZ-HANDR				
LOAD Z 30493070	-0.0330	-0.0330	GLOB UNIF MZ-HANDR				
LOAD Z 30323049	-0.0330	-0.0330	GLOB UNIF MZ-HANDR				
LOAD Z 30183032	-0.0330	-0.0330	GLOB UNIF MZ-HANDR				
LOAD Z 30173018	-0.0330	-0.0330	GLOB UNIF MZ-HANDR				
LOAD Z 30163017	-0.0330	-0.0330	GLOB UNIF MZ-HANDR				
LOAD Z 30153016	-0.0330	-0.0330	GLOB UNIF MZ-HANDR				
LOAD Z 30143015	-0.0330	-0.0330	GLOB UNIF MZ-HANDR				
LOAD Z 30133014	-0.0330	-0.0330	GLOB UNIF MZ-HANDR				
LOAD Z 30123013	-0.0330	-0.0330	GLOB UNIF MZ-HANDR				
LOAD Z 30123026	-0.0330	-0.0330	GLOB UNIF MZ-HANDR				
LOAD Z 30253026	-0.0330	-0.0330	GLOB UNIF MZ-HANDR				
LOAD Z 30243025	-0.0330	-0.0330	GLOB UNIF MZ-HANDR				
LOAD Z 30233024	-0.0330	-0.0330	GLOB UNIF MZ-HANDR				
LOAD Z 30223023	-0.0330	-0.0330	GLOB UNIF MZ-HANDR				
LOAD Z 30203021	-0.0330	-0.0330	GLOB UNIF MZ-HANDR				
LOAD Z 30213022	-0.0330	-0.0330	GLOB UNIF MZ-HANDR				
LOAD Z 30193020	-0.0330	-0.0330	GLOB UNIF MZ-HANDR				
LOAD Z 30193033	-0.0330	-0.0330	GLOB UNIF MZ-HANDR				
LOAD Z 30333055	-0.0330	-0.0330	GLOB UNIF MZ-HANDR				
LOAD Z 30543055	-0.0330	-0.0330	GLOB UNIF MZ-HANDR				
LOAD Z 30503051	-0.0330	-0.0330	GLOB UNIF MZ-HANDR				
LOAD Z 30503082	-0.0330	-0.0330	GLOB UNIF MZ-HANDR				
LOAD Z 30863087	-0.0330	-0.0330	GLOB UNIF MZ-HANDR				
LOAD Z 30873106	-0.0330	-0.0330	GLOB UNIF MZ-HANDR				
LOAD Z 31063123	-0.0330	-0.0330	GLOB UNIF MZ-HANDR				
LOAD Z 31233139	-0.0330	-0.0330	GLOB UNIF MZ-HANDR				
*							
***LDS1**	-36.750	25.833	40.000	-36.750	29.750	40.000	-36.750
***LDS2**	25.833	40.000	-36.750	29.750	40.000	0.017	0.017
***LDS3**	1.000	50 1 3 0 1105 -2EQUPPRESCD-PLATE					
LOAD Z 22072225	-0.0548	-0.0548	GLOB UNIF CD-PLATE				
LOAD Z 22252232	-0.0548	-0.0548	GLOB UNIF CD-PLATE				
LOAD Z 22102234	-0.0561	-0.0561	GLOB UNIF CD-PLATE				
LOAD Z 22112235	-0.0835	-0.0835	GLOB UNIF CD-PLATE				
LOAD Z 22132237	-0.0828	-0.0828	GLOB UNIF CD-PLATE				
LOAD Z 22142238	-0.0548	-0.0548	GLOB UNIF CD-PLATE				
LOAD Z 22212245	-0.0891	-0.0891	GLOB UNIF CD-PLATE				
LOAD Z 22222246	-0.0617	-0.0617	GLOB UNIF CD-PLATE				
LOAD Z 21962224	12.8333-0.0158	-0.0158	GLOB UNIF CD-PLATE				
LOAD Z 22242248	-0.0158	-0.0158	GLOB UNIF CD-PLATE				
LOAD Z 22052229	-0.0916	-0.0916	GLOB UNIF CD-PLATE				
LOAD Z 22062227	-0.0579	-0.0579	GLOB UNIF CD-PLATE				
LOAD Z 22092233	-0.0554	-0.0554	GLOB UNIF CD-PLATE				
LOAD Z 22232247	-0.0466	-0.0466	GLOB UNIF CD-PLATE				
LOAD Z 22272231	-0.0579	-0.0579	GLOB UNIF CD-PLATE				
*							
***LDS1**	-36.750	13.000	40.000	-36.750	25.833	40.000	-36.750
***LDS2**	13.000	40.000	-36.750	25.833	40.000	0.017	0.017
***LDS3**	1.000	50 1 3 0 1105 -2EQUPPRESCD-PLATE					
LOAD Z 21822200	-0.0561	-0.0561	GLOB UNIF CD-PLATE				
LOAD Z 21852213	-0.0828	-0.0828	GLOB UNIF CD-PLATE				
LOAD Z 21862214	-0.0548	-0.0548	GLOB UNIF CD-PLATE				
LOAD Z 21942201	-0.0617	-0.0617	GLOB UNIF CD-PLATE				
LOAD Z 21992221	-0.0891	-0.0891	GLOB UNIF CD-PLATE				
LOAD Z 22012222	-0.0617	-0.0617	GLOB UNIF CD-PLATE				
LOAD Z 21962224	-0.015812.8333-0.0158	-0.0158	GLOB UNIF CD-PLATE				
LOAD Z 21782205	-0.0916	-0.0916	GLOB UNIF CD-PLATE				
LOAD Z 21792206	-0.0579	-0.0579	GLOB UNIF CD-PLATE				
LOAD Z 21952203	-0.0466	-0.0466	GLOB UNIF CD-PLATE				
LOAD Z 22022209	-0.0554	-0.0554	GLOB UNIF CD-PLATE				

LOAD Z 22032223 -0.0466 -0.0466 GLOB UNIF CD-PLATE  
 \*  
 \*\*\*LDS1\*\* -29.500 40.000 -29.500 13.000 40.000 -29.500  
 \*\*\*LDS2\*\* 40.000 -29.500 13.000 40.000 0.017 0.017  
 \*\*\*LDS3\*\* 1.000 50 1 3 0 1105 -2EQUPPRESCD-PLATE  
 \*  
 \*\*\*LDS1\*\* 13.000 40.000 -13.000 13.000 40.000 13.000  
 \*\*\*LDS2\*\* 40.000 13.000 13.000 40.000 0.017 0.017  
 \*\*\*LDS3\*\* 1.000 50 1 3 0 1105 -2EQUPPRESCD-PLATE  
 LOAD Z 21482193 -0.0926 -0.0926 GLOB UNIF CD-PLATE  
 LOAD Z 21492194 -0.0617 -0.0617 GLOB UNIF CD-PLATE  
 LOAD Z 21512196 -0.0158 -0.0158 GLOB UNIF CD-PLATE  
 LOAD Z 21502195 -0.0466 -0.0466 GLOB UNIF CD-PLATE  
 \*  
 \*\*\*LDS1\*\* -29.500 -5.750 40.000 -29.500 40.000 -29.500  
 \*\*\*LDS2\*\* -5.750 40.000 -29.500 40.000 0.017 0.017  
 \*\*\*LDS3\*\* 1.000 50 1 3 0 1105 -2EQUPPRESCD-PLATE  
 LOAD Z 21152134 -0.0821 -0.0821 GLOB UNIF CD-PLATE  
 LOAD Z 21172136 -0.0561 -0.0561 GLOB UNIF CD-PLATE  
 LOAD Z 21192137 -0.0843 -0.0843 GLOB UNIF CD-PLATE  
 LOAD Z 21162135 -0.0554 -0.0554 GLOB UNIF CD-PLATE  
 \*  
 \*\*\*LDS1\*\* -39.250 -13.000 40.000 -39.250 -5.750 40.000 -39.250  
 \*\*\*LDS2\*\* -13.000 40.000 -39.250 -5.750 40.000 0.017 0.017  
 \*\*\*LDS3\*\* 1.000 50 1 3 0 1105 -2EQUPPRESCD-PLATE  
 LOAD Z 20842117 -0.0421 -0.0421 GLOB UNIF CD-PLATE  
 LOAD Z 20802113 -0.0548 -0.0548 GLOB UNIF CD-PLATE  
 LOAD Z 20792112 -0.0821 -0.0821 GLOB UNIF CD-PLATE  
 LOAD Z 20822115 -0.0548 -0.0548 GLOB UNIF CD-PLATE  
 LOAD Z 20862119 -0.0702 -0.0702 GLOB UNIF CD-PLATE  
 LOAD Z 20812114 -0.0548 -0.0548 GLOB UNIF CD-PLATE  
 LOAD Z 20832116 -0.0554 -0.0554 GLOB UNIF CD-PLATE  
 \*  
 \*\*\*LDS1\*\* 13.000 -13.000 40.000 13.000 40.000 13.000  
 \*\*\*LDS2\*\* -13.000 40.000 13.000 40.000 0.017 0.017  
 \*\*\*LDS3\*\* 1.000 50 1 3 0 1105 -2EQUPPRESCD-PLATE  
 LOAD Z 21002151 -0.0158 -0.0158 GLOB UNIF CD-PLATE  
 LOAD Z 20972148 -0.0926 -0.0926 GLOB UNIF CD-PLATE  
 LOAD Z 20982149 -0.0617 -0.0617 GLOB UNIF CD-PLATE  
 LOAD Z 20992150 -0.0466 -0.0466 GLOB UNIF CD-PLATE  
 \*  
 \*\*\*LDS1\*\* -39.250 -23.000 40.000 -39.250 -13.000 40.000 -39.250  
 \*\*\*LDS2\*\* -23.000 40.000 -39.250 -13.000 40.000 0.017 0.017  
 \*\*\*LDS3\*\* 1.000 50 1 3 0 1105 -2EQUPPRESCD-PLATE  
 LOAD Z 20482079 -0.0821 -0.0821 GLOB UNIF CD-PLATE  
 LOAD Z 20492080 -0.0548 -0.0548 GLOB UNIF CD-PLATE  
 LOAD Z 20512082 -0.0548 -0.0548 GLOB UNIF CD-PLATE  
 LOAD Z 20532072 -0.0421 -0.0421 GLOB UNIF CD-PLATE  
 LOAD Z 20552074 -0.0695 -0.0695 GLOB UNIF CD-PLATE  
 LOAD Z 20582089 -0.0484 -0.0484 GLOB UNIF CD-PLATE  
 LOAD Z 20612093 -0.0548 -0.0548 GLOB UNIF CD-PLATE  
 LOAD Z 20622094 -0.0548 -0.0548 GLOB UNIF CD-PLATE  
 LOAD Z 20632095 -0.0856 -0.0856 GLOB UNIF CD-PLATE  
 LOAD Z 20652076 -0.0891 -0.0891 GLOB UNIF CD-PLATE  
 LOAD Z 20662071 -0.0617 -0.0617 GLOB UNIF CD-PLATE  
 LOAD Z 20712098 -0.0617 -0.0617 GLOB UNIF CD-PLATE  
 LOAD Z 20692100 -0.0158 -0.0158 GLOB UNIF CD-PLATE  
 LOAD Z 20592090 -0.0548 -0.0548 GLOB UNIF CD-PLATE  
 LOAD Z 20682099 -0.0466 -0.0466 GLOB UNIF CD-PLATE  
 LOAD Z 20502081 -0.0548 -0.0548 GLOB UNIF CD-PLATE  
 LOAD Z 20542073 -0.0281 -0.0281 GLOB UNIF CD-PLATE  
 LOAD Z 20602092 -0.0611 -0.0611 GLOB UNIF CD-PLATE  
 LOAD Z 20722084 -0.0421 -0.0421 GLOB UNIF CD-PLATE  
 \*  
 \*\*\*LDS1\*\* -39.250 -33.500 40.000 -39.250 -23.000 40.000 -39.250  
 \*\*\*LDS2\*\* -33.500 40.000 -39.250 -23.000 40.000 0.017 0.017  
 \*\*\*LDS3\*\* 1.000 50 1 3 0 1105 -2EQUPPRESCD-PLATE  
 LOAD Z 20122020 -0.0548 -0.0548 GLOB UNIF CD-PLATE  
 LOAD Z 20112019 -0.0821 -0.0821 GLOB UNIF CD-PLATE  
 LOAD Z 20202049 -0.0548 -0.0548 GLOB UNIF CD-PLATE

LOAD Z 20192048 -0.0821 -0.0821 GLOB UNIF CD-PLATE  
 LOAD Z 20142022 -0.0548 -0.0548 GLOB UNIF CD-PLATE  
 LOAD Z 20222041 -0.0548 -0.0548 GLOB UNIF CD-PLATE  
 LOAD Z 20412051 -0.0548 -0.0548 GLOB UNIF CD-PLATE  
 LOAD Z 20162024 -0.0281 -0.0281 GLOB UNIF CD-PLATE  
 LOAD Z 20242053 -0.0281 -0.0281 GLOB UNIF CD-PLATE  
 LOAD Z 20152023 -0.0554 -0.0554 GLOB UNIF CD-PLATE  
 LOAD Z 20132021 -0.0548 -0.0548 GLOB UNIF CD-PLATE  
 LOAD Z 20212050 -0.0548 -0.0548 GLOB UNIF CD-PLATE  
 LOAD Z 20232045 -0.0554 -0.0554 GLOB UNIF CD-PLATE  
 LOAD Z 20452052 -0.0554 -0.0554 GLOB UNIF CD-PLATE  
 \*  
 \*\*\*LDS1\*\* -19.667 -29.500 40.000 -19.667 -23.000 40.000 -19.667  
 \*\*\*LDS2\*\* -29.500 40.000 -19.667 -23.000 40.000 0.017 0.017  
 \*\*\*LDS3\*\* 1.000 50 1 3 0 1105 -2EQUPPRESCD-PLATE  
 LOAD Z 20242053 -0.0281 -0.0281 GLOB UNIF CD-PLATE  
 LOAD Z 20252055 -0.0835 -0.0835 GLOB UNIF CD-PLATE  
 LOAD Z 20272057 -0.0828 -0.0828 GLOB UNIF CD-PLATE  
 LOAD Z 20282058 -0.0484 -0.0484 GLOB UNIF CD-PLATE  
 LOAD Z 20312061 -0.0548 -0.0548 GLOB UNIF CD-PLATE  
 LOAD Z 20322062 -0.0548 -0.0548 GLOB UNIF CD-PLATE  
 LOAD Z 20332063 -0.0856 -0.0856 GLOB UNIF CD-PLATE  
 LOAD Z 20382042 -0.0158 -0.0158 GLOB UNIF CD-PLATE  
 LOAD Z 20422069 -0.0158 -0.0158 GLOB UNIF CD-PLATE  
 LOAD Z 20292059 -0.0548 -0.0548 GLOB UNIF CD-PLATE  
 LOAD Z 20372043 -0.0466 -0.0466 GLOB UNIF CD-PLATE  
 LOAD Z 20432068 -0.0466 -0.0466 GLOB UNIF CD-PLATE  
 LOAD Z 20302060 -0.0611 -0.0611 GLOB UNIF CD-PLATE  
 \*  
 \*\*\*LDS1\*\* -19.667 -33.500 40.000 -19.667 -29.500 40.000 -19.667  
 \*\*\*LDS2\*\* -33.500 40.000 -19.667 -29.500 40.000 0.017 0.017  
 \*\*\*LDS3\*\* 1.000 50 1 3 0 1105 -2EQUPPRESCD-PLATE  
 LOAD Z 20162024 -0.0561 -0.0561 GLOB UNIF CD-PLATE  
 \*  
 \*\*\*LDS1\*\* 25.875 -29.500 40.000 25.875 29.750 40.000 25.875  
 \*\*\*LDS2\*\* -29.500 40.000 25.875 29.750 40.000 0.017 0.017  
 \*\*\*LDS3\*\* 1.000 50 1 3 0 1105 -2EQUPPRESCD-PLATE  
 LOAD Z 21002151 -0.0316 -0.0316 GLOB UNIF CD-PLATE  
 LOAD Z 20382042 -0.0316 -0.0316 GLOB UNIF CD-PLATE  
 LOAD Z 20692100 -0.0316 -0.0316 GLOB UNIF CD-PLATE  
 LOAD Z 21512196 -0.0316 -0.0316 GLOB UNIF CD-PLATE  
 LOAD Z 21962224 -0.0316 -0.0316 GLOB UNIF CD-PLATE  
 LOAD Z 22242248 -0.0316 -0.0316 GLOB UNIF CD-PLATE  
 LOAD Z 20422069 -0.0316 -0.0316 GLOB UNIF CD-PLATE  
 \*  
 \*\*\*LDS1\*\* -13.000 -13.000 40.000 -13.000 13.000 40.000 -13.000  
 \*\*\*LDS2\*\* -13.000 40.000 -13.000 13.000 40.000 -0.011 -0.011  
 \*\*\*LDS3\*\* 1.000 50 3 3 0 1105 -2EQUPPRESCD-GRATT  
 LOAD Z 21392170 -0.0558 -0.0558 GLOB UNIF CD-GRATT  
 LOAD Z 20882102 -0.0558 -0.0558 GLOB UNIF CD-GRATT  
 LOAD Z 20892110 -0.0186 -0.0186 GLOB UNIF CD-GRATT  
 LOAD Z 21402162 -0.0186 -0.0186 GLOB UNIF CD-GRATT  
 LOAD Z 21102140 -0.0186 -0.0186 GLOB UNIF CD-GRATT  
 LOAD Z 21022139 -0.0558 -0.0558 GLOB UNIF CD-GRATT  
 LOAD Z 21622186 -0.0186 -0.0186 GLOB UNIF CD-GRATT  
 LOAD Z 21702185 -0.0558 -0.0558 GLOB UNIF CD-GRATT  
 \*  
 \*\*\*LDS1\*\* -6.500 -13.000 40.000 -6.500 40.000 -6.500  
 \*\*\*LDS2\*\* -13.000 40.000 -6.500 40.000 -0.011 -0.011  
 \*\*\*LDS3\*\* 1.000 50 3 3 0 1105 -2EQUPPRESCD-GRATT  
 LOAD Z 20892110 -0.0372 -0.0372 GLOB UNIF CD-GRATT  
 LOAD Z 21102140 -0.0372 -0.0372 GLOB UNIF CD-GRATT  
 LOAD Z 20922103 -0.0372 -0.0372 GLOB UNIF CD-GRATT  
 LOAD Z 21032123 -0.0372 -0.0372 GLOB UNIF CD-GRATT  
 LOAD Z 21232000 -0.0697 -0.0697 GLOB UNIF CD-GRATT  
 \*  
 \*\*\*LDS1\*\* -6.500 40.000 -6.500 13.000 40.000 -6.500  
 \*\*\*LDS2\*\* 40.000 -6.500 13.000 40.000 -0.011 -0.011  
 \*\*\*LDS3\*\* 1.000 50 3 3 0 1105 -2EQUPPRESCD-GRATT  
 LOAD Z 21402162 -0.0372 -0.0372 GLOB UNIF CD-GRATT

LOAD Z 21622186	-0.0372	-0.0372	GLOB UNIF	CD-GRATT
LOAD Z 21762188	-0.0372	-0.0372	GLOB UNIF	CD-GRATT
LOAD Z 21642173	-0.0372	-0.0372	GLOB UNIF	CD-GRATT
LOAD Z 20002159	-0.0697	-0.0697	GLOB UNIF	CD-GRATT
LOAD Z 21592164	-0.0372	-0.0372	GLOB UNIF	CD-GRATT
LOAD Z 21732176	-0.0372	-0.0372	GLOB UNIF	CD-GRATT
*				
***LDS1**		40.000	13.000	40.000
***LDS2**		40.000	13.000	40.000
***LDS3**	1.000	50 3 3	0 1105 -2EQUPPRESCD-GRATT	-0.011 -0.011
LOAD Z 21762188	-0.1487	-0.1487	GLOB UNIF	CD-GRATT
LOAD Z 21642173	-0.1487	-0.1487	GLOB UNIF	CD-GRATT
LOAD Z 20002159	-0.2789	-0.2789	GLOB UNIF	CD-GRATT
LOAD Z 21592164	-0.1487	-0.1487	GLOB UNIF	CD-GRATT
LOAD Z 21732176	-0.1487	-0.1487	GLOB UNIF	CD-GRATT
*				
***LDS1**		-13.000	40.000	40.000
***LDS2**		-13.000	40.000	40.000
***LDS3**	1.000	50 3 3	0 1105 -2EQUPPRESCD-GRATT	-0.011 -0.011
LOAD Z 20922103	-0.1487	-0.1487	GLOB UNIF	CD-GRATT
LOAD Z 21032123	-0.1487	-0.1487	GLOB UNIF	CD-GRATT
LOAD Z 21232000	-0.2789	-0.2789	GLOB UNIF	CD-GRATT
LOAD Z 21772204	-0.0330	-0.0330	GLOB UNIF	CD-HANDR
LOAD Z 22042228	-0.0330	-0.0330	GLOB UNIF	CD-HANDR
LOAD Z 22282229	-0.0330	-0.0330	GLOB UNIF	CD-HANDR
LOAD Z 22292230	-0.0330	-0.0330	GLOB UNIF	CD-HANDR
LOAD Z 22312232	-0.0330	-0.0330	GLOB UNIF	CD-HANDR
LOAD Z 22302231	-0.0330	-0.0330	GLOB UNIF	CD-HANDR
LOAD Z 22322233	-0.0330	-0.0330	GLOB UNIF	CD-HANDR
LOAD Z 22332234	-0.0330	-0.0330	GLOB UNIF	CD-HANDR
LOAD Z 22342235	-0.0330	-0.0330	GLOB UNIF	CD-HANDR
LOAD Z 22352236	-0.0330	-0.0330	GLOB UNIF	CD-HANDR
LOAD Z 22362237	-0.0330	-0.0330	GLOB UNIF	CD-HANDR
LOAD Z 22372238	-0.0330	-0.0330	GLOB UNIF	CD-HANDR
LOAD Z 22382239	-0.0330	-0.0330	GLOB UNIF	CD-HANDR
LOAD Z 22392240	-0.0330	-0.0330	GLOB UNIF	CD-HANDR
LOAD Z 22402241	-0.0330	-0.0330	GLOB UNIF	CD-HANDR
LOAD Z 22412242	-0.0330	-0.0330	GLOB UNIF	CD-HANDR
LOAD Z 22422243	-0.0330	-0.0330	GLOB UNIF	CD-HANDR
LOAD Z 22432244	-0.0330	-0.0330	GLOB UNIF	CD-HANDR
LOAD Z 22442245	-0.0330	-0.0330	GLOB UNIF	CD-HANDR
LOAD Z 22452246	-0.0330	-0.0330	GLOB UNIF	CD-HANDR
LOAD Z 22462247	-0.0330	-0.0330	GLOB UNIF	CD-HANDR
LOAD Z 22472248	-0.0330	-0.0330	GLOB UNIF	CD-HANDR
LOAD Z 22482249	-0.0330	-0.0330	GLOB UNIF	CD-HANDR
LOAD Z 22262249	-0.0330	-0.0330	GLOB UNIF	CD-HANDR
LOAD Z 21972226	-0.0330	-0.0330	GLOB UNIF	CD-HANDR
LOAD Z 21522197	-0.0330	-0.0330	GLOB UNIF	CD-HANDR
LOAD Z 21012152	-0.0330	-0.0330	GLOB UNIF	CD-HANDR
LOAD Z 21772178	-0.0330	-0.0330	GLOB UNIF	CD-HANDR
LOAD Z 21332179	-0.0330	-0.0330	GLOB UNIF	CD-HANDR
LOAD Z 20782111	-0.0330	-0.0330	GLOB UNIF	CD-HANDR
LOAD Z 20472078	-0.0330	-0.0330	GLOB UNIF	CD-HANDR
LOAD Z 20182047	-0.0330	-0.0330	GLOB UNIF	CD-HANDR
LOAD Z 20102018	-0.0330	-0.0330	GLOB UNIF	CD-HANDR
LOAD Z 20102011	-0.0330	-0.0330	GLOB UNIF	CD-HANDR
LOAD Z 20112012	-0.0330	-0.0330	GLOB UNIF	CD-HANDR
LOAD Z 20122013	-0.0330	-0.0330	GLOB UNIF	CD-HANDR
LOAD Z 20132014	-0.0330	-0.0330	GLOB UNIF	CD-HANDR
LOAD Z 20152016	-0.0330	-0.0330	GLOB UNIF	CD-HANDR
LOAD Z 20142015	-0.0330	-0.0330	GLOB UNIF	CD-HANDR
LOAD Z 20162017	-0.0330	-0.0330	GLOB UNIF	CD-HANDR
LOAD Z 20252026	-0.0330	-0.0330	GLOB UNIF	CD-HANDR
LOAD Z 20262027	-0.0330	-0.0330	GLOB UNIF	CD-HANDR
LOAD Z 20272028	-0.0330	-0.0330	GLOB UNIF	CD-HANDR
LOAD Z 20282029	-0.0330	-0.0330	GLOB UNIF	CD-HANDR
LOAD Z 20302031	-0.0330	-0.0330	GLOB UNIF	CD-HANDR
LOAD Z 20312032	-0.0330	-0.0330	GLOB UNIF	CD-HANDR
LOAD Z 20322033	-0.0330	-0.0330	GLOB UNIF	CD-HANDR
LOAD Z 20332034	-0.0330	-0.0330	GLOB UNIF	CD-HANDR

LOAD Z 20352036 -0.0330 -0.0330 GLOB UNIF CD-HANDR  
 LOAD Z 20362037 -0.0330 -0.0330 GLOB UNIF CD-HANDR  
 LOAD Z 20372038 -0.0330 -0.0330 GLOB UNIF CD-HANDR  
 LOAD Z 20382039 -0.0330 -0.0330 GLOB UNIF CD-HANDR  
 LOAD Z 20392040 -0.0330 -0.0330 GLOB UNIF CD-HANDR  
 LOAD Z 20402070 -0.0330 -0.0330 GLOB UNIF CD-HANDR  
 LOAD Z 20702101 -0.0330 -0.0330 GLOB UNIF CD-HANDR  
 \*  
 \*\*\*LDS1\*\* -13.000 -2.000 24.000 -13.000 13.000 24.000 -13.000  
 \*\*\*LDS2\*\* -2.000 24.000 -13.000 13.000 24.000 -0.011 -0.011  
 \*\*\*LDS3\*\* 1.000 50 3 3 0 1105 -2EQUPPRESSCD-GRAT  
 LOAD Z 10621065 -0.0257 -0.0257 GLOB UNIF SCD-GRAT  
 LOAD Z 10591062 -0.0257 -0.0257 GLOB UNIF SCD-GRAT  
 LOAD Z 10601066 -0.0543 -0.0543 GLOB UNIF SCD-GRAT  
 LOAD Z 10611064 -0.0286 -0.0286 GLOB UNIF SCD-GRAT  
 LOAD Z 10651068 -0.0257 -0.0257 GLOB UNIF SCD-GRAT  
 LOAD Z 10661069 -0.0543 -0.0543 GLOB UNIF SCD-GRAT  
 LOAD Z 10641067 -0.0286 -0.0286 GLOB UNIF SCD-GRAT  
 LOAD Z 10671070 -0.0286 -0.0286 GLOB UNIF SCD-GRAT  
 LOAD Z 10681003 -0.0257 -0.0257 GLOB UNIF SCD-GRAT  
 LOAD Z 10691073 -0.0543 -0.0543 GLOB UNIF SCD-GRAT  
 LOAD Z 10701074 -0.0286 -0.0286 GLOB UNIF SCD-GRAT  
 \*  
 \*\*\*LDS1\*\* -3.500 9.000 24.000 -3.500 13.000 24.000 -3.500  
 \*\*\*LDS2\*\* 9.000 24.000 -3.500 13.000 24.000 -0.011 -0.011  
 \*\*\*LDS3\*\* 1.000 50 3 3 0 1105 -2EQUPPRESSCD-GRAT  
 LOAD Z 10701074 -0.0200 -0.0200 GLOB UNIF SCD-GRAT  
 LOAD Z 10711075 -0.0200 -0.0200 GLOB UNIF SCD-GRAT  
 \*  
 \*\*\*LDS1\*\* -13.000 -13.000 24.000 -13.000 -2.000 24.000 -13.000  
 \*\*\*LDS2\*\* -13.000 24.000 -13.000 -2.000 24.000 -0.011 -0.011  
 \*\*\*LDS3\*\* 1.000 50 3 3 0 1105 -2EQUPPRESSCD-GRAT  
 LOAD Z 10011054 -0.0543 -0.0543 GLOB UNIF SCD-GRAT  
 LOAD Z 10401046 -0.0543 -0.0543 GLOB UNIF SCD-GRAT  
 LOAD Z 10461055 -0.0543 -0.0543 GLOB UNIF SCD-GRAT  
 LOAD Z 10551056 -0.0543 -0.0543 GLOB UNIF SCD-GRAT  
 LOAD Z 10561061 -0.0543 -0.0543 GLOB UNIF SCD-GRAT  
 LOAD Z 10541059 -0.0543 -0.0543 GLOB UNIF SCD-GRAT  
 \*  
 \*\*\*LDS1\*\* -3.500 -7.938 24.000 -3.500 -4.500 24.000 -3.500  
 \*\*\*LDS2\*\* -7.938 24.000 -3.500 -4.500 24.000 -0.011 -0.011  
 \*\*\*LDS3\*\* 1.000 50 3 3 0 1105 -2EQUPPRESSCD-GRAT  
 LOAD Z 10461055 -0.0343 -0.0343 GLOB UNIF SCD-GRAT  
 LOAD Z 10481057 -0.0572 -0.0572 GLOB UNIF SCD-GRAT  
 LOAD Z 10491050 -0.0229 -0.0229 GLOB UNIF SCD-GRAT  
 LOAD Z 10551056 -0.0343 -0.0343 GLOB UNIF SCD-GRAT  
 LOAD Z 10501058 -0.0229 -0.0229 GLOB UNIF SCD-GRAT  
 \*  
 \*\*\*LDS1\*\* -3.500 -13.000 24.000 -3.500 -7.938 24.000 -3.500  
 \*\*\*LDS2\*\* -13.000 24.000 -3.500 -7.938 24.000 -0.011 -0.011  
 \*\*\*LDS3\*\* 1.000 50 3 3 0 1105 -2EQUPPRESSCD-GRAT  
 LOAD Z 10401046 -0.0200 -0.0200 GLOB UNIF SCD-GRAT  
 LOAD Z 10421049 -0.0372 -0.0372 GLOB UNIF SCD-GRAT  
 LOAD Z 10411047 -0.0572 -0.0572 GLOB UNIF SCD-GRAT  
 \*  
 \*\*\*LDS1\*\* 6.500 -13.000 24.000 6.500 -7.500 24.000 6.500  
 \*\*\*LDS2\*\* -13.000 24.000 6.500 -7.500 24.000 -0.011 -0.011  
 \*\*\*LDS3\*\* 1.000 50 3 3 0 1105 -2EQUPPRESSCD-GRAT  
 LOAD Z 10421049 -0.0372 -0.0372 GLOB UNIF SCD-GRAT  
 LOAD Z 10021051 -0.0801 -0.0801 GLOB UNIF SCD-GRAT  
 LOAD Z 10441052 -0.0858 -0.0858 GLOB UNIF SCD-GRAT  
 LOAD Z 10451053 -0.0429 -0.0429 GLOB UNIF SCD-GRAT  
 LOAD Z 10491050 -0.0372 -0.0372 GLOB UNIF SCD-GRAT  
 \*  
 \*\*\*LDS1\*\* -13.000 -18.500 24.000 -13.000 -13.000 24.000 -13.000  
 \*\*\*LDS2\*\* -18.500 24.000 -13.000 -13.000 24.000 -0.011 -0.011  
 \*\*\*LDS3\*\* 1.000 50 3 3 0 1105 -2EQUPPRESSCD-GRAT  
 LOAD Z 10301001 -0.0248 -0.0248 GLOB UNIF SCD-GRAT  
 LOAD Z 10311039 -0.0744 -0.0744 GLOB UNIF SCD-GRAT  
 LOAD Z 10331042 -0.0744 -0.0744 GLOB UNIF SCD-GRAT

LOAD Z 10341002 -0.0801 -0.0801 GLOB UNIF SCD-GRAT  
 LOAD Z 10351044 -0.0858 -0.0858 GLOB UNIF SCD-GRAT  
 LOAD Z 10361045 -0.0429 -0.0429 GLOB UNIF SCD-GRAT  
 LOAD Z 10321041 -0.0868 -0.0868 GLOB UNIF SCD-GRAT  
 \*  
 \*\*\*LDS1\*\* -8.667 -29.500 24.000 -8.667 -18.500 24.000 -8.667  
 \*\*\*LDS2\*\* -29.500 24.000 -8.667 -18.500 24.000 -0.011 -0.011  
 \*\*\*LDS3\*\* 1.000 50 3 3 0 1105 -2EQUPPRESSCD-GRAT  
 LOAD Z 10161024 -0.0496 -0.0496 GLOB UNIF SCD-GRAT  
 LOAD Z 10191026 -0.0744 -0.0744 GLOB UNIF SCD-GRAT  
 LOAD Z 10201027 -0.0801 -0.0801 GLOB UNIF SCD-GRAT  
 LOAD Z 10211028 -0.0858 -0.0858 GLOB UNIF SCD-GRAT  
 LOAD Z 10221023 -0.0429 -0.0429 GLOB UNIF SCD-GRAT  
 LOAD Z 10231029 -0.0429 -0.0429 GLOB UNIF SCD-GRAT  
 LOAD Z 10241031 -0.0496 -0.0496 GLOB UNIF SCD-GRAT  
 LOAD Z 10181025 -0.0868 -0.0868 GLOB UNIF SCD-GRAT  
 LOAD Z 10261033 -0.0744 -0.0744 GLOB UNIF SCD-GRAT  
 LOAD Z 10291036 -0.0429 -0.0429 GLOB UNIF SCD-GRAT  
 LOAD Z 10251032 -0.0868 -0.0868 GLOB UNIF SCD-GRAT  
 \*  
 \*\*\*LDS1\*\* -13.000 -33.500 24.000 -13.000 -29.500 24.000 -13.000  
 \*\*\*LDS2\*\* -33.500 24.000 -13.000 -29.500 24.000 -0.011 -0.011  
 \*\*\*LDS3\*\* 1.000 50 3 3 0 1105 -2EQUPPRESSCD-GRAT  
 LOAD Z 10121017 -0.0372 -0.0372 GLOB UNIF SCD-GRAT  
 LOAD Z 10101015 -0.0248 -0.0248 GLOB UNIF SCD-GRAT  
 LOAD Z 10111016 -0.0619 -0.0619 GLOB UNIF SCD-GRAT  
 \*  
 \*\*\*LDS1\*\* 6.500 -33.500 24.000 6.500 -29.500 24.000 6.500  
 \*\*\*LDS2\*\* -33.500 24.000 6.500 -29.500 24.000 -0.011 -0.011  
 \*\*\*LDS3\*\* 1.000 50 3 3 0 1105 -2EQUPPRESSCD-GRAT  
 LOAD Z 10101015 -0.0330 -0.0330 GLOB UNIF SCD-HAND  
 LOAD Z 10161024 -0.0330 -0.0330 GLOB UNIF SCD-HAND  
 LOAD Z 10241031 -0.0330 -0.0330 GLOB UNIF SCD-HAND  
 LOAD Z 10301031 -0.0330 -0.0330 GLOB UNIF SCD-HAND  
 LOAD Z 10301001 -0.0330 -0.0330 GLOB UNIF SCD-HAND  
 LOAD Z 10011054 -0.0330 -0.0330 GLOB UNIF SCD-HAND  
 LOAD Z 10541059 -0.0330 -0.0330 GLOB UNIF SCD-HAND  
 LOAD Z 10621065 -0.0330 -0.0330 GLOB UNIF SCD-HAND  
 LOAD Z 10591062 -0.0330 -0.0330 GLOB UNIF SCD-HAND  
 LOAD Z 10651068 -0.0330 -0.0330 GLOB UNIF SCD-HAND  
 LOAD Z 10681003 -0.0330 -0.0330 GLOB UNIF SCD-HAND  
 LOAD Z 10031073 -0.0330 -0.0330 GLOB UNIF SCD-HAND  
 LOAD Z 10731074 -0.0330 -0.0330 GLOB UNIF SCD-HAND  
 LOAD Z 10741075 -0.0330 -0.0330 GLOB UNIF SCD-HAND  
 LOAD Z 10711075 -0.0330 -0.0330 GLOB UNIF SCD-HAND  
 LOAD Z 10701071 -0.0330 -0.0330 GLOB UNIF SCD-HAND  
 LOAD Z 10671070 -0.0330 -0.0330 GLOB UNIF SCD-HAND  
 LOAD Z 10641067 -0.0330 -0.0330 GLOB UNIF SCD-HAND  
 LOAD Z 10611064 -0.0330 -0.0330 GLOB UNIF SCD-HAND  
 LOAD Z 10561061 -0.0330 -0.0330 GLOB UNIF SCD-HAND  
 LOAD Z 10561057 -0.0330 -0.0330 GLOB UNIF SCD-HAND  
 LOAD Z 10571058 -0.0330 -0.0330 GLOB UNIF SCD-HAND  
 LOAD Z 10501058 -0.0330 -0.0330 GLOB UNIF SCD-HAND  
 LOAD Z 10451053 -0.0330 -0.0330 GLOB UNIF SCD-HAND  
 LOAD Z 10361045 -0.0330 -0.0330 GLOB UNIF SCD-HAND  
 LOAD Z 10291036 -0.0330 -0.0330 GLOB UNIF SCD-HAND  
 LOAD Z 10231029 -0.0330 -0.0330 GLOB UNIF SCD-HAND  
 LOAD Z 10221023 -0.0330 -0.0330 GLOB UNIF SCD-HAND  
 LOAD Z 10171018 -0.0330 -0.0330 GLOB UNIF SCD-HAND  
 LOAD Z 10121017 -0.0330 -0.0330 GLOB UNIF SCD-HAND  
 LOAD Z 10101011 -0.0330 -0.0330 GLOB UNIF SCD-HAND  
 LOAD Z 30833084 -0.0330 -0.0330 GLOB UNIF MZ-HANDR  
 LOAD Z 30843085 -0.0330 -0.0330 GLOB UNIF MZ-HANDR  
 LOAD Z 41934194 -0.0330 -0.0330 GLOB UNIF MD-HANDR  
 LOAD Z 41944195 -0.0330 -0.0330 GLOB UNIF MD-HANDR  
 LOAD Z 41954196 -0.0330 -0.0330 GLOB UNIF MD-HANDR  
 LOAD Z 41964197 -0.0330 -0.0330 GLOB UNIF MD-HANDR  
 LOAD Z 41974198 -0.0330 -0.0330 GLOB UNIF MD-HANDR  
 LOAD Z 41984199 -0.0330 -0.0330 GLOB UNIF MD-HANDR  
 LOAD Z 41994200 -0.0330 -0.0330 GLOB UNIF MD-HANDR

LOAD Z 42004201 -0.0330 -0.0330 GLOB UNIF MD-HANDR  
 LOAD Z 42014202 -0.0330 -0.0330 GLOB UNIF MD-HANDR  
 LOAD Z 42024203 -0.0330 -0.0330 GLOB UNIF MD-HANDR  
 LOAD Z 42034204 -0.0330 -0.0330 GLOB UNIF MD-HANDR  
 LOAD Z 42044205 -0.0330 -0.0330 GLOB UNIF MD-HANDR  
 LOAD Z 42054206 -0.0330 -0.0330 GLOB UNIF MD-HANDR  
 LOAD Z 41254145 -0.0330 -0.0330 GLOB UNIF MD-HANDR  
 LOAD Z 41454168 -0.0330 -0.0330 GLOB UNIF MD-HANDR  
 LOAD Z 40944107 -0.0330 -0.0330 GLOB UNIF MD-HANDR  
 LOAD Z 41074125 -0.0330 -0.0330 GLOB UNIF MD-HANDR  
 LOAD 4004 -4.8501 GLOB JOIN PADEYE  
 LOAD 4003 -4.8501 GLOB JOIN PADEYE  
 LOAD 4001 -4.8501 GLOB JOIN PADEYE  
 LOAD 4002 -4.8501 GLOB JOIN PADEYE  
 LOAD Z 30683074 -0.0692 -0.0692 GLOB UNIF MZ-GRATT  
 LOAD Z 30743096 -0.0692 -0.0692 GLOB UNIF MZ-GRATT  
 LOAD Z 30713077 -0.0648 -0.0648 GLOB UNIF MZ-GRATT  
 LOAD Z 30773099 -0.0648 -0.0648 GLOB UNIF MZ-GRATT  
 LOAD Z 21112130 -0.0330 -0.0330 GLOB UNIF CD-HANDR  
 LOAD Z 21302131 -0.0330 -0.0330 GLOB UNIF CD-HANDR  
 LOAD Z 21312132 -0.0330 -0.0330 GLOB UNIF CD-HANDR  
 LOAD Z 21322133 -0.0330 -0.0330 GLOB UNIF CD-HANDR  
 \*  
 \*\*\*LDS1\*\* -39.250 -5.750 44.000 -39.250 44.000 -39.250  
 \*\*\*LDS2\*\* -5.750 44.000 -39.250 44.000 0.017 0.017  
 \*\*\*LDS3\*\* 1.000 50 1 3 0 1105 -2EQUPPRESCD-PLATE  
 LOAD Z 21142133 -0.0274 -0.0274 GLOB UNIF CD-PLATE  
 LOAD Z 21112130 -0.0274 -0.0274 GLOB UNIF CD-PLATE  
 LOAD Z 21122131 -0.0548 -0.0548 GLOB UNIF CD-PLATE  
 LOAD Z 21132132 -0.0548 -0.0548 GLOB UNIF CD-PLATE  
 \*  
 \*\*\*LDS1\*\* -29.500 21.250 65.000 -29.500 30.000 65.000 -29.500  
 \*\*\*LDS2\*\* 21.250 65.000 -29.500 30.000 65.000 0.017 0.017  
 \*\*\*LDS3\*\* 1.000 50 1 3 0 1105 -2EQUPPRESMD-PLATE  
 LOAD Z 41734194 -0.0505 -0.0505 GLOB UNIF MD-PLATE  
 LOAD Z 41704191 -0.0631 -0.0631 GLOB UNIF MD-PLATE  
 LOAD Z 41744195 -0.0505 -0.0505 GLOB UNIF MD-PLATE  
 LOAD Z 41774198 -0.0469 -0.0469 GLOB UNIF MD-PLATE  
 LOAD Z 41784199 -0.0626 -0.0626 GLOB UNIF MD-PLATE  
 LOAD Z 41794200 -0.0626 -0.0626 GLOB UNIF MD-PLATE  
 LOAD Z 41864207 -0.0484 -0.0484 GLOB UNIF MD-PLATE  
 LOAD Z 41884208 -0.0463 -0.0463 GLOB UNIF MD-PLATE  
 LOAD Z 41894209 -0.0210 -0.0210 GLOB UNIF MD-PLATE  
 LOAD Z 41694190 -0.0316 -0.0316 GLOB UNIF MD-PLATE  
 LOAD Z 41754196 -0.0410 -0.0410 GLOB UNIF MD-PLATE  
 LOAD Z 41844205 -0.0545 -0.0545 GLOB UNIF MD-PLATE  
 LOAD Z 41714192 -0.0569 -0.0569 GLOB UNIF MD-PLATE  
 \*  
 \*\*\*LDS1\*\* -29.500 13.000 65.000 -29.500 21.250 65.000 -29.500  
 \*\*\*LDS2\*\* 13.000 65.000 -29.500 21.250 65.000 0.017 0.017  
 \*\*\*LDS3\*\* 1.000 50 1 3 0 1105 -2EQUPPRESMD-PLATE  
 LOAD Z 41474170 -0.0631 -0.0631 GLOB UNIF MD-PLATE  
 LOAD Z 41494173 -0.0505 -0.0505 GLOB UNIF MD-PLATE  
 LOAD Z 41504174 -0.0505 -0.0505 GLOB UNIF MD-PLATE  
 LOAD Z 41534177 -0.0626 -0.0626 GLOB UNIF MD-PLATE  
 LOAD Z 41554178 -0.0626 -0.0626 GLOB UNIF MD-PLATE  
 LOAD Z 41664186 -0.0463 -0.0463 GLOB UNIF MD-PLATE  
 LOAD Z 41674187 -0.0463 -0.0463 GLOB UNIF MD-PLATE  
 LOAD Z 41584179 -0.0626 -0.0626 GLOB UNIF MD-PLATE  
 LOAD Z 41604181 -0.0626 -0.0626 GLOB UNIF MD-PLATE  
 LOAD Z 41624182 -0.0626 -0.0626 GLOB UNIF MD-PLATE  
 LOAD Z 41644183 -0.0626 -0.0626 GLOB UNIF MD-PLATE  
 LOAD Z 40034175 -0.0565 -0.0565 GLOB UNIF MD-PLATE  
 LOAD Z 40044184 -0.0545 -0.0545 GLOB UNIF MD-PLATE  
 LOAD Z 41684189 -0.0232 -0.0232 GLOB UNIF MD-PLATE  
 LOAD Z 41464169 -0.0316 -0.0316 GLOB UNIF MD-PLATE  
 LOAD Z 41484171 -0.0569 -0.0569 GLOB UNIF MD-PLATE  
 \*  
 \*\*\*LDS1\*\* -29.500 -7.500 65.000 -29.500 13.000 65.000 -29.500  
 \*\*\*LDS2\*\* -7.500 65.000 -29.500 13.000 65.000 0.017 0.017

\*\*\*LDS3\*\* 1.000 50 1 3 0 1105 -2EQUPPRESMD-PLATE  
LOAD Z 41164134 -0.0631 -0.0631 GLOB UNIF MD-PLATE  
LOAD Z 40994119 -0.0505 -0.0505 GLOB UNIF MD-PLATE  
LOAD Z 41184136 -0.0505 -0.0505 GLOB UNIF MD-PLATE  
LOAD Z 41194137 -0.0505 -0.0505 GLOB UNIF MD-PLATE  
LOAD Z 41374150 -0.0505 -0.0505 GLOB UNIF MD-PLATE  
LOAD Z 40954115 -0.0316 -0.0316 GLOB UNIF MD-PLATE  
LOAD Z 41154133 -0.0316 -0.0316 GLOB UNIF MD-PLATE  
LOAD Z 41334146 -0.0316 -0.0316 GLOB UNIF MD-PLATE  
LOAD Z 41004108 -0.0253 -0.0253 GLOB UNIF MD-PLATE  
LOAD Z 41084113 -0.0253 -0.0253 GLOB UNIF MD-PLATE  
LOAD Z 41204126 -0.0253 -0.0253 GLOB UNIF MD-PLATE  
LOAD Z 41264128 -0.0253 -0.0253 GLOB UNIF MD-PLATE  
LOAD Z 41284138 -0.0253 -0.0253 GLOB UNIF MD-PLATE  
LOAD Z 41134120 -0.0253 -0.0253 GLOB UNIF MD-PLATE  
LOAD Z 41174135 -0.0569 -0.0569 GLOB UNIF MD-PLATE  
LOAD Z 41384003 -0.0253 -0.0253 GLOB UNIF MD-PLATE  
\*  
\*\*\*LDS1\*\* -25.750 -21.250 65.000 -25.750 -7.500 65.000 -25.750  
\*\*\*LDS2\*\* -21.250 65.000 -25.750 -7.500 65.000 0.017 0.017  
\*\*\*LDS3\*\* 1.000 50 1 3 0 1105 -2EQUPPRESMD-PLATE  
LOAD Z 40494063 -0.0505 -0.0505 GLOB UNIF MD-PLATE  
LOAD Z 40754098 -0.0505 -0.0505 GLOB UNIF MD-PLATE  
LOAD Z 40764099 -0.0505 -0.0505 GLOB UNIF MD-PLATE  
LOAD Z 40634076 -0.0505 -0.0505 GLOB UNIF MD-PLATE  
LOAD Z 40014100 -0.0253 -0.0253 GLOB UNIF MD-PLATE  
LOAD Z 40734096 -0.0316 -0.0316 GLOB UNIF MD-PLATE  
LOAD Z 40464073 -0.0316 -0.0316 GLOB UNIF MD-PLATE  
LOAD Z 40744097 -0.0569 -0.0569 GLOB UNIF MD-PLATE  
LOAD Z 40504064 -0.0253 -0.0253 GLOB UNIF MD-PLATE  
LOAD Z 40644001 -0.0253 -0.0253 GLOB UNIF MD-PLATE  
\*  
\*\*\*LDS1\*\* -29.500 -29.500 65.000 -29.500 -21.250 65.000 -29.500  
\*\*\*LDS2\*\* -29.500 65.000 -29.500 -21.250 65.000 0.017 0.017  
\*\*\*LDS3\*\* 1.000 50 1 3 0 1105 -2EQUPPRESMD-PLATE  
LOAD Z 40164046 -0.0631 -0.0631 GLOB UNIF MD-PLATE  
LOAD Z 40194038 -0.0505 -0.0505 GLOB UNIF MD-PLATE  
LOAD Z 40284035 -0.0463 -0.0463 GLOB UNIF MD-PLATE  
LOAD Z 40294036 -0.0463 -0.0463 GLOB UNIF MD-PLATE  
LOAD Z 40214040 -0.0626 -0.0626 GLOB UNIF MD-PLATE  
LOAD Z 40224052 -0.0626 -0.0626 GLOB UNIF MD-PLATE  
LOAD Z 40234053 -0.0626 -0.0626 GLOB UNIF MD-PLATE  
LOAD Z 40244031 -0.0626 -0.0626 GLOB UNIF MD-PLATE  
LOAD Z 40254032 -0.0626 -0.0626 GLOB UNIF MD-PLATE  
LOAD Z 40264033 -0.0626 -0.0626 GLOB UNIF MD-PLATE  
LOAD Z 40314042 -0.0626 -0.0626 GLOB UNIF MD-PLATE  
LOAD Z 40324043 -0.0626 -0.0626 GLOB UNIF MD-PLATE  
LOAD Z 40334044 -0.0626 -0.0626 GLOB UNIF MD-PLATE  
LOAD Z 40354058 -0.0463 -0.0463 GLOB UNIF MD-PLATE  
LOAD Z 40364059 -0.0463 -0.0463 GLOB UNIF MD-PLATE  
LOAD Z 40424054 -0.0626 -0.0626 GLOB UNIF MD-PLATE  
LOAD Z 40434055 -0.0626 -0.0626 GLOB UNIF MD-PLATE  
LOAD Z 40444056 -0.0626 -0.0626 GLOB UNIF MD-PLATE  
LOAD Z 40384049 -0.0505 -0.0505 GLOB UNIF MD-PLATE  
LOAD Z 40404051 -0.0626 -0.0626 GLOB UNIF MD-PLATE  
LOAD Z 40154045 -0.0316 -0.0316 GLOB UNIF MD-PLATE  
LOAD Z 40304060 -0.0232 -0.0232 GLOB UNIF MD-PLATE  
LOAD Z 40204039 -0.0565 -0.0565 GLOB UNIF MD-PLATE  
LOAD Z 40274034 -0.0545 -0.0545 GLOB UNIF MD-PLATE  
LOAD Z 40414050 -0.0565 -0.0565 GLOB UNIF MD-PLATE  
LOAD Z 40394041 -0.0565 -0.0565 GLOB UNIF MD-PLATE  
LOAD Z 40174047 -0.0569 -0.0569 GLOB UNIF MD-PLATE  
\*  
\*\*\*LDS1\*\* -13.000 -21.250 65.000 -13.000 -13.000 65.000 -13.000  
\*\*\*LDS2\*\* -21.250 65.000 -13.000 -13.000 65.000 0.017 0.017  
\*\*\*LDS3\*\* 1.000 50 1 3 0 1105 -2EQUPPRESMD-PLATE  
LOAD Z 40584072 -0.0463 -0.0463 GLOB UNIF MD-PLATE  
LOAD Z 40594093 -0.0463 -0.0463 GLOB UNIF MD-PLATE  
LOAD Z 40534067 -0.0626 -0.0626 GLOB UNIF MD-PLATE  
LOAD Z 40544068 -0.0626 -0.0626 GLOB UNIF MD-PLATE

LOAD Z 40554069	-0.0626	-0.0626	GLOB UNIF MD-PLATE
LOAD Z 40564070	-0.0626	-0.0626	GLOB UNIF MD-PLATE
LOAD Z 40684086	-0.0626	-0.0626	GLOB UNIF MD-PLATE
LOAD Z 40694088	-0.0626	-0.0626	GLOB UNIF MD-PLATE
LOAD Z 40704090	-0.0626	-0.0626	GLOB UNIF MD-PLATE
LOAD Z 40724092	-0.0463	-0.0463	GLOB UNIF MD-PLATE
LOAD Z 40674084	-0.0626	-0.0626	GLOB UNIF MD-PLATE
LOAD Z 40604094	-0.0232	-0.0232	GLOB UNIF MD-PLATE
LOAD Z 40574061	-0.0545	-0.0545	GLOB UNIF MD-PLATE
LOAD Z 40614071	-0.0545	-0.0545	GLOB UNIF MD-PLATE
LOAD Z 40514065	-0.0626	-0.0626	GLOB UNIF MD-PLATE
LOAD Z 40524066	-0.0626	-0.0626	GLOB UNIF MD-PLATE
LOAD Z 40654079	-0.0626	-0.0626	GLOB UNIF MD-PLATE
LOAD Z 40664081	-0.0626	-0.0626	GLOB UNIF MD-PLATE
LOAD Z 40714002	-0.0545	-0.0545	GLOB UNIF MD-PLATE
LOAD Z 40504064	-0.0312	-0.0312	GLOB UNIF MD-PLATE
LOAD Z 40644001	-0.0312	-0.0312	GLOB UNIF MD-PLATE
*			
***LDS1**	-13.000	-13.000	65.000 -13.000 13.000 65.000 -13.000
***LDS2**	-13.000	65.000	-13.000 13.000 65.000 0.017 0.017
***LDS3**	1.000	50 1 3 0 1105	-2EQUPPRESMD-PLATE
LOAD Z 40924105	-0.0463	-0.0463	GLOB UNIF MD-PLATE
LOAD Z 40934106	-0.0463	-0.0463	GLOB UNIF MD-PLATE
LOAD Z 41234143	-0.0463	-0.0463	GLOB UNIF MD-PLATE
LOAD Z 41244144	-0.0463	-0.0463	GLOB UNIF MD-PLATE
LOAD Z 40794109	-0.0505	-0.0505	GLOB UNIF MD-PLATE
LOAD Z 40804110	-0.0505	-0.0505	GLOB UNIF MD-PLATE
LOAD Z 41094129	-0.0505	-0.0505	GLOB UNIF MD-PLATE
LOAD Z 41104130	-0.0505	-0.0505	GLOB UNIF MD-PLATE
LOAD Z 41294153	-0.0505	-0.0505	GLOB UNIF MD-PLATE
LOAD Z 41304154	-0.0505	-0.0505	GLOB UNIF MD-PLATE
LOAD Z 41434166	-0.0463	-0.0463	GLOB UNIF MD-PLATE
LOAD Z 41444167	-0.0463	-0.0463	GLOB UNIF MD-PLATE
LOAD Z 41054123	-0.0463	-0.0463	GLOB UNIF MD-PLATE
LOAD Z 41064124	-0.0463	-0.0463	GLOB UNIF MD-PLATE
LOAD Z 40014100	-0.0253	-0.0253	GLOB UNIF MD-PLATE
LOAD Z 40024104	-0.0772	-0.0772	GLOB UNIF MD-PLATE
LOAD Z 40944107	-0.0232	-0.0232	GLOB UNIF MD-PLATE
LOAD Z 41254145	-0.0232	-0.0232	GLOB UNIF MD-PLATE
LOAD Z 41454168	-0.0232	-0.0232	GLOB UNIF MD-PLATE
LOAD Z 41074125	-0.0232	-0.0232	GLOB UNIF MD-PLATE
LOAD Z 40824101	-0.0590	-0.0590	GLOB UNIF MD-PLATE
LOAD Z 40854102	-0.0891	-0.0891	GLOB UNIF MD-PLATE
LOAD Z 40894103	-0.1095	-0.1095	GLOB UNIF MD-PLATE
LOAD Z 41014111	-0.0590	-0.0590	GLOB UNIF MD-PLATE
LOAD Z 41034112	-0.1095	-0.1095	GLOB UNIF MD-PLATE
LOAD Z 41114131	-0.0590	-0.0590	GLOB UNIF MD-PLATE
LOAD Z 41124121	-0.1095	-0.1095	GLOB UNIF MD-PLATE
LOAD Z 41214132	-0.1095	-0.1095	GLOB UNIF MD-PLATE
LOAD Z 41314139	-0.0590	-0.0590	GLOB UNIF MD-PLATE
LOAD Z 41324141	-0.1095	-0.1095	GLOB UNIF MD-PLATE
LOAD Z 41394156	-0.0590	-0.0590	GLOB UNIF MD-PLATE
LOAD Z 41404159	-0.0891	-0.0891	GLOB UNIF MD-PLATE
LOAD Z 41414163	-0.1095	-0.1095	GLOB UNIF MD-PLATE
LOAD Z 41004108	-0.0253	-0.0253	GLOB UNIF MD-PLATE
LOAD Z 41044114	-0.0772	-0.0772	GLOB UNIF MD-PLATE
LOAD Z 41084113	-0.0253	-0.0253	GLOB UNIF MD-PLATE
LOAD Z 41204126	-0.0253	-0.0253	GLOB UNIF MD-PLATE
LOAD Z 41264128	-0.0253	-0.0253	GLOB UNIF MD-PLATE
LOAD Z 41224127	-0.0772	-0.0772	GLOB UNIF MD-PLATE
LOAD Z 41284138	-0.0253	-0.0253	GLOB UNIF MD-PLATE
LOAD Z 41134120	-0.0253	-0.0253	GLOB UNIF MD-PLATE
LOAD Z 41144122	-0.0772	-0.0772	GLOB UNIF MD-PLATE
LOAD Z 41274142	-0.0772	-0.0772	GLOB UNIF MD-PLATE
LOAD Z 41424004	-0.0772	-0.0772	GLOB UNIF MD-PLATE
LOAD Z 41384003	-0.0253	-0.0253	GLOB UNIF MD-PLATE
LOAD 4045		-2.3320	GLOB JOIN STAIR
LOAD 4046		-2.3320	GLOB JOIN STAIR
LOAD 3052		-2.3320	GLOB JOIN STAIR
LOAD 3054		-2.3320	GLOB JOIN STAIR

LOAD	3082	-2.5410	GLOB	JOIN	STAIR	
LOAD	3083	-2.5410	GLOB	JOIN	STAIR	
LOAD	2178	-2.5410	GLOB	JOIN	STAIR	
LOAD	2179	-2.5410	GLOB	JOIN	STAIR	
LOAD	2017	-3.3110	GLOB	JOIN	STAIR	
LOAD	2025	-3.3110	GLOB	JOIN	STAIR	
LOAD	1019	-3.3110	GLOB	JOIN	STAIR	
LOAD	1015	-3.0360	GLOB	JOIN	STAIR	
LOAD	1016	-3.0360	GLOB	JOIN	STAIR	
LOAD	Z 10011039	3.25000-0.0243	GLOB	CONC	C150	
LOAD	1060	-16.798	GLOB	JOIN	C150	
LOAD	Z 40184037	-0.0505	-0.0505	GLOB	UNIF	MD-PLATE
LOAD	Z 40374048	-0.0505	-0.0505	GLOB	UNIF	MD-PLATE
LOAD	Z 40484062	-0.0505	-0.0505	GLOB	UNIF	MD-PLATE
LOAD	Z 40624075	-0.0505	-0.0505	GLOB	UNIF	MD-PLATE
LOAD	Z 40474000	-0.0569	-0.0569	GLOB	UNIF	MD-PLATE
LOAD	Z 40004074	-0.0569	-0.0569	GLOB	UNIF	MD-PLATE
LOAD	Z 20292155	-0.0330	-0.0330	GLOB	UNIF	CD-HANDR
LOAD	Z 21552030	-0.0330	-0.0330	GLOB	UNIF	CD-HANDR
LOAD	Z 40954096	-0.0330	-0.0330	GLOB	UNIF	MD-HANDR
LOAD	Z 40954096	0.08333-0.03303	3.33333-0.0330	GLOB	UNIF	MD-HANDR
LOAD	Z 21804210	-0.0548	-0.0548	GLOB	UNIF	CD-PLATE
LOAD	Z 42102207	-0.0548	-0.0548	GLOB	UNIF	CD-PLATE
LOAD	Z 21344211	-0.0821	-0.0821	GLOB	UNIF	CD-PLATE
LOAD	Z 42112180	-0.0821	-0.0821	GLOB	UNIF	CD-PLATE
LOAD	Z 20524222	-0.0554	-0.0554	GLOB	UNIF	CD-PLATE
LOAD	Z 42222083	-0.0554	-0.0554	GLOB	UNIF	CD-PLATE
LOAD	Z 20574223	-0.0828	-0.0828	GLOB	UNIF	CD-PLATE
LOAD	Z 42232088	-0.0828	-0.0828	GLOB	UNIF	CD-PLATE
LOAD	Z 21872251	-0.0548	-0.0548	GLOB	UNIF	CD-PLATE
LOAD	Z 22512215	-0.0548	-0.0548	GLOB	UNIF	CD-PLATE
LOAD	Z 41814333	-0.0626	-0.0626	GLOB	UNIF	MD-PLATE
LOAD	Z 43334202	-0.0626	-0.0626	GLOB	UNIF	MD-PLATE
LOAD	Z 41824334	-0.0626	-0.0626	GLOB	UNIF	MD-PLATE
LOAD	Z 43344203	-0.0626	-0.0626	GLOB	UNIF	MD-PLATE
LOAD	Z 41834335	-0.0626	-0.0626	GLOB	UNIF	MD-PLATE
LOAD	Z 43354204	-0.0626	-0.0626	GLOB	UNIF	MD-PLATE
LOAD	Z 41344340	-0.0631	-0.0631	GLOB	UNIF	MD-PLATE
LOAD	Z 43404147	-0.0631	-0.0631	GLOB	UNIF	MD-PLATE
LOAD	Z 41354341	-0.0569	-0.0569	GLOB	UNIF	MD-PLATE
LOAD	Z 43414148	-0.0569	-0.0569	GLOB	UNIF	MD-PLATE
LOAD	Z 41364342	-0.0505	-0.0505	GLOB	UNIF	MD-PLATE
LOAD	Z 43424149	-0.0505	-0.0505	GLOB	UNIF	MD-PLATE
LOAD	Z 40964343	-0.0631	-0.0631	GLOB	UNIF	MD-PLATE
LOAD	Z 43434116	-0.0631	-0.0631	GLOB	UNIF	MD-PLATE
LOAD	Z 40974344	-0.0569	-0.0569	GLOB	UNIF	MD-PLATE
LOAD	Z 43444117	-0.0569	-0.0569	GLOB	UNIF	MD-PLATE
LOAD	Z 40984345	-0.0505	-0.0505	GLOB	UNIF	MD-PLATE
LOAD	Z 43454118	-0.0505	-0.0505	GLOB	UNIF	MD-PLATE
LOAD	Z 22152355	-0.0548	-0.0548	GLOB	UNIF	CD-PLATE
LOAD	Z 23552239	-0.0548	-0.0548	GLOB	UNIF	CD-PLATE
LOAD	Z 22162356	-0.0548	-0.0548	GLOB	UNIF	CD-PLATE
LOAD	Z 23562240	-0.0548	-0.0548	GLOB	UNIF	CD-PLATE
LOAD	Z 22172357	-0.0548	-0.0548	GLOB	UNIF	CD-PLATE
LOAD	Z 23572241	-0.0548	-0.0548	GLOB	UNIF	CD-PLATE
LOAD	Z 22182358	-0.0548	-0.0548	GLOB	UNIF	CD-PLATE
LOAD	Z 23582242	-0.0548	-0.0548	GLOB	UNIF	CD-PLATE
LOAD	Z 22192359	-0.0856	-0.0856	GLOB	UNIF	CD-PLATE
LOAD	Z 23592243	-0.0856	-0.0856	GLOB	UNIF	CD-PLATE
LOAD	Z 21882361	-0.0548	-0.0548	GLOB	UNIF	CD-PLATE
LOAD	Z 23612216	-0.0548	-0.0548	GLOB	UNIF	CD-PLATE
LOAD	Z 21892362	-0.0548	-0.0548	GLOB	UNIF	CD-PLATE
LOAD	Z 23622217	-0.0548	-0.0548	GLOB	UNIF	CD-PLATE
LOAD	Z 21902363	-0.0548	-0.0548	GLOB	UNIF	CD-PLATE
LOAD	Z 23632218	-0.0548	-0.0548	GLOB	UNIF	CD-PLATE
LOAD	Z 21912364	-0.0856	-0.0856	GLOB	UNIF	CD-PLATE
LOAD	Z 23642219	-0.0856	-0.0856	GLOB	UNIF	CD-PLATE
LOAD	Z 21812365	-0.0554	-0.0554	GLOB	UNIF	CD-PLATE
LOAD	Z 23652202	-0.0554	-0.0554	GLOB	UNIF	CD-PLATE
LOAD	Z 22002366	-0.0561	-0.0561	GLOB	UNIF	CD-PLATE

LOAD Z 23662210	-0.0561	-0.0561	GLOB UNIF	CD-PLATE
LOAD Z 21352367	-0.0554	-0.0554	GLOB UNIF	CD-PLATE
LOAD Z 23672181	-0.0554	-0.0554	GLOB UNIF	CD-PLATE
LOAD Z 21362368	-0.0561	-0.0561	GLOB UNIF	CD-PLATE
LOAD Z 23682182	-0.0561	-0.0561	GLOB UNIF	CD-PLATE
LOAD Z 20342374	-0.0330	-0.0330	GLOB UNIF	CD-HANDR
LOAD Z 23742035	-0.0330	-0.0330	GLOB UNIF	CD-HANDR
LOAD Z 20352376	-0.0891	-0.0891	GLOB UNIF	CD-PLATE
LOAD Z 23762065	-0.0891	-0.0891	GLOB UNIF	CD-PLATE
LOAD Z 20362377	-0.0617	-0.0617	GLOB UNIF	CD-PLATE
LOAD Z 23772066	-0.0617	-0.0617	GLOB UNIF	CD-PLATE
*				
LOAD B079	-3.0360		GLOB JOIN	STAIR
LOAD B068	-3.0360		GLOB JOIN	STAIR
LOAD Z 40344356	-0.0545	-0.0545	GLOB UNIF	MD-PLATE
LOAD Z 43564057	-0.0545	-0.0545	GLOB UNIF	MD-PLATE
LOAD Z 10271300	-0.0801	-0.0801	GLOB UNIF	SCD-GRAT
LOAD Z 13001034	-0.0801	-0.0801	GLOB UNIF	SCD-GRAT
LOAD Z 10281301	-0.0858	-0.0858	GLOB UNIF	SCD-GRAT
LOAD Z 13011035	-0.0858	-0.0858	GLOB UNIF	SCD-GRAT
*				
LOADCN 110				
* 1. CAISSON RING				
* 2. CONDUCTOR GUIDE				
LOAD C294	-0.9025		GLOB JOIN	CNDGUIDE
LOAD C394	-0.9025		GLOB JOIN	CNDGUIDE
LOAD C494	-0.9025		GLOB JOIN	CNDGUIDE
*				
LOAD C293	-0.9025		GLOB JOIN	CNDGUIDE
LOAD C393	-0.9025		GLOB JOIN	CNDGUIDE
LOAD C493	-0.9025		GLOB JOIN	CNDGUIDE
*				
LOAD C292	-0.9025		GLOB JOIN	CNDGUIDE
LOAD C392	-0.9025		GLOB JOIN	CNDGUIDE
LOAD C492	-0.9025		GLOB JOIN	CNDGUIDE
* 3. SLEEVE CENTRALIZER				
LOAD 601	-0.3226		GLOB JOIN	CS-CNTRZ
LOAD 401	-0.0950		GLOB JOIN	CS-SHIM
LOAD 201	-0.0950		GLOB JOIN	CS-SHIM
*				
LOAD 303	-0.1122		GLOB JOIN	PL-SHIM
LOAD 302	-0.1122		GLOB JOIN	PL-SHIM
LOAD 403	-0.1122		GLOB JOIN	PL-SHIM
LOAD 402	-0.1122		GLOB JOIN	PL-SHIM
LOAD 703	-0.1122		GLOB JOIN	PL-SHIM
LOAD 702	-0.1122		GLOB JOIN	PL-SHIM
LOAD 203	-0.1122		GLOB JOIN	PL-SHIM
LOAD 202	-0.1122		GLOB JOIN	PL-SHIM
* 4. CAISSON INSTALLATION GUIDE PLATE				
LOAD 121	-0.7742		GLOB JOIN	CS-GUIDE
*LOAD 801	-1.2410		GLOB JOIN	CS-CROW
*LOAD 802	-0.8170		GLOB JOIN	PL-CROW
*LOAD 803	-0.8170		GLOB JOIN	PL-CROW
* 5. SLEEVE CAP PLATE				
LOAD 902	-0.0870		GLOB JOIN	PL-CUP
LOAD 903	-0.0870		GLOB JOIN	PL-CUP
LOAD Z 203 201	10.2980-0.9284		GLOB CONC	ANODE
LOAD Z 203 201	27.7690-0.9284		GLOB CONC	ANODE
LOAD Z 201 202	10.2980-0.9284		GLOB CONC	ANODE
LOAD Z 201 202	27.7690-0.9284		GLOB CONC	ANODE
LOAD Z 203 202	13.9530-0.9284		GLOB CONC	ANODE
LOAD Z 203 202	27.8980-0.9284		GLOB CONC	ANODE
LOAD Z 203 202	41.8420-0.9284		GLOB CONC	ANODE
LOAD Z 203 302	18.3770-0.9284		GLOB CONC	ANODE
LOAD Z 203 302	33.4080-0.9284		GLOB CONC	ANODE
LOAD Z 203 302	48.4080-0.9284		GLOB CONC	ANODE
LOAD Z 201 302	23.0170-0.9284		GLOB CONC	ANODE
LOAD Z 201 302	37.0540-0.9284		GLOB CONC	ANODE
LOAD Z 201 303	23.0170-0.9284		GLOB CONC	ANODE
LOAD Z 201 303	37.0540-0.9284		GLOB CONC	ANODE

LOAD Z 202 302	28.4130-0.9284	GLOB CONC ANODE
LOAD Z 203 303	28.4130-0.9284	GLOB CONC ANODE
LOAD Z 303 302	10.6920-0.9284	GLOB CONC ANODE
LOAD Z 303 302	28.0260-0.9284	GLOB CONC ANODE
LOAD Z 302 403	17.4780-0.9284	GLOB CONC ANODE
LOAD Z 302 403	33.9440-0.9284	GLOB CONC ANODE
LOAD Z 302 402	22.3650-0.9284	GLOB CONC ANODE
LOAD Z 303 403	22.3650-0.9284	GLOB CONC ANODE
LOAD Z 401 402	6.27900-0.9284	GLOB CONC ANODE
LOAD Z 401 403	6.27900-0.9284	GLOB CONC ANODE
LOAD Z 403 402	11.5000-0.9284	GLOB CONC ANODE
LOAD Z 402 502	9.32600-0.9284	GLOB CONC ANODE
LOAD Z 403 503	9.32600-0.9284	GLOB CONC ANODE
LOAD Z 303 401	11.9440-0.9284	GLOB CONC ANODE
LOAD Z 303 401	25.2550-0.9284	GLOB CONC ANODE
LOAD Z 302 401	11.9440-0.9284	GLOB CONC ANODE
LOAD Z 302 401	25.2550-0.9284	GLOB CONC ANODE
LOAD Z 501 505	11.7500-0.9284	GLOB CONC ANODE
LOAD Z 205 206	11.0000-0.9284	GLOB CONC ANODE
LOAD Z 305 306	2.00000-0.9284	GLOB CONC ANODE
* 8. LIFTING PADEYE NEW		
LOAD 811	-3.0009	GLOB JOIN PADEYES
LOAD 211	-2.2357	GLOB JOIN PADEYES
* 9. TRUNNION		
LOAD 202	-0.6017	GLOB JOIN TRUNION
LOAD 203	-0.6017	GLOB JOIN TRUNION
* 11. RISER Ø6.625" CLAMP		
LOAD 880	-0.5784	GLOB JOIN CALMP6IN
LOAD 585	-0.4984	GLOB JOIN CALMP6IN
LOAD 485	-0.4984	GLOB JOIN CALMP6IN
LOAD 385	-0.4984	GLOB JOIN CALMP6IN
LOAD 285	-0.4984	GLOB JOIN CALMP6IN
LOAD 183	-0.4984	GLOB JOIN CALMP6IN
LOAD 0026	-0.4984	GLOB JOIN CALMP6IN
LOAD 181	-0.4984	GLOB JOIN CALMP6IN
* 14. RISER Ø8.625" CLAMP		
LOAD 860	-0.6540	GLOB JOIN CALMP8IN
LOAD 560	-0.5873	GLOB JOIN CALMP8IN
LOAD 460	-0.5873	GLOB JOIN CALMP8IN
LOAD 360	-0.5873	GLOB JOIN CALMP8IN
LOAD 260	-0.5873	GLOB JOIN CALMP8IN
LOAD 163	-0.5873	GLOB JOIN CALMP8IN
* 17. SUMP CAISSON GUIDE		
LOAD S02	-0.0851	GLOB JOIN CS-GUIDE
LOAD S04	-0.0851	GLOB JOIN CS-GUIDE
LOAD Z B571B100	-0.0526 -0.0526	GLOB UNIF ST-BL-BL
LOAD Z B095B097	-0.0526 -0.0526	GLOB UNIF ST-BL-BL
LOAD Z B092B093	-0.3137 -0.3137	GLOB UNIF ST-BL-SC
LOAD Z B549B550	-0.0664 -0.0664	GLOB UNIF LABBLD
LOAD Z B064B065	-0.0807 -0.0807	GLOB UNIF LABBLD
LOAD Z B064B065	-0.0068 -0.0068	GLOB UNIF MSCBLD
LOAD Z B065B066	-0.0068 -0.0068	GLOB UNIF MSCBLD
LOAD Z B066B067	-0.0068 -0.0068	GLOB UNIF MSCBLD
LOAD Z B067B068	-0.0068 -0.0068	GLOB UNIF MSCBLD
LOAD Z B072B071	-0.0068 -0.0068	GLOB UNIF MSCBLD
LOAD Z B073B072	-0.0068 -0.0068	GLOB UNIF MSCBLD
LOAD Z B074B073	-0.0068 -0.0068	GLOB UNIF MSCBLD
LOAD Z B075B074	-0.0068 -0.0068	GLOB UNIF MSCBLD
LOAD Z B076B075	-0.0068 -0.0068	GLOB UNIF MSCBLD
LOAD Z B077B076	-0.0068 -0.0068	GLOB UNIF MSCBLD
LOAD Z B072B071	-0.2919 -0.2919	GLOB UNIF MSCBLD
LOAD Z B073B072	-0.2919 -0.2919	GLOB UNIF MSCBLD
LOAD Z B074B073	-0.2919 -0.2919	GLOB UNIF MSCBLD
LOAD Z B075B074	-0.2919 -0.2919	GLOB UNIF MSCBLD
LOAD Z B076B075	-0.2919 -0.2919	GLOB UNIF MSCBLD
LOAD Z B077B076	-0.2919 -0.2919	GLOB UNIF MSCBLD
LOAD Z B562B561	-0.0056 -0.0056	GLOB UNIF MSCBLD
LOAD Z B561B560	-0.0056 -0.0056	GLOB UNIF MSCBLD
LOAD Z B560B559	-0.0056 -0.0056	GLOB UNIF MSCBLD
LOAD Z B559B558	-0.0056 -0.0056	GLOB UNIF MSCBLD

LOAD Z B558B557	-0.0056	-0.0056	GLOB UNIF MSCBLD
LOAD Z B557B556	-0.0056	-0.0056	GLOB UNIF MSCBLD
LOAD Z B552B553	-0.0056	-0.0056	GLOB UNIF MSCBLD
LOAD Z B550B551	-0.0056	-0.0056	GLOB UNIF MSCBLD
LOAD Z B551B552	-0.0056	-0.0056	GLOB UNIF MSCBLD
LOAD Z B549B550	-0.0056	-0.0056	GLOB UNIF MSCBLD
LOAD Z B562B561	-0.3074	-0.3074	GLOB UNIF MSCBLD
LOAD Z B561B560	-0.3074	-0.3074	GLOB UNIF MSCBLD
LOAD Z B560B559	-0.3074	-0.3074	GLOB UNIF MSCBLD
LOAD Z B559B558	-0.3074	-0.3074	GLOB UNIF MSCBLD
LOAD Z B558B557	-0.3074	-0.3074	GLOB UNIF MSCBLD
LOAD Z B557B556	-0.3074	-0.3074	GLOB UNIF MSCBLD
* BOATLANDING SUPPORT			
LOAD B089	-1.1384		GLOB JOIN BLDSUP
LOAD B094	-1.1384		GLOB JOIN BLDSUP
LOAD B102	-1.3401		GLOB JOIN BLDSUP
LOAD B101	-1.3401		GLOB JOIN BLDSUP
LOAD Z B549B550	-0.0120	-0.0120	GLOB UNIF GRTBLDM
LOAD Z B549B554	-0.0120	-0.0120	GLOB UNIF GRTBLDM
LOAD Z B550B551	-0.0120	-0.0120	GLOB UNIF GRTBLDM
LOAD Z B550B558	-0.0120	-0.0120	GLOB UNIF GRTBLDM
LOAD Z B551B552	-0.0120	-0.0120	GLOB UNIF GRTBLDM
LOAD Z B551B560	-0.0120	-0.0120	GLOB UNIF GRTBLDM
LOAD Z B552B100	-0.0120	-0.0120	GLOB UNIF GRTBLDM
LOAD Z B552B553	-0.0120	-0.0120	GLOB UNIF GRTBLDM
LOAD Z B553B565	-0.0120	-0.0120	GLOB UNIF GRTBLDM
LOAD Z B555B554	-0.0120	-0.0120	GLOB UNIF GRTBLDM
LOAD Z B556B555	-0.0120	-0.0120	GLOB UNIF GRTBLDM
LOAD Z B557B556	-0.0120	-0.0120	GLOB UNIF GRTBLDM
LOAD Z B558B557	-0.0120	-0.0120	GLOB UNIF GRTBLDM
LOAD Z B559B558	-0.0120	-0.0120	GLOB UNIF GRTBLDM
LOAD Z B560B559	-0.0120	-0.0120	GLOB UNIF GRTBLDM
LOAD Z B561B560	-0.0120	-0.0120	GLOB UNIF GRTBLDM
LOAD Z B562B561	-0.0120	-0.0120	GLOB UNIF GRTBLDM
LOAD Z B563B562	-0.0120	-0.0120	GLOB UNIF GRTBLDM
LOAD Z B564B563	-0.0120	-0.0120	GLOB UNIF GRTBLDM
LOAD Z B565B564	-0.0120	-0.0120	GLOB UNIF GRTBLDM
LOAD Z B567B553	-0.0120	-0.0120	GLOB UNIF GRTBLDM
LOAD Z B567B571	-0.0120	-0.0120	GLOB UNIF GRTBLDM
LOAD Z B571B100	-0.0120	-0.0120	GLOB UNIF GRTBLDM
LOAD Z B550B555	-0.0120	-0.0120	GLOB UNIF GRTBLDM
LOAD Z B551B563	-0.0120	-0.0120	GLOB UNIF GRTBLDM
LOAD Z B560B550	-0.0120	-0.0120	GLOB UNIF GRTBLDM
LOAD Z B571B552	-0.0120	-0.0120	GLOB UNIF GRTBLDM
LOAD Z B069B080	-0.0078	-0.0078	GLOB UNIF GRTBLDS
LOAD Z B064B080	-0.0078	-0.0078	GLOB UNIF GRTBLDS
LOAD Z B080B095	-0.0078	-0.0078	GLOB UNIF GRTBLDS
LOAD Z B095B097	-0.0078	-0.0078	GLOB UNIF GRTBLDS
LOAD Z B096B095	-0.0078	-0.0078	GLOB UNIF GRTBLDS
LOAD Z B098B099	-0.0078	-0.0078	GLOB UNIF GRTBLDS
LOAD Z B099B097	-0.0078	-0.0078	GLOB UNIF GRTBLDS
LOAD Z B064B065	-0.0078	-0.0078	GLOB UNIF GRTBLDS
LOAD Z B064B069	-0.0078	-0.0078	GLOB UNIF GRTBLDS
LOAD Z B064B096	-0.0078	-0.0078	GLOB UNIF GRTBLDS
LOAD Z B065B066	-0.0078	-0.0078	GLOB UNIF GRTBLDS
LOAD Z B066B073	-0.0078	-0.0078	GLOB UNIF GRTBLDS
LOAD Z B069B070	-0.0078	-0.0078	GLOB UNIF GRTBLDS
LOAD Z B071B070	-0.0078	-0.0078	GLOB UNIF GRTBLDS
LOAD Z B096B098	-0.0078	-0.0078	GLOB UNIF GRTBLDS
LOAD Z B070B066	-0.0078	-0.0078	GLOB UNIF GRTBLDS
LOAD Z B072B071	-0.0078	-0.0078	GLOB UNIF GRTBLDS
LOAD Z B073B072	-0.0078	-0.0078	GLOB UNIF GRTBLDS
LOAD Z B066B067	-0.0078	-0.0078	GLOB UNIF GRTBLDS
LOAD Z B067B068	-0.0078	-0.0078	GLOB UNIF GRTBLDS
LOAD Z B067B075	-0.0078	-0.0078	GLOB UNIF GRTBLDS
LOAD Z B068B079	-0.0078	-0.0078	GLOB UNIF GRTBLDS
LOAD Z B077B078	-0.0078	-0.0078	GLOB UNIF GRTBLDS
LOAD Z B078B079	-0.0078	-0.0078	GLOB UNIF GRTBLDS
LOAD Z B067B078	-0.0078	-0.0078	GLOB UNIF GRTBLDS
LOAD Z B074B073	-0.0078	-0.0078	GLOB UNIF GRTBLDS

LOAD Z B075B074	-0.0078	-0.0078	GLOB UNIF	GRTBLDS
LOAD Z B076B075	-0.0078	-0.0078	GLOB UNIF	GRTBLDS
LOAD Z B077B076	-0.0078	-0.0078	GLOB UNIF	GRTBLDS
LOAD Z B068B091	-0.0078	-0.0078	GLOB UNIF	GRTBLDS
LOAD Z B090B091	-0.0078	-0.0078	GLOB UNIF	GRTBLDS
LOAD Z B091B093	-0.0078	-0.0078	GLOB UNIF	GRTBLDS
LOAD Z B092B093	-0.0078	-0.0078	GLOB UNIF	GRTBLDS
LOAD Z B068B092	-0.0078	-0.0078	GLOB UNIF	GRTBLDS
LOAD Z B067B090	-0.0078	-0.0078	GLOB UNIF	GRTBLDS
* BOATLANDING SAFETY BARRIER				
LOAD B553	-0.6190		GLOB JOIN	SFTBAR
LOAD B054	-0.6190		GLOB JOIN	SFTBAR
LOAD B521	-0.6190		GLOB JOIN	SFTBAR
LOAD B023	-0.6190		GLOB JOIN	SFTBAR
LOAD Z S05 S06	-0.0343	-0.0343	GLOB UNIF	INSUMCS
LOAD Z S04 S05	-0.0343	-0.0343	GLOB UNIF	INSUMCS
LOAD Z S03 S04	-0.0343	-0.0343	GLOB UNIF	INSUMCS
LOAD Z S02 S03	-0.0343	-0.0343	GLOB UNIF	INSUMCS
LOAD Z S02 S01	-0.0343	-0.0343	GLOB UNIF	INSUMCS
LOAD S05	-0.4410		GLOB JOIN	INSUMCS
* RISER PROTECTOR SUPPORT				
LOAD RG21	-0.8759		GLOB JOIN	RISERSUP
LOAD RG22	-0.8759		GLOB JOIN	RISERSUP
*				
***** PIPING LOADS *****				
LOADCN 115 1.100				
LOAD Z 41134120	-0.0215	-0.0215	GLOB UNIF	MD-PIPE4
LOAD Z 41084109	-0.0215	-0.0215	GLOB UNIF	MD-PIPE4
LOAD Z 41014102	-0.0215	-0.0215	GLOB UNIF	MD-PIPE4
LOAD Z 41014111	-0.0215	-0.0215	GLOB UNIF	MD-PIPE4
LOAD Z 41034112	-0.0215	-0.0215	GLOB UNIF	MD-PIPE4
LOAD Z 41114112	-0.0215	-0.0215	GLOB UNIF	MD-PIPE4
LOAD Z 41094110	-0.0215	-0.0215	GLOB UNIF	MD-PIPE4
LOAD Z 41104111	-0.0215	-0.0215	GLOB UNIF	MD-PIPE4
LOAD Z 41004108	-0.0215	-0.0215	GLOB UNIF	MD-PIPE4
LOAD Z 40894103	-0.0215	-0.0215	GLOB UNIF	MD-PIPE4
LOAD Z 40854102	-0.0215	-0.0215	GLOB UNIF	MD-PIPE4
LOAD Z 40824101	-0.0215	-0.0215	GLOB UNIF	MD-PIPE4
LOAD Z 40804110	-0.0215	-0.0215	GLOB UNIF	MD-PIPE4
LOAD Z 40794109	-0.0215	-0.0215	GLOB UNIF	MD-PIPE4
LOAD Z 40014100	-0.0215	-0.0215	GLOB UNIF	MD-PIPE4
LOAD Z 40764099	-0.0259	-0.0259	GLOB UNIF	MD-PIPE3
LOAD Z 40754098	-0.0259	-0.0259	GLOB UNIF	MD-PIPE3
LOAD Z 40994119	-0.0259	-0.0259	GLOB UNIF	MD-PIPE3
LOAD Z 41194137	-0.0134	-0.0134	GLOB UNIF	MD-PIPE3
LOAD Z 41184136	-0.0134	-0.0134	GLOB UNIF	MD-PIPE3
LOAD Z 41374150	-0.0134	-0.0134	GLOB UNIF	MD-PIPE3
LOAD Z 41504174	-0.0134	-0.0134	GLOB UNIF	MD-PIPE3
LOAD Z 41494173	-0.0134	-0.0134	GLOB UNIF	MD-PIPE3
LOAD Z 41434166	-0.0450	-0.0450	GLOB UNIF	MD-PIPE1
LOAD Z 41444167	-0.0450	-0.0450	GLOB UNIF	MD-PIPE1
LOAD Z 41234143	-0.0450	-0.0450	GLOB UNIF	MD-PIPE1
LOAD Z 41244144	-0.0450	-0.0450	GLOB UNIF	MD-PIPE1
LOAD Z 41054123	-0.0601	-0.0601	GLOB UNIF	MD-PIPE1
LOAD Z 41064124	-0.0601	-0.0601	GLOB UNIF	MD-PIPE1
LOAD Z 40924105	-0.0476	-0.0476	GLOB UNIF	MD-PIPE1
LOAD Z 40934106	-0.0351	-0.0351	GLOB UNIF	MD-PIPE1
LOAD Z 40034175	4.00000-0.0124	-0.0124	GLOB UNIF	MD-PIPE2
LOAD Z 41534177	4.00000-0.0124	-0.0124	GLOB UNIF	MD-PIPE2
LOAD Z 41554178	4.00000-0.0124	-0.0124	GLOB UNIF	MD-PIPE2
LOAD Z 41584179	4.00000-0.0124	-0.0124	GLOB UNIF	MD-PIPE2
LOAD Z 41604181	4.00000-0.0124	-0.0124	GLOB UNIF	MD-PIPE2
LOAD Z 41624182	4.00000-0.0124	-0.0124	GLOB UNIF	MD-PIPE2
LOAD Z 41644183	4.00000-0.0124	-0.0124	GLOB UNIF	MD-PIPE2
LOAD Z 40044184	4.00000-0.0124	-0.0124	GLOB UNIF	MD-PIPE2
LOAD Z 41664186	4.00000-0.0100	-0.0100	GLOB UNIF	MD-PIPE2
LOAD Z 41674187	4.00000-0.0100	-0.0100	GLOB UNIF	MD-PIPE2
LOAD Z 41024005	-0.0215	-0.0215	GLOB UNIF	MD-PIPE4

LOAD Z 40054103	-0.0215	-0.0215	GLOB UNIF MD-PIPE4
LOAD Z 41364342	-0.0134	-0.0134	GLOB UNIF MD-PIPE3
LOAD Z 43424149	-0.0134	-0.0134	GLOB UNIF MD-PIPE3
LOAD Z 40984345	-0.0134	-0.0134	GLOB UNIF MD-PIPE3
LOAD Z 43454118	-0.0134	-0.0134	GLOB UNIF MD-PIPE3
LOAD Z 40634076	-0.0479	-0.0479	GLOB UNIF MD-PIPE5
LOAD Z 40644001	-0.0604	-0.0604	GLOB UNIF MD-PIPE5
LOAD Z 40654079	-0.0354	-0.0354	GLOB UNIF MD-PIPE5
LOAD Z 40004062	-0.0354	-0.0354	GLOB UNIF MD-PIPE5
LOAD Z 40624063	-0.0354	-0.0354	GLOB UNIF MD-PIPE5
LOAD Z 40634064	-0.0354	-0.0354	GLOB UNIF MD-PIPE5
LOAD Z 40644065	-0.0354	-0.0354	GLOB UNIF MD-PIPE5
LOAD Z 40654066	-0.0354	-0.0354	GLOB UNIF MD-PIPE5
LOAD Z 40664067	-0.0354	-0.0354	GLOB UNIF MD-PIPE5
LOAD Z 40684069	-0.0354	-0.0354	GLOB UNIF MD-PIPE5
LOAD Z 40694070	-0.0354	-0.0354	GLOB UNIF MD-PIPE5
LOAD Z 40714072	-0.0354	-0.0354	GLOB UNIF MD-PIPE5
LOAD Z 40704071	-0.0354	-0.0354	GLOB UNIF MD-PIPE5
LOAD Z 40684086	-0.0354	-0.0354	GLOB UNIF MD-PIPE5
LOAD Z 40694088	-0.0354	-0.0354	GLOB UNIF MD-PIPE5
LOAD Z 40704090	-0.0354	-0.0354	GLOB UNIF MD-PIPE5
LOAD Z 40484062	-0.0354	-0.0354	GLOB UNIF MD-PIPE5
LOAD Z 40494063	-0.0479	-0.0479	GLOB UNIF MD-PIPE5
LOAD Z 40504064	-0.0604	-0.0604	GLOB UNIF MD-PIPE5
LOAD Z 40524066	-0.0354	-0.0354	GLOB UNIF MD-PIPE5
LOAD Z 40514065	-0.0354	-0.0354	GLOB UNIF MD-PIPE5
LOAD Z 40374038	-0.0354	-0.0354	GLOB UNIF MD-PIPE5
LOAD Z 40384039	-0.0604	-0.0604	GLOB UNIF MD-PIPE5
LOAD Z 40394040	-0.0604	-0.0604	GLOB UNIF MD-PIPE5
LOAD Z 40314032	-0.0354	-0.0354	GLOB UNIF MD-PIPE5
LOAD Z 40324033	-0.0354	-0.0354	GLOB UNIF MD-PIPE5
LOAD Z 40334034	-0.0354	-0.0354	GLOB UNIF MD-PIPE5
LOAD Z 40544055	-0.0354	-0.0354	GLOB UNIF MD-PIPE5
LOAD Z 40554056	-0.0354	-0.0354	GLOB UNIF MD-PIPE5
LOAD Z 40564057	-0.0354	-0.0354	GLOB UNIF MD-PIPE5
LOAD Z 40534067	-0.0354	-0.0354	GLOB UNIF MD-PIPE5
LOAD Z 40314042	-0.0354	-0.0354	GLOB UNIF MD-PIPE5
LOAD Z 40424054	-0.0354	-0.0354	GLOB UNIF MD-PIPE5
LOAD Z 40324043	-0.0354	-0.0354	GLOB UNIF MD-PIPE5
LOAD Z 40334044	-0.0354	-0.0354	GLOB UNIF MD-PIPE5
LOAD Z 40444056	-0.0354	-0.0354	GLOB UNIF MD-PIPE5
LOAD Z 40434055	-0.0354	-0.0354	GLOB UNIF MD-PIPE5
LOAD Z 40434044	-0.0354	-0.0354	GLOB UNIF MD-PIPE5
LOAD Z 40424043	-0.0354	-0.0354	GLOB UNIF MD-PIPE5
LOAD Z 40544068	-0.0354	-0.0354	GLOB UNIF MD-PIPE5
LOAD Z 40554069	-0.0354	-0.0354	GLOB UNIF MD-PIPE5
LOAD Z 40564070	-0.0354	-0.0354	GLOB UNIF MD-PIPE5
LOAD Z 40614071	-0.0354	-0.0354	GLOB UNIF MD-PIPE5
LOAD Z 40574061	-0.0354	-0.0354	GLOB UNIF MD-PIPE5
LOAD Z 40574058	-0.0354	-0.0354	GLOB UNIF MD-PIPE5
LOAD Z 40584072	-0.0354	-0.0354	GLOB UNIF MD-PIPE5
LOAD Z 40484049	-0.0354	-0.0354	GLOB UNIF MD-PIPE5
LOAD Z 40494050	-0.0354	-0.0354	GLOB UNIF MD-PIPE5
LOAD Z 40504051	-0.0354	-0.0354	GLOB UNIF MD-PIPE5
LOAD Z 40514052	-0.0354	-0.0354	GLOB UNIF MD-PIPE5
LOAD Z 40524053	-0.0354	-0.0354	GLOB UNIF MD-PIPE5
LOAD Z 40534054	-0.0354	-0.0354	GLOB UNIF MD-PIPE5
LOAD Z 40374048	-0.0354	-0.0354	GLOB UNIF MD-PIPE5
LOAD Z 40384049	-0.0354	-0.0354	GLOB UNIF MD-PIPE5
LOAD Z 40394041	-0.0354	-0.0354	GLOB UNIF MD-PIPE5
LOAD Z 40414050	-0.0479	-0.0479	GLOB UNIF MD-PIPE5
LOAD Z 40404051	-0.0354	-0.0354	GLOB UNIF MD-PIPE5
LOAD Z 40474048	-0.0354	-0.0354	GLOB UNIF MD-PIPE5
LOAD Z 40474000	-0.0354	-0.0354	GLOB UNIF MD-PIPE5
LOAD Z 40664081	-0.0354	-0.0354	GLOB UNIF MD-PIPE5
LOAD Z 40674084	-0.0354	-0.0354	GLOB UNIF MD-PIPE5
LOAD Z 40174047	4.75000-0.0446	-0.0446	GLOB UNIF MDPipe6
LOAD Z 40224052	4.75000-0.0446	-0.0446	GLOB UNIF MDPipe6
LOAD Z 40344356	-0.0604	-0.0604	GLOB UNIF MD-PIPE5
LOAD Z 43564057	-0.0604	-0.0604	GLOB UNIF MD-PIPE5

LOADCN 116 1.100			
LOAD Z 41134120	-0.0172	-0.0172	GLOB UNIF MD-PIPE4
LOAD Z 41084109	-0.0172	-0.0172	GLOB UNIF MD-PIPE4
LOAD Z 41014102	-0.0172	-0.0172	GLOB UNIF MD-PIPE4
LOAD Z 41014111	-0.0172	-0.0172	GLOB UNIF MD-PIPE4
LOAD Z 41034112	-0.0172	-0.0172	GLOB UNIF MD-PIPE4
LOAD Z 41114112	-0.0172	-0.0172	GLOB UNIF MD-PIPE4
LOAD Z 41094110	-0.0172	-0.0172	GLOB UNIF MD-PIPE4
LOAD Z 41104111	-0.0172	-0.0172	GLOB UNIF MD-PIPE4
LOAD Z 41004108	-0.0172	-0.0172	GLOB UNIF MD-PIPE4
LOAD Z 40894103	-0.0172	-0.0172	GLOB UNIF MD-PIPE4
LOAD Z 40854102	-0.0172	-0.0172	GLOB UNIF MD-PIPE4
LOAD Z 40824101	-0.0172	-0.0172	GLOB UNIF MD-PIPE4
LOAD Z 40804110	-0.0172	-0.0172	GLOB UNIF MD-PIPE4
LOAD Z 40794109	-0.0172	-0.0172	GLOB UNIF MD-PIPE4
LOAD Z 40014100	-0.0172	-0.0172	GLOB UNIF MD-PIPE4
LOAD Z 40764099	-0.0207	-0.0207	GLOB UNIF MD-PIPE3
LOAD Z 40754098	-0.0207	-0.0207	GLOB UNIF MD-PIPE3
LOAD Z 40994119	-0.0207	-0.0207	GLOB UNIF MD-PIPE3
LOAD Z 41194137	-0.0107	-0.0107	GLOB UNIF MD-PIPE3
LOAD Z 41184136	-0.0107	-0.0107	GLOB UNIF MD-PIPE3
LOAD Z 41374150	-0.0107	-0.0107	GLOB UNIF MD-PIPE3
LOAD Z 41504174	-0.0107	-0.0107	GLOB UNIF MD-PIPE3
LOAD Z 41494173	-0.0107	-0.0107	GLOB UNIF MD-PIPE3
LOAD Z 41434166	-0.0360	-0.0360	GLOB UNIF MD-PIPE1
LOAD Z 41444167	-0.0360	-0.0360	GLOB UNIF MD-PIPE1
LOAD Z 41234143	-0.0360	-0.0360	GLOB UNIF MD-PIPE1
LOAD Z 41244144	-0.0360	-0.0360	GLOB UNIF MD-PIPE1
LOAD Z 41054123	-0.0481	-0.0481	GLOB UNIF MD-PIPE1
LOAD Z 41064124	-0.0481	-0.0481	GLOB UNIF MD-PIPE1
LOAD Z 40924105	-0.0381	-0.0381	GLOB UNIF MD-PIPE1
LOAD Z 40934106	-0.0281	-0.0281	GLOB UNIF MD-PIPE1
LOAD Z 40034175	4.00000-0.0099	-0.0099	GLOB UNIF MD-PIPE2
LOAD Z 41534177	4.00000-0.0099	-0.0099	GLOB UNIF MD-PIPE2
LOAD Z 41554178	4.00000-0.0099	-0.0099	GLOB UNIF MD-PIPE2
LOAD Z 41584179	4.00000-0.0099	-0.0099	GLOB UNIF MD-PIPE2
LOAD Z 41604181	4.00000-0.0099	-0.0099	GLOB UNIF MD-PIPE2
LOAD Z 41624182	4.00000-0.0099	-0.0099	GLOB UNIF MD-PIPE2
LOAD Z 41644183	4.00000-0.0099	-0.0099	GLOB UNIF MD-PIPE2
LOAD Z 40044184	4.00000-0.0099	-0.0099	GLOB UNIF MD-PIPE2
LOAD Z 41664186	4.00000-0.0080	-0.0080	GLOB UNIF MD-PIPE2
LOAD Z 41674187	4.00000-0.0080	-0.0080	GLOB UNIF MD-PIPE2
LOAD Z 41024005	-0.0172	-0.0172	GLOB UNIF MD-PIPE4
LOAD Z 40054103	-0.0172	-0.0172	GLOB UNIF MD-PIPE4
LOAD Z 41364342	-0.0107	-0.0107	GLOB UNIF MD-PIPE3
LOAD Z 43424149	-0.0107	-0.0107	GLOB UNIF MD-PIPE3
LOAD Z 40984345	-0.0107	-0.0107	GLOB UNIF MD-PIPE3
LOAD Z 43454118	-0.0107	-0.0107	GLOB UNIF MD-PIPE3
LOAD 2062		-4.7244	GLOB JOIN PIPESUP
LOAD Z 40634076	-0.0383	-0.0383	GLOB UNIF MD-PIPE5
LOAD Z 40644001	-0.0483	-0.0483	GLOB UNIF MD-PIPE5
LOAD Z 40654079	-0.0283	-0.0283	GLOB UNIF MD-PIPE5
LOAD Z 40004062	-0.0283	-0.0283	GLOB UNIF MD-PIPE5
LOAD Z 40624063	-0.0283	-0.0283	GLOB UNIF MD-PIPE5
LOAD Z 40634064	-0.0283	-0.0283	GLOB UNIF MD-PIPE5
LOAD Z 40644065	-0.0283	-0.0283	GLOB UNIF MD-PIPE5
LOAD Z 40654066	-0.0283	-0.0283	GLOB UNIF MD-PIPE5
LOAD Z 40664067	-0.0283	-0.0283	GLOB UNIF MD-PIPE5
LOAD Z 40684069	-0.0283	-0.0283	GLOB UNIF MD-PIPE5
LOAD Z 40694070	-0.0283	-0.0283	GLOB UNIF MD-PIPE5
LOAD Z 40714072	-0.0283	-0.0283	GLOB UNIF MD-PIPE5
LOAD Z 40704071	-0.0283	-0.0283	GLOB UNIF MD-PIPE5
LOAD Z 40684086	-0.0283	-0.0283	GLOB UNIF MD-PIPE5
LOAD Z 40694088	-0.0283	-0.0283	GLOB UNIF MD-PIPE5
LOAD Z 40704090	-0.0283	-0.0283	GLOB UNIF MD-PIPE5
LOAD Z 40484062	-0.0283	-0.0283	GLOB UNIF MD-PIPE5
LOAD Z 40494063	-0.0383	-0.0383	GLOB UNIF MD-PIPE5
LOAD Z 40504064	-0.0483	-0.0483	GLOB UNIF MD-PIPE5
LOAD Z 40524066	-0.0283	-0.0283	GLOB UNIF MD-PIPE5
LOAD Z 40514065	-0.0283	-0.0283	GLOB UNIF MD-PIPE5

LOAD Z 40374038	-0.0283	-0.0283	GLOB UNIF MD-PIPE5
LOAD Z 40384039	-0.0483	-0.0483	GLOB UNIF MD-PIPE5
LOAD Z 40394040	-0.0483	-0.0483	GLOB UNIF MD-PIPE5
LOAD Z 40314032	-0.0283	-0.0283	GLOB UNIF MD-PIPE5
LOAD Z 40324033	-0.0283	-0.0283	GLOB UNIF MD-PIPE5
LOAD Z 40334034	-0.0283	-0.0283	GLOB UNIF MD-PIPE5
LOAD Z 40544055	-0.0283	-0.0283	GLOB UNIF MD-PIPE5
LOAD Z 40554056	-0.0283	-0.0283	GLOB UNIF MD-PIPE5
LOAD Z 40564057	-0.0283	-0.0283	GLOB UNIF MD-PIPE5
LOAD Z 40534067	-0.0283	-0.0283	GLOB UNIF MD-PIPE5
LOAD Z 40314042	-0.0283	-0.0283	GLOB UNIF MD-PIPE5
LOAD Z 40424054	-0.0283	-0.0283	GLOB UNIF MD-PIPE5
LOAD Z 40324043	-0.0283	-0.0283	GLOB UNIF MD-PIPE5
LOAD Z 40334044	-0.0283	-0.0283	GLOB UNIF MD-PIPE5
LOAD Z 40444056	-0.0283	-0.0283	GLOB UNIF MD-PIPE5
LOAD Z 40434055	-0.0283	-0.0283	GLOB UNIF MD-PIPE5
LOAD Z 40434044	-0.0283	-0.0283	GLOB UNIF MD-PIPE5
LOAD Z 40424043	-0.0283	-0.0283	GLOB UNIF MD-PIPE5
LOAD Z 40544068	-0.0283	-0.0283	GLOB UNIF MD-PIPE5
LOAD Z 40554069	-0.0283	-0.0283	GLOB UNIF MD-PIPE5
LOAD Z 40564070	-0.0283	-0.0283	GLOB UNIF MD-PIPE5
LOAD Z 40614071	-0.0283	-0.0283	GLOB UNIF MD-PIPE5
LOAD Z 40574061	-0.0283	-0.0283	GLOB UNIF MD-PIPE5
LOAD Z 40574058	-0.0283	-0.0283	GLOB UNIF MD-PIPE5
LOAD Z 40584072	-0.0283	-0.0283	GLOB UNIF MD-PIPE5
LOAD Z 40484049	-0.0283	-0.0283	GLOB UNIF MD-PIPE5
LOAD Z 40494050	-0.0283	-0.0283	GLOB UNIF MD-PIPE5
LOAD Z 40504051	-0.0283	-0.0283	GLOB UNIF MD-PIPE5
LOAD Z 40514052	-0.0283	-0.0283	GLOB UNIF MD-PIPE5
LOAD Z 40524053	-0.0283	-0.0283	GLOB UNIF MD-PIPE5
LOAD Z 40534054	-0.0283	-0.0283	GLOB UNIF MD-PIPE5
LOAD Z 40374048	-0.0283	-0.0283	GLOB UNIF MD-PIPE5
LOAD Z 40384049	-0.0283	-0.0283	GLOB UNIF MD-PIPE5
LOAD Z 40394041	-0.0283	-0.0283	GLOB UNIF MD-PIPE5
LOAD Z 40414050	-0.0383	-0.0383	GLOB UNIF MD-PIPE5
LOAD Z 40404051	-0.0283	-0.0283	GLOB UNIF MD-PIPE5
LOAD Z 40474048	-0.0283	-0.0283	GLOB UNIF MD-PIPE5
LOAD Z 40474000	-0.0283	-0.0283	GLOB UNIF MD-PIPE5
LOAD Z 40664081	-0.0283	-0.0283	GLOB UNIF MD-PIPE5
LOAD Z 40674084	-0.0283	-0.0283	GLOB UNIF MD-PIPE5
LOAD Z 40174047	4.75000-0.0357	-0.0357	GLOB UNIF MDPipe6
LOAD Z 40224052	4.75000-0.0357	-0.0357	GLOB UNIF MDPipe6
LOAD Z 40344356	-0.0483	-0.0483	GLOB UNIF MD-PIPE5
LOAD Z 43564057	-0.0483	-0.0483	GLOB UNIF MD-PIPE5
LOADCN 120 1.100			
LOAD Z 30223001	-0.1355	-0.1355	GLOB UNIF MZ-PIPE1
LOAD Z 30303002	-0.1105	-0.1105	GLOB UNIF MZ-PIPE1
LOAD Z 30263043	-0.1105	-0.1105	GLOB UNIF MZ-PIPE1
LOAD Z 30193033	-0.1355	-0.1355	GLOB UNIF MZ-PIPE1
LOAD Z 30323049	-0.1105	-0.1105	GLOB UNIF MZ-PIPE1
LOAD Z 30273044	-0.1105	-0.1105	GLOB UNIF MZ-PIPE1
LOAD Z 30283045	-0.1105	-0.1105	GLOB UNIF MZ-PIPE1
LOAD Z 30293046	-0.1105	-0.1105	GLOB UNIF MZ-PIPE1
LOAD Z 30203034	-0.1355	-0.1355	GLOB UNIF MZ-PIPE1
LOAD Z 30213035	-0.1355	-0.1355	GLOB UNIF MZ-PIPE1
LOAD Z 30233038	-0.1105	-0.1105	GLOB UNIF MZ-PIPE1
LOAD Z 30243040	-0.1105	-0.1105	GLOB UNIF MZ-PIPE1
LOAD Z 30253042	-0.1105	-0.1105	GLOB UNIF MZ-PIPE1
LOAD Z 30313048	-0.1105	-0.1105	GLOB UNIF MZ-PIPE1
LOAD Z 30183032	-0.1105	-0.1105	GLOB UNIF MZ-PIPE1
LOAD Z 30163030	-0.1105	-0.1105	GLOB UNIF MZ-PIPE1
LOAD Z 30123026	-0.1105	-0.1105	GLOB UNIF MZ-PIPE1
LOAD Z 30133027	-0.1105	-0.1105	GLOB UNIF MZ-PIPE1
LOAD Z 30143028	-0.1105	-0.1105	GLOB UNIF MZ-PIPE1
LOAD Z 30153029	-0.1105	-0.1105	GLOB UNIF MZ-PIPE1
LOAD Z 30173031	-0.1105	-0.1105	GLOB UNIF MZ-PIPE1
LOAD Z 30463067	-0.1105	-0.1105	GLOB UNIF MZ-PIPE1
LOAD Z 30013058	-0.1355	-0.1355	GLOB UNIF MZ-PIPE1
LOAD Z 30413061	-0.1105	-0.1105	GLOB UNIF MZ-PIPE1
LOAD Z 30433063	-0.1105	-0.1105	GLOB UNIF MZ-PIPE1

LOAD Z 30453066	-0.1105	-0.1105	GLOB UNIF MZ-PIPE1
LOAD Z 30343056	-0.1355	-0.1355	GLOB UNIF MZ-PIPE1
LOAD Z 30353057	-0.1105	-0.1105	GLOB UNIF MZ-PIPE1
LOAD Z 30373059	-0.1105	-0.1105	GLOB UNIF MZ-PIPE1
LOAD Z 30393060	-0.1105	-0.1105	GLOB UNIF MZ-PIPE1
LOAD Z 30443065	-0.1105	-0.1105	GLOB UNIF MZ-PIPE1
LOAD Z 30333055	-0.1355	-0.1355	GLOB UNIF MZ-PIPE1
LOAD Z 30333034	-0.1355	-0.1355	GLOB UNIF MZ-PIPE1
LOAD Z 30013037	-0.1105	-0.1105	GLOB UNIF MZ-PIPE1
LOAD Z 30413042	-0.1105	-0.1105	GLOB UNIF MZ-PIPE1
LOAD Z 30433044	-0.1105	-0.1105	GLOB UNIF MZ-PIPE1
LOAD Z 30453046	-0.1105	-0.1105	GLOB UNIF MZ-PIPE1
LOAD Z 30343035	-0.1355	-0.1355	GLOB UNIF MZ-PIPE1
LOAD Z 30353001	-0.1355	-0.1355	GLOB UNIF MZ-PIPE1
LOAD Z 30373038	-0.1105	-0.1105	GLOB UNIF MZ-PIPE1
LOAD Z 30393040	-0.1105	-0.1105	GLOB UNIF MZ-PIPE1
LOAD Z 30383039	-0.1105	-0.1105	GLOB UNIF MZ-PIPE1
LOAD Z 30403041	-0.1105	-0.1105	GLOB UNIF MZ-PIPE1
LOAD Z 30423043	-0.1105	-0.1105	GLOB UNIF MZ-PIPE1
LOAD Z 30443045	-0.1105	-0.1105	GLOB UNIF MZ-PIPE1
LOAD Z 30463002	-0.1105	-0.1105	GLOB UNIF MZ-PIPE1
LOAD Z 30623079	-0.1105	-0.1105	GLOB UNIF MZ-PIPE1
LOAD Z 30643080	-0.1105	-0.1105	GLOB UNIF MZ-PIPE1
LOAD Z 30613078	-0.1105	-0.1105	GLOB UNIF MZ-PIPE1
LOAD Z 30603093	-0.1105	-0.1105	GLOB UNIF MZ-PIPE1
LOAD Z 30603061	-0.1105	-0.1105	GLOB UNIF MZ-PIPE1
LOAD Z 30613062	-0.1105	-0.1105	GLOB UNIF MZ-PIPE1
LOAD Z 30633064	-0.1105	-0.1105	GLOB UNIF MZ-PIPE1
LOAD Z 30653066	-0.1105	-0.1105	GLOB UNIF MZ-PIPE1
LOAD Z 30623063	-0.1105	-0.1105	GLOB UNIF MZ-PIPE1
LOAD Z 30483069	-0.0551	-0.0551	GLOB UNIF MZ-PIPE2
LOAD Z 30493070	-0.0551	-0.0551	GLOB UNIF MZ-PIPE2
LOAD Z 30693075	-0.0551	-0.0551	GLOB UNIF MZ-PIPE2
LOAD Z 30713077	-0.0551	-0.0551	GLOB UNIF MZ-PIPE2
LOAD Z 30773099	-0.0551	-0.0551	GLOB UNIF MZ-PIPE2
LOAD Z 30763098	-0.0551	-0.0551	GLOB UNIF MZ-PIPE2
LOAD Z 30973119	-0.0551	-0.0551	GLOB UNIF MZ-PIPE2
LOAD Z 30963118	-0.0551	-0.0551	GLOB UNIF MZ-PIPE2
LOAD Z 31193136	-0.0051	-0.0051	GLOB UNIF MZ-PIPE2
LOAD Z 31183004	-0.0051	-0.0051	GLOB UNIF MZ-PIPE2
LOAD Z 31363151	-0.0051	-0.0051	GLOB UNIF MZ-PIPE2
LOAD Z 30043150	-0.0051	-0.0051	GLOB UNIF MZ-PIPE2
LOAD Z 31043116	-0.0551	-0.0551	GLOB UNIF MZ-PIPE2
LOAD Z 31033115	-0.0551	-0.0551	GLOB UNIF MZ-PIPE2
LOAD Z 31023113	-0.0551	-0.0551	GLOB UNIF MZ-PIPE2
LOAD Z 31013112	-0.0551	-0.0551	GLOB UNIF MZ-PIPE2
LOAD Z 30933111	-0.0551	-0.0551	GLOB UNIF MZ-PIPE2
LOAD Z 30663081	-0.0551	-0.0551	GLOB UNIF MZ-PIPE2
LOAD Z 30813095	-0.0551	-0.0551	GLOB UNIF MZ-PIPE2
LOAD Z 30953104	-0.0551	-0.0551	GLOB UNIF MZ-PIPE2
LOAD Z 30783094	-0.0551	-0.0551	GLOB UNIF MZ-PIPE2
LOAD Z 30943101	-0.0551	-0.0551	GLOB UNIF MZ-PIPE2
LOAD Z 31233139	5.00000-0.31251.00000-0.3125		GLOB UNIF MZ-PIPE3
LOAD Z 31243140	5.00000-0.31251.00000-0.3125		GLOB UNIF MZ-PIPE3
LOADCN 121 1.100			
LOAD Z 30223001	-0.1084	-0.1084	GLOB UNIF MZ-PIPE1
LOAD Z 30303002	-0.0884	-0.0884	GLOB UNIF MZ-PIPE1
LOAD Z 30263043	-0.0884	-0.0884	GLOB UNIF MZ-PIPE1
LOAD Z 30193033	-0.1084	-0.1084	GLOB UNIF MZ-PIPE1
LOAD Z 30323049	-0.0884	-0.0884	GLOB UNIF MZ-PIPE1
LOAD Z 30273044	-0.0884	-0.0884	GLOB UNIF MZ-PIPE1
LOAD Z 30283045	-0.0884	-0.0884	GLOB UNIF MZ-PIPE1
LOAD Z 30293046	-0.0884	-0.0884	GLOB UNIF MZ-PIPE1
LOAD Z 30203034	-0.1084	-0.1084	GLOB UNIF MZ-PIPE1
LOAD Z 30213035	-0.1084	-0.1084	GLOB UNIF MZ-PIPE1
LOAD Z 30233038	-0.0884	-0.0884	GLOB UNIF MZ-PIPE1
LOAD Z 30243040	-0.0884	-0.0884	GLOB UNIF MZ-PIPE1
LOAD Z 30253042	-0.0884	-0.0884	GLOB UNIF MZ-PIPE1
LOAD Z 30313048	-0.0884	-0.0884	GLOB UNIF MZ-PIPE1
LOAD Z 30183032	-0.0884	-0.0884	GLOB UNIF MZ-PIPE1

LOAD Z 30163030	-0.0884	-0.0884	GLOB UNIF MZ-PIPE1
LOAD Z 30123026	-0.0884	-0.0884	GLOB UNIF MZ-PIPE1
LOAD Z 30133027	-0.0884	-0.0884	GLOB UNIF MZ-PIPE1
LOAD Z 30143028	-0.0884	-0.0884	GLOB UNIF MZ-PIPE1
LOAD Z 30153029	-0.0884	-0.0884	GLOB UNIF MZ-PIPE1
LOAD Z 30173031	-0.0884	-0.0884	GLOB UNIF MZ-PIPE1
LOAD Z 30463067	-0.0884	-0.0884	GLOB UNIF MZ-PIPE1
LOAD Z 30013058	-0.1084	-0.1084	GLOB UNIF MZ-PIPE1
LOAD Z 30413061	-0.0884	-0.0884	GLOB UNIF MZ-PIPE1
LOAD Z 30433063	-0.0884	-0.0884	GLOB UNIF MZ-PIPE1
LOAD Z 30453066	-0.0884	-0.0884	GLOB UNIF MZ-PIPE1
LOAD Z 30343056	-0.1084	-0.1084	GLOB UNIF MZ-PIPE1
LOAD Z 30353057	-0.0884	-0.0884	GLOB UNIF MZ-PIPE1
LOAD Z 30373059	-0.0884	-0.0884	GLOB UNIF MZ-PIPE1
LOAD Z 30393060	-0.0884	-0.0884	GLOB UNIF MZ-PIPE1
LOAD Z 30443065	-0.0884	-0.0884	GLOB UNIF MZ-PIPE1
LOAD Z 30333055	-0.1084	-0.1084	GLOB UNIF MZ-PIPE1
LOAD Z 30333034	-0.1084	-0.1084	GLOB UNIF MZ-PIPE1
LOAD Z 30013037	-0.0884	-0.0884	GLOB UNIF MZ-PIPE1
LOAD Z 30413042	-0.0884	-0.0884	GLOB UNIF MZ-PIPE1
LOAD Z 30433044	-0.0884	-0.0884	GLOB UNIF MZ-PIPE1
LOAD Z 30453046	-0.0884	-0.0884	GLOB UNIF MZ-PIPE1
LOAD Z 30343035	-0.1084	-0.1084	GLOB UNIF MZ-PIPE1
LOAD Z 30353001	-0.1084	-0.1084	GLOB UNIF MZ-PIPE1
LOAD Z 30373038	-0.0884	-0.0884	GLOB UNIF MZ-PIPE1
LOAD Z 30393040	-0.0884	-0.0884	GLOB UNIF MZ-PIPE1
LOAD Z 30383039	-0.0884	-0.0884	GLOB UNIF MZ-PIPE1
LOAD Z 30403041	-0.0884	-0.0884	GLOB UNIF MZ-PIPE1
LOAD Z 30423043	-0.0884	-0.0884	GLOB UNIF MZ-PIPE1
LOAD Z 30443045	-0.0884	-0.0884	GLOB UNIF MZ-PIPE1
LOAD Z 30463002	-0.0884	-0.0884	GLOB UNIF MZ-PIPE1
LOAD Z 30623079	-0.0884	-0.0884	GLOB UNIF MZ-PIPE1
LOAD Z 30643080	-0.0884	-0.0884	GLOB UNIF MZ-PIPE1
LOAD Z 30613078	-0.0884	-0.0884	GLOB UNIF MZ-PIPE1
LOAD Z 30603093	-0.0884	-0.0884	GLOB UNIF MZ-PIPE1
LOAD Z 30603061	-0.0884	-0.0884	GLOB UNIF MZ-PIPE1
LOAD Z 30613062	-0.0884	-0.0884	GLOB UNIF MZ-PIPE1
LOAD Z 30633064	-0.0884	-0.0884	GLOB UNIF MZ-PIPE1
LOAD Z 30653066	-0.0884	-0.0884	GLOB UNIF MZ-PIPE1
LOAD Z 30623063	-0.0884	-0.0884	GLOB UNIF MZ-PIPE1
LOAD Z 30483069	-0.0441	-0.0441	GLOB UNIF MZ-PIPE2
LOAD Z 30493070	-0.0441	-0.0441	GLOB UNIF MZ-PIPE2
LOAD Z 30693075	-0.0441	-0.0441	GLOB UNIF MZ-PIPE2
LOAD Z 30713077	-0.0441	-0.0441	GLOB UNIF MZ-PIPE2
LOAD Z 30773099	-0.0441	-0.0441	GLOB UNIF MZ-PIPE2
LOAD Z 30763098	-0.0441	-0.0441	GLOB UNIF MZ-PIPE2
LOAD Z 30973119	-0.0441	-0.0441	GLOB UNIF MZ-PIPE2
LOAD Z 30963118	-0.0441	-0.0441	GLOB UNIF MZ-PIPE2
LOAD Z 31193136	-0.0041	-0.0041	GLOB UNIF MZ-PIPE2
LOAD Z 31183004	-0.0041	-0.0041	GLOB UNIF MZ-PIPE2
LOAD Z 31363151	-0.0041	-0.0041	GLOB UNIF MZ-PIPE2
LOAD Z 30043150	-0.0041	-0.0041	GLOB UNIF MZ-PIPE2
LOAD Z 31043116	-0.0441	-0.0441	GLOB UNIF MZ-PIPE2
LOAD Z 31033115	-0.0441	-0.0441	GLOB UNIF MZ-PIPE2
LOAD Z 31023113	-0.0441	-0.0441	GLOB UNIF MZ-PIPE2
LOAD Z 31013112	-0.0441	-0.0441	GLOB UNIF MZ-PIPE2
LOAD Z 30933111	-0.0441	-0.0441	GLOB UNIF MZ-PIPE2
LOAD Z 30663081	-0.0441	-0.0441	GLOB UNIF MZ-PIPE2
LOAD Z 30813095	-0.0441	-0.0441	GLOB UNIF MZ-PIPE2
LOAD Z 30953104	-0.0441	-0.0441	GLOB UNIF MZ-PIPE2
LOAD Z 30783094	-0.0441	-0.0441	GLOB UNIF MZ-PIPE2
LOAD Z 30943101	-0.0441	-0.0441	GLOB UNIF MZ-PIPE2
LOAD Z 31233139	5.00000-0.25001	0.00000-0.2500	GLOB UNIF MZ-PIPE3
LOAD Z 31243140	5.00000-0.25001	0.00000-0.2500	GLOB UNIF MZ-PIPE3
LOADCN 125	1.100		
LOAD 2062		-4.7244	
LOAD Z 20892110	-0.2352	-0.2352	GLOB JOIN PIPESUP
LOAD Z 20942105	-0.1103	-0.1103	GLOB UNIF CD-PIPE1
LOAD Z 20012088	-0.2602	-0.2602	GLOB UNIF CD-PIPE1
LOAD Z 20882089	-0.2602	-0.2602	GLOB UNIF CD-PIPE1

LOAD Z 20892090	-0.2602	-0.2602	GLOB UNIF CD-PIPE1
LOAD Z 20902091	-0.2602	-0.2602	GLOB UNIF CD-PIPE1
LOAD Z 20912092	-0.2602	-0.2602	GLOB UNIF CD-PIPE1
LOAD Z 20922093	-0.1103	-0.1103	GLOB UNIF CD-PIPE1
LOAD Z 20932094	-0.1103	-0.1103	GLOB UNIF CD-PIPE1
LOAD Z 20942095	-0.1103	-0.1103	GLOB UNIF CD-PIPE1
LOAD Z 20952002	-0.1103	-0.1103	GLOB UNIF CD-PIPE1
LOAD Z 20752001	-0.2728	-0.2728	GLOB UNIF CD-PIPE1
LOAD Z 20562075	-0.2728	-0.2728	GLOB UNIF CD-PIPE1
LOAD Z 20262046	-0.2728	-0.2728	GLOB UNIF CD-PIPE1
LOAD Z 20462056	-0.2728	-0.2728	GLOB UNIF CD-PIPE1
LOAD Z 20574223	-0.2352	-0.2352	GLOB UNIF CD-PIPE1
LOAD Z 42232088	-0.2352	-0.2352	GLOB UNIF CD-PIPE1
LOAD Z 20582089	-0.2352	-0.2352	GLOB UNIF CD-PIPE1
LOAD Z 20592090	-0.2352	-0.2352	GLOB UNIF CD-PIPE1
LOAD Z 20602092	-0.2352	-0.2352	GLOB UNIF CD-PIPE1
LOAD Z 20612093	-0.2352	-0.2352	GLOB UNIF CD-PIPE1
LOAD Z 20272057	-0.2352	-0.2352	GLOB UNIF CD-PIPE1
LOAD Z 20282058	-0.2352	-0.2352	GLOB UNIF CD-PIPE1
LOAD Z 20292059	-0.2352	-0.2352	GLOB UNIF CD-PIPE1
LOAD Z 20302060	-0.2352	-0.2352	GLOB UNIF CD-PIPE1
LOAD Z 20312061	-0.2352	-0.2352	GLOB UNIF CD-PIPE1
LOAD Z 20322062	-0.2352	-0.2352	GLOB UNIF CD-PIPE1
LOAD Z 20562057	-0.2352	-0.2352	GLOB UNIF CD-PIPE1
LOAD Z 20572058	-0.2352	-0.2352	GLOB UNIF CD-PIPE1
LOAD Z 20582059	-0.2352	-0.2352	GLOB UNIF CD-PIPE1
LOAD Z 20592060	-0.2352	-0.2352	GLOB UNIF CD-PIPE1
LOAD Z 20602061	-0.2352	-0.2352	GLOB UNIF CD-PIPE1
LOAD Z 20612062	-0.2352	-0.2352	GLOB UNIF CD-PIPE1
LOAD Z 21862214	8.33333-0.3704	-0.3704	GLOB UNIF CD-PIPE3
LOAD Z 21852213	8.33333-0.3704	-0.3704	GLOB UNIF CD-PIPE3
LOAD Z 20032212	8.33333-0.3704	-0.3704	GLOB UNIF CD-PIPE3
LOAD Z 42162211	0.91667-0.4166	-0.4166	GLOB UNIF CD-PIPE3
LOAD Z 23662210	0.91667-0.4166	-0.4166	GLOB UNIF CD-PIPE3
LOAD Z 21102140	-0.0355	-0.0855	GLOB UNIF CD-PIPE4
LOAD Z 21402162	-0.0355	-0.0855	GLOB UNIF CD-PIPE4
LOAD Z 21622186	-0.0355	-0.0855	GLOB UNIF CD-PIPE4
LOAD Z 21392170	-0.0355	-0.0855	GLOB UNIF CD-PIPE4
LOAD Z 21022139	-0.0355	-0.0855	GLOB UNIF CD-PIPE4
LOAD Z 20882102	-0.0355	-0.0855	GLOB UNIF CD-PIPE4
LOAD Z 20912122	-0.0355	-0.0855	GLOB UNIF CD-PIPE4
LOAD Z 21032123	-0.0355	-0.0855	GLOB UNIF CD-PIPE4
LOAD Z 20252055	-0.0603	-0.0603	GLOB UNIF CD-PIPE5
LOAD Z 20552074	-0.0603	-0.0603	GLOB UNIF CD-PIPE5
LOAD Z 20542055	-0.0603	-0.0603	GLOB UNIF CD-PIPE5
LOAD Z 20532054	-0.0603	-0.0603	GLOB UNIF CD-PIPE5
LOAD Z 20522053	-0.0603	-0.0603	GLOB UNIF CD-PIPE5
LOAD Z 20242053	-0.0603	-0.0603	GLOB UNIF CD-PIPE5
LOAD Z 20232045	-0.0603	-0.0603	GLOB UNIF CD-PIPE5
LOAD Z 20524222	-0.0603	-0.0603	GLOB UNIF CD-PIPE5
LOAD Z 42222083	-0.0603	-0.0603	GLOB UNIF CD-PIPE5
LOAD Z 20832116	-0.0603	-0.0603	GLOB UNIF CD-PIPE5
LOAD Z 21162135	-0.0603	-0.0603	GLOB UNIF CD-PIPE5
LOAD Z 21352367	-0.0603	-0.0603	GLOB UNIF CD-PIPE5
LOAD Z 23672181	-0.0603	-0.0603	GLOB UNIF CD-PIPE5
LOAD Z 21812365	-0.0603	-0.0603	GLOB UNIF CD-PIPE5
LOAD Z 21822200	-0.0603	-0.0603	GLOB UNIF CD-PIPE5
LOAD Z 23682182	-0.0603	-0.0603	GLOB UNIF CD-PIPE5
LOAD Z 21362368	-0.0603	-0.0603	GLOB UNIF CD-PIPE5
LOAD Z 21172136	-0.0603	-0.0603	GLOB UNIF CD-PIPE5
LOAD Z 20842117	-0.0603	-0.0603	GLOB UNIF CD-PIPE5
LOAD Z 20722084	-0.0603	-0.0603	GLOB UNIF CD-PIPE5
LOAD Z 20532072	-0.0603	-0.0603	GLOB UNIF CD-PIPE5
LOAD Z 23652202	-0.0603	-0.0603	GLOB UNIF CD-PIPE5
LOAD Z 22022209	-0.0603	-0.0603	GLOB UNIF CD-PIPE5
LOAD Z 20192048	-0.0211	-0.0211	GLOB UNIF CD-PIPE6
LOAD Z 20202049	-0.0211	-0.0211	GLOB UNIF CD-PIPE6
LOAD Z 20212050	-0.0211	-0.0211	GLOB UNIF CD-PIPE6
LOAD Z 20482079	-0.0211	-0.0211	GLOB UNIF CD-PIPE6
LOAD Z 20492080	-0.0211	-0.0211	GLOB UNIF CD-PIPE6

LOAD Z 20502081	-0.0211	-0.0211	GLOB UNIF CD-PIPE6
LOAD Z 20512082	-0.0211	-0.0211	GLOB UNIF CD-PIPE6
LOAD Z 20792112	-0.0211	-0.0211	GLOB UNIF CD-PIPE6
LOAD Z 21122131	-0.0211	-0.0211	GLOB UNIF CD-PIPE6
LOAD Z 21132132	-0.0211	-0.0211	GLOB UNIF CD-PIPE6
LOAD Z 20802113	-0.0211	-0.0211	GLOB UNIF CD-PIPE6
LOAD Z 20812114	-0.0211	-0.0211	GLOB UNIF CD-PIPE6
LOAD Z 20822115	-0.0211	-0.0211	GLOB UNIF CD-PIPE6
LOAD Z 21152134	-0.0211	-0.0211	GLOB UNIF CD-PIPE6
LOAD Z 21142133	-0.0211	-0.0211	GLOB UNIF CD-PIPE6
LOAD Z 20412051	-0.0211	-0.0211	GLOB UNIF CD-PIPE6
LOAD Z 20222041	-0.0211	-0.0211	GLOB UNIF CD-PIPE6
LOAD Z 20792080	-0.1481	-0.1481	GLOB UNIF CD-PIPE7
LOAD Z 20802081	-0.1481	-0.1481	GLOB UNIF CD-PIPE7
LOAD Z 20812082	-0.1481	-0.1481	GLOB UNIF CD-PIPE7
LOAD Z 20822083	-0.1481	-0.1481	GLOB UNIF CD-PIPE7
LOAD Z 20832084	-0.1481	-0.1481	GLOB UNIF CD-PIPE7
LOAD Z 20482049	-0.1481	-0.1481	GLOB UNIF CD-PIPE7
LOAD Z 20492050	-0.1481	-0.1481	GLOB UNIF CD-PIPE7
LOAD Z 20502051	-0.1481	-0.1481	GLOB UNIF CD-PIPE7
LOAD Z 20512052	-0.1481	-0.1481	GLOB UNIF CD-PIPE7
LOAD Z 20452052	-0.1481	-0.1481	GLOB UNIF CD-PIPE7
LOAD Z 20842085	-0.1481	-0.1481	GLOB UNIF CD-PIPE7
LOAD Z 20852086	-0.1481	-0.1481	GLOB UNIF CD-PIPE7
LOAD Z 20862001	-0.1481	-0.1481	GLOB UNIF CD-PIPE7
LOAD Z 20022108	-0.0130	-0.0130	GLOB UNIF CD-PIPE2
LOAD Z 20972148	-0.0130	-0.0130	GLOB UNIF CD-PIPE2
LOAD Z 21082128	-0.0130	-0.0130	GLOB UNIF CD-PIPE2
LOAD Z 21282147	-0.0130	-0.0130	GLOB UNIF CD-PIPE2
LOAD Z 21472156	-0.0130	-0.0130	GLOB UNIF CD-PIPE2
LOAD Z 21482193	-0.0130	-0.0130	GLOB UNIF CD-PIPE2
LOAD Z 21562169	-0.0130	-0.0130	GLOB UNIF CD-PIPE2
LOAD Z 21692004	-0.0130	-0.0130	GLOB UNIF CD-PIPE2
LOAD Z 20042250	-0.0130	-0.0130	GLOB UNIF CD-PIPE2
LOAD Z 21992221	-0.0130	-0.0130	GLOB UNIF CD-PIPE2
LOAD Z 22502220	-0.0130	-0.0130	GLOB UNIF CD-PIPE2
LOAD Z 23642219	-0.0130	-0.0130	GLOB UNIF CD-PIPE2
LOAD Z 23632218	-0.0130	-0.0130	GLOB UNIF CD-PIPE2
LOAD Z 23622217	-0.0130	-0.0130	GLOB UNIF CD-PIPE2
LOAD Z 23612216	-0.0130	-0.0130	GLOB UNIF CD-PIPE2
LOAD Z 22512215	-0.0130	-0.0130	GLOB UNIF CD-PIPE2
LOADCN 126 1.100			
LOAD 2062	-3.7795		GLOB JOIN PIPESUP
LOAD Z 20892110	-0.1882	-0.1882	GLOB UNIF CD-PIPE1
LOAD Z 20942105	-0.0882	-0.0882	GLOB UNIF CD-PIPE1
LOAD Z 20012088	-0.2082	-0.2082	GLOB UNIF CD-PIPE1
LOAD Z 20882089	-0.2082	-0.2082	GLOB UNIF CD-PIPE1
LOAD Z 20892090	-0.2082	-0.2082	GLOB UNIF CD-PIPE1
LOAD Z 20902091	-0.2082	-0.2082	GLOB UNIF CD-PIPE1
LOAD Z 20912092	-0.2082	-0.2082	GLOB UNIF CD-PIPE1
LOAD Z 20922093	-0.0882	-0.0882	GLOB UNIF CD-PIPE1
LOAD Z 20932094	-0.0882	-0.0882	GLOB UNIF CD-PIPE1
LOAD Z 20942095	-0.0882	-0.0882	GLOB UNIF CD-PIPE1
LOAD Z 20952002	-0.0882	-0.0882	GLOB UNIF CD-PIPE1
LOAD Z 20752001	-0.2182	-0.2182	GLOB UNIF CD-PIPE1
LOAD Z 20562075	-0.2182	-0.2182	GLOB UNIF CD-PIPE1
LOAD Z 20262046	-0.2182	-0.2182	GLOB UNIF CD-PIPE1
LOAD Z 20462056	-0.2182	-0.2182	GLOB UNIF CD-PIPE1
LOAD Z 20574223	-0.1882	-0.1882	GLOB UNIF CD-PIPE1
LOAD Z 42232088	-0.1882	-0.1882	GLOB UNIF CD-PIPE1
LOAD Z 20582089	-0.1882	-0.1882	GLOB UNIF CD-PIPE1
LOAD Z 20592090	-0.1882	-0.1882	GLOB UNIF CD-PIPE1
LOAD Z 20602092	-0.1882	-0.1882	GLOB UNIF CD-PIPE1
LOAD Z 20612093	-0.1882	-0.1882	GLOB UNIF CD-PIPE1
LOAD Z 20272057	-0.1882	-0.1882	GLOB UNIF CD-PIPE1
LOAD Z 20282058	-0.1882	-0.1882	GLOB UNIF CD-PIPE1
LOAD Z 20292059	-0.1882	-0.1882	GLOB UNIF CD-PIPE1
LOAD Z 20302060	-0.1882	-0.1882	GLOB UNIF CD-PIPE1
LOAD Z 20312061	-0.1882	-0.1882	GLOB UNIF CD-PIPE1
LOAD Z 20322062	-0.1882	-0.1882	GLOB UNIF CD-PIPE1

LOAD Z 20562057	-0.1882	-0.1882	GLOB UNIF CD-PIPE1
LOAD Z 20572058	-0.1882	-0.1882	GLOB UNIF CD-PIPE1
LOAD Z 20582059	-0.1882	-0.1882	GLOB UNIF CD-PIPE1
LOAD Z 20592060	-0.1882	-0.1882	GLOB UNIF CD-PIPE1
LOAD Z 20602061	-0.1882	-0.1882	GLOB UNIF CD-PIPE1
LOAD Z 20612062	-0.1882	-0.1882	GLOB UNIF CD-PIPE1
LOAD Z 21862214	8.33333-0.2963	-0.2963	GLOB UNIF CD-PIPE3
LOAD Z 21852213	8.33333-0.2963	-0.2963	GLOB UNIF CD-PIPE3
LOAD Z 20032212	8.33333-0.2963	-0.2963	GLOB UNIF CD-PIPE3
LOAD Z 42162211	0.91667-0.3333	-0.3333	GLOB UNIF CD-PIPE3
LOAD Z 23662210	0.91667-0.3333	-0.3333	GLOB UNIF CD-PIPE3
LOAD Z 21102140	-0.0284	-0.0684	GLOB UNIF CD-PIPE4
LOAD Z 21402162	-0.0284	-0.0684	GLOB UNIF CD-PIPE4
LOAD Z 21622186	-0.0284	-0.0684	GLOB UNIF CD-PIPE4
LOAD Z 21392170	-0.0284	-0.0684	GLOB UNIF CD-PIPE4
LOAD Z 21022139	-0.0284	-0.0684	GLOB UNIF CD-PIPE4
LOAD Z 20882102	-0.0284	-0.0684	GLOB UNIF CD-PIPE4
LOAD Z 20912122	-0.0284	-0.0684	GLOB UNIF CD-PIPE4
LOAD Z 21032123	-0.0284	-0.0684	GLOB UNIF CD-PIPE4
LOAD Z 20252055	-0.0482	-0.0482	GLOB UNIF CD-PIPE5
LOAD Z 20552074	-0.0482	-0.0482	GLOB UNIF CD-PIPE5
LOAD Z 20542055	-0.0482	-0.0482	GLOB UNIF CD-PIPE5
LOAD Z 20532054	-0.0482	-0.0482	GLOB UNIF CD-PIPE5
LOAD Z 20522053	-0.0482	-0.0482	GLOB UNIF CD-PIPE5
LOAD Z 20242053	-0.0482	-0.0482	GLOB UNIF CD-PIPE5
LOAD Z 20232045	-0.0482	-0.0482	GLOB UNIF CD-PIPE5
LOAD Z 20524222	-0.0482	-0.0482	GLOB UNIF CD-PIPE5
LOAD Z 42222083	-0.0482	-0.0482	GLOB UNIF CD-PIPE5
LOAD Z 20832116	-0.0482	-0.0482	GLOB UNIF CD-PIPE5
LOAD Z 21162135	-0.0482	-0.0482	GLOB UNIF CD-PIPE5
LOAD Z 21352367	-0.0482	-0.0482	GLOB UNIF CD-PIPE5
LOAD Z 23672181	-0.0482	-0.0482	GLOB UNIF CD-PIPE5
LOAD Z 21812365	-0.0482	-0.0482	GLOB UNIF CD-PIPE5
LOAD Z 21822200	-0.0482	-0.0482	GLOB UNIF CD-PIPE5
LOAD Z 23682182	-0.0482	-0.0482	GLOB UNIF CD-PIPE5
LOAD Z 21362368	-0.0482	-0.0482	GLOB UNIF CD-PIPE5
LOAD Z 21172136	-0.0482	-0.0482	GLOB UNIF CD-PIPE5
LOAD Z 20842117	-0.0482	-0.0482	GLOB UNIF CD-PIPE5
LOAD Z 20722084	-0.0482	-0.0482	GLOB UNIF CD-PIPE5
LOAD Z 20532072	-0.0482	-0.0482	GLOB UNIF CD-PIPE5
LOAD Z 23652202	-0.0482	-0.0482	GLOB UNIF CD-PIPE5
LOAD Z 22022209	-0.0482	-0.0482	GLOB UNIF CD-PIPE5
LOAD Z 20192048	-0.0169	-0.0169	GLOB UNIF CD-PIPE6
LOAD Z 20202049	-0.0169	-0.0169	GLOB UNIF CD-PIPE6
LOAD Z 20212050	-0.0169	-0.0169	GLOB UNIF CD-PIPE6
LOAD Z 20482079	-0.0169	-0.0169	GLOB UNIF CD-PIPE6
LOAD Z 20492080	-0.0169	-0.0169	GLOB UNIF CD-PIPE6
LOAD Z 20502081	-0.0169	-0.0169	GLOB UNIF CD-PIPE6
LOAD Z 20512082	-0.0169	-0.0169	GLOB UNIF CD-PIPE6
LOAD Z 20792112	-0.0169	-0.0169	GLOB UNIF CD-PIPE6
LOAD Z 21122131	-0.0169	-0.0169	GLOB UNIF CD-PIPE6
LOAD Z 21132132	-0.0169	-0.0169	GLOB UNIF CD-PIPE6
LOAD Z 20802113	-0.0169	-0.0169	GLOB UNIF CD-PIPE6
LOAD Z 20812114	-0.0169	-0.0169	GLOB UNIF CD-PIPE6
LOAD Z 20822115	-0.0169	-0.0169	GLOB UNIF CD-PIPE6
LOAD Z 21152134	-0.0169	-0.0169	GLOB UNIF CD-PIPE6
LOAD Z 21142133	-0.0169	-0.0169	GLOB UNIF CD-PIPE6
LOAD Z 20412051	-0.0169	-0.0169	GLOB UNIF CD-PIPE6
LOAD Z 20222041	-0.0169	-0.0169	GLOB UNIF CD-PIPE6
LOAD Z 20792080	-0.1185	-0.1185	GLOB UNIF CD-PIPE7
LOAD Z 20802081	-0.1185	-0.1185	GLOB UNIF CD-PIPE7
LOAD Z 20812082	-0.1185	-0.1185	GLOB UNIF CD-PIPE7
LOAD Z 20822083	-0.1185	-0.1185	GLOB UNIF CD-PIPE7
LOAD Z 20832084	-0.1185	-0.1185	GLOB UNIF CD-PIPE7
LOAD Z 20482049	-0.1185	-0.1185	GLOB UNIF CD-PIPE7
LOAD Z 20492050	-0.1185	-0.1185	GLOB UNIF CD-PIPE7
LOAD Z 20502051	-0.1185	-0.1185	GLOB UNIF CD-PIPE7
LOAD Z 20512052	-0.1185	-0.1185	GLOB UNIF CD-PIPE7
LOAD Z 20452052	-0.1185	-0.1185	GLOB UNIF CD-PIPE7
LOAD Z 20842085	-0.1185	-0.1185	GLOB UNIF CD-PIPE7

LOAD Z 20852086	-0.1185	-0.1185	GLOB UNIF CD-PIPE7
LOAD Z 20862001	-0.1185	-0.1185	GLOB UNIF CD-PIPE7
LOAD Z 20022108	-0.0104	-0.0104	GLOB UNIF CD-PIPE2
LOAD Z 20972148	-0.0104	-0.0104	GLOB UNIF CD-PIPE2
LOAD Z 21082128	-0.0104	-0.0104	GLOB UNIF CD-PIPE2
LOAD Z 21282147	-0.0104	-0.0104	GLOB UNIF CD-PIPE2
LOAD Z 21472156	-0.0104	-0.0104	GLOB UNIF CD-PIPE2
LOAD Z 21482193	-0.0104	-0.0104	GLOB UNIF CD-PIPE2
LOAD Z 21562169	-0.0104	-0.0104	GLOB UNIF CD-PIPE2
LOAD Z 21692004	-0.0104	-0.0104	GLOB UNIF CD-PIPE2
LOAD Z 20042250	-0.0104	-0.0104	GLOB UNIF CD-PIPE2
LOAD Z 21992221	-0.0104	-0.0104	GLOB UNIF CD-PIPE2
LOAD Z 22502220	-0.0104	-0.0104	GLOB UNIF CD-PIPE2
LOAD Z 23642219	-0.0104	-0.0104	GLOB UNIF CD-PIPE2
LOAD Z 23632218	-0.0104	-0.0104	GLOB UNIF CD-PIPE2
LOAD Z 23622217	-0.0104	-0.0104	GLOB UNIF CD-PIPE2
LOAD Z 23612216	-0.0104	-0.0104	GLOB UNIF CD-PIPE2
LOAD Z 22512215	-0.0104	-0.0104	GLOB UNIF CD-PIPE2
LOADCN 130 1.100			
LOAD Z 10501051	-0.0660	-0.0660	GLOB UNIF SCD-P2
LOAD Z 10511052	-0.0660	-0.0660	GLOB UNIF SCD-P2
LOAD Z 10441052	-0.0660	-0.0660	GLOB UNIF SCD-P2
LOAD Z 10021044	-0.0660	-0.0660	GLOB UNIF SCD-P2
LOAD Z 10021051	-0.0660	-0.0660	GLOB UNIF SCD-P2
LOAD Z 10421049	-0.0660	-0.0660	GLOB UNIF SCD-P2
LOAD Z 10421002	-0.0660	-0.0660	GLOB UNIF SCD-P2
LOAD Z 10341002	-0.0660	-0.0660	GLOB UNIF SCD-P2
LOAD Z 10331034	-0.0660	-0.0660	GLOB UNIF SCD-P2
LOAD Z 10321033	-0.1592	-0.1592	GLOB UNIF SCD-P2
LOAD Z 10321041	-0.0660	-0.0660	GLOB UNIF SCD-P2
LOAD Z 10411042	-0.1592	-0.1592	GLOB UNIF SCD-P2
LOAD Z 10331042	-0.0660	-0.0660	GLOB UNIF SCD-P2
LOAD Z 10601066	-0.1592	-0.1592	GLOB UNIF SCD-P1
LOAD Z 10661067	-0.0410	-0.0410	GLOB UNIF SCD-P1
LOAD Z 10651066	-0.0410	-0.0410	GLOB UNIF SCD-P1
LOAD Z 10621065	-0.0410	-0.0410	GLOB UNIF SCD-P1
LOAD Z 10591062	-0.0410	-0.0410	GLOB UNIF SCD-P1
LOAD Z 10561061	-0.1592	-0.1592	GLOB UNIF SCD-P1
LOAD Z 10641067	-0.0660	-0.0660	GLOB UNIF SCD-P1
LOAD Z 10611064	-0.0660	-0.0660	GLOB UNIF SCD-P1
LOAD Z 10311039	-0.1592	-0.1592	GLOB UNIF SCD-P1
LOAD Z 10391040	-0.1592	-0.1592	GLOB UNIF SCD-P1
LOAD Z 10541055	-0.1718	-0.1718	GLOB UNIF SCD-P1
LOAD Z 10011039	-0.1592	-0.1592	GLOB UNIF SCD-P1
LOAD Z 10401046	-0.1592	-0.1592	GLOB UNIF SCD-P1
LOAD Z 10551056	-0.1592	-0.1592	GLOB UNIF SCD-P1
LOAD Z 10461055	-0.1592	-0.1592	GLOB UNIF SCD-P1
LOAD Z 10461047	-0.1592	-0.1592	GLOB UNIF SCD-P1
LOAD Z 10471048	-0.1592	-0.1592	GLOB UNIF SCD-P1
LOAD Z 10411047	-0.1592	-0.1592	GLOB UNIF SCD-P1
LOAD Z 10481049	-0.1592	-0.1592	GLOB UNIF SCD-P1
LOAD Z 10481057	-0.1592	-0.1592	GLOB UNIF SCD-P1
LOAD Z 10561057	-0.1592	-0.1592	GLOB UNIF SCD-P1
LOAD Z 10571058	-0.1592	-0.1592	GLOB UNIF SCD-P1
LOAD Z 10501058	-0.1592	-0.1592	GLOB UNIF SCD-P1
LOAD Z 10241031	-0.1968	-0.1968	GLOB UNIF SCD-P1
LOAD Z 10161024	-0.1968	-0.1968	GLOB UNIF SCD-P1
LOAD Z 10311032	-0.1592	-0.1592	GLOB UNIF SCD-P1
LOAD Z 10401041	-0.1592	-0.1592	GLOB UNIF SCD-P1
LOAD Z 10591060	-0.1592	-0.1592	GLOB UNIF SCD-P1
LOAD Z 10601061	-0.1592	-0.1592	GLOB UNIF SCD-P1
LOAD Z 10541059	-0.1564	-0.1564	GLOB UNIF SCD-P1
LOAD Z 10011054	-0.1564	-0.1564	GLOB UNIF SCD-P1
LOAD Z 10301001	-0.1564	-0.1564	GLOB UNIF SCD-P1
LOAD Z 10301031	-0.1564	-0.1564	GLOB UNIF SCD-P1
LOAD Z 10261033	-0.1564	-0.1564	GLOB UNIF SCD-P3
LOAD Z 10251032	-0.1564	-0.1564	GLOB UNIF SCD-P3
LOADCN 131 1.100			
LOAD Z 10501051	-0.0528	-0.0528	GLOB UNIF SCD-P2
LOAD Z 10511052	-0.0528	-0.0528	GLOB UNIF SCD-P2

LOAD Z 10441052	-0.0528	-0.0528	GLOB UNIF SCD-P2
LOAD Z 10021044	-0.0528	-0.0528	GLOB UNIF SCD-P2
LOAD Z 10021051	-0.0528	-0.0528	GLOB UNIF SCD-P2
LOAD Z 10421049	-0.0528	-0.0528	GLOB UNIF SCD-P2
LOAD Z 10421002	-0.0528	-0.0528	GLOB UNIF SCD-P2
LOAD Z 10341002	-0.0528	-0.0528	GLOB UNIF SCD-P2
LOAD Z 10331034	-0.0528	-0.0528	GLOB UNIF SCD-P2
LOAD Z 10321033	-0.1274	-0.1274	GLOB UNIF SCD-P2
LOAD Z 10321041	-0.0528	-0.0528	GLOB UNIF SCD-P2
LOAD Z 10411042	-0.1274	-0.1274	GLOB UNIF SCD-P2
LOAD Z 10331042	-0.0528	-0.0528	GLOB UNIF SCD-P2
LOAD Z 10601066	-0.1274	-0.1274	GLOB UNIF SCD-P1
LOAD Z 10661067	-0.0328	-0.0328	GLOB UNIF SCD-P1
LOAD Z 10651066	-0.0328	-0.0328	GLOB UNIF SCD-P1
LOAD Z 10621065	-0.0328	-0.0328	GLOB UNIF SCD-P1
LOAD Z 10591062	-0.0328	-0.0328	GLOB UNIF SCD-P1
LOAD Z 10561061	-0.1274	-0.1274	GLOB UNIF SCD-P1
LOAD Z 10641067	-0.0528	-0.0528	GLOB UNIF SCD-P1
LOAD Z 10611064	-0.0528	-0.0528	GLOB UNIF SCD-P1
LOAD Z 10311039	-0.1274	-0.1274	GLOB UNIF SCD-P1
LOAD Z 10391040	-0.1274	-0.1274	GLOB UNIF SCD-P1
LOAD Z 10541055	-0.1374	-0.1374	GLOB UNIF SCD-P1
LOAD Z 10011039	-0.1274	-0.1274	GLOB UNIF SCD-P1
LOAD Z 10401046	-0.1274	-0.1274	GLOB UNIF SCD-P1
LOAD Z 10551056	-0.1274	-0.1274	GLOB UNIF SCD-P1
LOAD Z 10461055	-0.1274	-0.1274	GLOB UNIF SCD-P1
LOAD Z 10461047	-0.1274	-0.1274	GLOB UNIF SCD-P1
LOAD Z 10471048	-0.1274	-0.1274	GLOB UNIF SCD-P1
LOAD Z 10411047	-0.1274	-0.1274	GLOB UNIF SCD-P1
LOAD Z 10481049	-0.1274	-0.1274	GLOB UNIF SCD-P1
LOAD Z 10481057	-0.1274	-0.1274	GLOB UNIF SCD-P1
LOAD Z 10561057	-0.1274	-0.1274	GLOB UNIF SCD-P1
LOAD Z 10571058	-0.1274	-0.1274	GLOB UNIF SCD-P1
LOAD Z 10501058	-0.1274	-0.1274	GLOB UNIF SCD-P1
LOAD Z 10241031	-0.1574	-0.1574	GLOB UNIF SCD-P1
LOAD Z 10161024	-0.1574	-0.1574	GLOB UNIF SCD-P1
LOAD Z 10311032	-0.1274	-0.1274	GLOB UNIF SCD-P1
LOAD Z 10401041	-0.1274	-0.1274	GLOB UNIF SCD-P1
LOAD Z 10591060	-0.1274	-0.1274	GLOB UNIF SCD-P1
LOAD Z 10601061	-0.1274	-0.1274	GLOB UNIF SCD-P1
LOAD Z 10541059	-0.1251	-0.1251	GLOB UNIF SCD-P1
LOAD Z 10011054	-0.1251	-0.1251	GLOB UNIF SCD-P1
LOAD Z 10301001	-0.1251	-0.1251	GLOB UNIF SCD-P1
LOAD Z 10301031	-0.1251	-0.1251	GLOB UNIF SCD-P1
LOAD Z 10261033	-0.1251	-0.1251	GLOB UNIF SCD-P3
LOAD Z 10251032	-0.1251	-0.1251	GLOB UNIF SCD-P3

\*

## \*\*\*\*\*LIVE LOADS\*\*\*\*\*

LOADCN 260

LOADLB260 LIVE LOAD ON OPEN AREA MAIN DECK

\*

***LDS1**	-26.083	13.000	65.000	-23.062	13.000	65.000	-26.083
***LDS2**	24.059	65.000	-23.062	24.059	65.000	-0.158	-0.158
***LDS3**	1.000	50	3	3	1	1260	-2EQUPPRESLLMD1
LOAD Z 41474170	-0.2382		-0.2382				GLOB UNIF LLMD1
LOAD Z 41704191	-0.2382	22.80860	-0.2382				GLOB UNIF LLMD1
LOAD Z 41474148	-0.32533	0.02083	-0.3253				GLOB UNIF LLMD1
LOAD Z 41704171	-0.54683	0.02083	-0.5468				GLOB UNIF LLMD1
***LDS1**	-7.580	21.250	65.000	2.659	21.250	65.000	-7.580
***LDS2**	25.756	65.000	2.659	25.756	65.000	-0.158	-0.158
***LDS3**	1.000	50	3	3	1	1260	-2EQUPPRESLLMD2
LOAD Z 41784199	-0.30494	5.0560	-0.3049				GLOB UNIF LLMD2
LOAD Z 41794200	-0.29294	5.0560	-0.2929				GLOB UNIF LLMD2
LOAD Z 41774178	1.70560	-0.3553	-0.3553				GLOB UNIF LLMD2
LOAD Z 41784179	-0.3553	-0.3553	-0.3553				GLOB UNIF LLMD2
LOAD Z 41794180	-0.3553	-0.3553	-0.3553				GLOB UNIF LLMD2
LOAD Z 41804181	-0.3553	-0.3553	-0.3553				GLOB UNIF LLMD2
***LDS1**	-2.939	13.000	65.000	5.572	13.000	65.000	-2.939

\*\*\*LDS2\*\* 21.250 65.000 5.572 21.250 65.000 -0.158 -0.158  
 \*\*\*LDS3\*\* 1.000 50 3 3 1 1260 -2EQUPPRESLLMD3  
 LOAD Z 41584179 -0.2318 -0.2318 GLOB UNIF LLMD3  
 LOAD Z 41604181 -0.2929 -0.2929 GLOB UNIF LLMD3  
 LOAD Z 41624182 -0.1464 -0.1464 GLOB UNIF LLMD3  
 LOAD Z 41564157 1.06128 -0.3253 -0.3253 GLOB UNIF LLMD3  
 LOAD Z 41574158 -0.3253 -0.3253 GLOB UNIF LLMD3  
 LOAD Z 41584159 -0.3253 -0.3253 GLOB UNIF LLMD3  
 LOAD Z 41594160 -0.3253 -0.3253 GLOB UNIF LLMD3  
 LOAD Z 41604161 -0.3253 -0.3253 GLOB UNIF LLMD3  
 LOAD Z 41614162 -0.3253 -0.3253 GLOB UNIF LLMD3  
 LOAD Z 41784179 2.63270 -0.3253 -0.3253 GLOB UNIF LLMD3  
 LOAD Z 41794180 -0.3253 -0.3253 GLOB UNIF LLMD3  
 LOAD Z 41804181 -0.3253 -0.3253 GLOB UNIF LLMD3  
 \*  
 \*\*\*LDS1\*\* -4.000 3.500 65.000 6.583 3.500 65.000 -4.000  
 \*\*\*LDS2\*\* 7.500 65.000 6.583 7.500 65.000 -0.158 -0.158  
 \*\*\*LDS3\*\* 1.000 50 3 3 1 1260 -2EQUPPRESLLMD4  
 LOAD Z 41314132 -0.1577 -0.1577 GLOB UNIF LLMD4  
 LOAD Z 41314139 -0.4173 -0.4173 GLOB UNIF LLMD4  
 LOAD Z 41324141 -0.4173 -0.4173 GLOB UNIF LLMD4  
 LOAD Z 41394140 -0.1577 -0.1577 GLOB UNIF LLMD4  
 LOAD Z 41404141 -0.1577 -0.1577 GLOB UNIF LLMD4  
 \*  
 \*\*\*LDS1\*\* -21.060 -3.453 65.000 -13.000 -3.453 65.000 -21.060  
 \*\*\*LDS2\*\* 2.833 65.000 -13.000 2.833 65.000 -0.158 -0.158  
 \*\*\*LDS3\*\* 1.000 50 3 3 1 1260 -2EQUPPRESLLMD5  
 LOAD Z 40994119 4.04660 -0.2366 -0.2366 GLOB UNIF LLMD5  
 LOAD Z 41184136 -0.28073.83333 -0.2807 GLOB UNIF LLMD5  
 LOAD Z 41194137 -0.23663.83333 -0.2366 GLOB UNIF LLMD5  
 LOAD Z 41084113 0.04660 -0.1183 -0.1183 GLOB UNIF LLMD5  
 LOAD Z 41134120 -0.1183 -0.1183 GLOB UNIF LLMD5  
 LOAD Z 41204126 -0.1183 -0.1183 GLOB UNIF LLMD5  
 LOAD Z 41184119 -0.4958 -0.4958 GLOB UNIF LLMD5  
 LOAD Z 41194120 -0.4958 -0.4958 GLOB UNIF LLMD5  
 \*  
 \*\*\*LDS1\*\* -13.000 -3.500 65.000 -4.000 -3.500 65.000 -13.000  
 \*\*\*LDS2\*\* 2.833 65.000 -4.000 2.833 65.000 -0.158 -0.158  
 \*\*\*LDS3\*\* 1.000 50 3 3 1 1260 -2EQUPPRESLLMD5  
 LOAD Z 41094129 -0.23666.33300 -0.2366 GLOB UNIF LLMD5  
 LOAD Z 41104130 -0.23666.33300 -0.2366 GLOB UNIF LLMD5  
 LOAD Z 41084109 -0.4994 -0.4994 GLOB UNIF LLMD5  
 LOAD Z 41094110 -0.4994 -0.4994 GLOB UNIF LLMD5  
 LOAD Z 41104111 -0.4994 -0.4994 GLOB UNIF LLMD5  
 LOAD Z 41114131 -0.11836.33300 -0.1183 GLOB UNIF LLMD5  
 LOAD Z 41084113 -0.1183 -0.1183 GLOB UNIF LLMD5  
 LOAD Z 41134120 -0.1183 -0.1183 GLOB UNIF LLMD5  
 LOAD Z 41204126 -0.1183 -0.1183 GLOB UNIF LLMD5  
 \*  
 \*\*\*LDS1\*\* -22.921 -7.500 65.000 -13.000 -7.500 65.000 -22.921  
 \*\*\*LDS2\*\* -3.500 65.000 -13.000 -3.500 65.000 -0.158 -0.158  
 \*\*\*LDS3\*\* 1.000 50 3 3 1 1260 -2EQUPPRESLLMD6  
 LOAD Z 40994119 -0.23664.00000 -0.2366 GLOB UNIF LLMD6  
 LOAD Z 41004108 -0.1183 -0.1183 GLOB UNIF LLMD6  
 LOAD Z 40974098 -0.3154 -0.3154 GLOB UNIF LLMD6  
 LOAD Z 40984099 -0.3154 -0.3154 GLOB UNIF LLMD6  
 LOAD Z 40994100 -0.3154 -0.3154 GLOB UNIF LLMD6  
 LOAD Z 42124097 2.82857 -0.3154 -0.3154 GLOB UNIF LLMD6  
 \*  
 \*\*\*LDS1\*\* -13.000 -7.524 65.000 -4.000 -7.524 65.000 -13.000  
 \*\*\*LDS2\*\* -3.500 65.000 -4.000 -3.500 65.000 -0.158 -0.158  
 \*\*\*LDS3\*\* 1.000 50 3 3 1 1260 -2EQUPPRESLLMD6  
 LOAD Z 40794109 5.47560 -0.2366 -0.2366 GLOB UNIF LLMD6  
 LOAD Z 40804110 5.47560 -0.2366 -0.2366 GLOB UNIF LLMD6  
 LOAD Z 40014100 5.47560 -0.1183 -0.1183 GLOB UNIF LLMD6  
 LOAD Z 40824101 5.47560 -0.1183 -0.1183 GLOB UNIF LLMD6  
 LOAD Z 41014111 -0.1183 -0.1183 GLOB UNIF LLMD6  
 LOAD Z 41084109 -0.3173 -0.3173 GLOB UNIF LLMD6  
 LOAD Z 41094110 -0.3173 -0.3173 GLOB UNIF LLMD6  
 LOAD Z 41104111 -0.3173 -0.3173 GLOB UNIF LLMD6

LOAD Z 41004108 -0.1183 -0.1183 GLOB UNIF LLMD6  
 \*  
 \*\*\*LDS1\*\* -4.000 -7.500 65.000 6.583 -7.500 65.000 -4.000  
 \*\*\*LDS2\*\* -3.500 65.000 6.583 -3.500 65.000 -0.158 -0.158  
 \*\*\*LDS3\*\* 1.000 50 3 3 1 1260 -2EQUPPRESLLMD6  
 LOAD Z 40054103 -0.1577 -0.1577 GLOB UNIF LLMD6  
 LOAD Z 41014102 -0.1577 -0.1577 GLOB UNIF LLMD6  
 LOAD Z 41014111 -0.4173 -0.4173 GLOB UNIF LLMD6  
 LOAD Z 41024005 -0.1577 -0.1577 GLOB UNIF LLMD6  
 LOAD Z 41034112 -0.4173 -0.4173 GLOB UNIF LLMD6  
 LOAD Z 41114112 -0.1577 -0.1577 GLOB UNIF LLMD6  
 \*  
 \*\*\*LDS1\*\* -22.921 -13.000 65.000 -13.000 -13.000 65.000 -22.921  
 \*\*\*LDS2\*\* -7.500 65.000 -13.000 -7.500 65.000 -0.158 -0.158  
 \*\*\*LDS3\*\* 1.000 50 3 3 1 1260 -2EQUPPRESLLMD7  
 LOAD Z 40754098 -0.2366 -0.2366 GLOB UNIF LLMD7  
 LOAD Z 40764099 -0.2366 -0.2366 GLOB UNIF LLMD7  
 LOAD Z 40014100 -0.1183 -0.1183 GLOB UNIF LLMD7  
 LOAD Z 40734074 3.16190 -0.2169 -0.2169 GLOB UNIF LLMD7  
 LOAD Z 40744075 -0.2169 -0.2169 GLOB UNIF LLMD7  
 LOAD Z 40754076 -0.2169 -0.2169 GLOB UNIF LLMD7  
 LOAD Z 40744097 -0.1909 -0.1909 GLOB UNIF LLMD7  
 LOAD Z 40974098 -0.2169 -0.2169 GLOB UNIF LLMD7  
 LOAD Z 40984099 -0.2169 -0.2169 GLOB UNIF LLMD7  
 LOAD Z 40994100 -0.2169 -0.2169 GLOB UNIF LLMD7  
 LOAD Z 42124097 2.82857 -0.2169 -0.2169 GLOB UNIF LLMD7  
 LOAD Z 40764001 -0.2169 -0.2169 GLOB UNIF LLMD7  
 \*  
 \*\*\*LDS1\*\* -13.000 -13.000 65.000 -4.000 -13.000 65.000 -13.000  
 \*\*\*LDS2\*\* -7.500 65.000 -4.000 -7.500 65.000 -0.158 -0.158  
 \*\*\*LDS3\*\* 1.000 50 3 3 1 1260 -2EQUPPRESLLMD7  
 LOAD Z 40794109 -0.23665.50000 -0.2366 GLOB UNIF LLMD7  
 LOAD Z 40804110 -0.23665.50000 -0.2366 GLOB UNIF LLMD7  
 LOAD Z 40014078 -0.4337 -0.4337 GLOB UNIF LLMD7  
 LOAD Z 40014100 -0.1183 -0.1183 GLOB UNIF LLMD7  
 LOAD Z 40824101 -0.1183 -0.1183 GLOB UNIF LLMD7  
 LOAD Z 40784079 -0.4337 -0.4337 GLOB UNIF LLMD7  
 LOAD Z 40794080 -0.4337 -0.4337 GLOB UNIF LLMD7  
 LOAD Z 40804081 -0.4337 -0.4337 GLOB UNIF LLMD7  
 LOAD Z 40814082 -0.4337 -0.4337 GLOB UNIF LLMD7  
 \*  
 \*\*\*LDS1\*\* -13.000 65.000 13.979 -13.000 65.000  
 \*\*\*LDS2\*\* -7.500 65.000 13.979 -7.500 65.000 -0.158 -0.158  
 \*\*\*LDS3\*\* 1.000 50 3 3 1 1260 -2EQUPPRESLLMD7  
 LOAD Z 40064005 -0.2595 -0.2595 GLOB UNIF LLMD7  
 LOAD Z 41044105 -0.21690.97870 -0.2169 GLOB UNIF LLMD7  
 LOAD Z 40024092 -0.21690.97870 -0.2169 GLOB UNIF LLMD7  
 LOAD Z 40024104 -0.3302 -0.3302 GLOB UNIF LLMD7  
 LOAD Z 40054103 -0.2169 -0.2169 GLOB UNIF LLMD7  
 LOAD Z 40854102 -0.1288 -0.1288 GLOB UNIF LLMD7  
 LOAD Z 40894103 -0.3838 -0.3838 GLOB UNIF LLMD7  
 LOAD Z 41024005 -0.2169 -0.2169 GLOB UNIF LLMD7  
 LOAD Z 41034104 -0.2169 -0.2169 GLOB UNIF LLMD7  
 LOAD Z 40064088 -0.2169 -0.2169 GLOB UNIF LLMD7  
 LOAD Z 40854086 -0.2169 -0.2169 GLOB UNIF LLMD7  
 LOAD Z 40864087 -0.2169 -0.2169 GLOB UNIF LLMD7  
 LOAD Z 40874006 -0.2169 -0.2169 GLOB UNIF LLMD7  
 LOAD Z 40884089 -0.2169 -0.2169 GLOB UNIF LLMD7  
 LOAD Z 40894090 -0.2169 -0.2169 GLOB UNIF LLMD7  
 LOAD Z 40904002 -0.2169 -0.2169 GLOB UNIF LLMD7  
 \*  
 \*\*\*LDS1\*\* -22.921 -19.257 65.000 -22.000 -19.257 65.000 -22.921  
 \*\*\*LDS2\*\* -13.000 65.000 -22.000 -13.000 65.000 -0.158 -0.158  
 \*\*\*LDS3\*\* 1.000 50 3 3 1 1260 -2EQUPPRESLLMD7  
 LOAD Z 40734074 3.16190 -0.4934 -0.4934 GLOB UNIF LLMD7  
 LOAD Z 40004074 -0.0726 -0.0726 GLOB UNIF LLMD7  
 LOAD Z 40474000 1.99330 -0.0726 -0.0726 GLOB UNIF LLMD7  
 \*  
 \*\*\*LDS1\*\* -22.000 -19.257 65.000 -5.571 -19.257 65.000 -22.000  
 \*\*\*LDS2\*\* -13.000 65.000 -5.571 -13.000 65.000 -0.158 -0.158

\*\*\*LDS3\*\* 1.000 50 3 3 1 1260 -2EQUPPRESLLMD7  
LOAD Z 40484062 1.99330-0.2366 -0.2366 GLOB UNIF LLMD7  
LOAD Z 40494063 1.99330-0.2366 -0.2366 GLOB UNIF LLMD7  
LOAD Z 40514065 1.99330-0.2929 -0.2929 GLOB UNIF LLMD7  
LOAD Z 40524066 1.99330-0.1464 -0.1464 GLOB UNIF LLMD7  
LOAD Z 40624075 -0.2366 -0.2366 GLOB UNIF LLMD7  
LOAD Z 40634076 -0.2366 -0.2366 GLOB UNIF LLMD7  
LOAD Z 40654079 -0.2929 -0.2929 GLOB UNIF LLMD7  
LOAD Z 40664081 -0.1464 -0.1464 GLOB UNIF LLMD7  
LOAD Z 40014078 -0.1626 -0.1626 GLOB UNIF LLMD7  
LOAD Z 40744075 -0.1626 -0.1626 GLOB UNIF LLMD7  
LOAD Z 40754076 -0.1626 -0.1626 GLOB UNIF LLMD7  
LOAD Z 40784079 -0.1626 -0.1626 GLOB UNIF LLMD7  
LOAD Z 40794080 -0.1626 -0.1626 GLOB UNIF LLMD7  
LOAD Z 40804081 -0.1626 -0.1626 GLOB UNIF LLMD7  
LOAD Z 40004062 -0.3307 -0.3307 GLOB UNIF LLMD7  
LOAD Z 40004074 -0.1183 -0.1183 GLOB UNIF LLMD7  
LOAD Z 40474000 1.99330-0.1183 -0.1183 GLOB UNIF LLMD7  
LOAD Z 40624063 -0.3307 -0.3307 GLOB UNIF LLMD7  
LOAD Z 40634064 -0.3307 -0.3307 GLOB UNIF LLMD7  
LOAD Z 40644065 -0.3307 -0.3307 GLOB UNIF LLMD7  
LOAD Z 40654066 -0.3307 -0.3307 GLOB UNIF LLMD7  
LOAD Z 40764001 -0.1626 -0.1626 GLOB UNIF LLMD7  
LOAD Z 40504064 1.99330-0.2647 -0.2647 GLOB UNIF LLMD7  
LOAD Z 40644001 -0.2647 -0.2647 GLOB UNIF LLMD7  
\*  
\*\*\*LDS1\*\* -9.286 -25.716 65.000 -5.571 -25.716 65.000 -9.286  
\*\*\*LDS2\*\* -19.257 65.000 -5.571 -19.257 65.000 -0.158 -0.158  
\*\*\*LDS3\*\* 1.000 50 3 3 1 1260 -2EQUPPRESLLMD7  
LOAD Z 40214040 3.78430-0.1464 -0.1464 GLOB UNIF LLMD7  
LOAD Z 40224052 3.78430-0.1464 -0.1464 GLOB UNIF LLMD7  
LOAD Z 40404051 -0.1464 -0.1464 GLOB UNIF LLMD7  
LOAD Z 40514065 -0.14641.99330-0.1464 GLOB UNIF LLMD7  
LOAD Z 40524066 -0.14641.99330-0.1464 GLOB UNIF LLMD7  
LOAD Z 40514052 -0.5094 -0.5094 GLOB UNIF LLMD7  
\*  
\*\*\*LDS1\*\* -5.571 -25.716 65.000 -1.857 -25.716 65.000 -5.571  
\*\*\*LDS2\*\* -13.000 65.000 -1.857 -13.000 65.000 -0.158 -0.158  
\*\*\*LDS3\*\* 1.000 50 3 3 1 1260 -2EQUPPRESLLMD7  
LOAD Z 40224052 3.78430-0.1464 -0.1464 GLOB UNIF LLMD7  
LOAD Z 40234053 3.78430-0.1464 -0.1464 GLOB UNIF LLMD7  
LOAD Z 40524066 -0.1464 -0.1464 GLOB UNIF LLMD7  
LOAD Z 40664081 -0.1464 -0.1464 GLOB UNIF LLMD7  
LOAD Z 40814082 -0.1626 -0.1626 GLOB UNIF LLMD7  
LOAD Z 40824083 -0.1626 -0.1626 GLOB UNIF LLMD7  
LOAD Z 40834084 -0.1626 -0.1626 GLOB UNIF LLMD7  
LOAD Z 40524053 -0.5148 -0.5148 GLOB UNIF LLMD7  
LOAD Z 40534067 -0.1464 -0.1464 GLOB UNIF LLMD7  
LOAD Z 40664067 -0.3253 -0.3253 GLOB UNIF LLMD7  
LOAD Z 40674084 -0.1464 -0.1464 GLOB UNIF LLMD7  
\*  
\*\*\*LDS1\*\* -1.857 -25.716 65.000 1.857 -25.716 65.000 -1.857  
\*\*\*LDS2\*\* -13.000 65.000 1.857 -13.000 65.000 -0.158 -0.158  
\*\*\*LDS3\*\* 1.000 50 3 3 1 1260 -2EQUPPRESLLMD7  
LOAD Z 40234053 3.78430-0.1464 -0.1464 GLOB UNIF LLMD7  
LOAD Z 40244031 3.78430-0.1464 -0.1464 GLOB UNIF LLMD7  
LOAD Z 40314042 -0.1464 -0.1464 GLOB UNIF LLMD7  
LOAD Z 40424054 -0.1464 -0.1464 GLOB UNIF LLMD7  
LOAD Z 40544068 -0.1464 -0.1464 GLOB UNIF LLMD7  
LOAD Z 40684086 -0.1464 -0.1464 GLOB UNIF LLMD7  
LOAD Z 40844085 -0.3253 -0.3253 GLOB UNIF LLMD7  
LOAD Z 40854086 -0.3253 -0.3253 GLOB UNIF LLMD7  
LOAD Z 40534054 -0.6775 -0.6775 GLOB UNIF LLMD7  
LOAD Z 40534067 -0.1464 -0.1464 GLOB UNIF LLMD7  
LOAD Z 40674084 -0.1464 -0.1464 GLOB UNIF LLMD7  
\*  
\*\*\*LDS1\*\* 1.857 -25.716 65.000 9.286 -25.716 65.000 1.857  
\*\*\*LDS2\*\* -13.000 65.000 9.286 -13.000 65.000 -0.158 -0.158  
\*\*\*LDS3\*\* 1.000 50 3 3 1 1260 -2EQUPPRESLLMD7  
LOAD Z 40244031 3.78430-0.1464 -0.1464 GLOB UNIF LLMD7

LOAD Z 40254032 3.78430-0.2929 -0.2929 GLOB UNIF LLMD7  
 LOAD Z 40264033 3.78430-0.1464 -0.1464 GLOB UNIF LLMD7  
 LOAD Z 40314032 -0.1353 -0.1353 GLOB UNIF LLMD7  
 LOAD Z 40314042 -0.1464 -0.1464 GLOB UNIF LLMD7  
 LOAD Z 40324033 -0.1353 -0.1353 GLOB UNIF LLMD7  
 LOAD Z 40324043 -0.2929 -0.2929 GLOB UNIF LLMD7  
 LOAD Z 40334044 -0.1464 -0.1464 GLOB UNIF LLMD7  
 LOAD Z 40424043 -0.1544 -0.1544 GLOB UNIF LLMD7  
 LOAD Z 40424054 -0.1464 -0.1464 GLOB UNIF LLMD7  
 LOAD Z 40434044 -0.1544 -0.1544 GLOB UNIF LLMD7  
 LOAD Z 40434055 -0.2929 -0.2929 GLOB UNIF LLMD7  
 LOAD Z 40444056 -0.1464 -0.1464 GLOB UNIF LLMD7  
 LOAD Z 40544068 -0.1464 -0.1464 GLOB UNIF LLMD7  
 LOAD Z 40554069 -0.2929 -0.2929 GLOB UNIF LLMD7  
 LOAD Z 40564070 -0.1464 -0.1464 GLOB UNIF LLMD7  
 LOAD Z 40684069 -0.3253 -0.3253 GLOB UNIF LLMD7  
 LOAD Z 40684086 -0.1464 -0.1464 GLOB UNIF LLMD7  
 LOAD Z 40694070 -0.3253 -0.3253 GLOB UNIF LLMD7  
 LOAD Z 40694088 -0.2929 -0.2929 GLOB UNIF LLMD7  
 LOAD Z 40704090 -0.1464 -0.1464 GLOB UNIF LLMD7  
 LOAD Z 40064088 -0.1626 -0.1626 GLOB UNIF LLMD7  
 LOAD Z 40864087 -0.1626 -0.1626 GLOB UNIF LLMD7  
 LOAD Z 40874006 -0.1626 -0.1626 GLOB UNIF LLMD7  
 LOAD Z 40884089 -0.1626 -0.1626 GLOB UNIF LLMD7  
 LOAD Z 40894090 -0.1626 -0.1626 GLOB UNIF LLMD7  
 LOAD Z 40544055 -0.2251 -0.2251 GLOB UNIF LLMD7  
 LOAD Z 40554056 -0.2251 -0.2251 GLOB UNIF LLMD7  
 \*  
 \*\*\*LDS1\*\* 9.286 -25.716 65.000 13.979 -25.716 65.000 9.286  
 \*\*\*LDS2\*\* -13.000 65.000 13.979 -13.000 65.000 -0.158 -0.158  
 \*\*\*LDS3\*\* 1.000 50 3 3 1 1260 -2EQUPPRESLLMD7  
 LOAD Z 40264033 3.78430-0.1464 -0.1464 GLOB UNIF LLMD7  
 LOAD Z 40334034 -0.1977 -0.1977 GLOB UNIF LLMD7  
 LOAD Z 40334044 -0.1464 -0.1464 GLOB UNIF LLMD7  
 LOAD Z 40344035 -0.19770.97870-0.1977 GLOB UNIF LLMD7  
 LOAD Z 40444056 -0.1464 -0.1464 GLOB UNIF LLMD7  
 LOAD Z 40564070 -0.1464 -0.1464 GLOB UNIF LLMD7  
 LOAD Z 40704071 -0.3253 -0.3253 GLOB UNIF LLMD7  
 LOAD Z 40704090 -0.1464 -0.1464 GLOB UNIF LLMD7  
 LOAD Z 40714072 -0.32530.97870-0.3253 GLOB UNIF LLMD7  
 LOAD Z 40024092 -0.16260.97870-0.1626 GLOB UNIF LLMD7  
 LOAD Z 40274034 3.78430-0.2236 -0.2236 GLOB UNIF LLMD7  
 LOAD Z 40574061 -0.2236 -0.2236 GLOB UNIF LLMD7  
 LOAD Z 40614071 -0.2236 -0.2236 GLOB UNIF LLMD7  
 LOAD Z 40564057 -0.3171 -0.3171 GLOB UNIF LLMD7  
 LOAD Z 40574058 -0.31710.97870-0.3171 GLOB UNIF LLMD7  
 LOAD Z 40714002 -0.2236 -0.2236 GLOB UNIF LLMD7  
 LOAD Z 40904002 -0.1626 -0.1626 GLOB UNIF LLMD7  
 LOAD Z 41814333 -0.2097 -0.2097 GLOB UNIF LLMD2  
 LOAD Z 43334202 -0.20971.00560-0.2097 GLOB UNIF LLMD2  
 LOAD Z 41814336 -0.35530.80213-0.3553 GLOB UNIF LLMD2  
 LOAD Z 41814336 -0.3253 -0.3253 GLOB UNIF LLMD3  
 LOAD Z 43364182 -0.3253 -0.3253 GLOB UNIF LLMD3  
 LOAD Z 40974344 -0.1909 -0.1909 GLOB UNIF LLMD6  
 LOAD Z 43444117 -0.19090.70313-0.1909 GLOB UNIF LLMD6  
 LOAD Z 40984345 -0.2366 -0.2366 GLOB UNIF LLMD6  
 LOAD Z 43454118 0.74973-0.2807 -0.2807 GLOB UNIF LLMD5  
 LOAD Z 43454118 -0.23660.70313-0.2366 GLOB UNIF LLMD6  
 LOAD Z 43524118 0.17958-0.4958 -0.4958 GLOB UNIF LLMD5  
 LOAD Z 40344356 -0.2236 -0.2236 GLOB UNIF LLMD7  
 LOAD Z 43564057 -0.2236 -0.2236 GLOB UNIF LLMD7  
 \*  
 LOADCN 261  
 LOADLB261 LIVE LOAD ON LAYDOWN AREA MAIN DECK  
 \*  
 \*\*\*LDS1\*\* -22.921 -21.250 65.000 -22.000 -21.250 65.000 -22.921  
 \*\*\*LDS2\*\* -19.236 65.000 -22.000 -19.236 65.000 -0.300 -0.300  
 \*\*\*LDS3\*\* 1.000 50 3 3 1 1261 -2EQUPPRESLLMDLAY  
 LOAD Z 40464047 3.16190-0.3021 -0.3021 GLOB UNIF LLMDLAY  
 LOAD Z 40474000 -0.13820.92143-0.1382 GLOB UNIF LLMDLAY

\*

\*\*\*LDS1\*\* -22.000 -21.250 65.000 -8.170 -21.250 65.000 -22.000  
 \*\*\*LDS2\*\* -19.236 65.000 -8.170 -19.236 65.000 -0.300 -0.300  
 \*\*\*LDS3\*\* 1.000 50 3 3 1 1261 -2EQUPPRESLLMDLAY

LOAD Z 40484062 -0.45002.01420-0.4500 GLOB UNIF LLMDLAY  
 LOAD Z 40494063 -0.45002.01420-0.4500 GLOB UNIF LLMDLAY  
 LOAD Z 40514065 -0.44602.01420-0.4460 GLOB UNIF LLMDLAY  
 LOAD Z 40474000 -0.22502.01420-0.2250 GLOB UNIF LLMDLAY  
 LOAD Z 40474048 -0.3021 -0.3021 GLOB UNIF LLMDLAY  
 LOAD Z 40484049 -0.3021 -0.3021 GLOB UNIF LLMDLAY  
 LOAD Z 40494050 -0.3021 -0.3021 GLOB UNIF LLMDLAY  
 LOAD Z 40504051 -0.3021 -0.3021 GLOB UNIF LLMDLAY  
 LOAD Z 40514052 -0.30211.11613-0.3021 GLOB UNIF LLMDLAY  
 LOAD Z 40504064 -0.50362.01420-0.5036 GLOB UNIF LLMDLAY

\*

\*\*\*LDS1\*\* -22.921 -25.716 65.000 -22.000 -25.716 65.000 -22.921  
 \*\*\*LDS2\*\* -21.250 65.000 -22.000 -21.250 65.000 -0.300 -0.300  
 \*\*\*LDS3\*\* 1.000 50 3 3 1 1261 -2EQUPPRESLLMDLAY

LOAD Z 40174047 3.78430-0.1382 -0.1382 GLOB UNIF LLMDLAY  
 LOAD Z 40464047 3.16190-0.6699 -0.6699 GLOB UNIF LLMDLAY

\*

\*\*\*LDS1\*\* -22.000 -25.716 65.000 -19.000 -25.716 65.000 -22.000  
 \*\*\*LDS2\*\* -21.250 65.000 -19.000 -21.250 65.000 -0.300 -0.300  
 \*\*\*LDS3\*\* 1.000 50 3 3 1 1261 -2EQUPPRESLLMDLAY

LOAD Z 40184037 3.78430-0.2250 -0.2250 GLOB UNIF LLMDLAY  
 LOAD Z 40374048 -0.2250 -0.2250 GLOB UNIF LLMDLAY  
 LOAD Z 40174047 3.78430-0.2250 -0.2250 GLOB UNIF LLMDLAY  
 LOAD Z 40474048 -0.6699 -0.6699 GLOB UNIF LLMDLAY

\*

\*\*\*LDS1\*\* -19.000 -25.716 65.000 -9.286 -25.716 65.000 -19.000  
 \*\*\*LDS2\*\* -21.250 65.000 -9.286 -21.250 65.000 -0.300 -0.300  
 \*\*\*LDS3\*\* 1.000 50 3 3 1 1261 -2EQUPPRESLLMDLAY

LOAD Z 40184037 3.78430-0.2250 -0.2250 GLOB UNIF LLMDLAY  
 LOAD Z 40194038 3.78430-0.4500 -0.4500 GLOB UNIF LLMDLAY  
 LOAD Z 40214040 3.78430-0.2786 -0.2786 GLOB UNIF LLMDLAY  
 LOAD Z 40374038 -0.4074 -0.4074 GLOB UNIF LLMDLAY  
 LOAD Z 40374048 -0.2250 -0.2250 GLOB UNIF LLMDLAY  
 LOAD Z 40384039 -0.4074 -0.4074 GLOB UNIF LLMDLAY  
 LOAD Z 40384049 -0.4500 -0.4500 GLOB UNIF LLMDLAY  
 LOAD Z 40394040 -0.4074 -0.4074 GLOB UNIF LLMDLAY  
 LOAD Z 40404051 -0.2786 -0.2786 GLOB UNIF LLMDLAY  
 LOAD Z 40204039 3.78430-0.5036 -0.5036 GLOB UNIF LLMDLAY  
 LOAD Z 40394041 -0.5036 -0.5036 GLOB UNIF LLMDLAY  
 LOAD Z 40414050 -0.5036 -0.5036 GLOB UNIF LLMDLAY  
 LOAD Z 40484049 -0.2625 -0.2625 GLOB UNIF LLMDLAY  
 LOAD Z 40494050 -0.2625 -0.2625 GLOB UNIF LLMDLAY  
 LOAD Z 40504051 -0.2625 -0.2625 GLOB UNIF LLMDLAY

\*

\*\*\*LDS1\*\* -9.286 -25.716 65.000 -8.170 -25.716 65.000 -9.286  
 \*\*\*LDS2\*\* -21.250 65.000 -8.170 -21.250 65.000 -0.300 -0.300  
 \*\*\*LDS3\*\* 1.000 50 3 3 1 1261 -2EQUPPRESLLMDLAY

LOAD Z 40214040 3.78430-0.1674 -0.1674 GLOB UNIF LLMDLAY  
 LOAD Z 40404051 -0.1674 -0.1674 GLOB UNIF LLMDLAY  
 LOAD Z 40514052 -0.66991.11613-0.6699 GLOB UNIF LLMDLAY

\*

LOADCN 262

LOADLB262 LIVE LOAD ON ESCAPE ROUTE ON MAIN DECK

\*

\*\*\*LDS1\*\* -25.800 25.800 65.000 17.300 25.800 65.000 -25.800  
 \*\*\*LDS2\*\* 29.100 65.000 17.300 29.100 65.000 -0.100 -0.100  
 \*\*\*LDS3\*\* 1.000 0 1 3 1 1262 -2EQUPPRESLLMD1

LOAD Z 41734194 4.55000-0.3000 -0.3000 GLOB UNIF LLMD1  
 LOAD Z 41744195 4.55000-0.3000 -0.3000 GLOB UNIF LLMD1  
 LOAD Z 41774198 4.55000-0.3715 -0.3715 GLOB UNIF LLMD1  
 LOAD Z 41784199 4.55000-0.3715 -0.3715 GLOB UNIF LLMD1  
 LOAD Z 41794200 4.55000-0.3715 -0.3715 GLOB UNIF LLMD1  
 LOAD Z 41864207 4.55000-0.2925 -0.2925 GLOB UNIF LLMD1  
 LOAD Z 43334202 1.05000-0.3715 -0.3715 GLOB UNIF LLMD1  
 LOAD Z 43344203 1.05000-0.3715 -0.3715 GLOB UNIF LLMD1  
 LOAD Z 43354204 1.05000-0.3715 -0.3715 GLOB UNIF LLMD1

LOAD Z 41754196 4.55000-0.3357 -0.3357 GLOB UNIF LLMD1  
 LOAD Z 41844205 4.55000-0.3232 -0.3232 GLOB UNIF LLMD1  
 LOAD Z 41714192 4.55000-0.5300 -0.5300 GLOB UNIF LLMD1  
 \*  
 \*\*\*LDS1\*\* -29.500 -7.500 65.000 -26.083 -7.500 65.000 -29.500  
 \*\*\*LDS2\*\* 29.100 65.000 -26.083 29.100 65.000 -0.100 -0.100  
 \*\*\*LDS3\*\* 1.000 50 1 3 1 1262 -2EQUPPRESLLMD2  
 LOAD Z 40964343 -0.0854 -0.0854 GLOB UNIF LLMD2  
 LOAD Z 41164134 -0.0854 -0.0854 GLOB UNIF LLMD2  
 LOAD Z 41344340 -0.0854 -0.0854 GLOB UNIF LLMD2  
 LOAD Z 41474170 -0.0854 -0.0854 GLOB UNIF LLMD2  
 LOAD Z 41704191 -0.08543.41667-0.0854 GLOB UNIF LLMD2  
 LOAD Z 43404147 -0.0854 -0.0854 GLOB UNIF LLMD2  
 LOAD Z 43434116 -0.0854 -0.0854 GLOB UNIF LLMD2  
 LOAD Z 40954115 -0.0854 -0.0854 GLOB UNIF LLMD2  
 LOAD Z 41154133 -0.0854 -0.0854 GLOB UNIF LLMD2  
 LOAD Z 41334146 -0.0854 -0.0854 GLOB UNIF LLMD2  
 LOAD Z 41464169 -0.0854 -0.0854 GLOB UNIF LLMD2  
 LOAD Z 41694190 -0.08543.41667-0.0854 GLOB UNIF LLMD2  
 LOAD Z 41464147 -0.3813 -0.3813 GLOB UNIF LLMD2  
 LOAD Z 40964095 -0.1625 -0.1625 GLOB UNIF LLMD2  
 LOAD Z 41164115 -0.3375 -0.3375 GLOB UNIF LLMD2  
 LOAD Z 41334134 -0.3500 -0.3500 GLOB UNIF LLMD2  
 LOAD Z 41694170 -0.5988 -0.5988 GLOB UNIF LLMD2  
 \*  
 \*\*\*LDS1\*\* 14.000 25.800 65.000 14.000 -29.100 65.000 17.300  
 \*\*\*LDS2\*\* 25.800 65.000 17.300 -29.100 65.000 -0.100 -0.100  
 \*\*\*LDS3\*\* 1.000 50 1 3 0 1262 -2EQUPPRESLLMD3  
 LOAD Z 40284035 0.40000-0.3300 -0.3300 GLOB UNIF LLMD3  
 LOAD Z 40354058 -0.3300 -0.3300 GLOB UNIF LLMD3  
 LOAD Z 40584072 -0.3300 -0.3300 GLOB UNIF LLMD3  
 LOAD Z 40724092 -0.3300 -0.3300 GLOB UNIF LLMD3  
 LOAD Z 40924105 -0.3300 -0.3300 GLOB UNIF LLMD3  
 LOAD Z 41054123 -0.3300 -0.3300 GLOB UNIF LLMD3  
 LOAD Z 41234143 -0.3300 -0.3300 GLOB UNIF LLMD3  
 LOAD Z 41434166 -0.3300 -0.3300 GLOB UNIF LLMD3  
 LOAD Z 41664186 -0.3300 -0.3300 GLOB UNIF LLMD3  
 LOAD Z 41864207 -0.33008.50000-0.3300 GLOB UNIF LLMD3  
 \*  
 \*\*\*LDS1\*\* -26.083 -21.250 65.000 -22.000 -21.250 65.000 -26.083  
 \*\*\*LDS2\*\* -4.203 65.000 -22.000 -4.203 65.000 -0.100 -0.100  
 \*\*\*LDS3\*\* 1.000 100 1 3 0 1262 -2EQUPPRESLLMD4  
 LOAD Z 43434349 -0.1648 -0.1648 GLOB UNIF LLMD4  
 LOAD Z 43494344 -0.1648 -0.1648 GLOB UNIF LLMD4  
 LOAD Z 40734074 -0.6875 -0.6875 GLOB UNIF LLMD4  
 LOAD Z 40464047 -0.4125 -0.4125 GLOB UNIF LLMD4  
 LOAD Z 40964212 -0.4399 -0.4399 GLOB UNIF LLMD4  
 LOAD Z 42124097 -0.4399 -0.4399 GLOB UNIF LLMD4  
 \*  
 \*\*\*LDS1\*\* -26.000 -25.800 65.000 -26.000 -29.100 65.000 14.000  
 \*\*\*LDS2\*\* -25.800 65.000 14.000 -29.100 65.000 -0.100 -0.100  
 \*\*\*LDS3\*\* 1.000 10 1 3 0 1262 -2EQUPPRESLLMD5  
 LOAD Z 40184037 0.40000-0.30003.30000-0.3000 GLOB UNIF LLMD5  
 LOAD Z 40194038 0.40000-0.30003.30000-0.3000 GLOB UNIF LLMD5  
 LOAD Z 40214040 0.40000-0.37153.30000-0.3715 GLOB UNIF LLMD5  
 LOAD Z 40224052 0.40000-0.37153.30000-0.3715 GLOB UNIF LLMD5  
 LOAD Z 40234053 0.40000-0.37153.30000-0.3715 GLOB UNIF LLMD5  
 LOAD Z 40244031 0.40000-0.37153.30000-0.3715 GLOB UNIF LLMD5  
 LOAD Z 40254032 0.40000-0.37153.30000-0.3715 GLOB UNIF LLMD5  
 LOAD Z 40264033 0.40000-0.37153.30000-0.3715 GLOB UNIF LLMD5  
 LOAD Z 40204039 0.40000-0.33573.30000-0.3357 GLOB UNIF LLMD5  
 LOAD Z 40274034 0.40000-0.28573.30000-0.2857 GLOB UNIF LLMD5  
 LOAD Z 40174047 0.40000-0.55003.30000-0.5500 GLOB UNIF LLMD5  
 \*  
 \*\*\*LDS1\*\* -29.500 -21.250 65.000 -29.500 -25.100 65.000 -22.000  
 \*\*\*LDS2\*\* -21.250 65.000 -22.000 -25.100 65.000 -0.100 -0.100  
 \*\*\*LDS3\*\* 1.000 10 1 3 0 1262 -2EQUPPRESLLMD6  
 LOAD Z 40164046 4.40000-0.3750 -0.3750 GLOB UNIF LLMD6  
 LOAD Z 40154045 4.40000-0.1708 -0.1708 GLOB UNIF LLMD6  
 LOAD Z 40174047 4.40000-0.2042 -0.2042 GLOB UNIF LLMD6

LOADCN 265 1.100  
 LOADLB265 LIVE LOAD ON OPEN AREA MEZZANINE DECK  
 \*

\*\*\*LDS1\*\* -22.000 1.962 53.000 -16.916 1.962 53.000 -22.000  
 \*\*\*LDS2\*\* 13.000 53.000 -16.916 13.000 53.000 -0.050 -0.050  
 \*\*\*LDS3\*\* 1.000 50 3 3 1 1265 -2EQUPPRESLLMZUTL  
 LOAD Z 31233124 -0.0688 -0.0688 GLOB UNIF LLMZUTL  
 LOAD Z 31243125 -0.06882.08450-0.0688 GLOB UNIF LLMZUTL  
 LOAD Z 31063107 -0.2072 -0.2072 GLOB UNIF LLMZUTL  
 LOAD Z 31073108 -0.20722.08450-0.2072 GLOB UNIF LLMZUTL  
 LOAD Z 30873106 2.96190-0.0375 -0.0375 GLOB UNIF LLMZUTL  
 LOAD Z 31063123 -0.0375 -0.0375 GLOB UNIF LLMZUTL  
 LOAD Z 30883107 2.96190-0.0896 -0.0896 GLOB UNIF LLMZUTL  
 LOAD Z 31073124 -0.0896 -0.0896 GLOB UNIF LLMZUTL  
 \*

\*\*\*LDS1\*\* -16.907 1.962 53.000 -13.000 1.962 53.000 -16.907  
 \*\*\*LDS2\*\* 10.976 53.000 -13.000 10.976 53.000 -0.050 -0.050  
 \*\*\*LDS3\*\* 1.000 50 3 3 1 1265 -2EQUPPRESLLMZUTL  
 LOAD Z 30913109 1.96190-0.0375 -0.0375 GLOB UNIF LLMZUTL  
 LOAD Z 31093003 -0.03753.47650-0.0375 GLOB UNIF LLMZUTL  
 LOAD Z 31073108 2.09270-0.2254 -0.2254 GLOB UNIF LLMZUTL  
 LOAD Z 31083109 -0.2739 -0.2739 GLOB UNIF LLMZUTL  
 LOAD Z 30893108 2.96190-0.0602 -0.0602 GLOB UNIF LLMZUTL  
 LOAD Z 31083125 -0.06023.47650-0.0602 GLOB UNIF LLMZUTL  
 \*

\*\*\*LDS1\*\* -19.000 -1.555 53.000 -13.000 -1.555 53.000 -19.000  
 \*\*\*LDS2\*\* 1.961 53.000 -13.000 1.961 53.000 -0.050 -0.050  
 \*\*\*LDS3\*\* 1.000 50 3 3 1 1265 -2EQUPPRESLLMZUTL  
 LOAD Z 30583090 5.94480-0.0375 -0.0375 GLOB UNIF LLMZUTL  
 LOAD Z 30903091 -0.0375 -0.0375 GLOB UNIF LLMZUTL  
 LOAD Z 30913109 -0.03751.96110-0.0375 GLOB UNIF LLMZUTL  
 LOAD Z 30883089 -0.0879 -0.0879 GLOB UNIF LLMZUTL  
 LOAD Z 30893090 -0.1068 -0.1068 GLOB UNIF LLMZUTL  
 LOAD Z 30563088 5.94480-0.0375 -0.0375 GLOB UNIF LLMZUTL  
 LOAD Z 30573089 5.94480-0.0750 -0.0750 GLOB UNIF LLMZUTL  
 LOAD Z 30883107 -0.03752.96110-0.0375 GLOB UNIF LLMZUTL  
 LOAD Z 30893108 -0.07502.96110-0.0750 GLOB UNIF LLMZUTL  
 \*

\*\*\*LDS1\*\* -10.000 -7.500 53.000 -4.000 -7.500 53.000 -10.000  
 \*\*\*LDS2\*\* 7.500 53.000 -4.000 7.500 53.000 -0.050 -0.050  
 \*\*\*LDS3\*\* 1.000 50 3 3 1 1265 -2EQUPPRESLLMZ1  
 LOAD Z 30593060 -0.0938 -0.0938 GLOB UNIF LLMZ1  
 LOAD Z 30603061 -0.1065 -0.1065 GLOB UNIF LLMZ1  
 LOAD Z 30613078 -0.0375 -0.0375 GLOB UNIF LLMZ1  
 LOAD Z 30783094 -0.0375 -0.0375 GLOB UNIF LLMZ1  
 LOAD Z 30923093 -0.1875 -0.1875 GLOB UNIF LLMZ1  
 LOAD Z 30933094 -0.2130 -0.2130 GLOB UNIF LLMZ1  
 LOAD Z 30943101 -0.0375 -0.0375 GLOB UNIF LLMZ1  
 LOAD Z 31013112 -0.0375 -0.0375 GLOB UNIF LLMZ1  
 LOAD Z 31103111 -0.0938 -0.0938 GLOB UNIF LLMZ1  
 LOAD Z 31113112 -0.1065 -0.1065 GLOB UNIF LLMZ1  
 LOAD Z 30593092 -0.0375 -0.0375 GLOB UNIF LLMZ1  
 LOAD Z 30603093 -0.0750 -0.0750 GLOB UNIF LLMZ1  
 LOAD Z 30923110 -0.0375 -0.0375 GLOB UNIF LLMZ1  
 LOAD Z 30933111 -0.0750 -0.0750 GLOB UNIF LLMZ1  
 LOADCN 266  
 LOADLB266 LIVE LOAD ON ESCAPE ROUTE MEZZANINE DECK  
 \*

\*\*\*LDS1\*\* -22.000 18.420 53.000 -22.000 15.087 53.000 21.040  
 \*\*\*LDS2\*\* 18.420 53.000 21.040 15.087 53.000 -0.109 -0.109  
 \*\*\*LDS3\*\* 1.000 50 1 3 0 1266 -2EQUPPRESLLME1  
 LOAD Z 30033142 0.83690-0.32763.33330-0.3276 GLOB UNIF LLME1  
 LOAD Z 30043150 0.83690-0.32993.33330-0.3299 GLOB UNIF LLME1  
 LOAD Z 31293145 1.55565-0.35643.33330-0.3564 GLOB UNIF LLME1  
 LOAD Z 31333148 1.55565-0.36783.33330-0.3678 GLOB UNIF LLME1  
 LOAD Z 31233139 2.08690-0.16383.33330-0.1638 GLOB UNIF LLME1  
 LOAD Z 31243140 2.08690-0.32763.33330-0.3276 GLOB UNIF LLME1  
 LOAD Z 31253141 2.08690-0.32763.33330-0.3276 GLOB UNIF LLME1  
 LOAD Z 31273143 2.08690-0.32763.33330-0.3276 GLOB UNIF LLME1  
 LOAD Z 31283144 2.08690-0.32763.33330-0.3276 GLOB UNIF LLME1

LOAD Z 31303146 2.08690-0.38523.33330-0.3852 GLOB UNIF LLME1  
 LOAD Z 31323147 2.08690-0.38523.33330-0.3852 GLOB UNIF LLME1  
 LOAD Z 31343149 2.08690-0.35033.33330-0.3503 GLOB UNIF LLME1  
 LOAD Z 31363151 2.08690-0.30943.33330-0.3094 GLOB UNIF LLME1  
 LOAD Z 31373152 2.08690-0.41393.33330-0.4139 GLOB UNIF LLME1  
 \*  
 \*\*\*LDS1\*\* 15.833 15.407 53.000 15.833 53.000 53.000 21.040  
 \*\*\*LDS2\*\* 15.407 53.000 21.040 53.000 -0.109 -0.109  
 \*\*\*LDS3\*\* 1.000 50 1 3 1 1266 -2EQUPPRESLLME2  
 LOAD Z 31363137 -0.2816 -0.2816 GLOB UNIF LLME2  
 LOAD Z 31373138 -0.28162.37333-0.2816 GLOB UNIF LLME2  
 LOAD Z 30973098 -0.2048 -0.2048 GLOB UNIF LLME2  
 LOAD Z 30983099 -0.2048 -0.2048 GLOB UNIF LLME2  
 LOAD Z 30993100 -0.20482.37333-0.2048 GLOB UNIF LLME2  
 LOAD Z 31193120 -0.3549 -0.3549 GLOB UNIF LLME2  
 LOAD Z 31203121 -0.35492.37333-0.3549 GLOB UNIF LLME2  
 LOAD Z 30973119 -0.0774 -0.0774 GLOB UNIF LLME2  
 LOAD Z 30993120 -0.2069 -0.2069 GLOB UNIF LLME2  
 LOAD Z 31193136 -0.0774 -0.0774 GLOB UNIF LLME2  
 LOAD Z 31203137 -0.2069 -0.2069 GLOB UNIF LLME2  
 LOAD Z 31363151 -0.07747.75000-0.0774 GLOB UNIF LLME2  
 LOAD Z 31373152 -0.20697.75000-0.2069 GLOB UNIF LLME2  
 \*  
 \*\*\*LDS1\*\* 14.664 -4.000 53.000 14.664 -15.765 53.000 17.967  
 \*\*\*LDS2\*\* -4.000 53.000 17.967 -15.765 53.000 -0.109 -0.109  
 \*\*\*LDS3\*\* 1.000 90 1 3 1 1266 -2EQUPPRESLLME3  
 LOAD Z 30023048 0.41400-0.0602 -0.0602 GLOB UNIF LLME3  
 LOAD Z 30483049 -0.06022.21680-0.0602 GLOB UNIF LLME3  
 LOAD Z 30683069 1.13275-0.0491 -0.0491 GLOB UNIF LLME3  
 LOAD Z 30693070 -0.04912.21680-0.0491 GLOB UNIF LLME3  
 LOAD Z 30313048 5.98500-0.3246 -0.3246 GLOB UNIF LLME3  
 LOAD Z 30483069 -0.3246 -0.3246 GLOB UNIF LLME3  
 LOAD Z 30693075 -0.3246 -0.3246 GLOB UNIF LLME3  
 LOAD Z 30743075 1.66400-0.0191 -0.0191 GLOB UNIF LLME3  
 LOAD Z 30753076 -0.0191 -0.0191 GLOB UNIF LLME3  
 LOAD Z 30763077 -0.01911.55013-0.0191 GLOB UNIF LLME3  
 \*  
 \*\*\*LDS1\*\* -7.860 -15.785 53.000 -7.860 -19.098 53.000 17.997  
 \*\*\*LDS2\*\* -15.785 53.000 17.997 -19.098 53.000 -0.109 -0.109  
 \*\*\*LDS3\*\* 1.000 100 1 3 1 1266 -2EQUPPRESLLME4  
 LOAD Z 30303002 2.65160-0.32763.31340-0.3276 GLOB UNIF LLME4  
 LOAD Z 30263043 2.65160-0.35493.31340-0.3549 GLOB UNIF LLME4  
 LOAD Z 30243040 2.65160-0.32603.31340-0.3260 GLOB UNIF LLME4  
 LOAD Z 30253042 2.65160-0.35493.31340-0.3549 GLOB UNIF LLME4  
 LOAD Z 30273044 2.65160-0.35943.31340-0.3594 GLOB UNIF LLME4  
 LOAD Z 30283045 2.65160-0.35493.31340-0.3549 GLOB UNIF LLME4  
 LOAD Z 30293046 2.65160-0.35033.31340-0.3503 GLOB UNIF LLME4  
 LOAD Z 30313048 2.65160-0.39553.31340-0.3955 GLOB UNIF LLME4  
 \*  
 \*\*\*LDS1\*\* -12.032 -8.550 53.000 -12.032 -11.884 53.000 -4.527  
 \*\*\*LDS2\*\* -8.550 53.000 -4.527 -11.884 53.000 -0.109 -0.109  
 \*\*\*LDS3\*\* 1.000 100 1 3 1 1266 -2EQUPPRESLLME5  
 LOAD Z 30373059 1.11640-0.38573.33330-0.3857 GLOB UNIF LLME5  
 LOAD Z 30393060 1.11640-0.43383.33330-0.4338 GLOB UNIF LLME5  
 \*  
 \*\*\*LDS1\*\* -12.032 -8.550 53.000 -8.699 -8.550 53.000 -12.032  
 \*\*\*LDS2\*\* 11.335 53.000 -8.699 11.335 53.000 -0.109 -0.109  
 \*\*\*LDS3\*\* 1.000 95 1 3 0 1266 -2EQUPPRESLLME6  
 LOAD Z 30583059 0.43625-0.5242 -0.5242 GLOB UNIF LLME6  
 LOAD Z 30593060 -0.52421.30080-0.5242 GLOB UNIF LLME6  
 LOAD Z 30913092 0.43625-0.8190 -0.8190 GLOB UNIF LLME6  
 LOAD Z 30923093 -0.81901.30080-0.8190 GLOB UNIF LLME6  
 LOAD Z 31093110 0.43625-0.8283 -0.8283 GLOB UNIF LLME6  
 LOAD Z 31103111 -0.82831.30080-0.8283 GLOB UNIF LLME6  
 \*  
 \*\*\*LDS1\*\* -33.059 -1.559 53.000 -33.059 -4.890 53.000 -12.053  
 \*\*\*LDS2\*\* -1.559 53.000 -12.053 -4.890 53.000 -0.109 -0.109  
 \*\*\*LDS3\*\* 1.000 95 1 3 0 1266 -2EQUPPRESLLME7  
 LOAD Z 30583090 2.61000-0.26723.33100-0.2672 GLOB UNIF LLME7  
 LOAD Z 30553087 2.61000-0.32423.33100-0.3242 GLOB UNIF LLME7

LOAD Z 30513083 2.61000-0.40573.33100-0.4057 GLOB UNIF LLME7  
 LOAD Z 30533085 2.61000-0.32083.33100-0.3208 GLOB UNIF LLME7  
 LOAD Z 30543086 2.61000-0.32083.33100-0.3208 GLOB UNIF LLME7  
 LOAD Z 30563088 2.61000-0.32763.33100-0.3276 GLOB UNIF LLME7  
 LOAD Z 30573089 2.61000-0.32763.33100-0.3276 GLOB UNIF LLME7  
 LOADCN 270  
 LOADLB270 LIVE LOAD ON OPEN AREA CELLAR DECK  
 \*  
 \*\*\*LDS1\*\* -4.742 13.000 40.000 11.737 13.000 40.000 -4.742  
 \*\*\*LDS2\*\* 16.968 40.000 11.737 16.968 40.000 -0.158 -0.158  
 \*\*\*LDS3\*\* 2.000 50 3 3 1 1270 -2EQUPPRESLLCD1  
 LOAD Z 21872251 -0.24583.96773-0.2458 GLOB UNIF LLCD1  
 LOAD Z 21862187 1.75840-0.3129 -0.3129 GLOB UNIF LLCD1  
 LOAD Z 21872188 -0.3129 -0.3129 GLOB UNIF LLCD1  
 LOAD Z 21882189 -0.3129 -0.3129 GLOB UNIF LLCD1  
 LOAD Z 21892190 -0.3129 -0.3129 GLOB UNIF LLCD1  
 LOAD Z 21902191 -0.3129 -0.3129 GLOB UNIF LLCD1  
 LOAD Z 21912004 -0.31291.98710-0.3129 GLOB UNIF LLCD1  
 \*  
 \*\*\*LDS1\*\* 16.667 16.681 40.000 13.000 13.000 40.000 16.667  
 \*\*\*LDS2\*\* 13.000 40.000 16.667 13.000 40.000 -0.158 -0.158  
 \*\*\*LDS3\*\* 2.000 50 3 3 0 1270 -2EQUPPRESLLCD2  
 LOAD Z 20042199 -0.2049 -0.2049 GLOB UNIF LLCD2  
 \*  
 \*\*\*LDS1\*\* 14.500 10.630 40.000 24.000 10.630 40.000 14.500  
 \*\*\*LDS2\*\* 16.939 40.000 24.000 16.939 40.000 -0.158 -0.158  
 \*\*\*LDS3\*\* 2.000 50 3 3 1 1270 -2EQUPPRESLLCD2  
 LOAD Z 21482193 10.6302-0.3154 -0.3154 GLOB UNIF LLCD2  
 LOAD Z 21492194 10.6302-0.2892 -0.2892 GLOB UNIF LLCD2  
 LOAD Z 21942201 -0.28923.93853-0.2892 GLOB UNIF LLCD2  
 LOAD Z 21992221 -0.31540.25761-0.3154 GLOB UNIF LLCD2  
 LOAD Z 20042193 1.50000-0.4974 -0.4974 GLOB UNIF LLCD2  
 LOAD Z 21932194 -0.4974 -0.4974 GLOB UNIF LLCD2  
 LOAD Z 21942195 -0.4974 -0.4974 GLOB UNIF LLCD2  
 LOAD Z 21952203 -0.14463.93853-0.1446 GLOB UNIF LLCD2  
 LOAD Z 21502195 10.6302-0.1446 -0.1446 GLOB UNIF LLCD2  
 \*  
 \*\*\*LDS1\*\* 20.333 -1.000 40.000 24.000 -1.000 40.000 20.333  
 \*\*\*LDS2\*\* 10.630 40.000 24.000 10.630 40.000 -0.158 -0.158  
 \*\*\*LDS3\*\* 1.000 50 3 3 1 1270 -2EQUPPRESLLCD2  
 LOAD Z 20982149 12.0000-0.1446 -0.1446 GLOB UNIF LLCD2  
 LOAD Z 21492194 -0.14463.66667-0.1446 GLOB UNIF LLCD2  
 LOAD Z 20992150 12.0000-0.1446 -0.1446 GLOB UNIF LLCD2  
 LOAD Z 21492150 -0.9171 -0.9171 GLOB UNIF LLCD2  
 LOAD Z 21502195 -0.14463.66667-0.1446 GLOB UNIF LLCD2  
 \*  
 \*\*\*LDS1\*\* 13.000 -13.000 40.000 22.833 -23.000 40.000 13.000  
 \*\*\*LDS2\*\* -23.000 40.000 13.000 -23.000 40.000 -0.158 -0.158  
 \*\*\*LDS3\*\* 2.000 50 3 3 0 1270 -2EQUPPRESLLCD4  
 LOAD Z 20712067 -0.5529 -0.5529 GLOB UNIF LLCD4  
 LOAD Z 20762071 -0.5529 -0.5529 GLOB UNIF LLCD4  
 LOAD Z 20022076 -0.5529 -0.5529 GLOB UNIF LLCD4  
 \*  
 \*\*\*LDS1\*\* -16.333 -14.125 40.000 -23.000 -14.125 40.000 -16.333  
 \*\*\*LDS2\*\* -14.125 40.000 -23.000 -14.125 40.000 -0.158 -0.158  
 \*\*\*LDS3\*\* 2.000 50 3 3 1 1270 -2EQUPPRESLLCD5  
 LOAD Z 20722084 5.54117-0.2628 -0.2628 GLOB UNIF LLCD5  
 LOAD Z 20842117 -0.2628 -0.2628 GLOB UNIF LLCD5  
 LOAD Z 20862119 -0.1315 -0.1315 GLOB UNIF LLCD5  
 LOAD Z 21172136 -0.2628 -0.2628 GLOB UNIF LLCD5  
 LOAD Z 21192137 -0.1315 -0.1315 GLOB UNIF LLCD5  
 LOAD Z 21374217 -0.13152.76140-0.1315 GLOB UNIF LLCD5  
 LOAD Z 20832084 -0.3746 -0.3746 GLOB UNIF LLCD5  
 LOAD Z 20842085 -0.3746 -0.3746 GLOB UNIF LLCD5  
 LOAD Z 20852086 -0.3746 -0.3746 GLOB UNIF LLCD5  
 LOAD Z 21162117 -0.5126 -0.5126 GLOB UNIF LLCD5  
 LOAD Z 21172118 -0.5126 -0.5126 GLOB UNIF LLCD5  
 LOAD Z 21182119 -0.5126 -0.5126 GLOB UNIF LLCD5  
 LOAD Z 20832116 -0.1315 -0.1315 GLOB UNIF LLCD5  
 LOAD Z 21162135 -0.1315 -0.1315 GLOB UNIF LLCD5

LOAD Z 21352136 -0.4445 -0.4445 GLOB UNIF LLCD5  
 LOAD Z 21362137 -0.4445 -0.4445 GLOB UNIF LLCD5  
 LOAD Z 42222083 4.87450-0.1315 -0.1315 GLOB UNIF LLCD5  
 \*  
 \*\*\*LDS1\*\* 24.000 -23.000 40.000 13.000 -23.000 40.000 24.000  
 \*\*\*LDS2\*\* -23.000 40.000 13.000 -23.000 40.000 -0.158 -0.158  
 \*\*\*LDS3\*\* 2.000 50 3 3 1 1270 -2EQUPPRESLLCD4  
 LOAD Z 20652076 -0.2892 -0.2892 GLOB UNIF LLCD4  
 LOAD Z 20662071 -0.2892 -0.2892 GLOB UNIF LLCD4  
 LOAD Z 20712098 -0.2892 -0.2892 GLOB UNIF LLCD4  
 LOAD Z 20972148 -0.28928.50000-0.2892 GLOB UNIF LLCD4  
 LOAD Z 20982149 -0.28928.50000-0.2892 GLOB UNIF LLCD4  
 LOAD Z 20022097 -1.0646 -1.0646 GLOB UNIF LLCD4  
 LOAD Z 20022108 -0.1446 -0.1446 GLOB UNIF LLCD4  
 LOAD Z 20642002 -0.1446 -0.1446 GLOB UNIF LLCD4  
 LOAD Z 20672068 -0.3943 -0.3943 GLOB UNIF LLCD4  
 LOAD Z 20972098 -1.0646 -1.0646 GLOB UNIF LLCD4  
 LOAD Z 20982099 -1.0646 -1.0646 GLOB UNIF LLCD4  
 LOAD Z 21082128 -0.1446 -0.1446 GLOB UNIF LLCD4  
 LOAD Z 20652066 -0.3943 -0.3943 GLOB UNIF LLCD4  
 LOAD Z 20662067 -0.3943 -0.3943 GLOB UNIF LLCD4  
 LOAD Z 20682099 -0.1446 -0.1446 GLOB UNIF LLCD4  
 LOAD Z 20992150 -0.14468.50000-0.1446 GLOB UNIF LLCD4  
 \*  
 \*\*\*LDS1\*\* -9.750 -13.000 40.000 -6.500 -13.000 40.000 -9.750  
 \*\*\*LDS2\*\* 40.000 -6.500 40.000 -0.158 -0.158  
 \*\*\*LDS3\*\* 2.000 50 3 3 1 1270 -2EQUPPRESLLCD3  
 LOAD Z 20882102 -0.1281 -0.1281 GLOB UNIF LLCD3  
 LOAD Z 20892110 -0.1281 -0.1281 GLOB UNIF LLCD3  
 LOAD Z 21022139 -0.1281 -0.1281 GLOB UNIF LLCD3  
 LOAD Z 21102140 -0.1281 -0.1281 GLOB UNIF LLCD3  
 LOAD Z 20882089 -0.5126 -0.5126 GLOB UNIF LLCD3  
 LOAD Z 21392140 -0.5126 -0.5126 GLOB UNIF LLCD3  
 \*  
 \*\*\*LDS1\*\* -9.750 40.000 -6.500 40.000 -9.750  
 \*\*\*LDS2\*\* 9.000 40.000 -6.500 9.000 40.000 -0.158 -0.158  
 \*\*\*LDS3\*\* 1.000 50 3 3 1 1270 -2EQUPPRESLLCD3  
 LOAD Z 21392170 -0.12813.25000-0.1281 GLOB UNIF LLCD3  
 LOAD Z 21402162 -0.1281 -0.1281 GLOB UNIF LLCD3  
 LOAD Z 21622186 -0.12812.50000-0.1281 GLOB UNIF LLCD3  
 LOAD Z 21392140 -0.7097 -0.7097 GLOB UNIF LLCD3  
 \*  
 \*\*\*LDS1\*\* -13.000 40.000 8.754 -13.000 40.000 -9.750  
 \*\*\*LDS2\*\* -7.500 40.000 8.754 -7.500 40.000 -0.158 -0.158  
 \*\*\*LDS3\*\* 2.000 50 3 3 1 1270 -2EQUPPRESLLCD3  
 LOAD Z 20932104 -0.2563 -0.2563 GLOB UNIF LLCD3  
 LOAD Z 20922093 -0.2169 -0.2169 GLOB UNIF LLCD3  
 LOAD Z 20932094 -0.2169 -0.2169 GLOB UNIF LLCD3  
 LOAD Z 20942095 -0.21692.25360-0.2169 GLOB UNIF LLCD3  
 LOAD Z 20942105 -0.3059 -0.3059 GLOB UNIF LLCD3  
 LOAD Z 21032104 -0.2169 -0.2169 GLOB UNIF LLCD3  
 LOAD Z 21042105 -0.2169 -0.2169 GLOB UNIF LLCD3  
 LOAD Z 21052106 -0.2169 -0.2169 GLOB UNIF LLCD3  
 LOAD Z 21062107 -0.21691.25360-0.2169 GLOB UNIF LLCD3  
 LOAD Z 20922103 -0.1281 -0.1281 GLOB UNIF LLCD3  
 \*  
 \*\*\*LDS1\*\* 5.000 -5.000 40.000 -5.000 40.000 5.000  
 \*\*\*LDS2\*\* -7.500 40.000 -7.500 40.000 -0.158 -0.158  
 \*\*\*LDS3\*\* 2.000 50 3 3 1 1270 -2EQUPPRESLLCD3  
 LOAD Z 21232124 -0.0986 -0.0986 GLOB UNIF LLCD3  
 LOAD Z 21242125 -0.0986 -0.0986 GLOB UNIF LLCD3  
 LOAD Z 21032104 -0.0986 -0.0986 GLOB UNIF LLCD3  
 LOAD Z 21042105 -0.09863.25000-0.0986 GLOB UNIF LLCD3  
 LOAD Z 21032123 -0.3943 -0.3943 GLOB UNIF LLCD3  
 \*  
 \*\*\*LDS1\*\* 5.000 40.000 9.000 40.000 -6.500  
 \*\*\*LDS2\*\* 5.000 40.000 -6.500 9.000 40.000 -0.158 -0.158  
 \*\*\*LDS3\*\* 1.000 50 3 3 1 1270 -2EQUPPRESLLCD3  
 LOAD Z 21402162 5.000000-0.1281 -0.1281 GLOB UNIF LLCD3  
 LOAD Z 21582187 -0.25634.00000-0.2563 GLOB UNIF LLCD3

LOAD Z 21622186 -0.12812.50000-0.1281 GLOB UNIF LLCD3  
 LOAD Z 21592164 -0.1281 -0.1281 GLOB UNIF LLCD3  
 LOAD Z 21642173 -0.12811.50000-0.1281 GLOB UNIF LLCD3  
 \*  
 \*\*\*LDS1\*\* 7.500 40.000 6.500 7.500 40.000  
 \*\*\*LDS2\*\* 9.000 40.000 6.500 9.000 40.000 -0.158 -0.158  
 \*\*\*LDS3\*\* 1.000 50 3 3 1 1270 -2EQUPPRESLLCD3  
 LOAD Z 21642165 -0.1183 -0.1183 GLOB UNIF LLCD3  
 LOAD Z 21652166 -0.1183 -0.1183 GLOB UNIF LLCD3  
 LOAD Z 21662172 -0.12811.50000-0.1281 GLOB UNIF LLCD3  
 LOAD Z 21642173 -0.12811.50000-0.1281 GLOB UNIF LLCD3  
 \*  
 \*\*\*LDS1\*\* 5.000 40.000 5.000 5.000 40.000  
 \*\*\*LDS2\*\* 7.500 40.000 7.500 7.500 40.000 -0.158 -0.158  
 \*\*\*LDS3\*\* 2.000 50 3 3 0 1270 -2EQUPPRESLLCD3  
 LOAD Z 21592160 -0.1972 -0.1972 GLOB UNIF LLCD3  
 LOAD Z 21602161 -0.1972 -0.1972 GLOB UNIF LLCD3  
 LOAD Z 21642165 -0.1972 -0.1972 GLOB UNIF LLCD3  
 LOAD Z 21652166 -0.1972 -0.1972 GLOB UNIF LLCD3  
 LOAD Z 21662167 -0.1972 -0.1972 GLOB UNIF LLCD3  
 \*  
 \*\*\*LDS1\*\* -5.000 5.000 40.000 -5.000 40.000 -5.000  
 \*\*\*LDS2\*\* 5.000 40.000 -5.000 40.000 -0.158 -0.158  
 \*\*\*LDS3\*\* 2.000 50 3 3 1 1270 -2EQUPPRESLLCD3  
 LOAD Z 21402162 -0.05915.00000-0.0591 GLOB UNIF LLCD3  
 LOAD Z 21412157 -0.0591 -0.0591 GLOB UNIF LLCD3  
 LOAD Z 21402141 -0.3943 -0.3943 GLOB UNIF LLCD3  
 \*  
 \*\*\*LDS1\*\* -5.000 -5.000 40.000 -5.000 40.000 -6.500  
 \*\*\*LDS2\*\* -5.000 40.000 -6.500 40.000 -0.158 -0.158  
 \*\*\*LDS3\*\* 2.000 50 3 3 1 1270 -2EQUPPRESLLCD3  
 LOAD Z 21102140 1.50000-0.0591 -0.0591 GLOB UNIF LLCD3  
 LOAD Z 21212129 -0.0591 -0.0591 GLOB UNIF LLCD3  
 LOAD Z 21292141 -0.0591 -0.0591 GLOB UNIF LLCD3  
 LOAD Z 21402141 -0.3943 -0.3943 GLOB UNIF LLCD3  
 \*  
 \*\*\*LDS1\*\* 7.083 -4.500 40.000 8.708 -4.500 40.000 7.083  
 \*\*\*LDS2\*\* 40.000 8.708 40.000 -0.158 -0.158  
 \*\*\*LDS3\*\* 1.000 50 3 3 1 1270 -2EQUPPRESLLCD3  
 LOAD Z 21262145 -0.1281 -0.1281 GLOB UNIF LLCD3  
 LOAD Z 21452146 -0.17741.62497-0.1774 GLOB UNIF LLCD3  
 \*  
 \*\*\*LDS1\*\* 7.083 40.000 8.708 40.000 7.083  
 \*\*\*LDS2\*\* 4.500 40.000 8.708 4.500 40.000 -0.158 -0.158  
 \*\*\*LDS3\*\* 1.000 50 3 3 1 1270 -2EQUPPRESLLCD3  
 LOAD Z 21452154 -0.1281 -0.1281 GLOB UNIF LLCD3  
 LOAD Z 21452146 -0.17741.62497-0.1774 GLOB UNIF LLCD3  
 \*  
 \*\*\*LDS1\*\* -6.500 -13.000 40.000 -3.250 -13.000 40.000 -6.500  
 \*\*\*LDS2\*\* -5.000 40.000 -3.250 -5.000 40.000 -0.158 -0.158  
 \*\*\*LDS3\*\* 1.000 50 3 3 1 1270 -2EQUPPRESLLCD3  
 LOAD Z 20892110 -0.1281 -0.1281 GLOB UNIF LLCD3  
 LOAD Z 20912122 -0.1281 -0.1281 GLOB UNIF LLCD3  
 LOAD Z 21102140 -0.1281 -0.1281 GLOB UNIF LLCD3  
 \*  
 \*\*\*LDS1\*\* 7.083 7.083 40.000 7.083 4.500 40.000 5.000  
 \*\*\*LDS2\*\* 5.000 40.000 5.000 5.000 40.000 -0.158 -0.158  
 \*\*\*LDS3\*\* 1.000 50 3 3 0 1270 -2EQUPPRESLLCD3  
 LOAD Z 21542163 -0.1643 -0.1643 GLOB UNIF LLCD3  
 \*  
 \*\*\*LDS1\*\* 7.083 4.500 40.000 7.083 40.000 7.083  
 \*\*\*LDS2\*\* 4.500 40.000 7.083 40.000 -0.158 -0.158  
 \*\*\*LDS3\*\* 2.000 50 3 3 1 1270 -2EQUPPRESLLCD3  
 LOAD Z 21442161 -0.08224.50000-0.0822 GLOB UNIF LLCD3  
 LOAD Z 21452154 -0.0822 -0.0822 GLOB UNIF LLCD3  
 LOAD Z 21442145 -0.3549 -0.3549 GLOB UNIF LLCD3  
 \*  
 \*\*\*LDS1\*\* 7.083 -4.500 40.000 7.083 40.000 5.000  
 \*\*\*LDS2\*\* -4.500 40.000 5.000 40.000 -0.158 -0.158  
 \*\*\*LDS3\*\* 2.000 50 3 3 0 1270 -2EQUPPRESLLCD3

LOAD Z 21252144 0.50000-0.1643 -0.1643 GLOB UNIF LLCD3  
 LOAD Z 21262145 -0.1643 -0.1643 GLOB UNIF LLCD3  
 \*  
 \*\*\*LDS1\*\* 7.083 -7.083 40.000 7.083 -4.500 40.000 5.000  
 \*\*\*LDS2\*\* -5.000 40.000 5.000 -5.000 40.000 -0.158 -0.158  
 \*\*\*LDS3\*\* 2.000 50 3 3 0 1270 -2EQUPPRESLLCD3  
 LOAD Z 21092126 -0.1643 -0.1643 GLOB UNIF LLCD3  
 \*  
 \*\*\*LDS1\*\* 7.083 -7.083 40.000 5.000 -5.000 40.000 7.083  
 \*\*\*LDS2\*\* -4.500 40.000 7.083 -4.500 40.000 -0.158 -0.158  
 \*\*\*LDS3\*\* 2.000 50 3 3 0 1270 -2EQUPPRESLLCD3  
 LOAD Z 21252109 -0.1441 -0.1441 GLOB UNIF LLCD3  
 LOAD Z 2165C495 -0.25631.50000-0.2563 GLOB UNIF LLCD3  
 LOAD Z 2126C295 -0.17741.62497-0.1774 GLOB UNIF LLCD3  
 LOAD Z 2154C395 -0.17741.62497-0.1774 GLOB UNIF LLCD3  
 LOADCN 271  
 LOADLB271 LIVE LOAD ON LAYDOWN AREA CELLAR DECK  
 \*  
 \*\*\*LDS1\*\* -36.750 23.226 40.000 -32.823 23.226 40.000 -36.750  
 \*\*\*LDS2\*\* 29.750 40.000 -32.823 29.750 40.000 -0.300 -0.300  
 \*\*\*LDS3\*\* 1.000 50 3 3 1 1271 -2EQUPPRESLLCDLAY  
 LOAD Z 21782205 10.2263-0.3172 -0.3172 GLOB UNIF LLCDLAY  
 LOAD Z 22052229 -0.3172 -0.3172 GLOB UNIF LLCDLAY  
 LOAD Z 21772204 10.2263-0.2719 -0.2719 GLOB UNIF LLCDLAY  
 LOAD Z 22042228 -0.2719 -0.2719 GLOB UNIF LLCDLAY  
 LOAD Z 22282229 -0.2938 -0.2938 GLOB UNIF LLCDLAY  
 LOAD Z 22292230 -0.29380.30220-0.2938 GLOB UNIF LLCDLAY  
 LOAD Z 22042205 -0.6848 -0.6848 GLOB UNIF LLCDLAY  
 LOAD Z 22052206 -0.68480.30220-0.6848 GLOB UNIF LLCDLAY  
 \*  
 LOADCN 272  
 LOADLB272 LIVE LOAD ON ESCAPE ROUTE ON CELLAR DECK  
 \*  
 \*\*\*LDS1\*\* -28.979 24.780 40.000 -28.979 21.447 40.000 -9.667  
 \*\*\*LDS2\*\* 24.780 40.000 -9.667 21.447 40.000 -0.067 -0.067  
 \*\*\*LDS3\*\* 1.000 50 1 3 0 1272 -2EQUPPRESLLCD1  
 LOAD Z 21852213 8.44700-0.22503.33300-0.2250 GLOB UNIF LLCD1  
 LOAD Z 23662210 1.03033-0.22223.33300-0.2222 GLOB UNIF LLCD1  
 LOAD Z 42102207 1.03033-0.29023.33300-0.2902 GLOB UNIF LLCD1  
 LOAD Z 42162211 1.03033-0.33053.33300-0.3305 GLOB UNIF LLCD1  
 LOAD Z 22022209 -0.21942.83330-0.2194 GLOB UNIF LLCD1  
 LOAD Z 23652202 1.03033-0.2194 -0.2194 GLOB UNIF LLCD1  
 \*  
 \*\*\*LDS1\*\* -28.979 21.447 40.000 -28.979 -4.247 40.000 -25.646  
 \*\*\*LDS2\*\* 21.447 40.000 -25.646 -4.247 40.000 -0.067 -0.067  
 \*\*\*LDS3\*\* 1.000 50 1 3 0 1272 -2EQUPPRESLLCD2  
 LOAD Z 21152134 1.50308-0.2222 -0.2222 GLOB UNIF LLCD2  
 LOAD Z 21344211 -0.2222 -0.2222 GLOB UNIF LLCD2  
 LOAD Z 21804210 -0.2222 -0.2222 GLOB UNIF LLCD2  
 LOAD Z 42102207 -0.22225.41667-0.2222 GLOB UNIF LLCD2  
 LOAD Z 42112180 -0.2222 -0.2222 GLOB UNIF LLCD2  
 \*  
 \*\*\*LDS1\*\* -39.156 -0.915 40.000 -39.156 -4.247 40.000 -28.979  
 \*\*\*LDS2\*\* -0.915 40.000 -28.979 -4.247 40.000 -0.067 -0.067  
 \*\*\*LDS3\*\* 1.000 90 1 3 0 1272 -2EQUPPRESLLCD3  
 LOAD Z 21122131 1.50308-0.31873.33200-0.3187 GLOB UNIF LLCD3  
 LOAD Z 21132132 1.50308-0.21663.33200-0.2166 GLOB UNIF LLCD3  
 LOAD Z 21142133 1.50308-0.14313.33200-0.1431 GLOB UNIF LLCD3  
 \*  
 \*\*\*LDS1\*\* -39.156 -4.247 40.000 -39.156 -33.500 40.000 -36.000  
 \*\*\*LDS2\*\* -4.247 40.000 -36.000 -33.500 40.000 -0.067 -0.067  
 \*\*\*LDS3\*\* 1.000 90 1 3 0 1272 -2EQUPPRESLLCD3  
 LOAD Z 20112019 -0.2104 -0.2104 GLOB UNIF LLCD3  
 LOAD Z 20192048 -0.2104 -0.2104 GLOB UNIF LLCD3  
 LOAD Z 20482079 -0.2104 -0.2104 GLOB UNIF LLCD3  
 LOAD Z 20792112 -0.2104 -0.2104 GLOB UNIF LLCD3  
 LOAD Z 21122131 -0.21045.75008-0.2104 GLOB UNIF LLCD3  
 \*  
 \*\*\*LDS1\*\* -36.000 -30.162 40.000 -36.000 -33.500 40.000 -2.911  
 \*\*\*LDS2\*\* -30.162 40.000 -2.911 -33.500 40.000 -0.067 -0.067

\*\*\*LDS3\*\* 1.000 90 1 3 0 1272 -2EQUPPRESLLCD5  
LOAD Z 20112019 -0.10833.33800-0.1083 GLOB UNIF LLCD5  
LOAD Z 20122020 -0.21663.33800-0.2166 GLOB UNIF LLCD5  
LOAD Z 20142022 -0.21663.33800-0.2166 GLOB UNIF LLCD5  
LOAD Z 20162024 -0.22223.33800-0.2222 GLOB UNIF LLCD5  
LOAD Z 20172025 -0.22223.33800-0.2222 GLOB UNIF LLCD5  
LOAD Z 20872026 -0.21943.33800-0.2194 GLOB UNIF LLCD5  
LOAD Z 20962027 -0.21663.33800-0.2166 GLOB UNIF LLCD5  
LOAD Z 21272028 -0.22803.33800-0.2280 GLOB UNIF LLCD5  
LOAD Z 21432155 -0.11973.33800-0.1197 GLOB UNIF LLCD5  
LOAD Z 20132021 -0.21663.33800-0.2166 GLOB UNIF LLCD5  
LOAD Z 20152023 -0.21943.33800-0.2194 GLOB UNIF LLCD5  
\*  
\*\*\*LDS1\*\* -9.197 -26.126 40.000 -9.197 -29.500 40.000 27.494  
\*\*\*LDS2\*\* -26.126 40.000 27.494 -29.500 40.000 -0.067 -0.067  
\*\*\*LDS3\*\* 3.000 10 1 3 0 1272 -2EQUPPRESLLCD6  
LOAD Z 20282058 -0.26313.37400-0.2631 GLOB UNIF LLCD6  
LOAD Z 20312061 -0.21663.37400-0.2166 GLOB UNIF LLCD6  
LOAD Z 20322062 -0.21663.37400-0.2166 GLOB UNIF LLCD6  
LOAD Z 20332063 -0.21663.37400-0.2166 GLOB UNIF LLCD6  
LOAD Z 20352376 -0.20623.37400-0.2062 GLOB UNIF LLCD6  
LOAD Z 20362377 -0.24443.37400-0.2444 GLOB UNIF LLCD6  
LOAD Z 20382042 -0.17043.37400-0.1704 GLOB UNIF LLCD6  
LOAD Z 20342064 -0.14653.37400-0.1465 GLOB UNIF LLCD6  
LOAD Z 20292059 -0.21663.37400-0.2166 GLOB UNIF LLCD6  
LOAD Z 20372043 -0.18473.37400-0.1847 GLOB UNIF LLCD6  
LOAD Z 20302060 -0.24163.37400-0.2416 GLOB UNIF LLCD6  
LOAD Z 23742375 -0.12223.37400-0.1222 GLOB UNIF LLCD6  
\*  
\*\*\*LDS1\*\* 24.000 20.281 40.000 24.000 -26.126 40.000 27.494  
\*\*\*LDS2\*\* 20.281 40.000 27.494 -26.126 40.000 -0.067 -0.067  
\*\*\*LDS3\*\* 1.000 10 1 3 0 1272 -2EQUPPRESLLCD7  
LOAD Z 20382042 3.37400-0.1704 -0.1704 GLOB UNIF LLCD7  
LOAD Z 20422069 -0.1704 -0.1704 GLOB UNIF LLCD7  
LOAD Z 20692100 -0.1704 -0.1704 GLOB UNIF LLCD7  
LOAD Z 21002151 -0.1704 -0.1704 GLOB UNIF LLCD7  
LOAD Z 21512196 -0.1704 -0.1704 GLOB UNIF LLCD7  
LOAD Z 21962224 -0.170412.9250-0.1704 GLOB UNIF LLCD7  
LOAD Z 20372043 3.37400-0.0625 -0.0625 GLOB UNIF LLCD7  
LOAD Z 20432068 -0.0625 -0.0625 GLOB UNIF LLCD7  
LOAD Z 20682099 -0.0625 -0.0625 GLOB UNIF LLCD7  
LOAD Z 21952203 -0.062511.0427-0.0625 GLOB UNIF LLCD7  
LOAD Z 20992150 -0.0625 -0.0625 GLOB UNIF LLCD7  
LOAD Z 21502195 -0.0625 -0.0625 GLOB UNIF LLCD7  
\*  
\*\*\*LDS1\*\* -13.000 20.281 40.000 -13.000 16.950 40.000 24.246  
\*\*\*LDS2\*\* 20.281 40.000 24.246 16.950 40.000 -0.067 -0.067  
\*\*\*LDS3\*\* 1.000 10 1 3 0 1272 -2EQUPPRESLLCD8  
LOAD Z 21852213 3.95000-0.32503.33100-0.3250 GLOB UNIF LLCD8  
LOAD Z 21862214 3.95000-0.21663.33100-0.2166 GLOB UNIF LLCD8  
LOAD Z 21872251 3.95000-0.21663.33100-0.2166 GLOB UNIF LLCD8  
LOAD Z 21892362 3.95000-0.21663.33100-0.2166 GLOB UNIF LLCD8  
LOAD Z 21902363 3.95000-0.21663.33100-0.2166 GLOB UNIF LLCD8  
LOAD Z 21912364 3.95000-0.33893.33100-0.3389 GLOB UNIF LLCD8  
LOAD Z 21942201 3.95000-0.24443.33100-0.2444 GLOB UNIF LLCD8  
LOAD Z 21992221 0.26908-0.35283.33100-0.3528 GLOB UNIF LLCD8  
LOAD Z 21952203 3.95000-0.13863.33100-0.1386 GLOB UNIF LLCD8  
LOAD Z 21882361 3.95000-0.21663.33100-0.2166 GLOB UNIF LLCD8  
\*  
\*\*\*LDS1\*\* -36.750 16.875 40.000 -36.750 13.000 40.000 -29.500  
\*\*\*LDS2\*\* 16.875 40.000 -29.500 13.000 40.000 -0.067 -0.067  
\*\*\*LDS3\*\* 1.000 10 1 3 0 1272 -2EQUPPRESLLCD9  
LOAD Z 21782205 -0.24163.87500-0.2416 GLOB UNIF LLCD9  
LOAD Z 21772204 -0.12093.87500-0.1209 GLOB UNIF LLCD9  
LOAD Z 21792206 -0.12093.87500-0.1209 GLOB UNIF LLCD9  
LOADCN 275  
LOADLB275 LIVE LOAD ON OPEN AREA SUBCELLAR DECK  
\*  
\*\*\*LDS1\*\* -9.615 -8.908 24.000 -3.500 -8.908 24.000 -9.615  
\*\*\*LDS2\*\* -6.500 24.000 -3.500 -6.500 24.000 -0.050 -0.050

\*\*\*LDS3\*\* 2.000 50 3 3 1 1275 -2EQUPPRESLLMZ1  
LOAD Z 10401046 3.64408-0.1529 -0.1529 GLOB UNIF LLSC1  
LOAD Z 10461055 -0.1529 -0.1529 GLOB UNIF LLSC1  
LOAD Z 10541055 2.93668-0.0602 -0.0602 GLOB UNIF LLSC1  
\*  
\*\*\*LDS1\*\* -3.500 -6.500 24.000 -6.500 24.000 -3.500  
\*\*\*LDS2\*\* -6.500 24.000 -6.500 24.000 -0.050 -0.050  
\*\*\*LDS3\*\* 2.000 50 3 3 1 1275 -2EQUPPRESLLMZ1  
LOAD Z 10401046 3.64408-0.0438 -0.0438 GLOB UNIF LLSC1  
LOAD Z 10411047 4.09200-0.0438 -0.0438 GLOB UNIF LLSC1  
LOAD Z 10461047 -0.0691 -0.0691 GLOB UNIF LLSC1  
LOAD Z 10461055 -0.0438 -0.0438 GLOB UNIF LLSC1  
\*  
\*\*\*LDS1\*\* -4.990 -18.500 24.000 -18.500 24.000 -4.990  
\*\*\*LDS2\*\* -13.000 24.000 -13.000 24.000 -0.050 -0.050  
\*\*\*LDS3\*\* 1.000 50 3 3 1 1275 -2EQUPPRESLLMZ2  
LOAD Z 10311032 3.22908-0.0688 -0.0688 GLOB UNIF LLSC2  
LOAD Z 10321041 -0.1248 -0.1248 GLOB UNIF LLSC2  
LOAD Z 10391040 3.67700-0.0688 -0.0688 GLOB UNIF LLSC2  
LOAD Z 10401041 -0.0789 -0.0789 GLOB UNIF LLSC2  
\*  
\*\*\*LDS1\*\* -8.667 -25.555 24.000 23.823 -25.555 24.000 -8.667  
\*\*\*LDS2\*\* -24.000 24.000 23.823 -24.000 24.000 -0.050 -0.050  
\*\*\*LDS3\*\* 1.000 50 1 3 1 1275 -2EQUPPRESLLMZ2  
LOAD Z 10161024 3.94460-0.1084 -0.1084 GLOB UNIF LLSC2  
LOAD Z 10181025 3.49668-0.1896 -0.1896 GLOB UNIF LLSC2  
LOAD Z 10191026 3.94460-0.1625 -0.1625 GLOB UNIF LLSC2  
LOAD Z 10201027 3.94460-0.1750 -0.1750 GLOB UNIF LLSC2  
LOAD Z 10211028 3.49668-0.1768 -0.1768 GLOB UNIF LLSC2  
LOAD Z 10241025 -0.0412 -0.0412 GLOB UNIF LLSC2  
LOAD Z 10251026 -0.0389 -0.0389 GLOB UNIF LLSC2  
LOAD Z 10261027 -0.0389 -0.0389 GLOB UNIF LLSC2  
LOAD Z 10271028 -0.0389 -0.0389 GLOB UNIF LLSC2  
LOAD Z 10281029 -0.03892.42697-0.0389 GLOB UNIF LLSC2  
\*  
\*\*\*LDS1\*\* 15.908 -24.000 24.000 20.500 -24.000 24.000 15.908  
\*\*\*LDS2\*\* -13.000 24.000 20.500 -13.000 24.000 -0.050 -0.050  
\*\*\*LDS3\*\* 1.000 50 1 3 1 1275 -2EQUPPRESLLMZ2  
LOAD Z 10021044 2.45988-0.0688 -0.0688 GLOB UNIF LLSC2  
LOAD Z 10271028 2.45988-0.0688 -0.0688 GLOB UNIF LLSC2  
LOAD Z 13001301 2.45988-0.1375 -0.1375 GLOB UNIF LLSC2  
LOAD Z 10351044 -0.1148 -0.1148 GLOB UNIF LLSC2  
\*  
\*\*\*LDS1\*\* 20.500 -24.000 24.000 23.823 -24.000 24.000 20.500  
\*\*\*LDS2\*\* -14.902 24.000 23.823 -14.902 24.000 -0.050 -0.050  
\*\*\*LDS3\*\* 1.000 50 1 3 1 1275 -2EQUPPRESLLMZ2  
LOAD Z 10281029 -0.07362.42697-0.0736 GLOB UNIF LLSC2  
LOAD Z 10351036 -0.16992.42697-0.1699 GLOB UNIF LLSC2  
LOAD Z 10351044 -0.08313.32280-0.0831 GLOB UNIF LLSC2  
LOAD Z 10281301 -0.1148 -0.1148 GLOB UNIF LLSC2  
LOAD Z 10281301 -0.0831 -0.0831 GLOB UNIF LLSC2  
LOAD Z 13011035 -0.1148 -0.1148 GLOB UNIF LLSC2  
LOAD Z 13011035 -0.0831 -0.0831 GLOB UNIF LLSC2  
\*  
LOADCN 276 0.500  
LOADLB276 LIVE LOAD ON ESCAPE ROUTE SUB CELLAR DECK  
\*  
\*\*\*LDS1\*\* -13.000 -2.000 24.000 -8.500 -2.000 24.000 -13.000  
\*\*\*LDS2\*\* 16.667 24.000 -8.500 16.667 24.000 -0.100 -0.100  
\*\*\*LDS3\*\* 1.000 50 1 3 0 1276 -2EQUPPRESLLSC1  
LOAD Z 10031073 -0.4257 -0.4257 GLOB UNIF LLSC1  
LOAD Z 10591060 -0.3054 -0.3054 GLOB UNIF LLSC1  
LOAD Z 10651066 -0.6867 -0.6867 GLOB UNIF LLSC1  
LOAD Z 10681069 -0.5931 -0.5931 GLOB UNIF LLSC1  
LOAD Z 11021103 -0.1833 -0.1833 GLOB UNIF LLSC1  
\*  
\*\*\*LDS1\*\* -13.000 -2.000 24.000 -13.000 -13.000 24.000 -8.667  
\*\*\*LDS2\*\* -2.000 24.000 -8.667 -13.000 24.000 -0.100 -0.100  
\*\*\*LDS3\*\* 1.000 50 1 3 0 1276 -2EQUPPRESLLSC2  
LOAD Z 10011054 -0.4334 -0.4334 GLOB UNIF LLSC2

LOAD Z 10541059 -0.4334 -0.4334 GLOB UNIF LLSC2  
 \*  
 \*\*\*LDS1\*\* -8.667 -13.000 24.000 27.410 -13.000 24.000 -8.667  
 \*\*\*LDS2\*\* -9.000 24.000 27.410 -9.000 24.000 -0.100 -0.100  
 \*\*\*LDS3\*\* 1.000 50 1 3 0 1276 -2EQUPPRESLLSC3  
 LOAD Z 10021044 -0.4000 -0.4000 GLOB UNIF LLSC3  
 LOAD Z 10391040 -0.4000 -0.4000 GLOB UNIF LLSC3  
 LOAD Z 10401041 -0.4000 -0.4000 GLOB UNIF LLSC3  
 LOAD Z 10411042 -0.4000 -0.4000 GLOB UNIF LLSC3  
 LOAD Z 10421002 -0.4000 -0.4000 GLOB UNIF LLSC3  
 LOAD Z 10441045 -0.4068 -0.4068 GLOB UNIF LLSC3  
 \*  
 \*\*\*LDS1\*\* 24.080 -29.500 24.000 27.750 -29.500 24.000 24.080  
 \*\*\*LDS2\*\* -13.000 24.000 27.750 -13.000 24.000 -0.100 -0.100  
 \*\*\*LDS3\*\* 1.000 50 1 3 0 1276 -2EQUPPRESLLSC4  
 LOAD Z 10281029 3.13208-0.5500 -0.5500 GLOB UNIF LLSC4  
 LOAD Z 10351036 3.13208-0.5500 -0.5500 GLOB UNIF LLSC4  
 LOAD Z 10441045 3.13208-0.2750 -0.2750 GLOB UNIF LLSC4  
 LOAD Z 11011022 1.59042-0.2750 -0.2750 GLOB UNIF LLSC4  
 \*  
 \*\*\*LDS1\*\* -8.667 -29.500 24.000 24.080 -29.500 24.000 -8.667  
 \*\*\*LDS2\*\* -25.730 24.000 24.080 -25.730 24.000 -0.100 -0.100  
 \*\*\*LDS3\*\* 1.000 50 1 3 0 1276 -2EQUPPRESLLSC5  
 LOAD Z 10161017 -0.4049 -0.4049 GLOB UNIF LLSC5  
 LOAD Z 10171018 -0.3770 -0.3770 GLOB UNIF LLSC5  
 LOAD Z 10181019 -0.3770 -0.3770 GLOB UNIF LLSC5  
 LOAD Z 10191020 -0.3770 -0.3770 GLOB UNIF LLSC5  
 LOAD Z 10201098 -0.3770 -0.3770 GLOB UNIF LLSC5  
 LOAD Z 10211101 -0.3770 -0.3770 GLOB UNIF LLSC5  
 LOAD Z 10981021 -0.3770 -0.3770 GLOB UNIF LLSC5  
 LOAD Z 11011022 -0.3770 1.59042-0.3770 GLOB UNIF LLSC5  
 \*  
 \*\*\*LDS1\*\* -8.667 -25.730 24.000 -5.280 -25.730 24.000 -8.667  
 \*\*\*LDS2\*\* -13.000 24.000 -5.280 -13.000 24.000 -0.100 -0.100  
 \*\*\*LDS3\*\* 1.000 50 1 3 0 1276 -2EQUPPRESLLSC6  
 LOAD Z 10241025 -0.47382.49083-0.4738 GLOB UNIF LLSC6  
 LOAD Z 10311032 -0.58172.49083-0.5817 GLOB UNIF LLSC6  
 LOAD Z 10391040 -0.27503.38667-0.2750 GLOB UNIF LLSC6  
 \*  
 \*\*\*LDS1\*\* -13.000 -33.500 24.000 -2.167 -33.500 24.000 -13.000  
 \*\*\*LDS2\*\* -29.500 24.000 -2.167 -29.500 24.000 -0.100 -0.100  
 \*\*\*LDS3\*\* 1.000 50 1 3 0 1276 -2EQUPPRESLLSC7  
 LOAD Z 10101011 -0.2230 -0.2230 GLOB UNIF LLSC7  
 LOAD Z 10111012 -0.2148 -0.2148 GLOB UNIF LLSC7  
 LOAD Z 10151016 -0.2260 -0.2260 GLOB UNIF LLSC7  
 LOAD Z 10161017 -0.2000 -0.2000 GLOB UNIF LLSC7  
 LOAD Z 10591107 4.50000-0.1103 GLOB CONC ROPE  
 LOAD Z 10541106 4.50000-0.1103 GLOB CONC ROPE  
 LOADCN 277  
 LOADLB277 LIVE LOAD ON BOAT LANDING  
 LOAD Z B553B565 -0.0750 -0.0750 GLOB UNIF LL-BL  
 LOAD Z B567B553 -0.0750 -0.0750 GLOB UNIF LL-BL  
 LOAD Z B567B571 -0.0750 -0.0750 GLOB UNIF LL-BL  
 LOAD Z B550B551 -0.1934 -0.1934 GLOB UNIF LL-BL  
 LOAD Z B559B558 -0.1531 -0.1531 GLOB UNIF LL-BL  
 LOAD Z B560B559 -0.1531 -0.1531 GLOB UNIF LL-BL  
 LOAD Z B549B550 -0.1445 -0.1445 GLOB UNIF LL-BL  
 LOAD Z B557B556 -0.1531 -0.1531 GLOB UNIF LL-BL  
 LOAD Z B558B557 -0.1531 -0.1531 GLOB UNIF LL-BL  
 LOAD Z B551B552 -0.2348 -0.2348 GLOB UNIF LL-BL  
 LOAD Z B552B553 -0.1253 -0.1253 GLOB UNIF LL-BL  
 LOAD Z B561B560 -0.1531 -0.1531 GLOB UNIF LL-BL  
 LOAD Z B562B561 -0.1531 -0.1531 GLOB UNIF LL-BL  
 LOAD Z B066B073 -0.1119 -0.1119 GLOB UNIF LL-BL  
 LOAD Z B064B069 0.50000-0.1313 -0.1313 GLOB UNIF LL-BL  
 LOAD Z B076B075 -0.1531 -0.1531 GLOB UNIF LL-BL  
 LOAD Z B077B076 -0.1531 -0.1531 GLOB UNIF LL-BL  
 LOAD Z B068B079 -0.1312 -0.1312 GLOB UNIF LL-BL  
 LOAD Z B067B075 -0.2315 -0.2315 GLOB UNIF LL-BL  
 LOAD Z B066B073 -0.2315 -0.2315 GLOB UNIF LL-BL

LOAD Z B064B069 0.50000-0.0750 -0.0750 GLOB UNIF LL-BL  
\*

\*\*\*\*\*  
\*\*\*\*\* MECHANICAL LOADS \*\*\*\*\*  
\*\*\*\*\*

LOADCN 280  
LOAD Z 40324033 1.42850-1.0249 GLOB CONC L-121  
LOAD Z 40434044 1.42850-1.0249 GLOB CONC L-121  
LOAD 4348 -9.3799 GLOB JOIN TOTETANK  
LOAD 5000 -111.55 GLOB JOIN Z-121  
LOAD Z 20502081 6.75000-3.9600 GLOB CONC V-124  
LOAD Z 20512082 6.75000-3.9600 GLOB CONC V-124  
LOAD Z 20562075 -2.66404.00000-2.6640 GLOB UNIF V-121  
LOAD Z 20524222 -2.6640 -2.6640 GLOB UNIF V-121  
LOAD 5014 -0.9079 GLOB JOIN VENTB  
LOAD Z 10541055 5.00000-0.5500 GLOB CONC P-125  
LOAD Z 31103127 -0.18683.08330-0.1868 GLOB UNIF UTILITYR  
LOAD Z 31113128 -0.14673.08330-0.1467 GLOB UNIF UTILITYR  
LOAD Z 30933111 1.08330-0.1467 -0.1467 GLOB UNIF UTILITYR  
LOAD Z 30923110 1.08330-0.1868 -0.1868 GLOB UNIF UTILITYR  
LOAD Z 20202049 6.00000-0.8250 GLOB CONC R-121  
LOAD Z 20492080 6.00000-0.8250 GLOB CONC R-121  
LOAD Z 10251032 -1.7901 -1.7901 GLOB UNIF T-121  
LOAD Z 22212222 0.50333-1.0426 -1.0426 GLOB UNIF U-1210  
LOAD Z 10411042 -0.6063 -0.6063 GLOB UNIF P-121  
LOAD 4346 -6.0610 GLOB JOIN G-1212  
LOAD 4350 -21.098 GLOB JOIN U-1201  
LOAD 4355 -30.590 GLOB JOIN U-1202  
LOAD 2378 -2.8600 GLOB JOIN U-1211  
LOAD Z 10601066 -1.1876 -1.1876 GLOB UNIF M-121  
LOAD Z 10271300 -1.7901 -1.7901 GLOB UNIF T-121  
LOAD Z 13001034 -1.7901 -1.7901 GLOB UNIF T-121  
\*

\*\*\*\*\*  
\*\*\*\*\* ELECTRICAL LOADS \*\*\*\*\*  
\*\*\*\*\*

LOADCN 285  
LOAD Z 40154016 2.00000-0.0100 GLOB CONC DCBD-A01  
LOAD Z 41894209 7.50000-0.0100 GLOB CONC DCBD-A02  
LOAD Z 22222223 2.00000-0.2205 GLOB CONC JB-BB  
LOAD Z 21852213 2.00000-0.2205 GLOB CONC JB-BB  
LOAD Z 20032212 2.00000-0.2205 GLOB CONC JB-BB  
LOAD 4209 -0.0450 GLOB JOIN DCBD-S0B  
LOAD 4187 -0.0441 GLOB JOIN CBSP121D  
LOAD 4167 -0.0441 GLOB JOIN CBSP121C  
LOAD 4144 -0.0441 GLOB JOIN CBSP121B  
LOAD 4124 -0.0643 GLOB JOIN CBSP121F  
LOAD 4106 -0.0643 GLOB JOIN CBSP121G  
LOAD 4093 -0.0643 GLOB JOIN CBSP121H  
LOAD 4059 -0.0643 GLOB JOIN CBSP121I  
LOAD 4187 -0.0154 GLOB JOIN CBSP121A  
\*

\*\*\*LDS1\*\* 18.500 -1.500 65.000 18.500 1.500 65.000 18.500  
\*\*\*LDS2\*\* -1.500 65.000 18.500 1.500 65.000 0.067 0.067  
\*\*\*LDS3\*\* 1.000 50 1 3 0 1285 -2EQUPPRESECU-SP  
LOAD Z 41244144 -0.70501.50000-0.7050 GLOB UNIF ECU-SP  
LOAD Z 41064124 6.00000-0.7050 -0.7050 GLOB UNIF ECU-SP  
LOAD Z 41254145 -0.70501.50000-0.7050 GLOB UNIF ECU-SP  
LOAD Z 41074125 6.00000-0.7050 -0.7050 GLOB UNIF ECU-SP  
\*

\*\*\*LDS1\*\* 18.500 -1.500 65.000 18.500 1.500 65.000 18.500  
\*\*\*LDS2\*\* -1.500 65.000 18.500 1.500 65.000 0.040 0.040  
\*\*\*LDS3\*\* 1.000 50 1 3 0 1285 -2EQUPPRESJB-BB  
LOAD Z 41244144 -0.03681.50000-0.0368 GLOB UNIF JB-BB  
LOAD Z 41064124 6.00000-0.0368 -0.0368 GLOB UNIF JB-BB  
LOAD Z 41254145 -0.03681.50000-0.0368 GLOB UNIF JB-BB  
LOAD Z 41074125 6.00000-0.0368 -0.0368 GLOB UNIF JB-BB  
\*

\*\*\*LDS1\*\* 18.500 -5.250 65.000 18.500 -1.750 65.000 18.500  
\*\*\*LDS2\*\* -5.250 65.000 18.500 -1.750 65.000 0.073 0.073

\*\*\*LDS3\*\* 1.000 50 1 3 0 1285 -2EQUPPRESACDB-121  
LOAD Z 41064124 2.25000-0.09453.50000-0.0945 GLOB UNIF ACDB-121  
LOAD Z 41074125 2.25000-0.09453.50000-0.0945 GLOB UNIF ACDB-121  
\*  
\*\*\*LDS1\*\* 15.750 7.500 65.000 15.750 13.000 65.000 15.750  
\*\*\*LDS2\*\* 7.500 65.000 15.750 13.000 65.000 0.050 0.050  
\*\*\*LDS3\*\* 1.000 50 1 3 0 1285 -2EQUPPRESBB-121B1  
LOAD Z 41434166 -0.0852 -0.0852 GLOB UNIF BB-121B1  
LOAD Z 41444167 -0.1704 -0.1704 GLOB UNIF BB-121B1  
LOAD Z 41454168 -0.0852 -0.0852 GLOB UNIF BB-121B1  
\*  
\*\*\*LDS1\*\* 15.750 2.000 65.000 15.750 7.500 65.000 15.750  
\*\*\*LDS2\*\* 2.000 65.000 15.750 7.500 65.000 0.050 0.050  
\*\*\*LDS3\*\* 1.000 50 1 3 0 1285 -2EQUPPRESBB-121B2  
LOAD Z 41234143 2.00000-0.0852 -0.0852 GLOB UNIF BB-121B2  
LOAD Z 41244144 2.00000-0.1704 -0.1704 GLOB UNIF BB-121B2  
LOAD Z 41254145 2.00000-0.0852 -0.0852 GLOB UNIF BB-121B2  
\*  
\*\*\*LDS1\*\* 15.750 -7.500 65.000 15.750 -3.500 65.000 15.750  
\*\*\*LDS2\*\* -7.500 65.000 15.750 -3.500 65.000 0.102 0.102  
\*\*\*LDS3\*\* 1.000 50 1 3 0 1285 -2EQUPPRESBC-121A  
LOAD Z 41054123 -0.14064.00000-0.1406 GLOB UNIF BC-121A  
LOAD Z 41064124 -0.28124.00000-0.2812 GLOB UNIF BC-121A  
LOAD Z 41074125 -0.14064.00000-0.1406 GLOB UNIF BC-121A  
\*  
\*\*\*LDS1\*\* 18.500 -1.500 65.000 18.500 1.500 65.000 18.500  
\*\*\*LDS2\*\* -1.500 65.000 18.500 1.500 65.000 0.018 0.018  
\*\*\*LDS3\*\* 1.000 50 1 3 0 1285 -2EQUPPRESBTB121B  
LOAD Z 41244144 -0.02501.50000-0.0250 GLOB UNIF BTB121B  
LOAD Z 41064124 6.00000-0.0250 -0.0250 GLOB UNIF BTB121B  
LOAD Z 41254145 -0.02501.50000-0.0250 GLOB UNIF BTB121B  
LOAD Z 41074125 6.00000-0.0250 -0.0250 GLOB UNIF BTB121B  
\*  
\*\*\*LDS1\*\* 18.500 12.000 65.000 18.500 15.000 65.000 18.500  
\*\*\*LDS2\*\* 12.000 65.000 18.500 15.000 65.000 0.085 0.085  
\*\*\*LDS3\*\* 1.000 50 1 3 0 1285 -2EQUPPRESDCDB121A  
LOAD Z 41674187 -0.07902.00000-0.0790 GLOB UNIF DCDB121A  
LOAD Z 41444167 4.50000-0.0790 -0.0790 GLOB UNIF DCDB121A  
LOAD Z 41684189 -0.07902.00000-0.0790 GLOB UNIF DCDB121A  
LOAD Z 41454168 4.50000-0.0790 -0.0790 GLOB UNIF DCDB121A  
\*  
\*\*\*LDS1\*\* 18.500 -7.500 65.000 18.500 -4.500 65.000 18.500  
\*\*\*LDS2\*\* -7.500 65.000 18.500 -4.500 65.000 0.051 0.051  
\*\*\*LDS3\*\* 1.000 50 1 3 0 1285 -2EQUPPRESDCDB121B  
LOAD Z 41064124 -0.09193.00000-0.0919 GLOB UNIF DCDB121B  
LOAD Z 41074125 -0.09193.00000-0.0919 GLOB UNIF DCDB121B  
LOAD Z 41664186 2.75000-0.0334 -0.0334 GLOB UNIF BB-121A  
LOAD Z 41674187 2.75000-0.0334 -0.0334 GLOB UNIF BB-121A  
LOAD Z 41684189 2.75000-0.0334 -0.0334 GLOB UNIF BB-121A  
LOAD Z 41884208 3.28084-1.4672 GLOB CONC SP121  
LOAD Z 41674187 0.82021-1.4672 GLOB CONC SP121  
LOAD Z 41244144 3.28084-1.4672 GLOB CONC SP121  
\*\*\*\*\*  
\*\*\*\*\* INSTRUMENT LOADS \*\*\*\*\*  
\*\*\*\*\*  
LOADCN 290  
LOAD 4019 -0.0400 GLOB JOIN AN-121B  
LOAD 3142 -0.0200 GLOB JOIN IJB  
LOAD 3143 -0.0200 GLOB JOIN IJB  
LOAD Z 21502195 5.00000-0.0200 GLOB CONC IJB  
LOAD Z 21502195 10.0000-0.0200 GLOB CONC IJB  
LOAD Z 20842117 5.67000-0.2691 -0.2691 GLOB UNIF WHCP  
LOAD Z 21172136 -0.2691 -0.2691 GLOB UNIF WHCP  
LOAD Z 22022209 0.74996-0.3333 -0.3333 GLOB UNIF RTU-SCAD  
LOAD Z 22092233 -0.3333 -0.3333 GLOB UNIF RTU-SCAD  
LOAD Z 21362368 -0.26912.50000-0.2691 GLOB UNIF WHCP  
\*\*\*\*\*  
\*\*\*\*\* CRANE OPERATING LOAD \*\*\*\*\*  
\*\*\*\*\*  
LOADCN 305

LOAD 5000	-11.025	GLOB JOIN CRN-VMA
LOADCN 310		
LOAD 5000	6615.00	GLOB JOIN CRN-MXN
LOADCN 315		
LOAD 5000	6615.00	GLOB JOIN CRN-MYN
END		
**JNCV** 0 0 0 0 0 1 1		
END		

CLPOPT 2 4999 CNPPLBJF JS 2U 0.100.0010.010  
500.0.002  
CLPRPT P1R1M1 SMMS 25.  
LDSEQ 101 1100 1 1.2004 1 1.2004 100 1.05  
20.  
GRPELA MD1 MD2 MD3 MD4 MD5 MD6 MD9 MDA MDB MDC  
\* MAIN DECK BRACE  
GRPELA MZ1 MZ2 MZA MZB  
\* MEZZANINE DECK  
GRPELA CD1 CD2 CD3 CD4 CD5 CD6 CDA CDB CDC  
\* CELLAR DECK  
GRPELA SC1 SC2  
\* SUB CELLAR DECK  
END

LDOPT SF +Z 64.20 490.00 -190. 193.60GLOBEN HYDFLDCMB NPNP  
K

IN-PLACE ANALYSIS : PHE-12 OPERATING MAXIMUM WD  
LCSEL 2001 2002 2003 2004 2005 2006 2007 2008 2009 2010 2011 2012

FILE B

\*

\*

MGROV

MGROV	0.000	70.000	1.000	87.400
MGROV	70.000	170.000	2.000	87.400
MGROV	170.00	190.000	4.000	87.400

\*

LOAD

\*

\*\*\*\*\* WIND LOAD OPR MAX WD

\*\*\*\*\*

\*

LOADCN 361

LOADLB361 OPERATING WIND 0 DEGREE MAX WD

WIND

WIND DIM 29.08 0.01666 0.0000 193.60021APAXVX

LOADCN 362

LOADLB362 OPERATING WIND 30 DEGREE MAX WD

WIND

WIND DIM 29.08 0.01666 30.00 193.60021APAXVXBY

LOADCN 363

LOADLB363 OPERATING WIND 60 DEGREE MAX WD

WIND

WIND DIM 29.08 0.01666 60.00 193.60021APAXVXBY

LOADCN 364

LOADLB364 OPERATING WIND 90 DEGREE MAX WD

WIND

WIND DIM 29.08 0.01666 90.00 193.60021APBY

LOADCN 365

LOADLB365 OPERATING WIND 120 DEGREE MAX WD

WIND

WIND DIM 29.08 0.01666 120.00 193.60021APBYCXVX

LOADCN 366

LOADLB366 OPERATING WIND 150 DEGREE MAX WD

WIND

WIND DIM 29.08 0.01666 150.00 193.60021APBYCXVX

LOADCN 367

LOADLB367 OPERATING WIND 180 DEGREE MAX WD

WIND

WIND DIM 29.08 0.01666 180.00 193.60021APCXVX

LOADCN 368

LOADLB368 OPERATING WIND 210 DEGREE MAX WD

WIND

WIND DIM 29.08 0.01666 210.00 193.60021APCXVXDY

LOADCN 369

LOADLB369 OPERATING WIND 240 DEGREE MAX WD

WIND

WIND DIM 29.00 0.01666 240.00 193.60021APCXVXDY

LOADCN 370

LOADLB370 OPERATING WIND 270 DEGREE MAX WD

WIND

WIND DIM 29.08 0.01666 270.00 193.60021APDY

LOADCN 371

LOADLB371 OPERATING WIND 300 DEGREE MAX WD

WIND

WIND DIM 29.08 0.01666 300.00 193.60021APDYAXVX

LOADCN 372

LOADLB372 OPERATING WIND 330 DEGREE MAX WD

WIND

WIND DIM 29.08 0.01666 330.00 193.60021APDYAXVX  
 \*  
 \*  
 \*\*\*\*\* ENV. INPLACE 1 YR MAX WD  
 \*\*\*\*\*

LOADCN 421  
 LOADLB 421WAVE&CURR 1-YR 0 DEG MAX WD  
 WAVE  
 WAVE0.95STOK 12.60193.60 5.82 0.00 D 5.0 72MM10 1 1 5  
 CURR  
 CURR 0.00 1.313 0. 1.0 US CN FPS WDP  
 CURR 10.00 1.502 0  
 CURR 20.00 1.658 0  
 CURR 30.00 1.757 0  
 CURR 40.00 1.831 0  
 CURR 50.00 1.890 0  
 CURR 60.00 1.940 0  
 CURR 70.00 1.983 0  
 CURR 80.00 2.021 0  
 CURR 90.00 2.056 0  
 CURR 100.00 2.087 0

LOADCN 422  
 LOADLB 422WAVE&CURR 1-YR 30 DEG MAX WD  
 WAVE  
 WAVE0.95STOK 12.60193.60 5.82 30.00 D 5.0 72MM10 1 1 5  
 CURR  
 CURR 0.00 1.313 30.0 1.0 US CN FPS WDP  
 CURR 10.00 1.502 30.0  
 CURR 20.00 1.658 30.0  
 CURR 30.00 1.757 30.0  
 CURR 40.00 1.831 30.0  
 CURR 50.00 1.890 30.0  
 CURR 60.00 1.940 30.0  
 CURR 70.00 1.983 30.0  
 CURR 80.00 2.021 30.0  
 CURR 90.00 2.056 30.0  
 CURR 100.00 2.087 30.0

LOADCN 423  
 LOADLB 423WAVE&CURR 1-YR 60 DEG MAX WD  
 WAVE  
 WAVE0.95STOK 12.60193.60 5.82 60.00 D 5.0 72MM10 1 1 5  
 CURR  
 CURR 0.00 1.313 60.0 1.0 US CN FPS WDP  
 CURR 10.00 1.502 60.0  
 CURR 20.00 1.658 60.0  
 CURR 30.00 1.757 60.0  
 CURR 40.00 1.831 60.0  
 CURR 50.00 1.890 60.0  
 CURR 60.00 1.940 60.0  
 CURR 70.00 1.983 60.0  
 CURR 80.00 2.021 60.0  
 CURR 90.00 2.056 60.0  
 CURR 100.00 2.087 60.0

LOADCN 424  
 LOADLB 424WAVE&CURR 1-YR 90 DEG MAX WD  
 WAVE  
 WAVE0.95STOK 12.60193.60 5.82 90.00 D 5.0 72MM10 1 1 5  
 CURR  
 CURR 0.00 1.313 90.0 1.0 US CN FPS WDP  
 CURR 10.00 1.502 90.0  
 CURR 20.00 1.658 90.0  
 CURR 30.00 1.757 90.0  
 CURR 40.00 1.831 90.0  
 CURR 50.00 1.890 90.0

CURR 60.00 1.940 90.0  
 CURR 70.00 1.983 90.0  
 CURR 80.00 2.021 90.0  
 CURR 90.00 2.056 90.0  
 CURR 100.00 2.087 90.0

LOADCN 425

LOADLB 425WAVE&amp;CURR 1-YR 120 DEG MAX WD

WAVE

WAVE0.95STOK	12.60193.60	5.82	120.00	D	5.0	72MM10	1	1	5
CURR									
CURR	0.00	1.313	120.0		1.0	US	CN	FPS	WDP
CURR	10.00	1.502	120.0						
CURR	20.00	1.658	120.0						
CURR	30.00	1.757	120.0						
CURR	40.00	1.831	120.0						
CURR	50.00	1.890	120.0						
CURR	60.00	1.940	120.0						
CURR	70.00	1.983	120.0						
CURR	80.00	2.021	120.0						
CURR	90.00	2.056	120.0						
CURR	100.00	2.087	120.0						

LOADCN 426

LOADLB 426WAVE&amp;CURR 1-YR 150 DEG MAX WD

WAVE

WAVE0.95STOK	12.60193.60	5.82	150.00	D	5.0	72MM10	1	1	5
CURR									
CURR	0.00	1.313	150.0		1.0	US	CN	FPS	WDP
CURR	10.00	1.502	150.0						
CURR	20.00	1.658	150.0						
CURR	30.00	1.757	150.0						
CURR	40.00	1.831	150.0						
CURR	50.00	1.890	150.0						
CURR	60.00	1.940	150.0						
CURR	70.00	1.983	150.0						
CURR	80.00	2.021	150.0						
CURR	90.00	2.056	150.0						
CURR	100.00	2.087	150.0						

LOADCN 427

LOADLB 427WAVE&amp;CURR 1-YR 180 DEG MAX WD

WAVE

WAVE0.95STOK	12.60193.60	5.82	180.00	D	5.0	72MM10	1	1	5
CURR									
CURR	0.00	1.313	180.0		1.0	US	CN	FPS	WDP
CURR	10.00	1.502	180.0						
CURR	20.00	1.658	180.0						
CURR	30.00	1.757	180.0						
CURR	40.00	1.831	180.0						
CURR	50.00	1.890	180.0						
CURR	60.00	1.940	180.0						
CURR	70.00	1.983	180.0						
CURR	80.00	2.021	180.0						
CURR	90.00	2.056	180.0						
CURR	100.00	2.087	180.0						

LOADCN 428

LOADLB 428WAVE&amp;CURR 1-YR 210 DEG MAX WD

WAVE

WAVE0.95STOK	12.60193.60	5.82	210.00	D	5.0	72MM10	1	1	5
CURR									
CURR	0.00	1.313	210.0		1.0	US	CN	FPS	WDP
CURR	10.00	1.502	210.0						
CURR	20.00	1.658	210.0						
CURR	30.00	1.757	210.0						
CURR	40.00	1.831	210.0						
CURR	50.00	1.890	210.0						

CURR 60.00 1.940 210.0  
 CURR 70.00 1.983 210.0  
 CURR 80.00 2.021 210.0  
 CURR 90.00 2.056 210.0  
 CURR 100.00 2.087 210.0

LOADCN 429

LOADLB 429WAVE&amp;CURR 1-YR 240 DEG MAX WD

WAVE

WAVE0.95STOK	12.60193.60	5.82	240.00	D	5.0	72MM10	1	1	5
CURR									
CURR	0.00	1.313	240.0		1.0	US	CN	FPS	WDP
CURR	10.00	1.502	240.0						
CURR	20.00	1.658	240.0						
CURR	30.00	1.757	240.0						
CURR	40.00	1.831	240.0						
CURR	50.00	1.890	240.0						
CURR	60.00	1.940	240.0						
CURR	70.00	1.983	240.0						
CURR	80.00	2.021	240.0						
CURR	90.00	2.056	240.0						
CURR	100.00	2.087	240.0						

LOADCN 430

LOADLB 430WAVE&amp;CURR 1-YR 270 DEG MAX WD

WAVE

WAVE0.95STOK	12.60193.60	5.82	270.00	D	5.0	72MM10	1	1	5
CURR									
CURR	0.00	1.313	270.0		1.0	US	CN	FPS	WDP
CURR	10.00	1.502	270.0						
CURR	20.00	1.658	270.0						
CURR	30.00	1.757	270.0						
CURR	40.00	1.831	270.0						
CURR	50.00	1.890	270.0						
CURR	60.00	1.940	270.0						
CURR	70.00	1.983	270.0						
CURR	80.00	2.021	270.0						
CURR	90.00	2.056	270.0						
CURR	100.00	2.087	270.0						

LOADCN 431

LOADLB 431WAVE&amp;CURR 1-YR 300 DEG MAX WD

WAVE

WAVE0.95STOK	12.60193.60	5.82	300.00	D	5.0	72MM10	1	1	5
CURR									
CURR	0.00	1.313	300.0		1.0	US	CN	FPS	WDP
CURR	10.00	1.502	300.0						
CURR	20.00	1.658	300.0						
CURR	30.00	1.757	300.0						
CURR	40.00	1.831	300.0						
CURR	50.00	1.890	300.0						
CURR	60.00	1.940	300.0						
CURR	70.00	1.983	300.0						
CURR	80.00	2.021	300.0						
CURR	90.00	2.056	300.0						
CURR	100.00	2.087	300.0						

LOADCN 432

LOADLB 432WAVE&amp;CURR 1-YR 330 DEG MAX WD

WAVE

WAVE0.95STOK	12.60193.60	5.82	330.00	D	5.0	72MM10	1	1	5
CURR									
CURR	0.00	1.313	330.0		1.0	US	CN	FPS	WDP
CURR	10.00	1.502	330.0						
CURR	20.00	1.658	330.0						
CURR	30.00	1.757	330.0						
CURR	40.00	1.831	330.0						
CURR	50.00	1.890	330.0						

CURR	60.00	1.940	330.0
CURR	70.00	1.983	330.0
CURR	80.00	2.021	330.0
CURR	90.00	2.056	330.0
CURR	100.00	2.087	330.0

\*

\*\*\*\*\* LCOMB OPR 1 YR MIN WD  
\*\*\*\*\*

LCOMB

\*\*\*\*\* live load

\*\*\*\*\*

LCOMB LIV	260	1. 261	1. 262	1. 265	1. 266	1.
LCOMB LIV	270	1. 271	1. 272	1. 275	1. 276	1. 277

\*\*\*\*\*LOAD

COMBINATION\*\*\*\*\*

LCOMB GRVT	21.1000	1051.1000	1101.1000	1151.1000	1201.1000	1251.1000
------------	---------	-----------	-----------	-----------	-----------	-----------

LCOMB GRVT	1301.1000	2801.1000	2851.1000	2901.1000
------------	-----------	-----------	-----------	-----------

\*\*\*\*\* GRAVITY+LIVE LOAD WITH CRANE VERTICAL LOAD

\*\*\*\*\*

LCOMB 1100	GRVT1.0000	LIV1.0000	3052.0000	PD	1.
------------	------------	-----------	-----------	----	----

\*

\*\*\*\*\*

\*\*

\*\*\*\*\* OPERATING MAXIMUM WATER DEPTH

\*\*\*\*\*

\*\*\*\*\*

\*\*

LCOMB 2001	11001.0000315	2.0000	361	1.0000421	1.0000
------------	---------------	--------	-----	-----------	--------

LCOMB 2002	11001.0000315	1.7320310	-1.000362	1.0000422	1.0000
------------	---------------	-----------	-----------	-----------	--------

LCOMB 2003	11001.0000315	1.0000310	-1.732363	1.0000423	1.0000
------------	---------------	-----------	-----------	-----------	--------

LCOMB 2004	11001.0000310	-2.000	364	1.0000424	1.0000
------------	---------------	--------	-----	-----------	--------

LCOMB 2005	11001.0000315	-1.000310	-1.732365	1.0000425	1.0000
------------	---------------	-----------	-----------	-----------	--------

LCOMB 2006	11001.0000315	-1.732310	-1.000366	1.0000426	1.0000
------------	---------------	-----------	-----------	-----------	--------

LCOMB 2007	11001.0000315	-2.000	367	1.0000427	1.0000
------------	---------------	--------	-----	-----------	--------

LCOMB 2008	11001.0000315	-1.732310	1.000368	1.0000428	1.0000
------------	---------------	-----------	----------	-----------	--------

LCOMB 2009	11001.0000315	-1.000310	1.732369	1.0000429	1.0000
------------	---------------	-----------	----------	-----------	--------

LCOMB 2010	11001.0000310	2.0000	370	1.0000430	1.0000
------------	---------------	--------	-----	-----------	--------

LCOMB 2011	11001.0000315	1.0000310	1.732371	1.0000431	1.0000
------------	---------------	-----------	----------	-----------	--------

LCOMB 2012	11001.0000315	1.7320310	1.000372	1.0000432	1.0000
------------	---------------	-----------	----------	-----------	--------

END

## BIODATA PENULIS



Fikri Imanudin, lahir di Pandeglang 1 September 1995. Penulis menempuh Pendidikan sekolah dasar di SD Negerei Cilaja 2 pada tahun 2001-2007. Kemudian melanjutkan Pendidikan di MTs Negeri Model Pandeglang 1 pada tahun 2007-2010. Penulis melanjutkan Pendidikan menengah atas di SMAN 1 Kota Serang pada tahun 2010-2013. Pada tahun 2014, penulis mengikuti SBMPTN dan melanjutkan pendidikan Strata 1 di Departemen Teknik Kelautan, Fakultas Teknologi Kelautan, Institut Teknologi Sepuluh Nopember Surabaya. Penulis pernah menjalani kerja praktek di PT. ZEE Indonesia yang bergerak di bidang EPC *Consultant* sebagai *Internship Structure Engineer* pada tahun 2017. Penulis pernah aktif di organisasi mahasiswa kampus, sebagai anggota *Ocean Underwater Robotic Club* (OURC) Teknik Kelautan pada tahun 2015-2017. Penulis juga aktif di kegiatan himpunan dan lembaga dakwah jurusan. Selain itu penulis juga pernah mengikuti lomba oil rig design competition baik di level nasional maupun internasional. Buku Tugas Akhir yang berjudul “Analisis Keruntuhan Berbasis Keandalan pada Bangunan Lepas Pantai Tipe *Jacket* Terhadap Kemiringan Akibat *Settlement*” telah diselesaikan penulis dalam 1 semester sebagai syarat akhir kelulusan, Permasalahan yang diangkat oleh penulis mendasar kepada salah satu bidang keahlian di Departemen Teknik Kelautan.